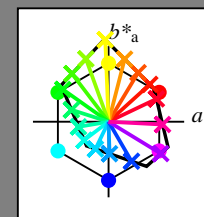


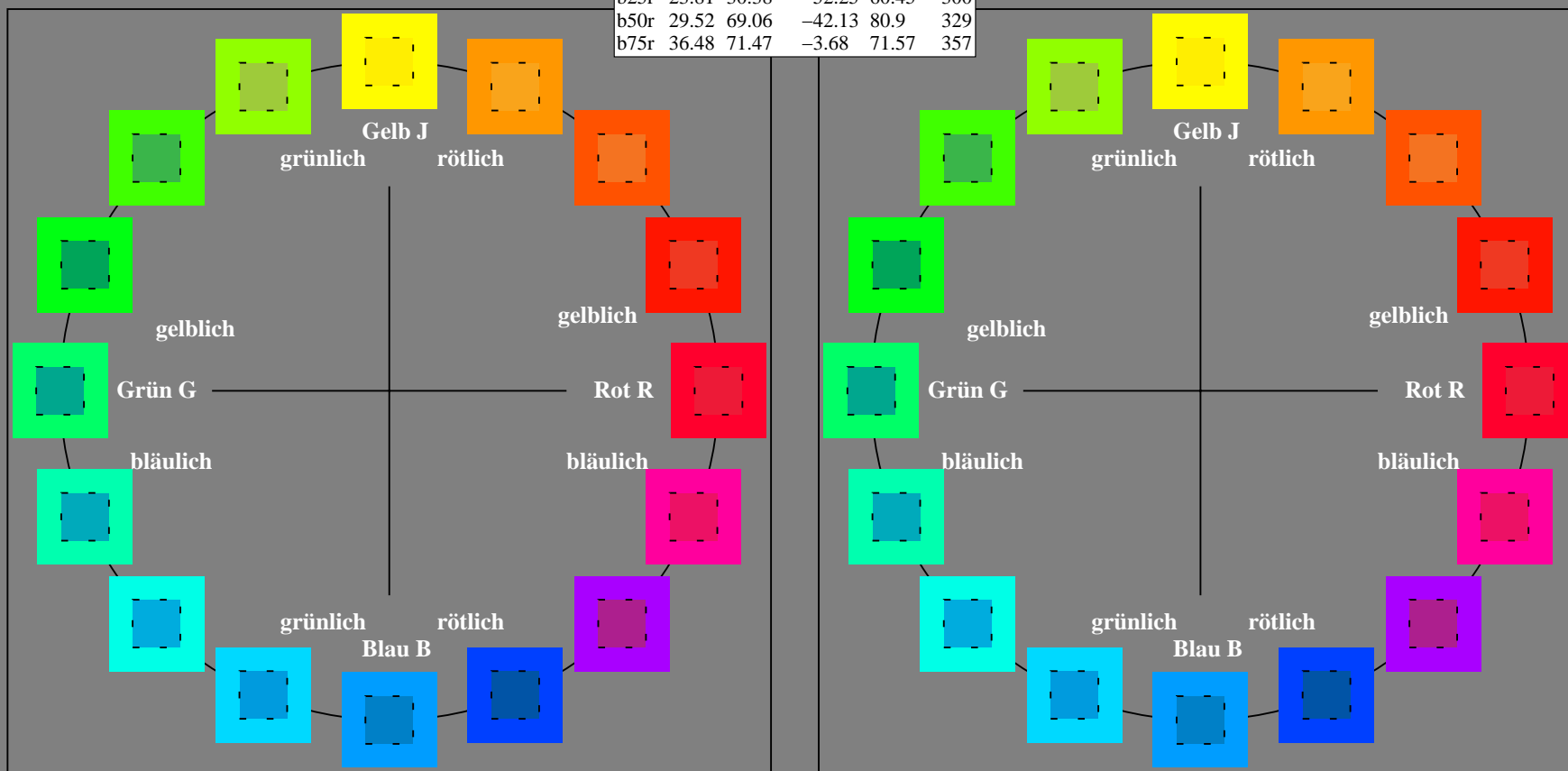
Ein und Ausgabe:  
Farbmetrisches Drucker-Reflektiv-System FRS09\_92a  
Daten für jede Farbe:  
 $lab^{*}ch^{*}$  und  $lab^{*}icu^{*}$   
Elementar-Bunttontext:  
 $u^{*} = 16$  Buntttöne  $r00j$ ,  $r25j$ , ...,  $b75r$   
Kontrastreduzierungsfaktor:  
 $c_R = 1.0$

FRS09_92a; adaptierte CIELAB-Daten					
	$L^{*}=L^{*}_a$	$a^{*}_a$	$b^{*}_a$	$C^{*}_{ab,a}$	$h^{*}_{ab,a}$
r00j	35.47	63.32	30.17	70.15	25
r25j	39.12	54.56	49.45	73.64	42
r50j	50.64	39.15	64.89	75.79	59
r75j	64.01	21.26	82.83	85.52	76
j00g	83.18	-4.37	108.53	108.62	92
j25g	66.73	-29.88	83.06	88.28	110
j50g	54.03	-48.3	63.49	79.78	127
j75g	44.73	-60.32	42.64	73.88	145
g00b	47.59	-49.07	15.74	51.54	162
g25b	49.97	-39.69	-6.71	40.27	190
g50b	51.85	-32.32	-24.34	40.48	217
g75b	46.92	-17.28	-36.01	39.96	244
b00r	37.91	1.28	-42.34	42.37	272
b25r	23.81	30.38	-52.25	60.45	300
b50r	29.52	69.06	-42.13	80.9	329
b75r	36.48	71.47	-3.68	71.57	357



%Umfang  
 $u^{*}_{rel} = 109$   
%Regularität  
 $g^{*}_{H,rel} = 31$   
 $g^{*}_{C,rel} = 40$

FRS09_92a; adaptierte CIELAB-Daten					
	$L^{*}=L^{*}_a$	$a^{*}_a$	$b^{*}_a$	$C^{*}_{ab,a}$	$h^{*}_{ab,a}$
OMa	35.06	60.0	44.0	74.4	36
YMa	83.77	-5.16	109.32	109.44	93
LMa	44.13	-62.66	48.24	79.09	142
CMa	52.66	-29.13	-31.98	43.27	228
VMa	14.15	50.3	-59.03	77.57	310
MMa	37.37	78.64	-33.49	85.48	337
NMa	8.58	0.0	0.0	0.0	0
WMa	92.02	0.0	0.0	0.0	0
RCIE	39.92	58.74	27.99	65.07	25
JCIE	81.26	-2.88	71.56	71.62	92
GCIE	52.23	-42.41	13.6	44.55	162
BCIE	30.57	1.41	-46.46	46.49	272





Ein und Ausgabe: Farbmetrisches Drucker-Reflektiv-System FRS09\_92a für relativen CIELAB-Buntton  $h^* = lab^*h^* = h_{ab}/360 = 42/360 = 0.117$

Daten für jede Farbe:

$lab^*ch^*$  und  $lab^*icu^*$

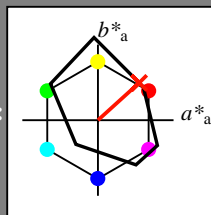
Elementar-Bunttontext:

$u^* = r25j$

Kontrastreduzierungsfaktor:

$c_R = 1.0$

Dreiecks-Helligkeit  $t^*$



FRS09\_92a; adaptierte CIELAB-Daten

	$L^*=L_a^*$	$a_a^*$	$b_a^*$	$C_{ab,a}^*$	$h_{ab,a}^*$
O <sub>Ma</sub>	35.06	60.0	44.0	74.4	36
Y <sub>Ma</sub>	83.77	-5.16	109.32	109.44	93
L <sub>Ma</sub>	44.13	-62.66	48.24	79.09	142
C <sub>Ma</sub>	52.66	-29.13	-31.98	43.27	228
V <sub>Ma</sub>	14.15	50.3	-59.03	77.57	310
M <sub>Ma</sub>	37.37	78.64	-33.49	85.48	337
N <sub>Ma</sub>	8.58	0.0	0.0	0.0	0
W <sub>Ma</sub>	92.02	0.0	0.0	0.0	0
R <sub>CIE</sub>	39.92	58.74	27.99	65.07	25
J <sub>CIE</sub>	81.26	-2.88	71.56	71.62	92
G <sub>CIE</sub>	52.23	-42.41	13.6	44.55	162
B <sub>CIE</sub>	30.57	1.41	-46.46	46.49	272

Daten für Maximalfarbe (Ma):

$LAB^*LAB^*_{Ma}$ : 39 55 49

$LAB^*LCH^*_{Ma}$ : 39 74 42

$lab^*rgb^*_{Ma}$ : 1.0 0.25 0.0

$lab^*olv^*_{Ma}$ : 1.0 0.08 0.0

Dreiecks-Helligkeit  $t^*$

%Umfang

$u^*_{rel} = 109$

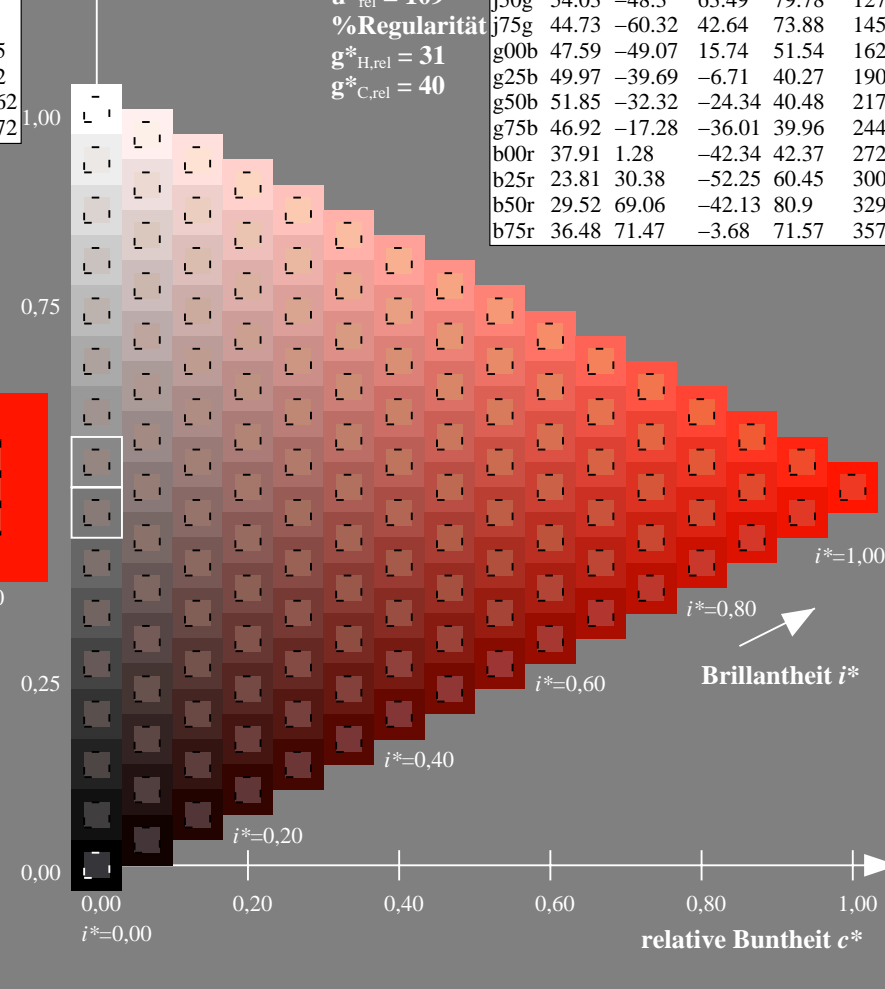
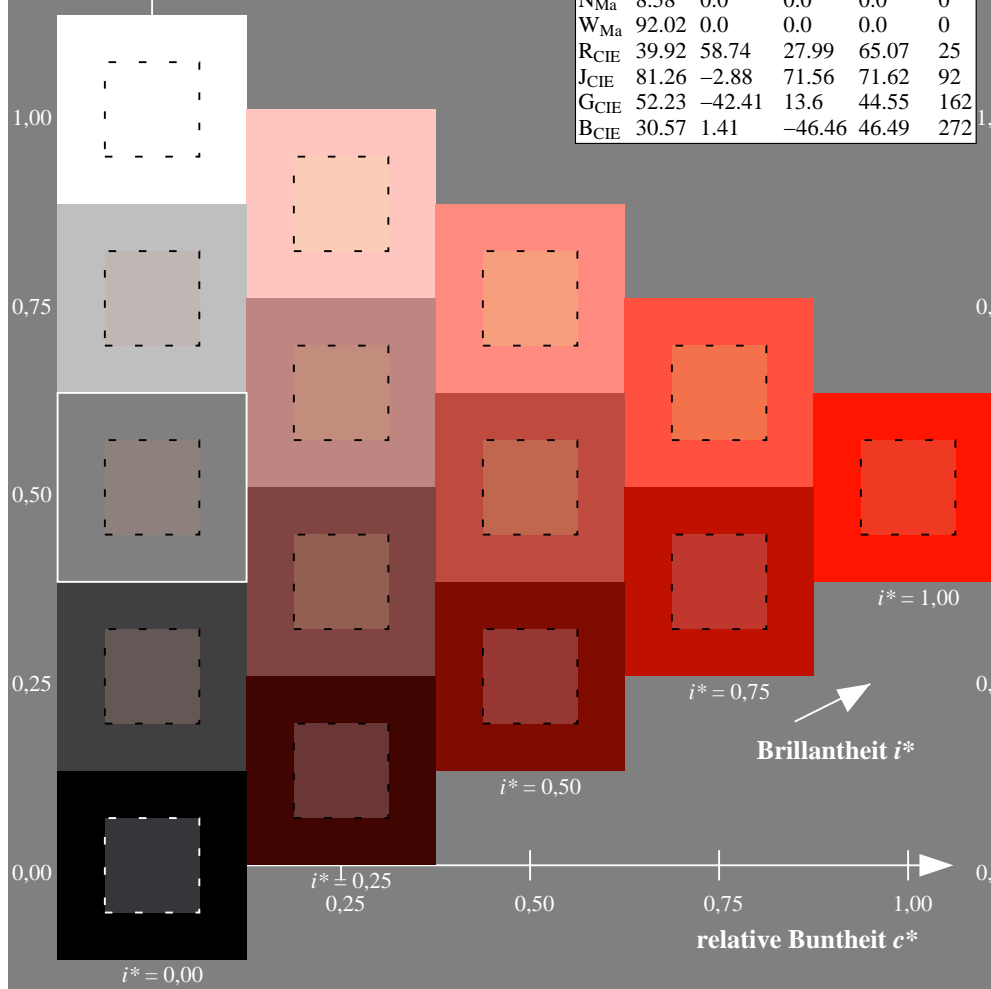
%Regularität

$g^*_{H,rel} = 31$

$g^*_{C,rel} = 40$

FRS09\_92a; adaptierte CIELAB-Daten

	$L^*=L_a^*$	$a_a^*$	$b_a^*$	$C_{ab,a}^*$	$h_{ab,a}^*$
r00j	35.47	63.32	30.17	70.15	25
r25j	39.12	54.56	49.45	73.64	42
r50j	50.64	39.15	64.89	75.79	59
r75j	64.01	21.26	82.83	85.52	76
j00g	83.18	-4.37	108.53	108.62	92
j25g	66.73	-29.88	83.06	88.28	110
j50g	54.03	-48.3	63.49	79.78	127
j75g	44.73	-60.32	42.64	73.88	145
g00b	47.59	-49.07	15.74	51.54	162
g25b	49.97	-39.69	-6.71	40.27	190
g50b	51.85	-32.32	-24.34	40.48	217
g75b	46.92	-17.28	-36.01	39.96	244
b00r	37.91	1.28	-42.34	42.37	272
b25r	23.81	30.38	-52.25	60.45	300
b50r	29.52	69.06	-42.13	80.9	329
b75r	36.48	71.47	-3.68	71.57	357



Ein und Ausgabe: Farbmetrisches Drucker-Reflektiv-System FRS09\_92a für relativen CIELAB-Buntton  $h^* = lab^*h^* = h_{ab}/360 = 59/360 = 0.164$

Daten für jede Farbe:

$lab^*ch^*$  und  $lab^*icu^*$

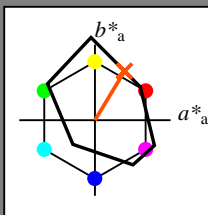
Elementar-Bunttontext:

$u^* = r50j$

Kontrastreduzierungsfaktor:

$c_R = 1.0$

Dreiecks-Helligkeit  $i^*$



FRS09\_92a; adaptierte CIELAB-Daten

	$L^*=L_a^*$	$a_a^*$	$b_a^*$	$C_{ab,a}^*$	$h_{ab,a}^*$
O <sub>Ma</sub>	35.06	60.0	44.0	74.4	36
Y <sub>Ma</sub>	83.77	-5.16	109.32	109.44	93
L <sub>Ma</sub>	44.13	-62.66	48.24	79.09	142
C <sub>Ma</sub>	52.66	-29.13	-31.98	43.27	228
V <sub>Ma</sub>	14.15	50.3	-59.03	77.57	310
M <sub>Ma</sub>	37.37	78.64	-33.49	85.48	337
N <sub>Ma</sub>	8.58	0.0	0.0	0.0	0
W <sub>Ma</sub>	92.02	0.0	0.0	0.0	0
R <sub>CIE</sub>	39.92	58.74	27.99	65.07	25
J <sub>CIE</sub>	81.26	-2.88	71.56	71.62	92
G <sub>CIE</sub>	52.23	-42.41	13.6	44.55	162
B <sub>CIE</sub>	30.57	1.41	-46.46	46.49	272

Daten für Maximalfarbe (Ma):

$LAB^*LAB^*Ma$ : 51 39 65

$LAB^*LCH^*Ma$ : 51 76 59

$lab^*rgb^*Ma$ : 1.0 0.5 0.0

$lab^*olv^*Ma$ : 1.0 0.32 0.0

Dreiecks-Helligkeit  $i^*$

%Umfang

$u^*_{rel} = 109$

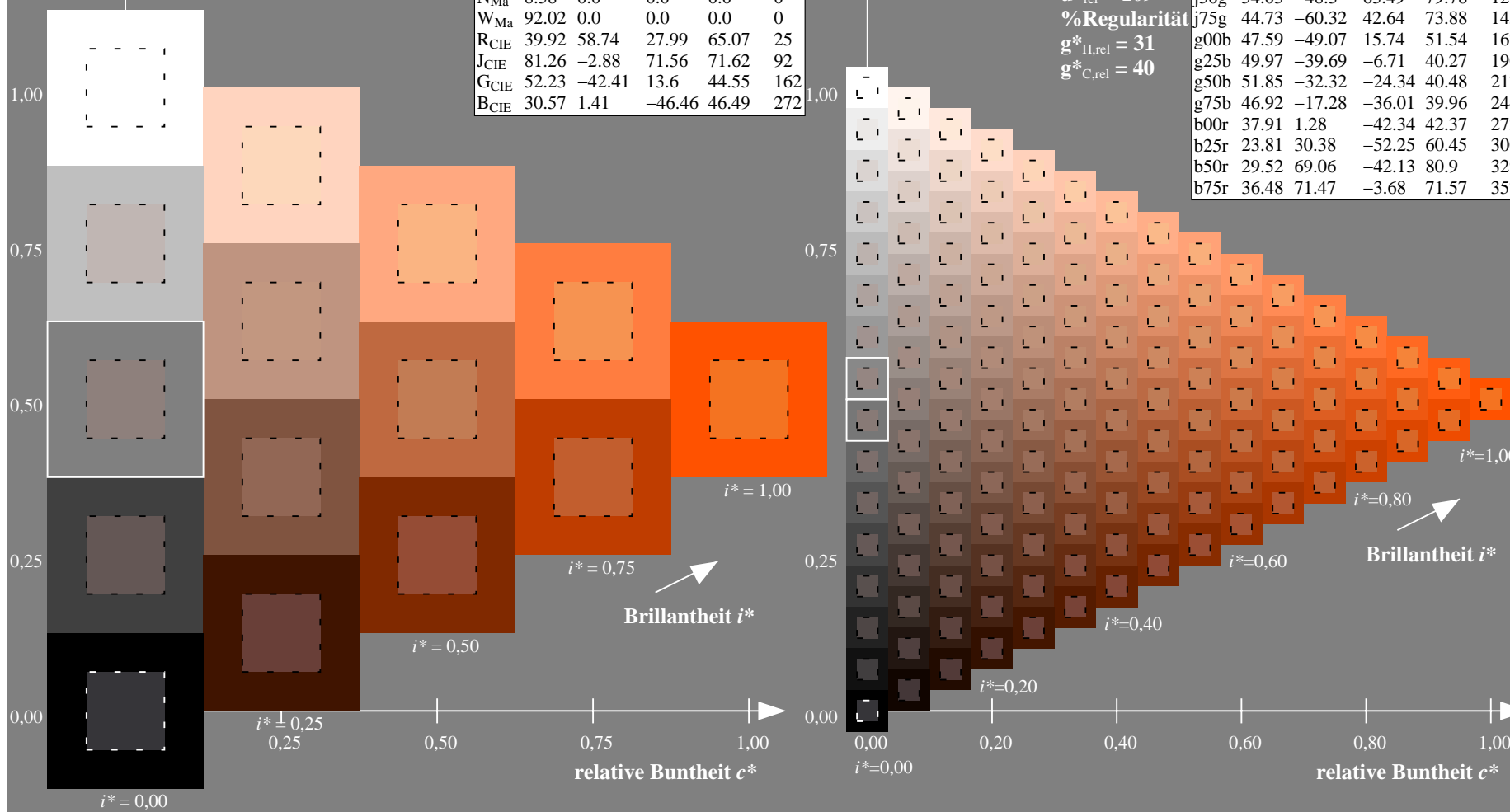
%Regularität

$g^*_{H,rel} = 31$

$g^*_{C,rel} = 40$

FRS09\_92a; adaptierte CIELAB-Daten

	$L^*=L_a^*$	$a_a^*$	$b_a^*$	$C_{ab,a}^*$	$h_{ab,a}^*$
r00j	35.47	63.32	30.17	70.15	25
r25j	39.12	54.56	49.45	73.64	42
r50j	50.64	39.15	64.89	75.79	59
r75j	64.01	21.26	82.83	85.52	76
j00g	83.18	-4.37	108.53	108.62	92
j25g	66.73	-29.88	83.06	88.28	110
j50g	54.03	-48.3	63.49	79.78	127
j75g	44.73	-60.32	42.64	73.88	145
g00b	47.59	-49.07	15.74	51.54	162
g25b	49.97	-39.69	-6.71	40.27	190
g50b	51.85	-32.32	-24.34	40.48	217
g75b	46.92	-17.28	-36.01	39.96	244
b00r	37.91	1.28	-42.34	42.37	272
b25r	23.81	30.38	-52.25	60.45	300
b50r	29.52	69.06	-42.13	80.9	329
b75r	36.48	71.47	-3.68	71.57	357



Ein und Ausgabe: Farbmetrisches Drucker-Reflektiv-System FRS09\_92a für relativen CIELAB-Buntton  $h^* = lab^*h^* = h_{ab}/360 = 76/360 = 0.21$

Daten für jede Farbe:

$lab^*ch^*$  und  $lab^*icu^*$

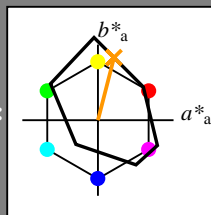
Elementar-Bunttontext:

$u^* = r75j$

Kontrastreduzierungsfaktor:

$c_R = 1.0$

Dreiecks-Helligkeit  $t^*$



FRS09\_92a; adaptierte CIELAB-Daten

	$L^*=L_a^*$	$a_a^*$	$b_a^*$	$C_{ab,a}^*$	$h_{ab,a}^*$
O <sub>Ma</sub>	35.06	60.0	44.0	74.4	36
Y <sub>Ma</sub>	83.77	-5.16	109.32	109.44	93
L <sub>Ma</sub>	44.13	-62.66	48.24	79.09	142
C <sub>Ma</sub>	52.66	-29.13	-31.98	43.27	228
V <sub>Ma</sub>	14.15	50.3	-59.03	77.57	310
M <sub>Ma</sub>	37.37	78.64	-33.49	85.48	337
N <sub>Ma</sub>	8.58	0.0	0.0	0.0	0
W <sub>Ma</sub>	92.02	0.0	0.0	0.0	0
R <sub>CIE</sub>	39.92	58.74	27.99	65.07	25
J <sub>CIE</sub>	81.26	-2.88	71.56	71.62	92
G <sub>CIE</sub>	52.23	-42.41	13.6	44.55	162
B <sub>CIE</sub>	30.57	1.41	-46.46	46.49	272

Daten für Maximalfarbe (Ma):

$LAB^*LAB^*_{Ma}$ : 64 21 83

$LAB^*LCH^*_{Ma}$ : 64 86 76

$lab^*rgb^*_{Ma}$ : 1.0 0.75 0.0

$lab^*olv^*_{Ma}$ : 1.0 0.59 0.0

Dreiecks-Helligkeit  $t^*$

%Umfang

$u^*_{rel} = 109$

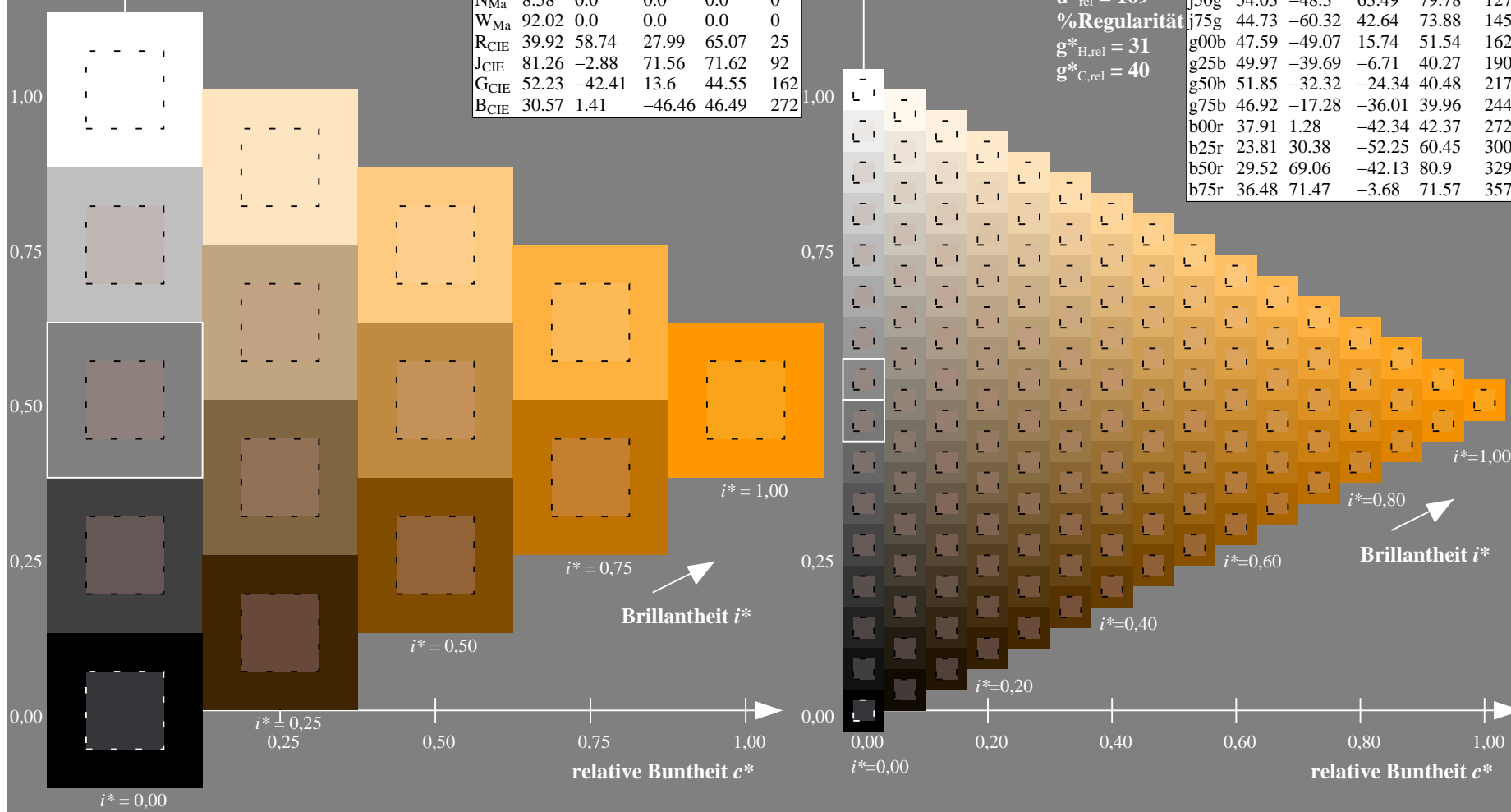
%Regularität

$g^*_{H,rel} = 31$

$g^*_{C,rel} = 40$

FRS09\_92a; adaptierte CIELAB-Daten

	$L^*=L_a^*$	$a_a^*$	$b_a^*$	$C_{ab,a}^*$	$h_{ab,a}^*$
r00j	35.47	63.32	30.17	70.15	25
r25j	39.12	54.56	49.45	73.64	42
r50j	50.64	39.15	64.89	75.79	59
r75j	64.01	21.26	82.83	85.52	76
j00g	83.18	-4.37	108.53	108.62	92
j25g	66.73	-29.88	83.06	88.28	110
j50g	54.03	-48.3	63.49	79.78	127
j75g	44.73	-60.32	42.64	73.88	145
g00b	47.59	-49.07	15.74	51.54	162
g25b	49.97	-39.69	-6.71	40.27	190
g50b	51.85	-32.32	-24.34	40.48	217
g75b	46.92	-17.28	-36.01	39.96	244
b00r	37.91	1.28	-42.34	42.37	272
b25r	23.81	30.38	-52.25	60.45	300
b50r	29.52	69.06	-42.13	80.9	329
b75r	36.48	71.47	-3.68	71.57	357



Ein und Ausgabe: Farbmetrisches Drucker-Reflektiv-System FRS09\_92a für relativen CIELAB-Buntton  $h^* = lab^*h^* = h_{ab}/360 = 92/360 = 0.256$

Daten für jede Farbe:

$lab^*ch^*$  und  $lab^*icu^*$

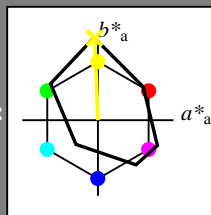
Elementar-Bunttontext:

$u^* = j00g$

Kontrastreduzierungsfaktor:

$c_R = 1.0$

Dreiecks-Helligkeit  $i^*$



FRS09\_92a; adaptierte CIELAB-Daten

	$L^*=L^*_a$	$a^*_a$	$b^*_a$	$C^*_{ab,a}$	$h^*_{ab,a}$
O <sub>Ma</sub>	35.06	60.0	44.0	74.4	36
Y <sub>Ma</sub>	83.77	-5.16	109.32	109.44	93
L <sub>Ma</sub>	44.13	-62.66	48.24	79.09	142
C <sub>Ma</sub>	52.66	-29.13	-31.98	43.27	228
V <sub>Ma</sub>	14.15	50.3	-59.03	77.57	310
M <sub>Ma</sub>	37.37	78.64	-33.49	85.48	337
N <sub>Ma</sub>	8.58	0.0	0.0	0.0	0
W <sub>Ma</sub>	92.02	0.0	0.0	0.0	0
R <sub>CIE</sub>	39.92	58.74	27.99	65.07	25
J <sub>CIE</sub>	81.26	-2.88	71.56	71.62	92
G <sub>CIE</sub>	52.23	-42.41	13.6	44.55	162
B <sub>CIE</sub>	30.57	1.41	-46.46	46.49	272

Daten für Maximalfarbe (Ma):

$LAB^*LAB^*_{Ma}$ : 83 -3 109

$LAB^*LCH^*_{Ma}$ : 83 109 92

$lab^*rgb^*_{Ma}$ : 1.0 1.0 0.0

$lab^*olv^*_{Ma}$ : 1.0 0.99 0.0

Dreiecks-Helligkeit  $i^*$

%Umfang

$u^*_{rel} = 109$

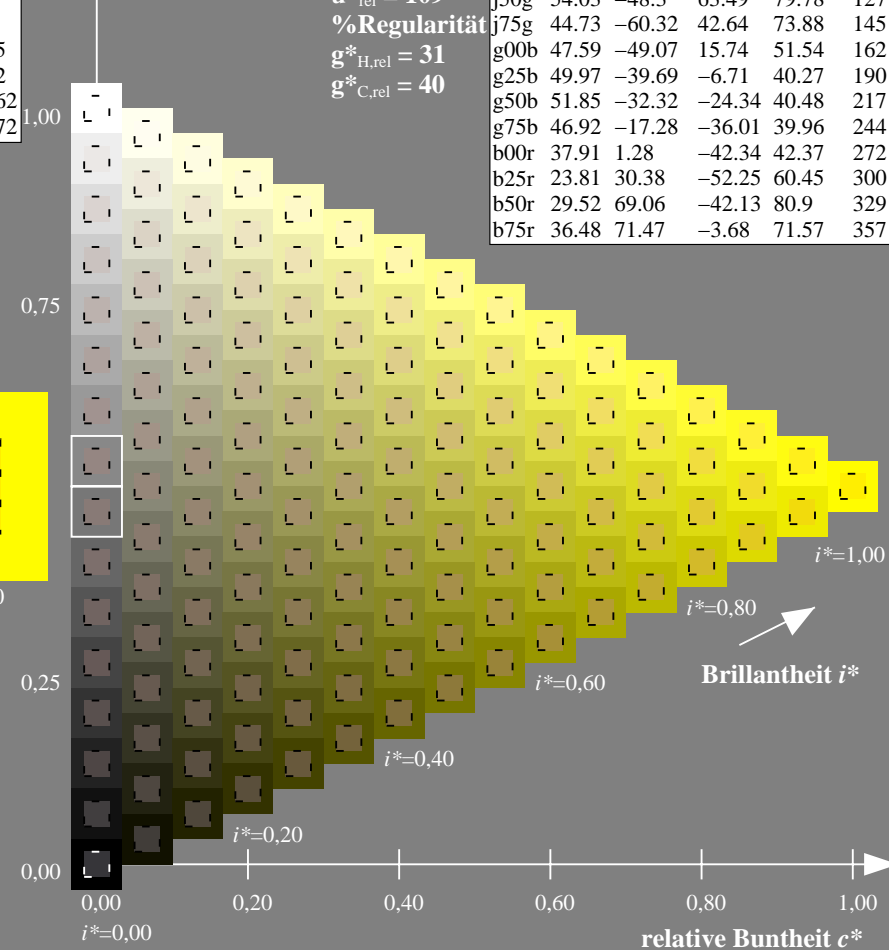
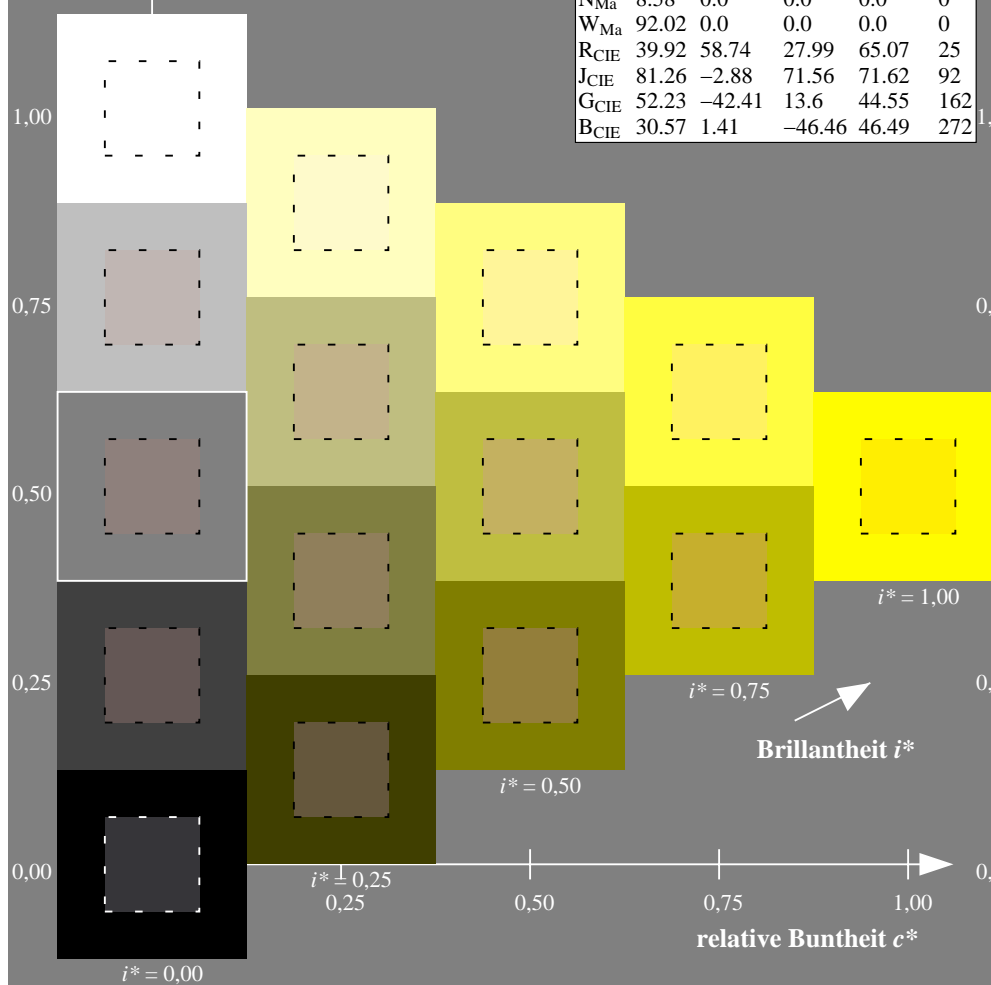
%Regularität

$g^*_{H,rel} = 31$

$g^*_{C,rel} = 40$

FRS09\_92a; adaptierte CIELAB-Daten

	$L^*=L^*_a$	$a^*_a$	$b^*_a$	$C^*_{ab,a}$	$h^*_{ab,a}$
r00j	35.47	63.32	30.17	70.15	25
r25j	39.12	54.56	49.45	73.64	42
r50j	50.64	39.15	64.89	75.79	59
r75j	64.01	21.26	82.83	85.52	76
j00g	83.18	-4.37	108.53	108.62	92
j25g	66.73	-29.88	83.06	88.28	110
j50g	54.03	-48.3	63.49	79.78	127
j75g	44.73	-60.32	42.64	73.88	145
g00b	47.59	-49.07	15.74	51.54	162
g25b	49.97	-39.69	-6.71	40.27	190
g50b	51.85	-32.32	-24.34	40.48	217
g75b	46.92	-17.28	-36.01	39.96	244
b00r	37.91	1.28	-42.34	42.37	272
b25r	23.81	30.38	-52.25	60.45	300
b50r	29.52	69.06	-42.13	80.9	329
b75r	36.48	71.47	-3.68	71.57	357





Ein und Ausgabe: Farbmetrisches Drucker-Reflektiv-System FRS09\_92a für relativen CIELAB-Buntton  $h^* = lab^*h^* = h_{ab}/360 = 110/360 = 0.305$

Daten für jede Farbe:

$lab^*ch^*$  und  $lab^*icu^*$

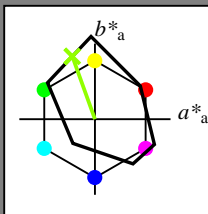
Elementar-Bunttontext:

$u^* = j25g$

Kontrastreduzierungsfaktor:

$c_R = 1.0$

Dreiecks-Helligkeit  $i^*$



FRS09\_92a; adaptierte CIELAB-Daten

	$L^*=L_a^*$	$a_a^*$	$b_a^*$	$C_{ab,a}^*$	$h_{ab,a}^*$
O <sub>Ma</sub>	35.06	60.0	44.0	74.4	36
Y <sub>Ma</sub>	83.77	-5.16	109.32	109.44	93
L <sub>Ma</sub>	44.13	-62.66	48.24	79.09	142
C <sub>Ma</sub>	52.66	-29.13	-31.98	43.27	228
V <sub>Ma</sub>	14.15	50.3	-59.03	77.57	310
M <sub>Ma</sub>	37.37	78.64	-33.49	85.48	337
N <sub>Ma</sub>	8.58	0.0	0.0	0.0	0
W <sub>Ma</sub>	92.02	0.0	0.0	0.0	0
R <sub>CIE</sub>	39.92	58.74	27.99	65.07	25
J <sub>CIE</sub>	81.26	-2.88	71.56	71.62	92
G <sub>CIE</sub>	52.23	-42.41	13.6	44.55	162
B <sub>CIE</sub>	30.57	1.41	-46.46	46.49	272

Daten für Maximalfarbe (Ma):

$LAB^*LAB^*_{Ma}$ : 67 -29 83

$LAB^*LCH^*_{Ma}$ : 67 88 110

$lab^*rgb^*_{Ma}$ : 0.75 1.0 0.0

$lab^*olv^*_{Ma}$ : 0.57 1.0 0.0

Dreiecks-Helligkeit  $i^*$

%Umfang

$u^*_{rel} = 109$

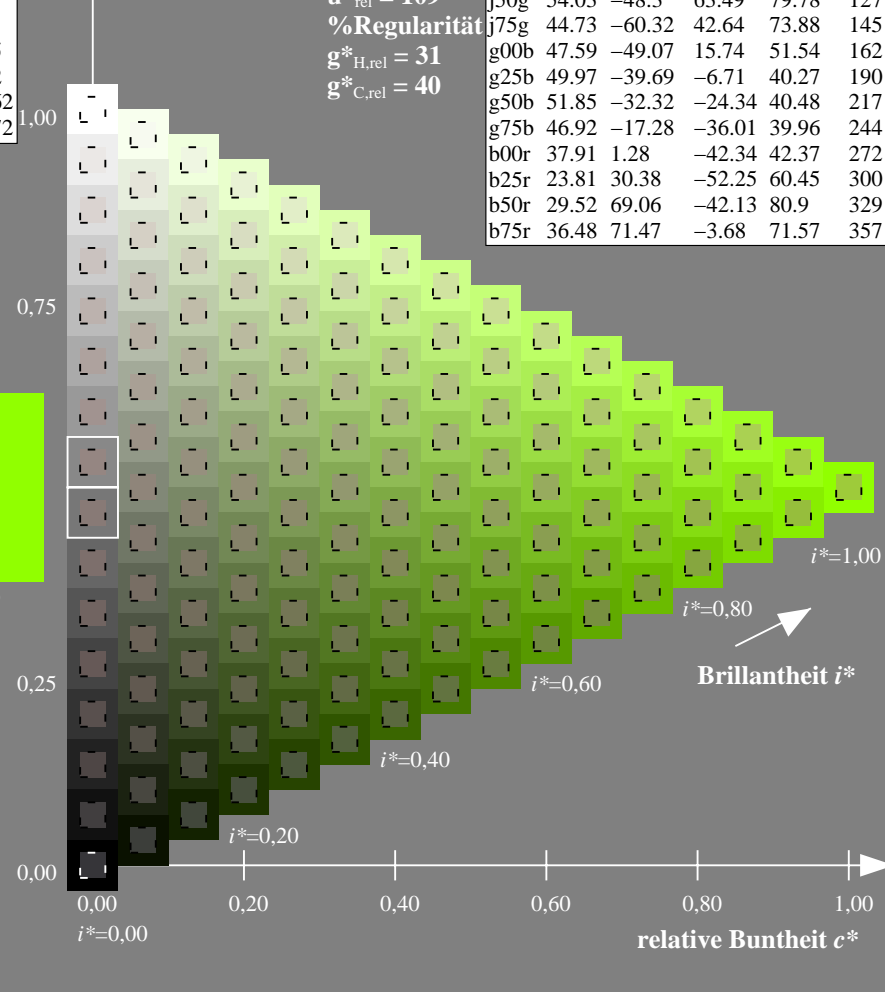
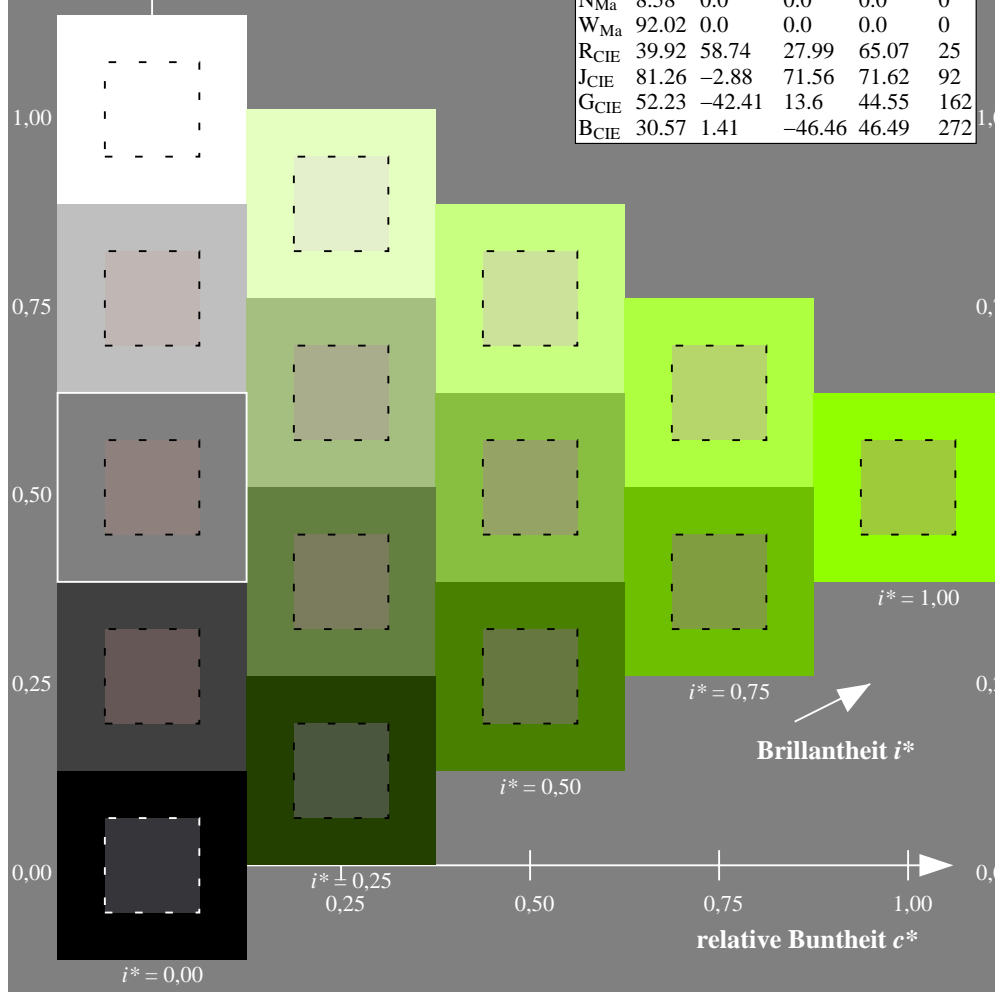
%Regularität

$g^*_{H,rel} = 31$

$g^*_{C,rel} = 40$

FRS09\_92a; adaptierte CIELAB-Daten

	$L^*=L_a^*$	$a_a^*$	$b_a^*$	$C_{ab,a}^*$	$h_{ab,a}^*$
r00j	35.47	63.32	30.17	70.15	25
r25j	39.12	54.56	49.45	73.64	42
r50j	50.64	39.15	64.89	75.79	59
r75j	64.01	21.26	82.83	85.52	76
j00g	83.18	-4.37	108.53	108.62	92
j25g	66.73	-29.88	83.06	88.28	110
j50g	54.03	-48.3	63.49	79.78	127
j75g	44.73	-60.32	42.64	73.88	145
g00b	47.59	-49.07	15.74	51.54	162
g25b	49.97	-39.69	-6.71	40.27	190
g50b	51.85	-32.32	-24.34	40.48	217
g75b	46.92	-17.28	-36.01	39.96	244
b00r	37.91	1.28	-42.34	42.37	272
b25r	23.81	30.38	-52.25	60.45	300
b50r	29.52	69.06	-42.13	80.9	329
b75r	36.48	71.47	-3.68	71.57	357



Ein und Ausgabe: Farbmetrisches Drucker-Reflektiv-System FRS09\_92a für relativen CIELAB-Buntton  $h^* = lab^*h^* = h_{ab}/360 = 127/360 = 0.354$

Daten für jede Farbe:

$lab^*ch^*$  und  $lab^*icu^*$

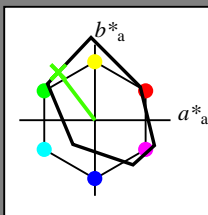
Elementar-Bunttontext:

$u^* = j50g$

Kontrastreduzierungsfaktor:

$c_R = 1.0$

Dreiecks-Helligkeit  $i^*$



FRS09\_92a; adaptierte CIELAB-Daten

	$L^* = L^*_a$	$a^*_a$	$b^*_a$	$C^*_{ab,a}$	$h^*_{ab,a}$
O <sub>Ma</sub>	35.06	60.0	44.0	74.4	36
Y <sub>Ma</sub>	83.77	-5.16	109.32	109.44	93
L <sub>Ma</sub>	44.13	-62.66	48.24	79.09	142
C <sub>Ma</sub>	52.66	-29.13	-31.98	43.27	228
V <sub>Ma</sub>	14.15	50.3	-59.03	77.57	310
M <sub>Ma</sub>	37.37	78.64	-33.49	85.48	337
N <sub>Ma</sub>	8.58	0.0	0.0	0.0	0
W <sub>Ma</sub>	92.02	0.0	0.0	0.0	0
R <sub>CIE</sub>	39.92	58.74	27.99	65.07	25
J <sub>CIE</sub>	81.26	-2.88	71.56	71.62	92
G <sub>CIE</sub>	52.23	-42.41	13.6	44.55	162
B <sub>CIE</sub>	30.57	1.41	-46.46	46.49	272

Daten für Maximalfarbe (Ma):

$LAB^*LAB^*_{Ma}$ : 54 -47 63

$LAB^*LCH^*_{Ma}$ : 54 80 127

$lab^*rgb^*_{Ma}$ : 0.5 1.0 0.0

$lab^*olv^*_{Ma}$ : 0.25 1.0 0.0

Dreiecks-Helligkeit  $i^*$

%Umfang

$u^*_{rel} = 109$

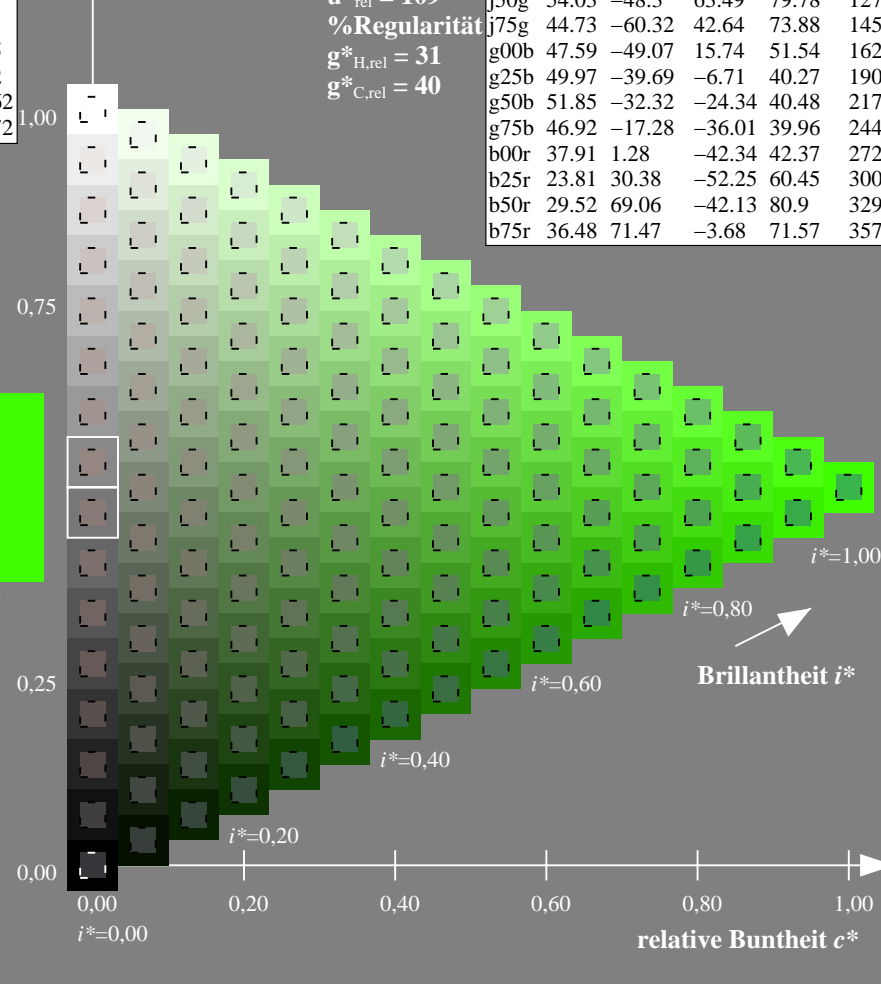
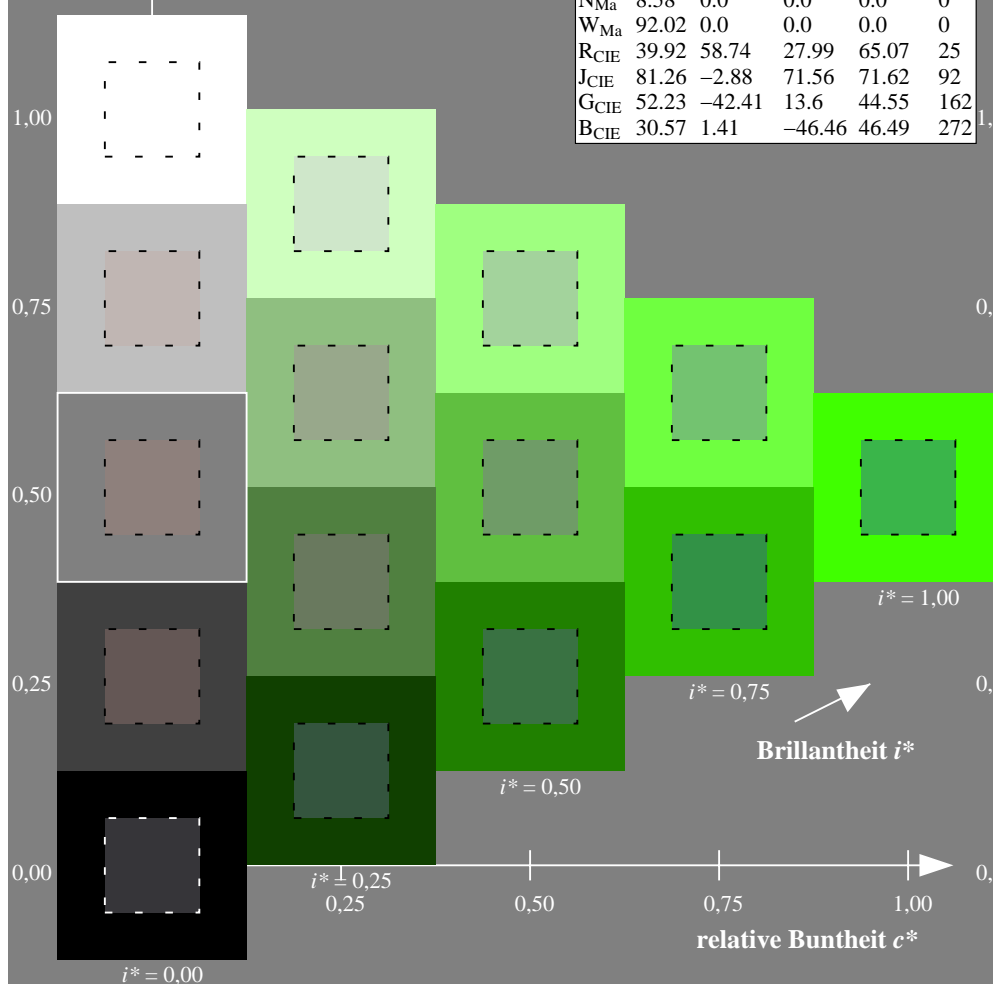
%Regularität

$g^*_{H,rel} = 31$

$g^*_{C,rel} = 40$

FRS09\_92a; adaptierte CIELAB-Daten

	$L^* = L^*_a$	$a^*_a$	$b^*_a$	$C^*_{ab,a}$	$h^*_{ab,a}$
r00j	35.47	63.32	30.17	70.15	25
r25j	39.12	54.56	49.45	73.64	42
r50j	50.64	39.15	64.89	75.79	59
r75j	64.01	21.26	82.83	85.52	76
j00g	83.18	-4.37	108.53	108.62	92
j25g	66.73	-29.88	83.06	88.28	110
j50g	54.03	-48.3	63.49	79.78	127
j75g	44.73	-60.32	42.64	73.88	145
g00b	47.59	-49.07	15.74	51.54	162
g25b	49.97	-39.69	-6.71	40.27	190
g50b	51.85	-32.32	-24.34	40.48	217
g75b	46.92	-17.28	-36.01	39.96	244
b00r	37.91	1.28	-42.34	42.37	272
b25r	23.81	30.38	-52.25	60.45	300
b50r	29.52	69.06	-42.13	80.9	329
b75r	36.48	71.47	-3.68	71.57	357





Ein und Ausgabe: Farbmetrisches Drucker-Reflektiv-System FRS09\_92a für relativen CIELAB-Buntton  $h^* = lab^*h^* = h_{ab}/360 = 145/360 = 0.402$

Daten für jede Farbe:

$lab^*ch^*$  und  $lab^*icu^*$

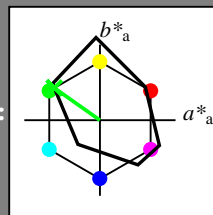
Elementar-Bunttontext:

$u^* = j75g$

Kontrastreduzierungsfaktor:

$c_R = 1.0$

Dreiecks-Helligkeit  $i^*$



FRS09\_92a; adaptierte CIELAB-Daten

	$L^* = L^*_a$	$a^*_a$	$b^*_a$	$C^*_{ab,a}$	$h^*_{ab,a}$
O <sub>Ma</sub>	35.06	60.0	44.0	74.4	36
Y <sub>Ma</sub>	83.77	-5.16	109.32	109.44	93
L <sub>Ma</sub>	44.13	-62.66	48.24	79.09	142
C <sub>Ma</sub>	52.66	-29.13	-31.98	43.27	228
V <sub>Ma</sub>	14.15	50.3	-59.03	77.57	310
M <sub>Ma</sub>	37.37	78.64	-33.49	85.48	337
N <sub>Ma</sub>	8.58	0.0	0.0	0.0	0
W <sub>Ma</sub>	92.02	0.0	0.0	0.0	0
R <sub>CIE</sub>	39.92	58.74	27.99	65.07	25
J <sub>CIE</sub>	81.26	-2.88	71.56	71.62	92
G <sub>CIE</sub>	52.23	-42.41	13.6	44.55	162
B <sub>CIE</sub>	30.57	1.41	-46.46	46.49	272

Daten für Maximalfarbe (Ma):

$LAB^*LAB^*_{Ma}$ : 45 -59 43

$LAB^*LCH^*_{Ma}$ : 45 74 145

$lab^*rgb^*_{Ma}$ : 0.25 1.0 0.0

$lab^*olv^*_{Ma}$ : 0.0 1.0 0.07

Dreiecks-Helligkeit  $i^*$

%Umfang

$u^*_{rel} = 109$

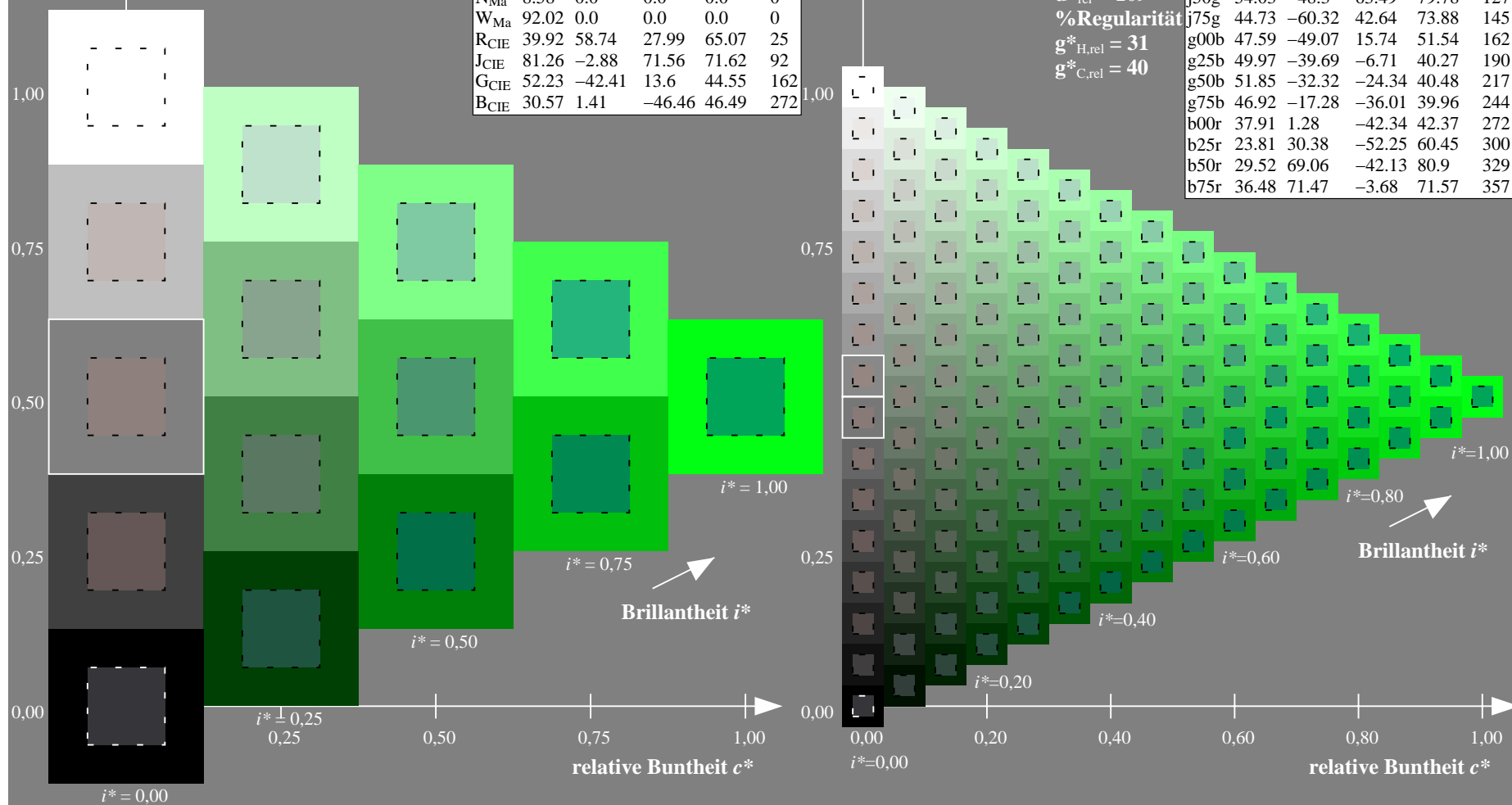
%Regularität

$g^*_{H,rel} = 31$

$g^*_{C,rel} = 40$

FRS09\_92a; adaptierte CIELAB-Daten

	$L^* = L^*_a$	$a^*_a$	$b^*_a$	$C^*_{ab,a}$	$h^*_{ab,a}$
r00j	35.47	63.32	30.17	70.15	25
r25j	39.12	54.56	49.45	73.64	42
r50j	50.64	39.15	64.89	75.79	59
r75j	64.01	21.26	82.83	85.52	76
j00g	83.18	-4.37	108.53	108.62	92
j25g	66.73	-29.88	83.06	88.28	110
j50g	54.03	-48.3	63.49	79.78	127
j75g	44.73	-60.32	42.64	73.88	145
g00b	47.59	-49.07	15.74	51.54	162
g25b	49.97	-39.69	-6.71	40.27	190
g50b	51.85	-32.32	-24.34	40.48	217
g75b	46.92	-17.28	-36.01	39.96	244
b00r	37.91	1.28	-42.34	42.37	272
b25r	23.81	30.38	-52.25	60.45	300
b50r	29.52	69.06	-42.13	80.9	329
b75r	36.48	71.47	-3.68	71.57	357



Ein und Ausgabe: Farbmetrisches Drucker-Reflektiv-System FRS09\_92a für relativen CIELAB-Buntton  $h^* = lab^*h^* = h_{ab}/360 = 162/360 = 0.451$

Daten für jede Farbe:

$lab^*ch^*$  und  $lab^*icu^*$

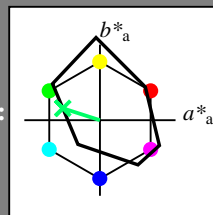
Elementar-Bunttontext:

$u^* = g00b$

Kontrastreduzierungsfaktor:

$c_R = 1.0$

Dreiecks-Helligkeit  $i^*$



FRS09\_92a; adaptierte CIELAB-Daten

	$L^*=L_a^*$	$a_a^*$	$b_a^*$	$C_{ab,a}^*$	$h_{ab,a}^*$
O <sub>Ma</sub>	35.06	60.0	44.0	74.4	36
Y <sub>Ma</sub>	83.77	-5.16	109.32	109.44	93
L <sub>Ma</sub>	44.13	-62.66	48.24	79.09	142
C <sub>Ma</sub>	52.66	-29.13	-31.98	43.27	228
V <sub>Ma</sub>	14.15	50.3	-59.03	77.57	310
M <sub>Ma</sub>	37.37	78.64	-33.49	85.48	337
N <sub>Ma</sub>	8.58	0.0	0.0	0.0	0
W <sub>Ma</sub>	92.02	0.0	0.0	0.0	0
R <sub>CIE</sub>	39.92	58.74	27.99	65.07	25
J <sub>CIE</sub>	81.26	-2.88	71.56	71.62	92
G <sub>CIE</sub>	52.23	-42.41	13.6	44.55	162
B <sub>CIE</sub>	30.57	1.41	-46.46	46.49	272

Daten für Maximalfarbe (Ma):

$LAB^*LAB^*_{Ma}$ : 48 -48 16

$LAB^*LCH^*_{Ma}$ : 48 52 162

$lab^*rgb^*_{Ma}$ : 0.0 1.0 0.0

$lab^*olv^*_{Ma}$ : 0.0 1.0 0.41

Dreiecks-Helligkeit  $i^*$

%Umfang

$u^*_{rel} = 109$

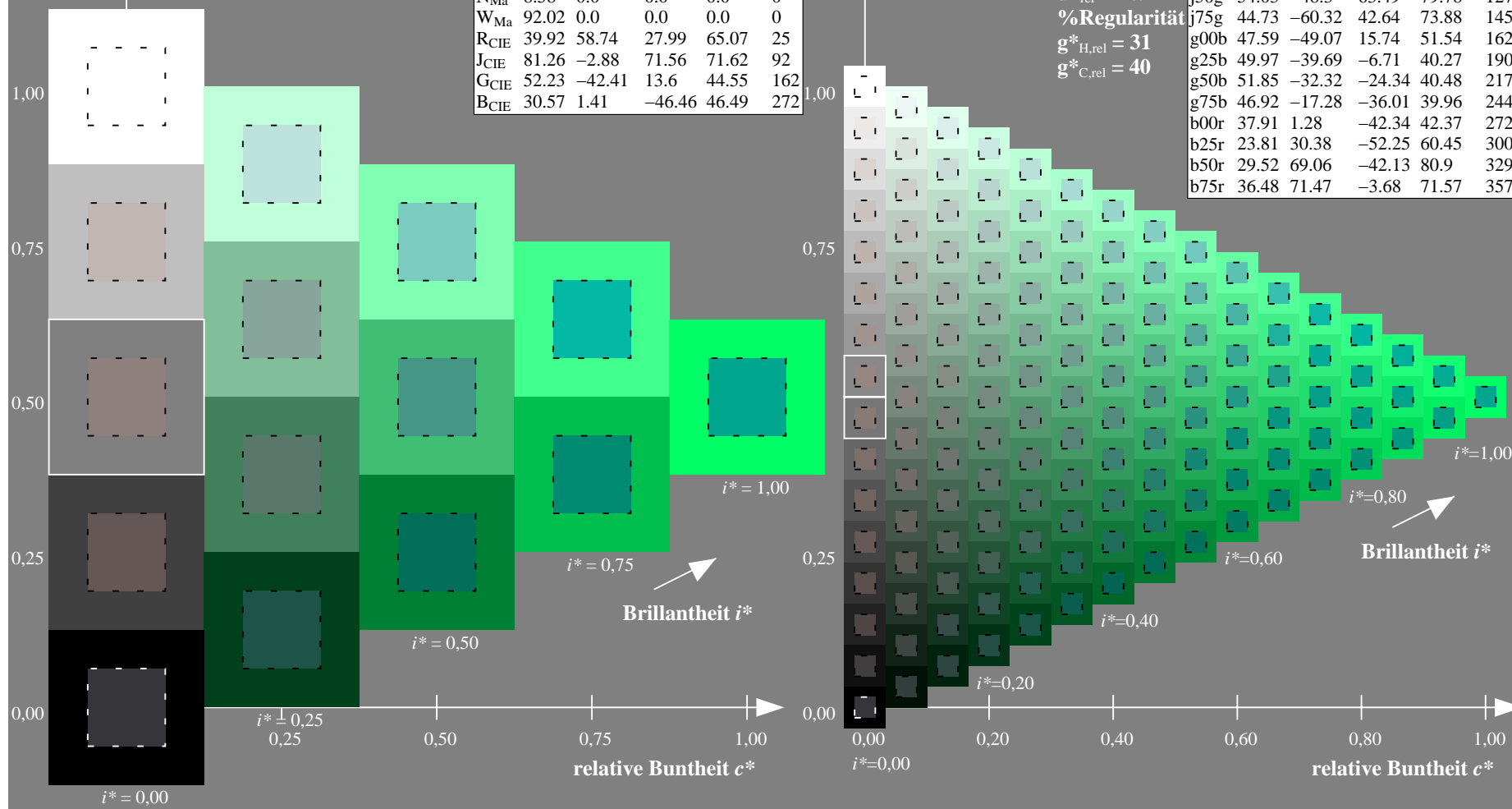
%Regularität

$g^*_{H,rel} = 31$

$g^*_{C,rel} = 40$

FRS09\_92a; adaptierte CIELAB-Daten

	$L^*=L_a^*$	$a_a^*$	$b_a^*$	$C_{ab,a}^*$	$h_{ab,a}^*$
r00j	35.47	63.32	30.17	70.15	25
r25j	39.12	54.56	49.45	73.64	42
r50j	50.64	39.15	64.89	75.79	59
r75j	64.01	21.26	82.83	85.52	76
j00g	83.18	-4.37	108.53	108.62	92
j25g	66.73	-29.88	83.06	88.28	110
j50g	54.03	-48.3	63.49	79.78	127
j75g	44.73	-60.32	42.64	73.88	145
g00b	47.59	-49.07	15.74	51.54	162
g25b	49.97	-39.69	-6.71	40.27	190
g50b	51.85	-32.32	-24.34	40.48	217
g75b	46.92	-17.28	-36.01	39.96	244
b00r	37.91	1.28	-42.34	42.37	272
b25r	23.81	30.38	-52.25	60.45	300
b50r	29.52	69.06	-42.13	80.9	329
b75r	36.48	71.47	-3.68	71.57	357



Ein und Ausgabe: Farbmetrisches Drucker-Reflektiv-System FRS09\_92a für relativen CIELAB-Buntton  $h^* = lab^*h^* = h_{ab}/360 = 190/360 = 0.527$

Daten für jede Farbe:

$lab^*ch^*$  und  $lab^*icu^*$

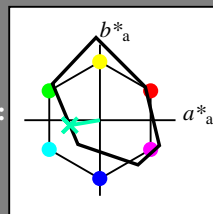
Elementar-Bunttontext:

$u^* = g25b$

Kontrastreduzierungsfaktor:

$c_R = 1.0$

Dreiecks-Helligkeit  $i^*$



FRS09\_92a; adaptierte CIELAB-Daten

	$L^*=L^*_a$	$a^*_a$	$b^*_a$	$C^*_{ab,a}$	$h^*_{ab,a}$
O <sub>Ma</sub>	35.06	60.0	44.0	74.4	36
Y <sub>Ma</sub>	83.77	-5.16	109.32	109.44	93
L <sub>Ma</sub>	44.13	-62.66	48.24	79.09	142
C <sub>Ma</sub>	52.66	-29.13	-31.98	43.27	228
V <sub>Ma</sub>	14.15	50.3	-59.03	77.57	310
M <sub>Ma</sub>	37.37	78.64	-33.49	85.48	337
N <sub>Ma</sub>	8.58	0.0	0.0	0.0	0
W <sub>Ma</sub>	92.02	0.0	0.0	0.0	0
R <sub>CIE</sub>	39.92	58.74	27.99	65.07	25
J <sub>CIE</sub>	81.26	-2.88	71.56	71.62	92
G <sub>CIE</sub>	52.23	-42.41	13.6	44.55	162
B <sub>CIE</sub>	30.57	1.41	-46.46	46.49	272

Daten für Maximalfarbe (Ma):

$LAB^*LAB^*_{Ma}$ : 50 -39 -6

$LAB^*LCH^*_{Ma}$ : 50 40 190

$lab^*rgb^*_{Ma}$ : 0.0 1.0 0.5

$lab^*olv^*_{Ma}$ : 0.0 1.0 0.69

Dreiecks-Helligkeit  $i^*$

%Umfang

$u^*_{rel} = 109$

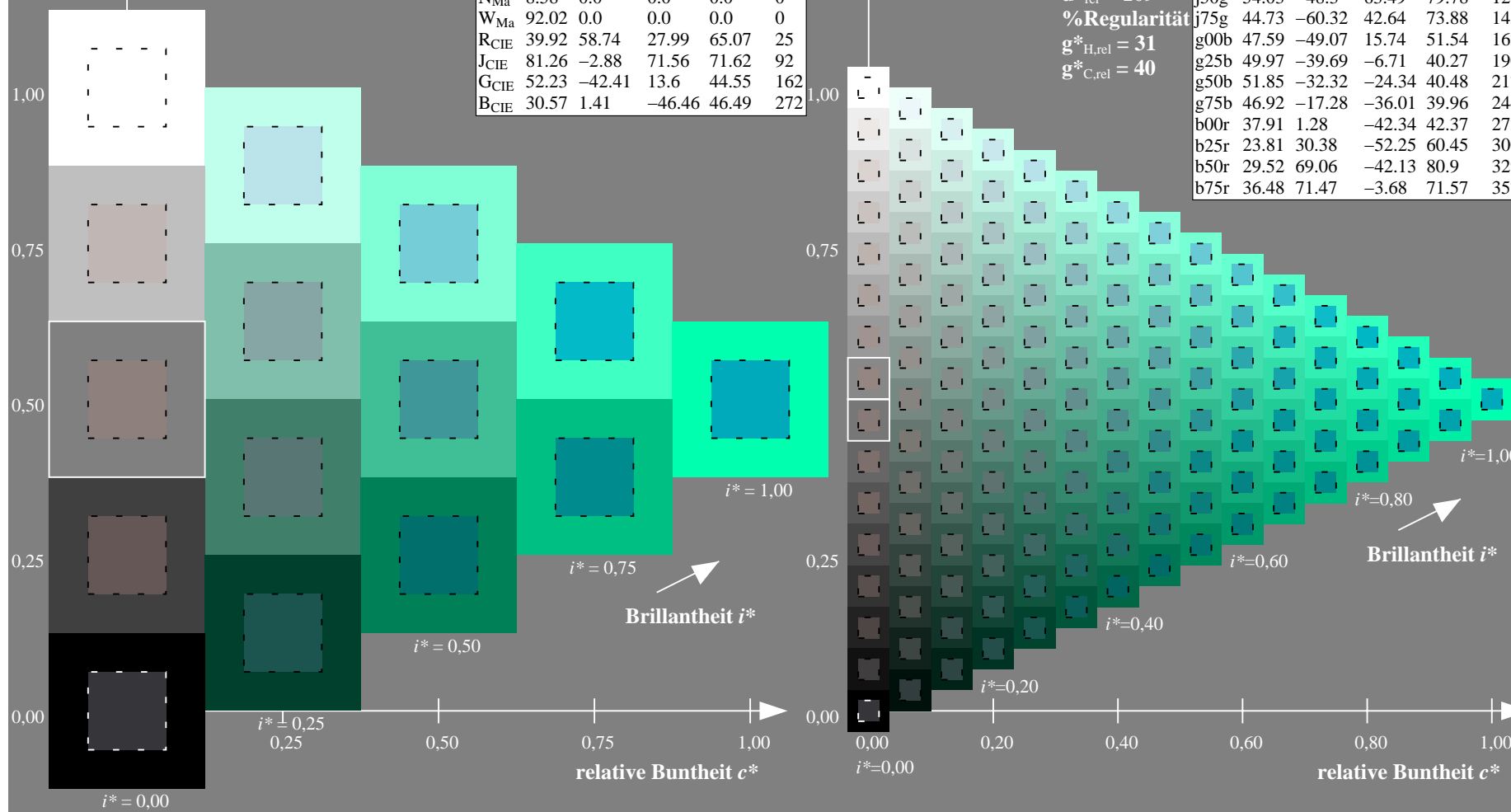
%Regularität

$g^*_{H,rel} = 31$

$g^*_{C,rel} = 40$

FRS09\_92a; adaptierte CIELAB-Daten

	$L^*=L^*_a$	$a^*_a$	$b^*_a$	$C^*_{ab,a}$	$h^*_{ab,a}$
r00j	35.47	63.32	30.17	70.15	25
r25j	39.12	54.56	49.45	73.64	42
r50j	50.64	39.15	64.89	75.79	59
r75j	64.01	21.26	82.83	85.52	76
j00g	83.18	-4.37	108.53	108.62	92
j25g	66.73	-29.88	83.06	88.28	110
j50g	54.03	-48.3	63.49	79.78	127
j75g	44.73	-60.32	42.64	73.88	145
g00b	47.59	-49.07	15.74	51.54	162
g25b	49.97	-39.69	-6.71	40.27	190
g50b	51.85	-32.32	-24.34	40.48	217
g75b	46.92	-17.28	-36.01	39.96	244
b00r	37.91	1.28	-42.34	42.37	272
b25r	23.81	30.38	-52.25	60.45	300
b50r	29.52	69.06	-42.13	80.9	329
b75r	36.48	71.47	-3.68	71.57	357



Ein und Ausgabe: Farbmetrisches Drucker-Reflektiv-System FRS09\_92a für relativen CIELAB-Buntton  $h^* = lab^*h^* = h_{ab}/360 = 217/360 = 0.603$

Daten für jede Farbe:

$lab^*ch^*$  und  $lab^*icu^*$

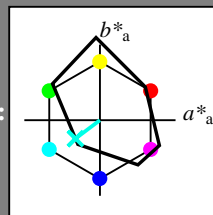
Elementar-Bunttontext:

$u^* = g50b$

Kontrastreduzierungsfaktor:

$c_R = 1.0$

Dreiecks-Helligkeit  $i^*$



FRS09\_92a; adaptierte CIELAB-Daten

	$L^*=L_a^*$	$a_a^*$	$b_a^*$	$C_{ab,a}^*$	$h_{ab,a}^*$
O <sub>Ma</sub>	35.06	60.0	44.0	74.4	36
Y <sub>Ma</sub>	83.77	-5.16	109.32	109.44	93
L <sub>Ma</sub>	44.13	-62.66	48.24	79.09	142
C <sub>Ma</sub>	52.66	-29.13	-31.98	43.27	228
V <sub>Ma</sub>	14.15	50.3	-59.03	77.57	310
M <sub>Ma</sub>	37.37	78.64	-33.49	85.48	337
N <sub>Ma</sub>	8.58	0.0	0.0	0.0	0
W <sub>Ma</sub>	92.02	0.0	0.0	0.0	0
R <sub>CIE</sub>	39.92	58.74	27.99	65.07	25
J <sub>CIE</sub>	81.26	-2.88	71.56	71.62	92
G <sub>CIE</sub>	52.23	-42.41	13.6	44.55	162
B <sub>CIE</sub>	30.57	1.41	-46.46	46.49	272

Daten für Maximalfarbe (Ma):

$LAB^*LAB^*Ma$ : 52 -31 -23

$LAB^*LCH^*Ma$ : 52 40 217

$lab^*rgb^*Ma$ : 0.0 1.0 1.0

$lab^*olv^*Ma$ : 0.0 1.0 0.9

Dreiecks-Helligkeit  $i^*$

%Umfang

$u^*_{rel} = 109$

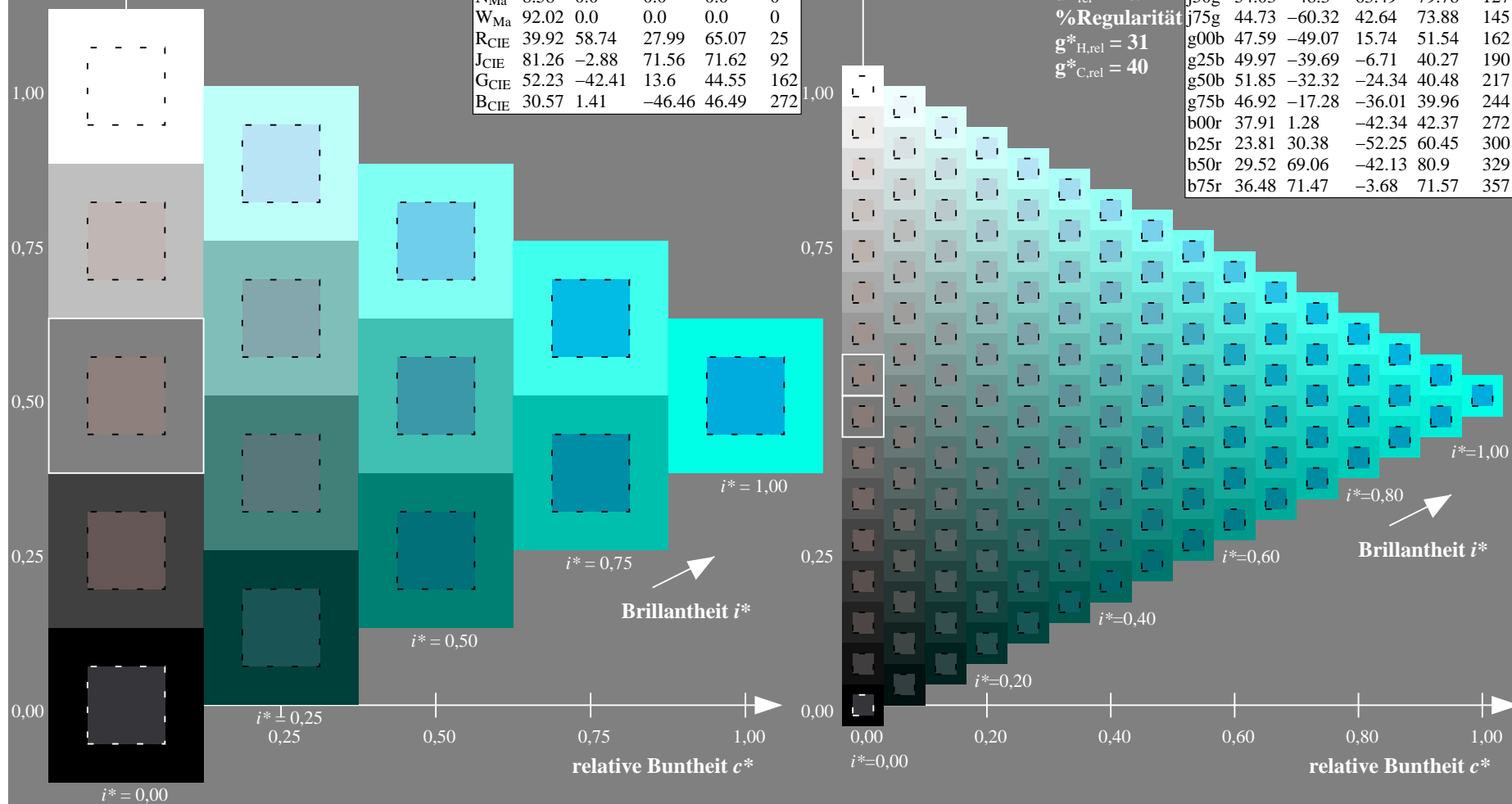
%Regularität

$g^*_{H,rel} = 31$

$g^*_{C,rel} = 40$

FRS09\_92a; adaptierte CIELAB-Daten

	$L^*=L_a^*$	$a_a^*$	$b_a^*$	$C_{ab,a}^*$	$h_{ab,a}^*$
r00j	35.47	63.32	30.17	70.15	25
r25j	39.12	54.56	49.45	73.64	42
r50j	50.64	39.15	64.89	75.79	59
r75j	64.01	21.26	82.83	85.52	76
j00g	83.18	-4.37	108.53	108.62	92
j25g	66.73	-29.88	83.06	88.28	110
j50g	54.03	-48.3	63.49	79.78	127
j75g	44.73	-60.32	42.64	73.88	145
g00b	47.59	-49.07	15.74	51.54	162
g25b	49.97	-39.69	-6.71	40.27	190
g50b	51.85	-32.32	-24.34	40.48	217
g75b	46.92	-17.28	-36.01	39.96	244
b00r	37.91	1.28	-42.34	42.37	272
b25r	23.81	30.38	-52.25	60.45	300
b50r	29.52	69.06	-42.13	80.9	329
b75r	36.48	71.47	-3.68	71.57	357



Ein und Ausgabe: Farbmetrisches Drucker-Reflektiv-System FRS09\_92a für relativen CIELAB-Buntton  $h^* = lab^*h^* = h_{ab}/360 = 244/360 = 0.679$

Daten für jede Farbe:

$lab^*ch^*$  und  $lab^*icu^*$

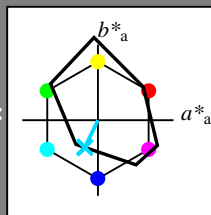
Elementar-Bunttontext:

$u^* = g75b$

Kontrastreduzierungsfaktor:

$c_R = 1.0$

Dreiecks-Helligkeit  $i^*$



FRS09\_92a; adaptierte CIELAB-Daten

	$L^*=L_a^*$	$a_a^*$	$b_a^*$	$C_{ab,a}^*$	$h_{ab,a}^*$
O <sub>Ma</sub>	35.06	60.0	44.0	74.4	36
Y <sub>Ma</sub>	83.77	-5.16	109.32	109.44	93
L <sub>Ma</sub>	44.13	-62.66	48.24	79.09	142
C <sub>Ma</sub>	52.66	-29.13	-31.98	43.27	228
V <sub>Ma</sub>	14.15	50.3	-59.03	77.57	310
M <sub>Ma</sub>	37.37	78.64	-33.49	85.48	337
N <sub>Ma</sub>	8.58	0.0	0.0	0.0	0
W <sub>Ma</sub>	92.02	0.0	0.0	0.0	0
R <sub>CIE</sub>	39.92	58.74	27.99	65.07	25
J <sub>CIE</sub>	81.26	-2.88	71.56	71.62	92
G <sub>CIE</sub>	52.23	-42.41	13.6	44.55	162
B <sub>CIE</sub>	30.57	1.41	-46.46	46.49	272

Daten für Maximalfarbe (Ma):

$LAB^*LAB^*_{Ma}$ : 47 -16 -35

$LAB^*LCH^*_{Ma}$ : 47 40 244

$lab^*rgb^*_{Ma}$ : 0.0 0.5 1.0

$lab^*olv^*_{Ma}$ : 0.0 0.85 1.0

Dreiecks-Helligkeit  $i^*$

%Umfang

$u^*_{rel} = 109$

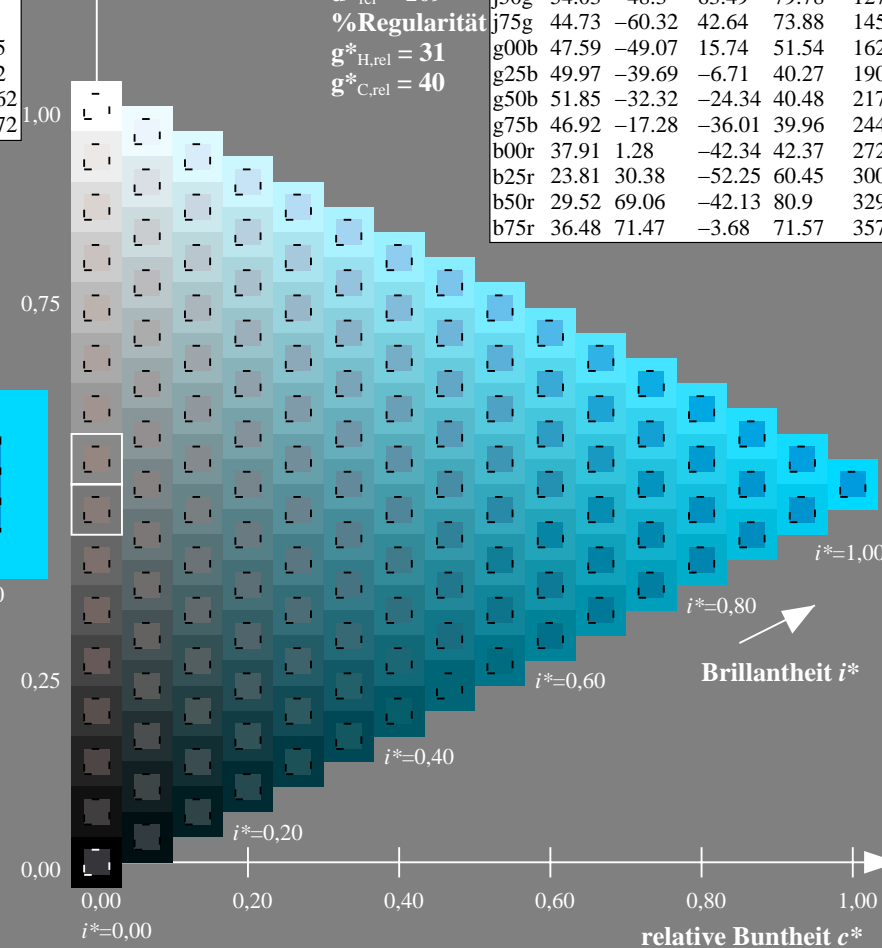
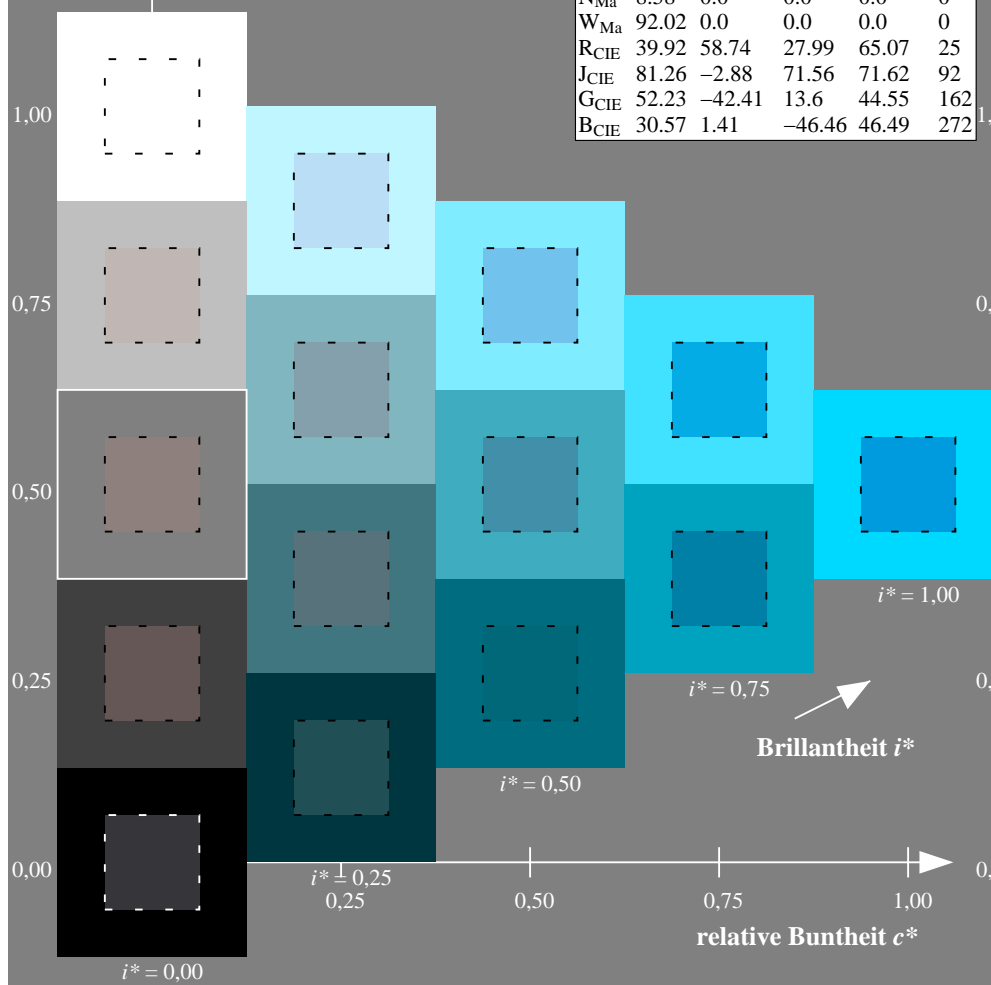
%Regularität

$g^*_{H,rel} = 31$

$g^*_{C,rel} = 40$

FRS09\_92a; adaptierte CIELAB-Daten

	$L^*=L_a^*$	$a_a^*$	$b_a^*$	$C_{ab,a}^*$	$h_{ab,a}^*$
r00j	35.47	63.32	30.17	70.15	25
r25j	39.12	54.56	49.45	73.64	42
r50j	50.64	39.15	64.89	75.79	59
r75j	64.01	21.26	82.83	85.52	76
j00g	83.18	-4.37	108.53	108.62	92
j25g	66.73	-29.88	83.06	88.28	110
j50g	54.03	-48.3	63.49	79.78	127
j75g	44.73	-60.32	42.64	73.88	145
g00b	47.59	-49.07	15.74	51.54	162
g25b	49.97	-39.69	-6.71	40.27	190
g50b	51.85	-32.32	-24.34	40.48	217
g75b	46.92	-17.28	-36.01	39.96	244
b00r	37.91	1.28	-42.34	42.37	272
b25r	23.81	30.38	-52.25	60.45	300
b50r	29.52	69.06	-42.13	80.9	329
b75r	36.48	71.47	-3.68	71.57	357



Ein und Ausgabe: Farbmetrisches Drucker-Reflektiv-System FRS09\_92a für relativen CIELAB-Buntton  $h^* = lab^*h^* = h_{ab}/360 = 272/360 = 0.755$

Daten für jede Farbe:

$lab^*tch^*$  und  $lab^*icu^*$

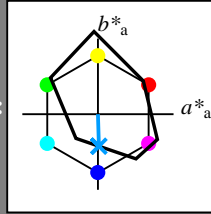
Elementar-Bunttontext:

$u^* = b00r$

Kontrastreduzierungsfaktor:

$c_R = 1.0$

Dreiecks-Helligkeit  $i^*$



FRS09\_92a; adaptierte CIELAB-Daten

	$L^*=L^*_a$	$a^*_a$	$b^*_a$	$C^*_{ab,a}$	$h^*_{ab,a}$
O <sub>Ma</sub>	35.06	60.0	44.0	74.4	36
Y <sub>Ma</sub>	83.77	-5.16	109.32	109.44	93
L <sub>Ma</sub>	44.13	-62.66	48.24	79.09	142
C <sub>Ma</sub>	52.66	-29.13	-31.98	43.27	228
V <sub>Ma</sub>	14.15	50.3	-59.03	77.57	310
M <sub>Ma</sub>	37.37	78.64	-33.49	85.48	337
N <sub>Ma</sub>	8.58	0.0	0.0	0.0	0
W <sub>Ma</sub>	92.02	0.0	0.0	0.0	0
R <sub>CIE</sub>	39.92	58.74	27.99	65.07	25
J <sub>CIE</sub>	81.26	-2.88	71.56	71.62	92
G <sub>CIE</sub>	52.23	-42.41	13.6	44.55	162
B <sub>CIE</sub>	30.57	1.41	-46.46	46.49	272

Daten für Maximalfarbe (Ma):

$LAB^*LAB^*_{Ma}$ : 38 1 -41

$LAB^*LCH^*_{Ma}$ : 38 42 272

$lab^*rgb^*_{Ma}$ : 0.0 0.0 1.0

$lab^*olv^*_{Ma}$ : 0.0 0.62 1.0

Dreiecks-Helligkeit  $i^*$

%Umfang

$u^*_{rel} = 109$

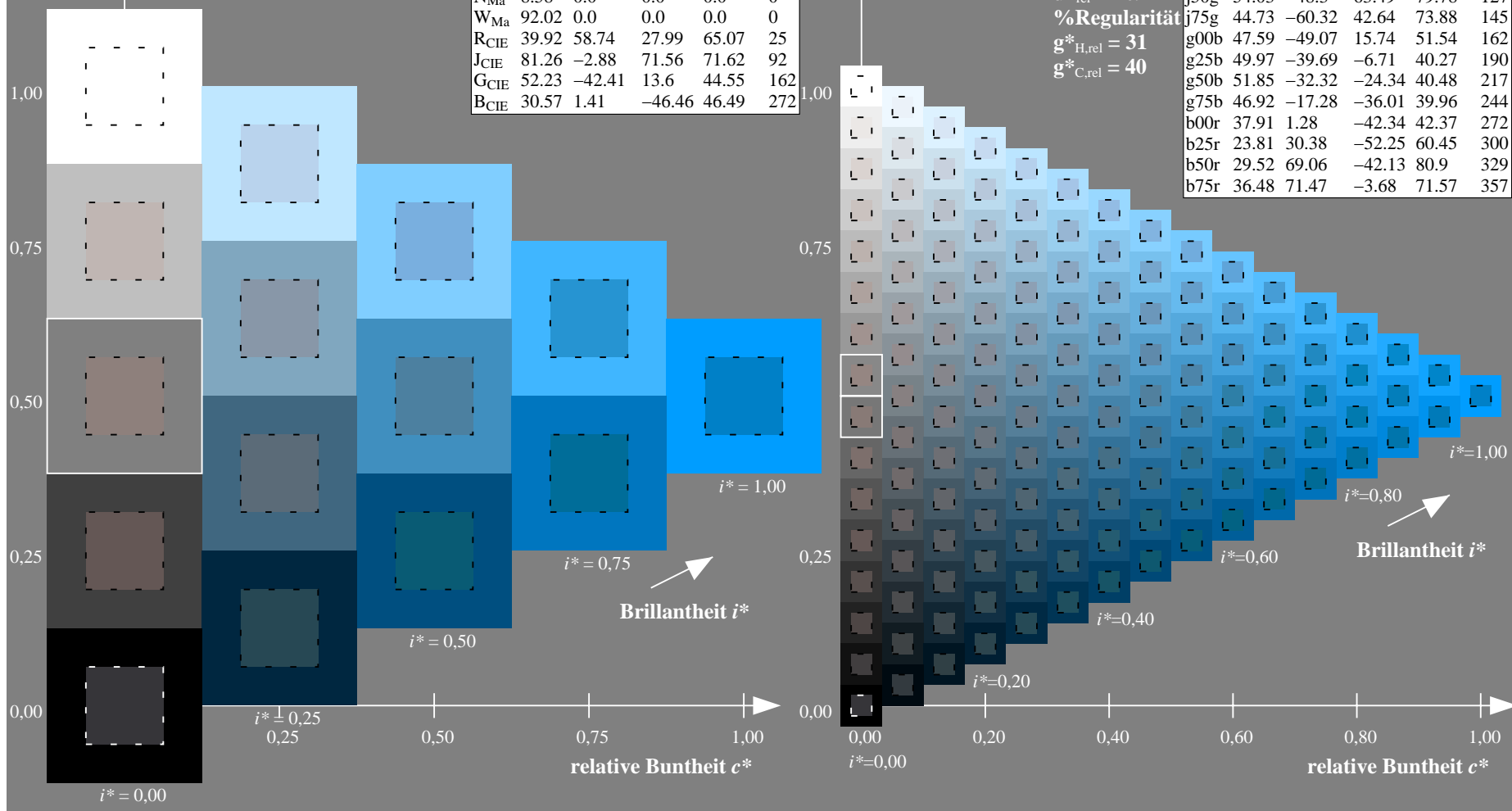
%Regularität

$g^*_{H,rel} = 31$

$g^*_{C,rel} = 40$

FRS09\_92a; adaptierte CIELAB-Daten

	$L^*=L^*_a$	$a^*_a$	$b^*_a$	$C^*_{ab,a}$	$h^*_{ab,a}$
r00j	35.47	63.32	30.17	70.15	25
r25j	39.12	54.56	49.45	73.64	42
r50j	50.64	39.15	64.89	75.79	59
r75j	64.01	21.26	82.83	85.52	76
j00g	83.18	-4.37	108.53	108.62	92
j25g	66.73	-29.88	83.06	88.28	110
j50g	54.03	-48.3	63.49	79.78	127
j75g	44.73	-60.32	42.64	73.88	145
g00b	47.59	-49.07	15.74	51.54	162
g25b	49.97	-39.69	-6.71	40.27	190
g50b	51.85	-32.32	-24.34	40.48	217
g75b	46.92	-17.28	-36.01	39.96	244
b00r	37.91	1.28	-42.34	42.37	272
b25r	23.81	30.38	-52.25	60.45	300
b50r	29.52	69.06	-42.13	80.9	329
b75r	36.48	71.47	-3.68	71.57	357





Ein und Ausgabe: Farbmatisches Drucker-Reflektiv-System FRS09\_92a für relativen CIELAB-Buntton  $h^* = lab^*h^* = h_{ab}/360 = 300/360 = 0.834$

Daten für jede Farbe:

$lab^*ch^*$  und  $lab^*icu^*$

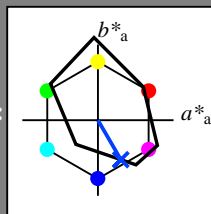
Elementar-Bunttontext:

$u^* = b25r$

Kontrastreduzierungsfaktor:

$c_R = 1.0$

Dreiecks-Helligkeit  $t^*$



FRS09\_92a; adaptierte CIELAB-Daten

	$L^*=L^*_a$	$a^*_a$	$b^*_a$	$C^*_{ab,a}$	$h^*_{ab,a}$
O <sub>Ma</sub>	35.06	60.0	44.0	74.4	36
Y <sub>Ma</sub>	83.77	-5.16	109.32	109.44	93
L <sub>Ma</sub>	44.13	-62.66	48.24	79.09	142
C <sub>Ma</sub>	52.66	-29.13	-31.98	43.27	228
V <sub>Ma</sub>	14.15	50.3	-59.03	77.57	310
M <sub>Ma</sub>	37.37	78.64	-33.49	85.48	337
N <sub>Ma</sub>	8.58	0.0	0.0	0.0	0
W <sub>Ma</sub>	92.02	0.0	0.0	0.0	0
R <sub>CIE</sub>	39.92	58.74	27.99	65.07	25
J <sub>CIE</sub>	81.26	-2.88	71.56	71.62	92
G <sub>CIE</sub>	52.23	-42.41	13.6	44.55	162
B <sub>CIE</sub>	30.57	1.41	-46.46	46.49	272

Daten für Maximalfarbe (Ma):

$LAB^*LAB^*_{Ma}$ : 24 30 -51

$LAB^*LCH^*_{Ma}$ : 24 60 300

$lab^*rgb^*_{Ma}$ : 0.5 0.0 1.0

$lab^*olv^*_{Ma}$ : 0.0 0.25 1.0

Dreiecks-Helligkeit  $t^*$

%Umfang

$u^*_{rel} = 109$

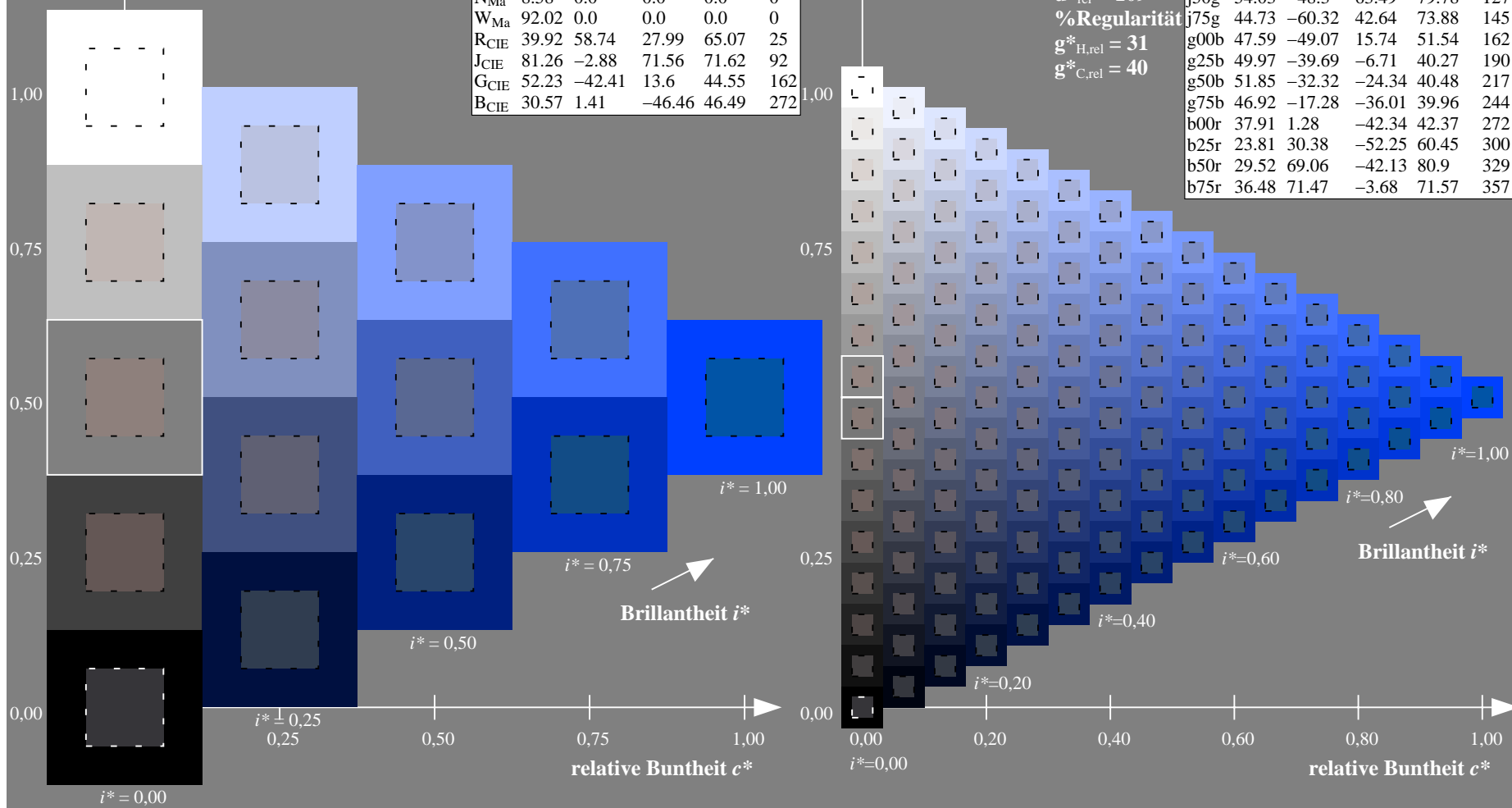
%Regularität

$g^*_{H,rel} = 31$

$g^*_{C,rel} = 40$

FRS09\_92a; adaptierte CIELAB-Daten

	$L^*=L^*_a$	$a^*_a$	$b^*_a$	$C^*_{ab,a}$	$h^*_{ab,a}$
r00j	35.47	63.32	30.17	70.15	25
r25j	39.12	54.56	49.45	73.64	42
r50j	50.64	39.15	64.89	75.79	59
r75j	64.01	21.26	82.83	85.52	76
j00g	83.18	-4.37	108.53	108.62	92
j25g	66.73	-29.88	83.06	88.28	110
j50g	54.03	-48.3	63.49	79.78	127
j75g	44.73	-60.32	42.64	73.88	145
g00b	47.59	-49.07	15.74	51.54	162
g25b	49.97	-39.69	-6.71	40.27	190
g50b	51.85	-32.32	-24.34	40.48	217
g75b	46.92	-17.28	-36.01	39.96	244
b00r	37.91	1.28	-42.34	42.37	272
b25r	23.81	30.38	-52.25	60.45	300
b50r	29.52	69.06	-42.13	80.9	329
b75r	36.48	71.47	-3.68	71.57	357



Ein und Ausgabe: Farbmimetrisches Drucker-Reflektiv-System FRS09\_92a für relativen CIELAB-Buntton  $h^* = lab^*h^* = h_{ab}/360 = 329/360 = 0.913$

Daten für jede Farbe:

$lab^*tch^*$  und  $lab^*icu^*$

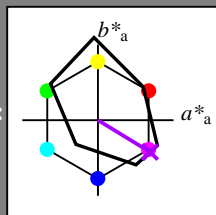
Elementar-Bunttontext:

$u^* = b50r$

Kontrastreduzierungsfaktor:

$c_R = 1.0$

Dreiecks-Helligkeit  $t^*$



FRS09\_92a; adaptierte CIELAB-Daten

	$L^*=L_a^*$	$a_a^*$	$b_a^*$	$C_{ab,a}^*$	$h_{ab,a}^*$
O <sub>Ma</sub>	35.06	60.0	44.0	74.4	36
Y <sub>Ma</sub>	83.77	-5.16	109.32	109.44	93
L <sub>Ma</sub>	44.13	-62.66	48.24	79.09	142
C <sub>Ma</sub>	52.66	-29.13	-31.98	43.27	228
V <sub>Ma</sub>	14.15	50.3	-59.03	77.57	310
M <sub>Ma</sub>	37.37	78.64	-33.49	85.48	337
N <sub>Ma</sub>	8.58	0.0	0.0	0.0	0
W <sub>Ma</sub>	92.02	0.0	0.0	0.0	0
R <sub>CIE</sub>	39.92	58.74	27.99	65.07	25
J <sub>CIE</sub>	81.26	-2.88	71.56	71.62	92
G <sub>CIE</sub>	52.23	-42.41	13.6	44.55	162
B <sub>CIE</sub>	30.57	1.41	-46.46	46.49	272

Daten für Maximalfarbe (Ma):

$LAB^*LAB^*_{Ma}$ : 30 69 -41

$LAB^*LCH^*_{Ma}$ : 30 81 329

$lab^*rgb^*_{Ma}$ : 1.0 0.0 1.0

$lab^*olv^*_{Ma}$ : 0.66 0.0 1.0

Dreiecks-Helligkeit  $t^*$

%Umfang

$u^*_{rel} = 109$

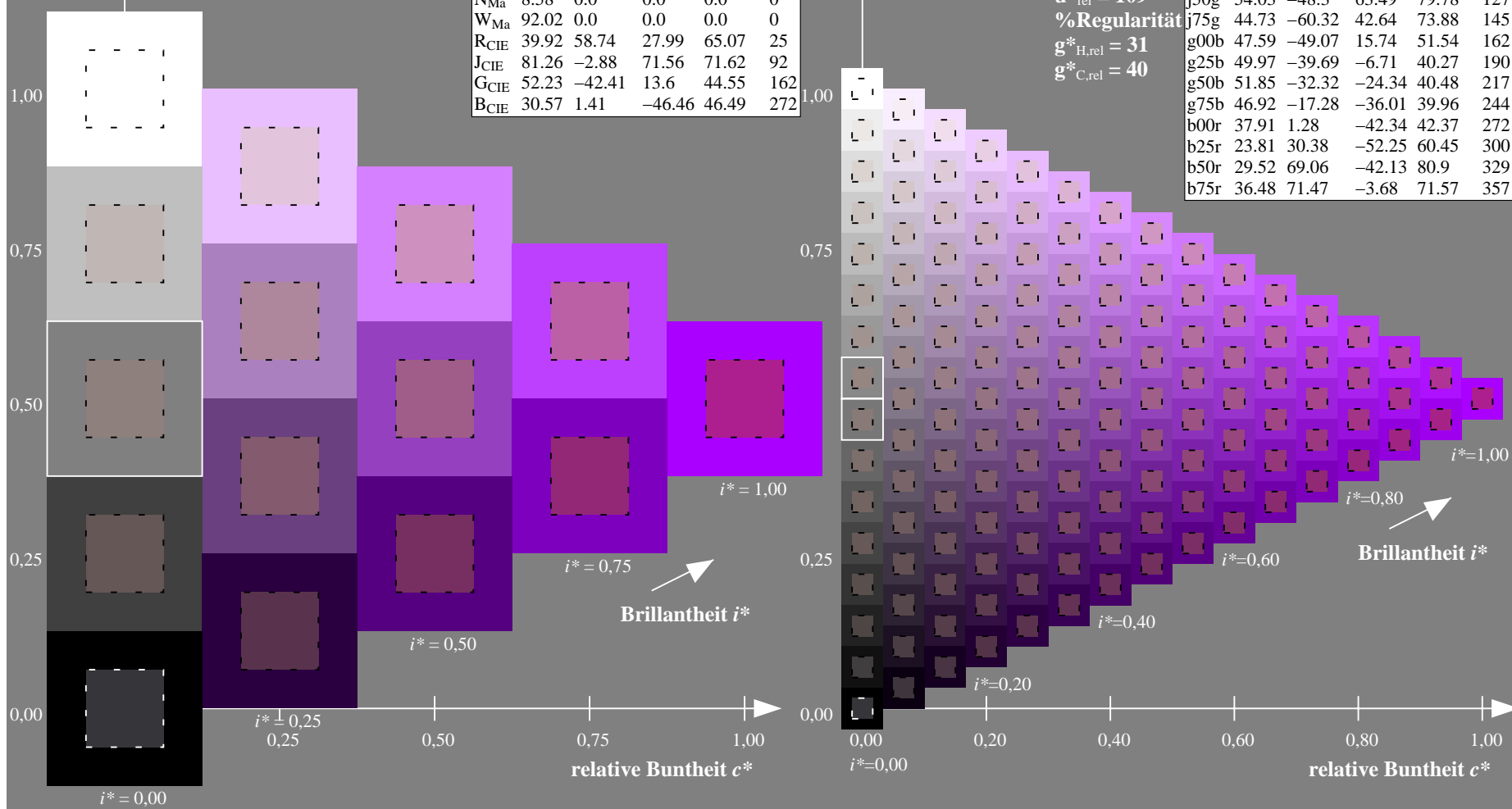
%Regularität

$g^*_{H,rel} = 31$

$g^*_{C,rel} = 40$

FRS09\_92a; adaptierte CIELAB-Daten

	$L^*=L_a^*$	$a_a^*$	$b_a^*$	$C_{ab,a}^*$	$h_{ab,a}^*$
r00j	35.47	63.32	30.17	70.15	25
r25j	39.12	54.56	49.45	73.64	42
r50j	50.64	39.15	64.89	75.79	59
r75j	64.01	21.26	82.83	85.52	76
j00g	83.18	-4.37	108.53	108.62	92
j25g	66.73	-29.88	83.06	88.28	110
j50g	54.03	-48.3	63.49	79.78	127
j75g	44.73	-60.32	42.64	73.88	145
g00b	47.59	-49.07	15.74	51.54	162
g25b	49.97	-39.69	-6.71	40.27	190
g50b	51.85	-32.32	-24.34	40.48	217
g75b	46.92	-17.28	-36.01	39.96	244
b00r	37.91	1.28	-42.34	42.37	272
b25r	23.81	30.38	-52.25	60.45	300
b50r	29.52	69.06	-42.13	80.9	329
b75r	36.48	71.47	-3.68	71.57	357



Ein und Ausgabe: Farbmetrisches Drucker-Reflektiv-System FRS09\_92a für relativen CIELAB-Buntton  $h^* = lab^*h^* = h_{ab}/360 = 357/360 = 0.992$

Daten für jede Farbe:

$lab^*ch^*$  und  $lab^*icu^*$

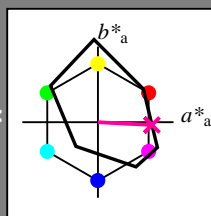
Elementar-Bunttontext:

$u^* = b75r$

Kontrastreduzierungsfaktor:

$c_R = 1.0$

Dreiecks-Helligkeit  $i^*$



FRS09\_92a; adaptierte CIELAB-Daten

	$L^*=L_a^*$	$a_a^*$	$b_a^*$	$C_{ab,a}^*$	$h_{ab,a}^*$
O <sub>Ma</sub>	35.06	60.0	44.0	74.4	36
Y <sub>Ma</sub>	83.77	-5.16	109.32	109.44	93
L <sub>Ma</sub>	44.13	-62.66	48.24	79.09	142
C <sub>Ma</sub>	52.66	-29.13	-31.98	43.27	228
V <sub>Ma</sub>	14.15	50.3	-59.03	77.57	310
M <sub>Ma</sub>	37.37	78.64	-33.49	85.48	337
N <sub>Ma</sub>	8.58	0.0	0.0	0.0	0
W <sub>Ma</sub>	92.02	0.0	0.0	0.0	0
R <sub>CIE</sub>	39.92	58.74	27.99	65.07	25
J <sub>CIE</sub>	81.26	-2.88	71.56	71.62	92
G <sub>CIE</sub>	52.23	-42.41	13.6	44.55	162
B <sub>CIE</sub>	30.57	1.41	-46.46	46.49	272

Daten für Maximalfarbe (Ma):

$LAB^*LAB^*_{Ma}$ : 36 71 -3

$LAB^*LCH^*_{Ma}$ : 36 72 357

$lab^*rgb^*_{Ma}$ : 1.0 0.0 0.5

$lab^*olv^*_{Ma}$ : 1.0 0.0 0.62

Dreiecks-Helligkeit  $i^*$

%Umfang

$u^*_{rel} = 109$

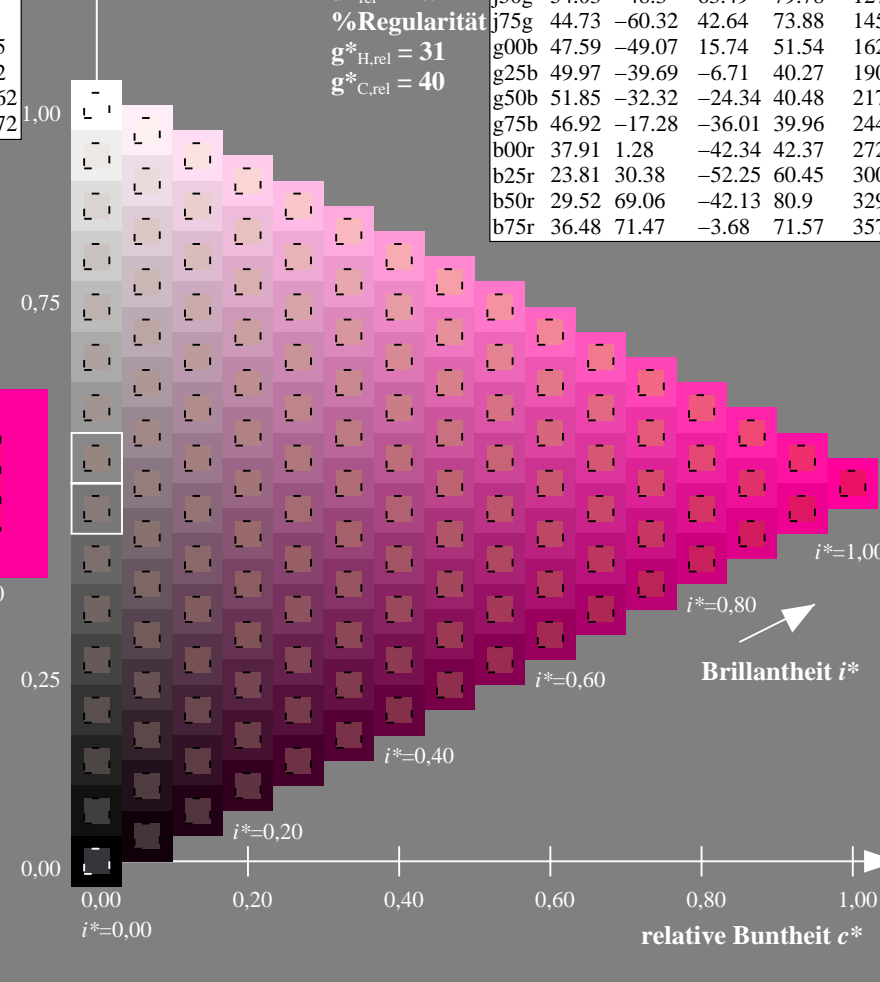
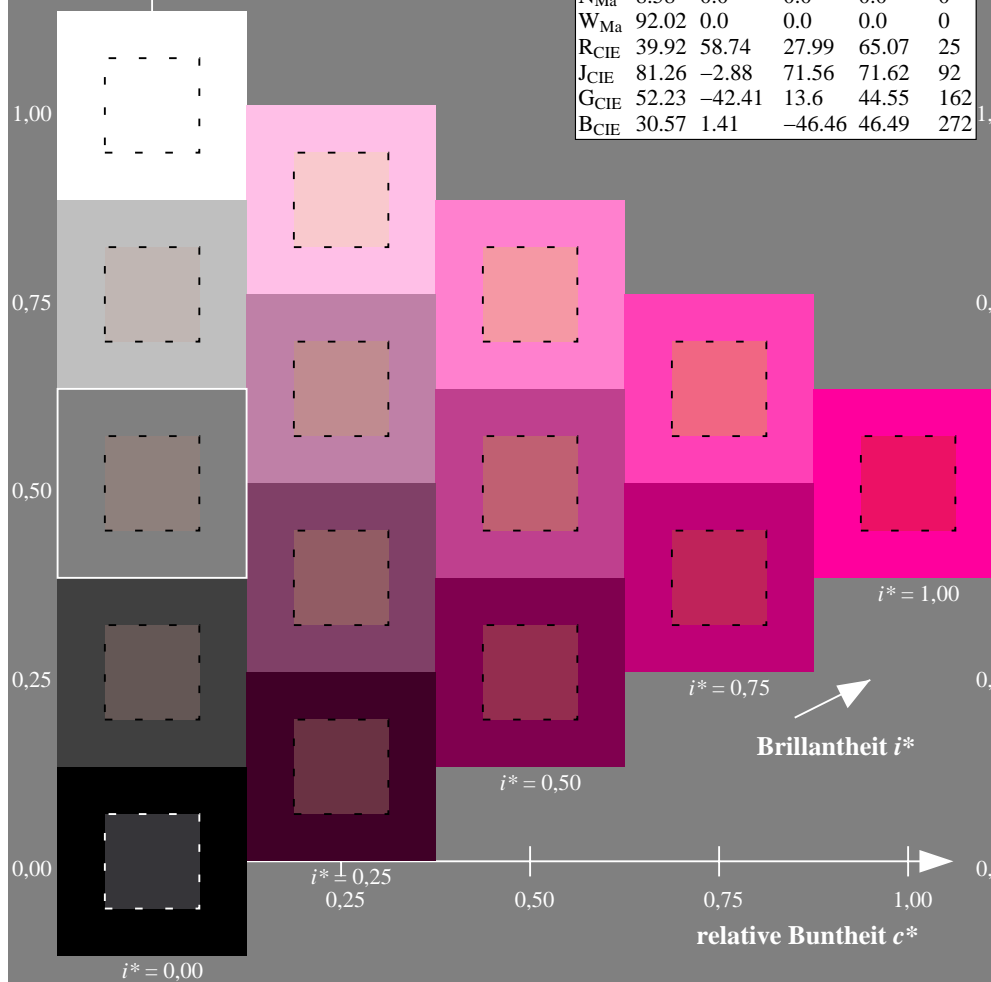
%Regelartigkeit

$g^*_{H,rel} = 31$

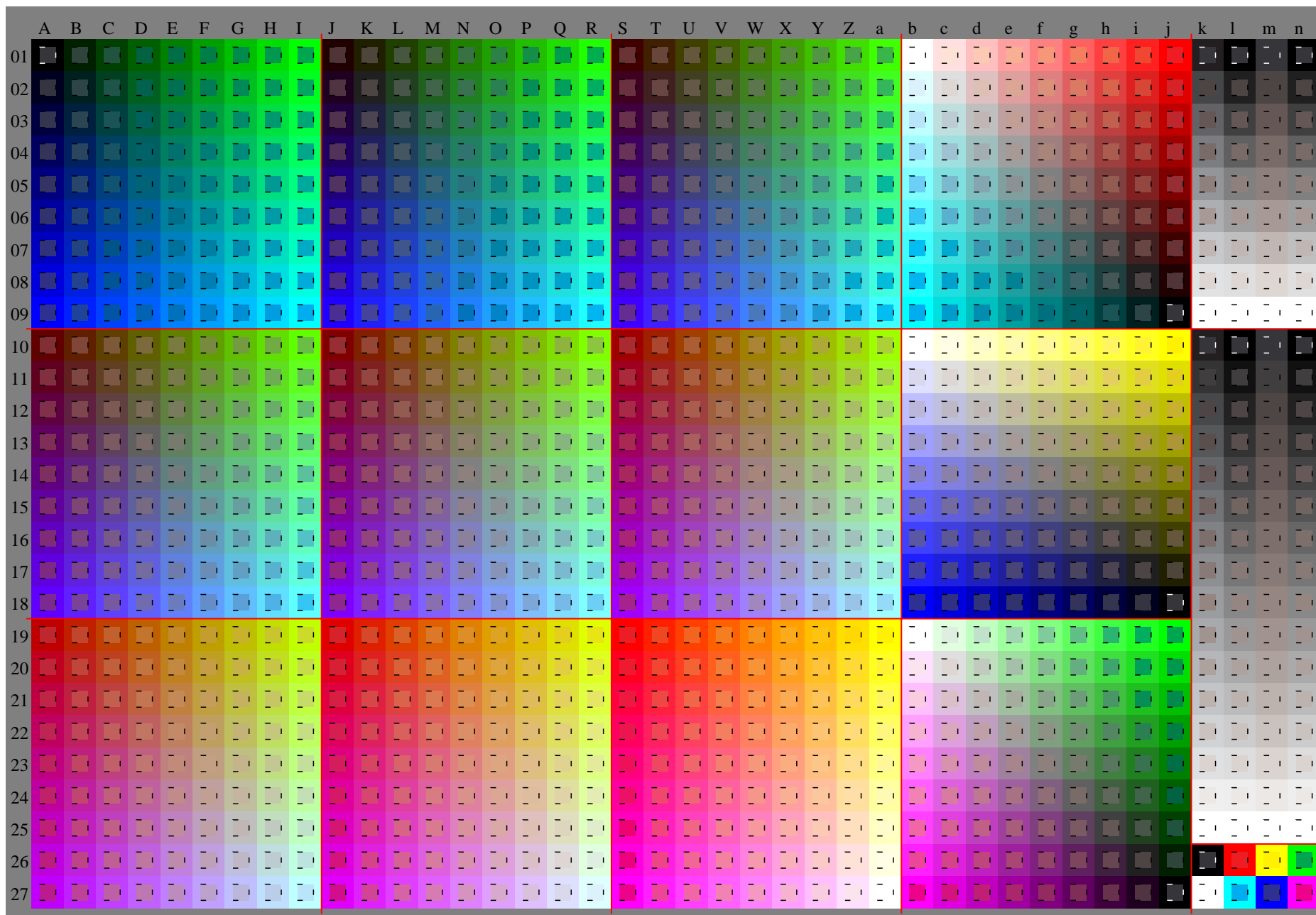
$g^*_{C,rel} = 40$

FRS09\_92a; adaptierte CIELAB-Daten

	$L^*=L_a^*$	$a_a^*$	$b_a^*$	$C_{ab,a}^*$	$h_{ab,a}^*$
r00j	35.47	63.32	30.17	70.15	25
r25j	39.12	54.56	49.45	73.64	42
r50j	50.64	39.15	64.89	75.79	59
r75j	64.01	21.26	82.83	85.52	76
j00g	83.18	-4.37	108.53	108.62	92
j25g	66.73	-29.88	83.06	88.28	110
j50g	54.03	-48.3	63.49	79.78	127
j75g	44.73	-60.32	42.64	73.88	145
g00b	47.59	-49.07	15.74	51.54	162
g25b	49.97	-39.69	-6.71	40.27	190
g50b	51.85	-32.32	-24.34	40.48	217
g75b	46.92	-17.28	-36.01	39.96	244
b00r	37.91	1.28	-42.34	42.37	272
b25r	23.81	30.38	-52.25	60.45	300
b50r	29.52	69.06	-42.13	80.9	329
b75r	36.48	71.47	-3.68	71.57	357



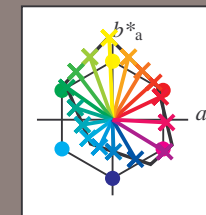
Siehe ähnliche Dateien: <http://www.ps.bam.de/Dg70/>; [www.ps.bam.de/Dg70/HTM](http://www.ps.bam.de/Dg70/HTM)  
Technische Information: <http://www.ps.bam.de> Version 2.1, io=1,1, ColSpx=0



BAM-Registrierung: 20080701-Dg70/10L/L70G00NA.PS/.TXTBAM-Material: Code=rh4ta  
Anwendung für Beurteilung und Messung von Drucker- oder Monitorsystemen

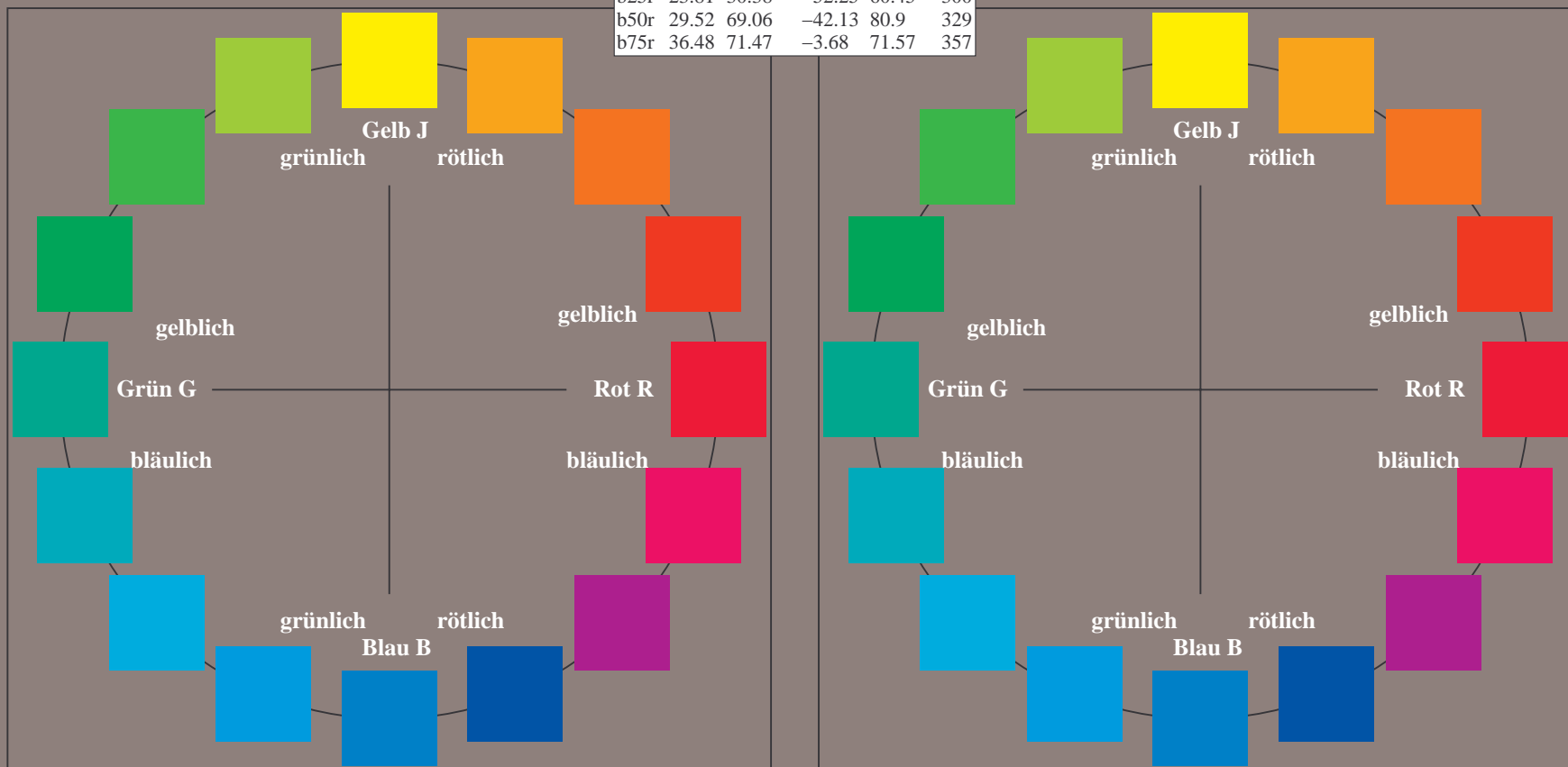
Ein und Ausgabe:  
Farbmetrisches Drucker-Reflektiv-System FRS09\_92a  
Daten für jede Farbe:  
*lab\*<sub>ich</sub>*\* und *lab\*<sub>icu</sub>*\*  
Elementar-Bunttoncontext:  
*u\** = 16 Bunttöne *r00j*, *r25j*, ..., *b75r*  
Kontrastreduzierungsfaktor:  
*c<sub>R</sub>* = 1.0

FRS09_92a; adaptierte CIELAB-Daten					
	<i>L*</i> = <i>L*</i> <sub>a</sub>	<i>a*</i> <sub>a</sub>	<i>b*</i> <sub>a</sub>	<i>C*</i> <sub>ab,a</sub>	<i>h*</i> <sub>ab,a</sub>
r00j	35.47	63.32	30.17	70.15	25
r25j	39.12	54.56	49.45	73.64	42
r50j	50.64	39.15	64.89	75.79	59
r75j	64.01	21.26	82.83	85.52	76
j00g	83.18	-4.37	108.53	108.62	92
j25g	66.73	-29.88	83.06	88.28	110
j50g	54.03	-48.3	63.49	79.78	127
j75g	44.73	-60.32	42.64	73.88	145
g00b	47.59	-49.07	15.74	51.54	162
g25b	49.97	-39.69	-6.71	40.27	190
g50b	51.85	-32.32	-24.34	40.48	217
g75b	46.92	-17.28	-36.01	39.96	244
b00r	37.91	1.28	-42.34	42.37	272
b25r	23.81	30.38	-52.25	60.45	300
b50r	29.52	69.06	-42.13	80.9	329
b75r	36.48	71.47	-3.68	71.57	357



%Umfang  
*u\**<sub>rel</sub> = 109  
%Regularität  
*g\**<sub>H,rel</sub> = 31  
*g\**<sub>C,rel</sub> = 40

FRS09_92a; adaptierte CIELAB-Daten					
	<i>L*</i> = <i>L*</i> <sub>a</sub>	<i>a*</i> <sub>a</sub>	<i>b*</i> <sub>a</sub>	<i>C*</i> <sub>ab,a</sub>	<i>h*</i> <sub>ab,a</sub>
O <sub>Ma</sub>	35.06	60.0	44.0	74.4	36
Y <sub>Ma</sub>	83.77	-5.16	109.32	109.44	93
L <sub>Ma</sub>	44.13	-62.66	48.24	79.09	142
C <sub>Ma</sub>	52.66	-29.13	-31.98	43.27	228
V <sub>Ma</sub>	14.15	50.3	-59.03	77.57	310
M <sub>Ma</sub>	37.37	78.64	-33.49	85.48	337
N <sub>Ma</sub>	8.58	0.0	0.0	0.0	0
W <sub>Ma</sub>	92.02	0.0	0.0	0.0	0
R <sub>CIE</sub>	39.92	58.74	27.99	65.07	25
J <sub>CIE</sub>	81.26	-2.88	71.56	71.62	92
G <sub>CIE</sub>	52.23	-42.41	13.6	44.55	162
B <sub>CIE</sub>	30.57	1.41	-46.46	46.49	272



Ein und Ausgabe: Farbmetrisches Drucker-Reflektiv-System FRS09\_92a für relativen CIELAB-Buntton  $h^* = lab^*h^* = h_{ab}/360 = 25/360 = 0.071$

Daten für jede Farbe:

$lab^*tch^*$  und  $lab^*icu^*$

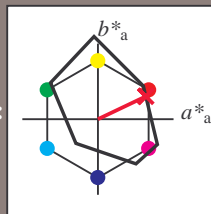
Elementar-Bunttontext:

$u^* = r00j$

Kontrastreduzierungsfaktor:

$c_R = 1.0$

Dreiecks-Helligkeit  $t^*$



FRS09\_92a; adaptierte CIELAB-Daten

	$L^*=L_a^*$	$a_a^*$	$b_a^*$	$C_{ab,a}^*$	$h_{ab,a}^*$
O <sub>Ma</sub>	35.06	60.0	44.0	74.4	36
Y <sub>Ma</sub>	83.77	-5.16	109.32	109.44	93
L <sub>Ma</sub>	44.13	-62.66	48.24	79.09	142
C <sub>Ma</sub>	52.66	-29.13	-31.98	43.27	228
V <sub>Ma</sub>	14.15	50.3	-59.03	77.57	310
M <sub>Ma</sub>	37.37	78.64	-33.49	85.48	337
N <sub>Ma</sub>	8.58	0.0	0.0	0.0	0
W <sub>Ma</sub>	92.02	0.0	0.0	0.0	0
R <sub>CIE</sub>	39.92	58.74	27.99	65.07	25
J <sub>CIE</sub>	81.26	-2.88	71.56	71.62	92
G <sub>CIE</sub>	52.23	-42.41	13.6	44.55	162
B <sub>CIE</sub>	30.57	1.41	-46.46	46.49	272

Daten für Maximalfarbe (Ma):

$LAB^*LAB^*Ma$ : 35 63 30

$LAB^*LCH^*Ma$ : 35 70 25

$lab^*rgb^*Ma$ : 1.0 0.0 0.0

$lab^*olv^*Ma$ : 1.0 0.0 0.18

Dreiecks-Helligkeit  $t^*$

%Umfang

$u^*_{rel} = 109$

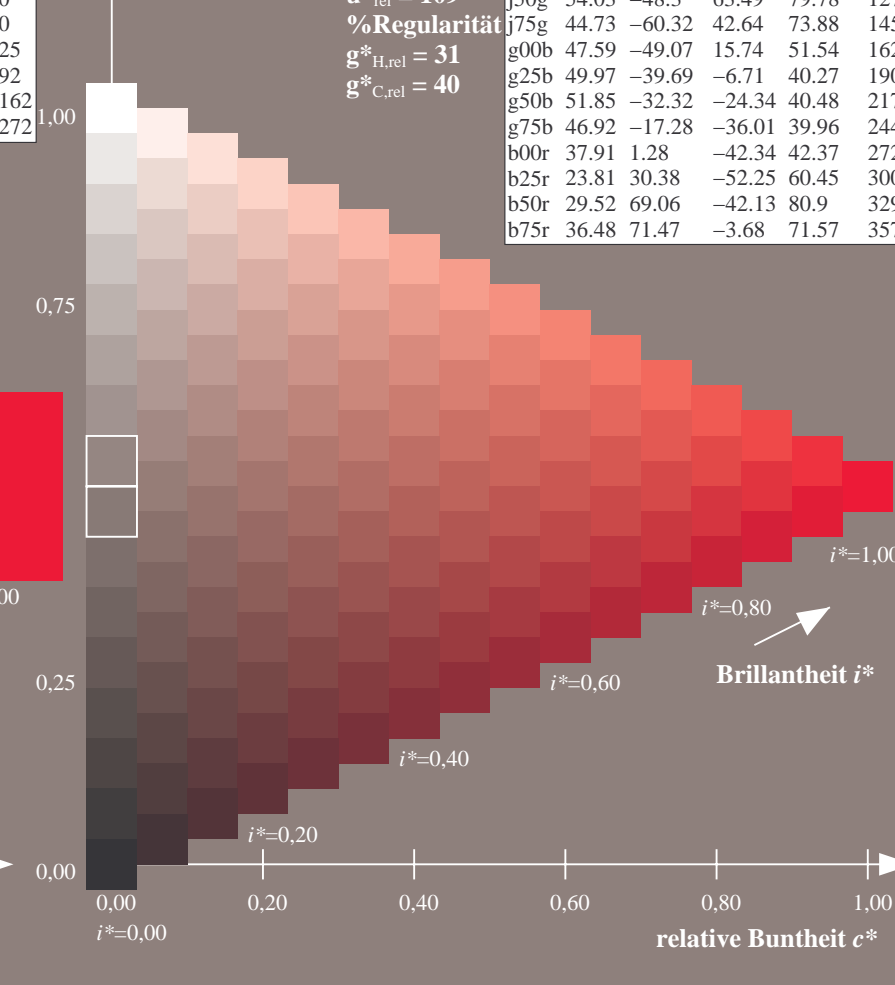
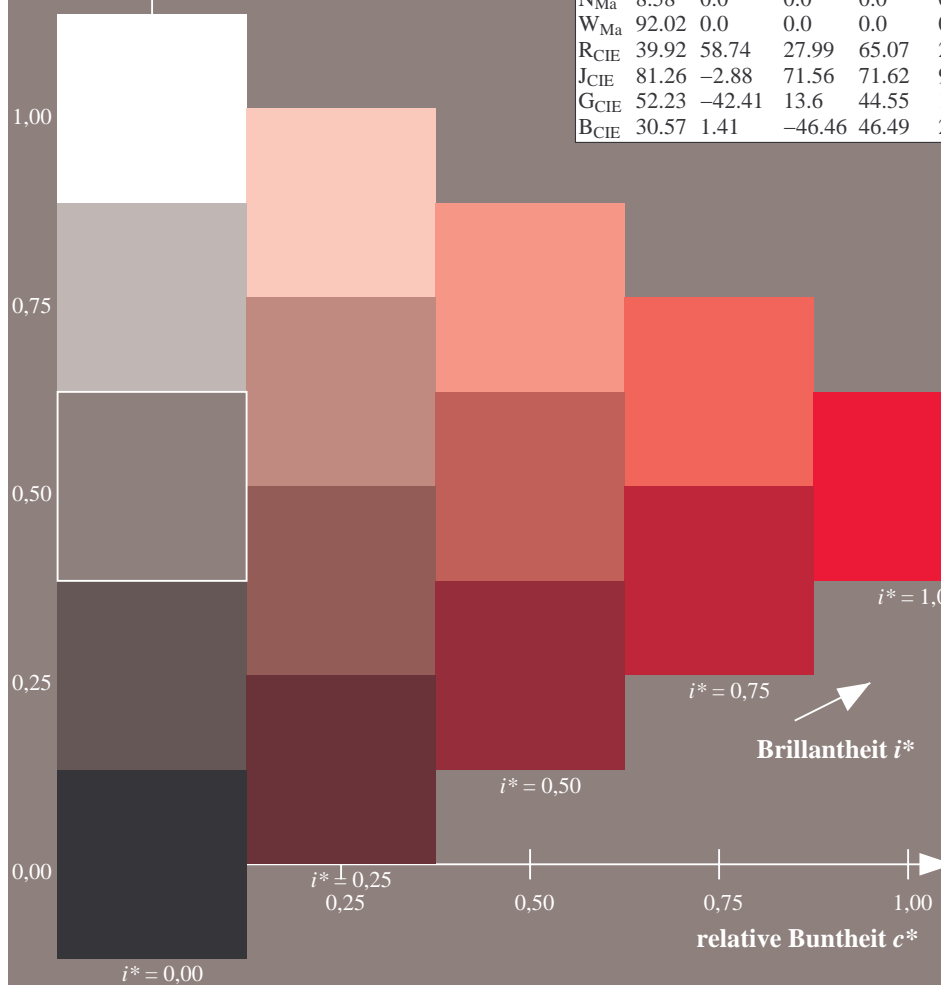
%Regularität

$g^*_{H,rel} = 31$

$g^*_{C,rel} = 40$

FRS09\_92a; adaptierte CIELAB-Daten

	$L^*=L_a^*$	$a_a^*$	$b_a^*$	$C_{ab,a}^*$	$h_{ab,a}^*$
r00j	35.47	63.32	30.17	70.15	25
r25j	39.12	54.56	49.45	73.64	42
r50j	50.64	39.15	64.89	75.79	59
r75j	64.01	21.26	82.83	85.52	76
j00g	83.18	-4.37	108.53	108.62	92
j25g	66.73	-29.88	83.06	88.28	110
j50g	54.03	-48.3	63.49	79.78	127
j75g	44.73	-60.32	42.64	73.88	145
g00b	47.59	-49.07	15.74	51.54	162
g25b	49.97	-39.69	-6.71	40.27	190
g50b	51.85	-32.32	-24.34	40.48	217
g75b	46.92	-17.28	-36.01	39.96	244
b00r	37.91	1.28	-42.34	42.37	272
b25r	23.81	30.38	-52.25	60.45	300
b50r	29.52	69.06	-42.13	80.9	329
b75r	36.48	71.47	-3.68	71.57	357





Ein und Ausgabe: Farbmetrisches Drucker-Reflektiv-System FRS09\_92a für relativen CIELAB-Buntton  $h^* = lab^*h^* = h_{ab}/360 = 42/360 = 0.117$

Daten für jede Farbe:

$lab^*tch^*$  und  $lab^*icu^*$

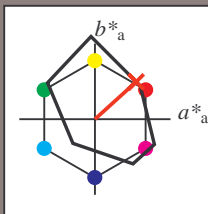
Elementar-Bunttontext:

$u^* = r25j$

Kontrastreduzierungsfaktor:

$c_R = 1.0$

Dreiecks-Helligkeit  $t^*$



FRS09\_92a; adaptierte CIELAB-Daten

	$L^*=L_a^*$	$a_a^*$	$b_a^*$	$C_{ab,a}^*$	$h_{ab,a}^*$
O <sub>Ma</sub>	35.06	60.0	44.0	74.4	36
Y <sub>Ma</sub>	83.77	-5.16	109.32	109.44	93
L <sub>Ma</sub>	44.13	-62.66	48.24	79.09	142
C <sub>Ma</sub>	52.66	-29.13	-31.98	43.27	228
V <sub>Ma</sub>	14.15	50.3	-59.03	77.57	310
M <sub>Ma</sub>	37.37	78.64	-33.49	85.48	337
N <sub>Ma</sub>	8.58	0.0	0.0	0.0	0
W <sub>Ma</sub>	92.02	0.0	0.0	0.0	0
R <sub>CIE</sub>	39.92	58.74	27.99	65.07	25
J <sub>CIE</sub>	81.26	-2.88	71.56	71.62	92
G <sub>CIE</sub>	52.23	-42.41	13.6	44.55	162
B <sub>CIE</sub>	30.57	1.41	-46.46	46.49	272

Daten für Maximalfarbe (Ma):

$LAB^*LAB^*Ma$ : 39 55 49

$LAB^*LCH^*Ma$ : 39 74 42

$lab^*rgb^*Ma$ : 1.0 0.25 0.0

$lab^*olv^*Ma$ : 1.0 0.08 0.0

Dreiecks-Helligkeit  $t^*$

%Umfang

$u^*_{rel} = 109$

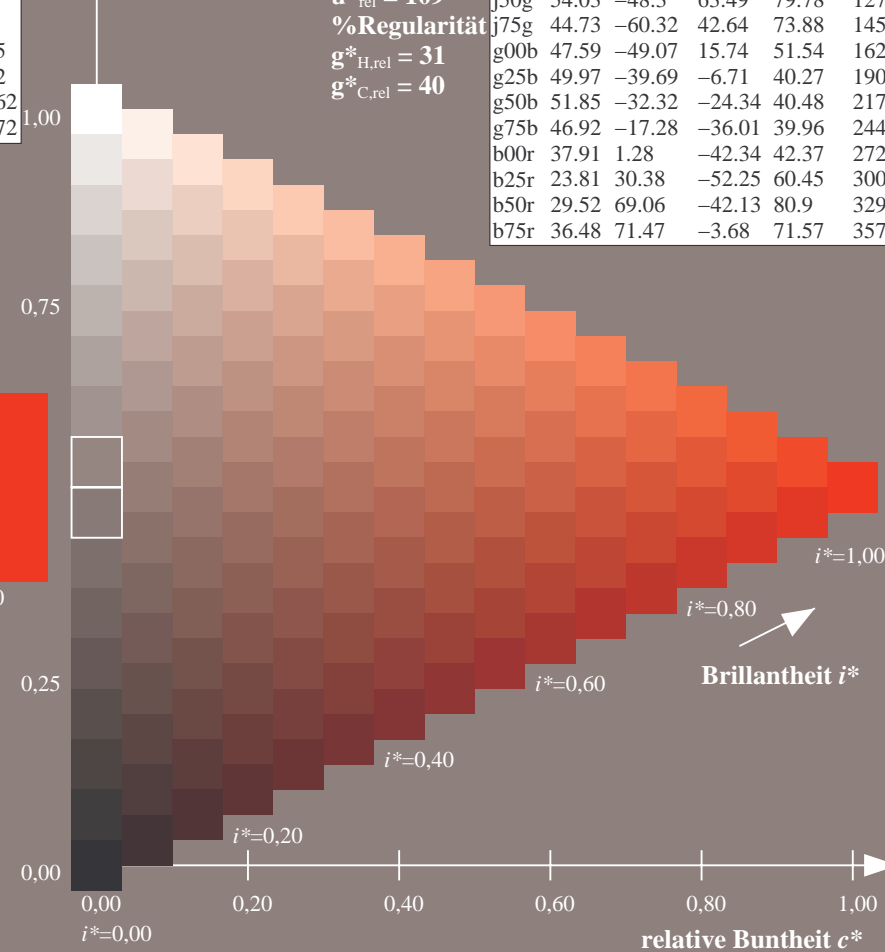
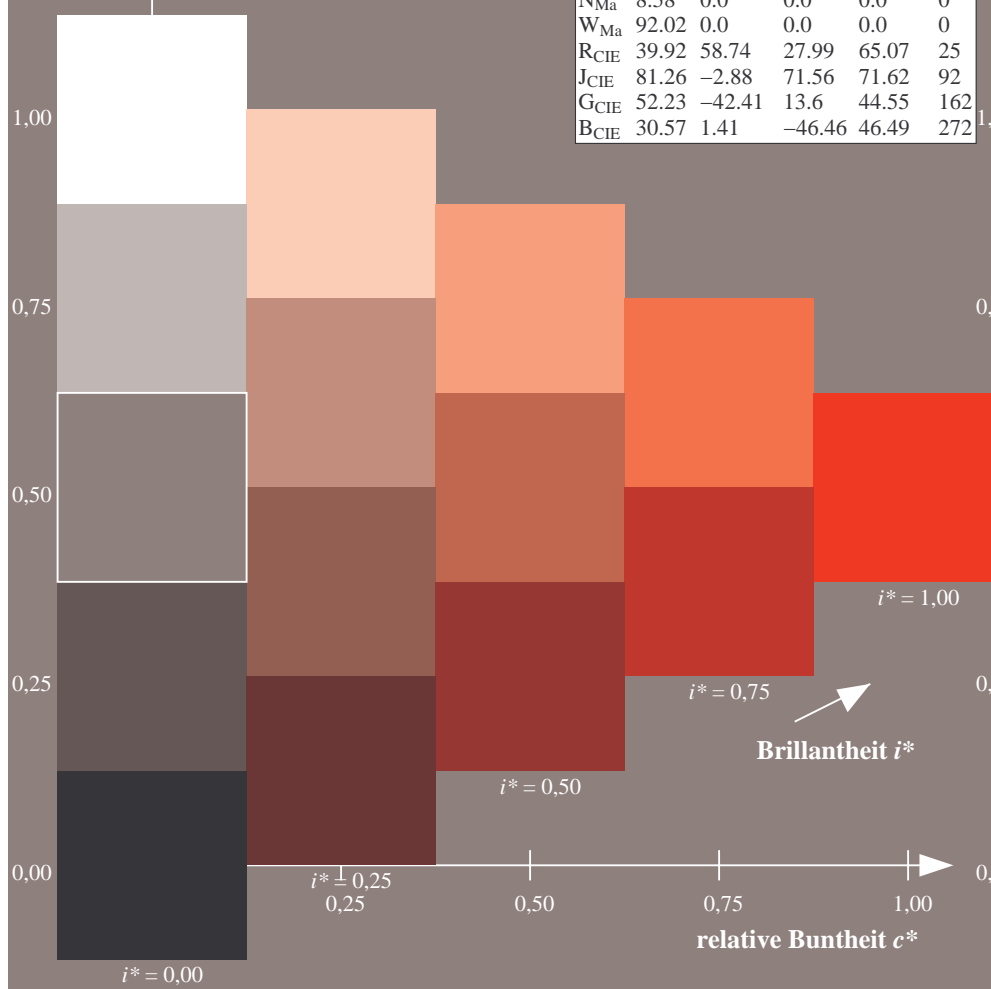
%Regularität

$g^*_{H,rel} = 31$

$g^*_{C,rel} = 40$

FRS09\_92a; adaptierte CIELAB-Daten

	$L^*=L_a^*$	$a_a^*$	$b_a^*$	$C_{ab,a}^*$	$h_{ab,a}^*$
r00j	35.47	63.32	30.17	70.15	25
r25j	39.12	54.56	49.45	73.64	42
r50j	50.64	39.15	64.89	75.79	59
r75j	64.01	21.26	82.83	85.52	76
j00g	83.18	-4.37	108.53	108.62	92
j25g	66.73	-29.88	83.06	88.28	110
j50g	54.03	-48.3	63.49	79.78	127
j75g	44.73	-60.32	42.64	73.88	145
g00b	47.59	-49.07	15.74	51.54	162
g25b	49.97	-39.69	-6.71	40.27	190
g50b	51.85	-32.32	-24.34	40.48	217
g75b	46.92	-17.28	-36.01	39.96	244
b00r	37.91	1.28	-42.34	42.37	272
b25r	23.81	30.38	-52.25	60.45	300
b50r	29.52	69.06	-42.13	80.9	329
b75r	36.48	71.47	-3.68	71.57	357



Ein und Ausgabe: Farbmetrisches Drucker-Reflektiv-System FRS09\_92a für relativen CIELAB-Buntton  $h^* = lab^*h^* = h_{ab}/360 = 59/360 = 0.164$

Daten für jede Farbe:

$lab^*tch^*$  und  $lab^*icu^*$

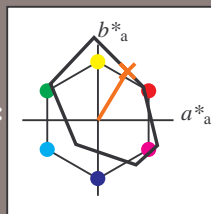
Elementar-Bunttontext:

$u^* = r50j$

Kontrastreduzierungsfaktor:

$c_R = 1.0$

Dreiecks-Helligkeit  $t^*$



FRS09\_92a; adaptierte CIELAB-Daten

	$L^*=L_a^*$	$a_a^*$	$b_a^*$	$C_{ab,a}^*$	$h_{ab,a}^*$
O <sub>Ma</sub>	35.06	60.0	44.0	74.4	36
Y <sub>Ma</sub>	83.77	-5.16	109.32	109.44	93
L <sub>Ma</sub>	44.13	-62.66	48.24	79.09	142
C <sub>Ma</sub>	52.66	-29.13	-31.98	43.27	228
V <sub>Ma</sub>	14.15	50.3	-59.03	77.57	310
M <sub>Ma</sub>	37.37	78.64	-33.49	85.48	337
N <sub>Ma</sub>	8.58	0.0	0.0	0.0	0
W <sub>Ma</sub>	92.02	0.0	0.0	0.0	0
R <sub>CIE</sub>	39.92	58.74	27.99	65.07	25
J <sub>CIE</sub>	81.26	-2.88	71.56	71.62	92
G <sub>CIE</sub>	52.23	-42.41	13.6	44.55	162
B <sub>CIE</sub>	30.57	1.41	-46.46	46.49	272

Daten für Maximalfarbe (Ma):

$LAB^*LAB^*_{Ma}$ : 51 39 65

$LAB^*LCH^*_{Ma}$ : 51 76 59

$lab^*rgb^*_{Ma}$ : 1.0 0.5 0.0

$lab^*olv^*_{Ma}$ : 1.0 0.32 0.0

Dreiecks-Helligkeit  $t^*$

%Umfang

$u^*_{rel} = 109$

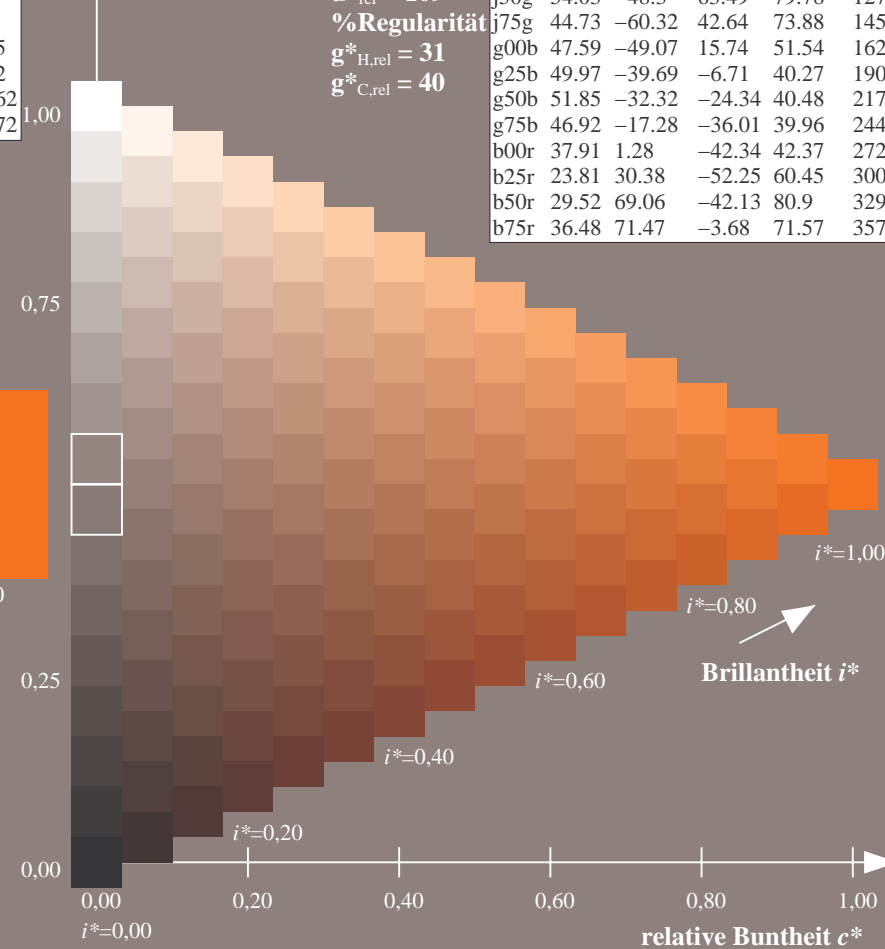
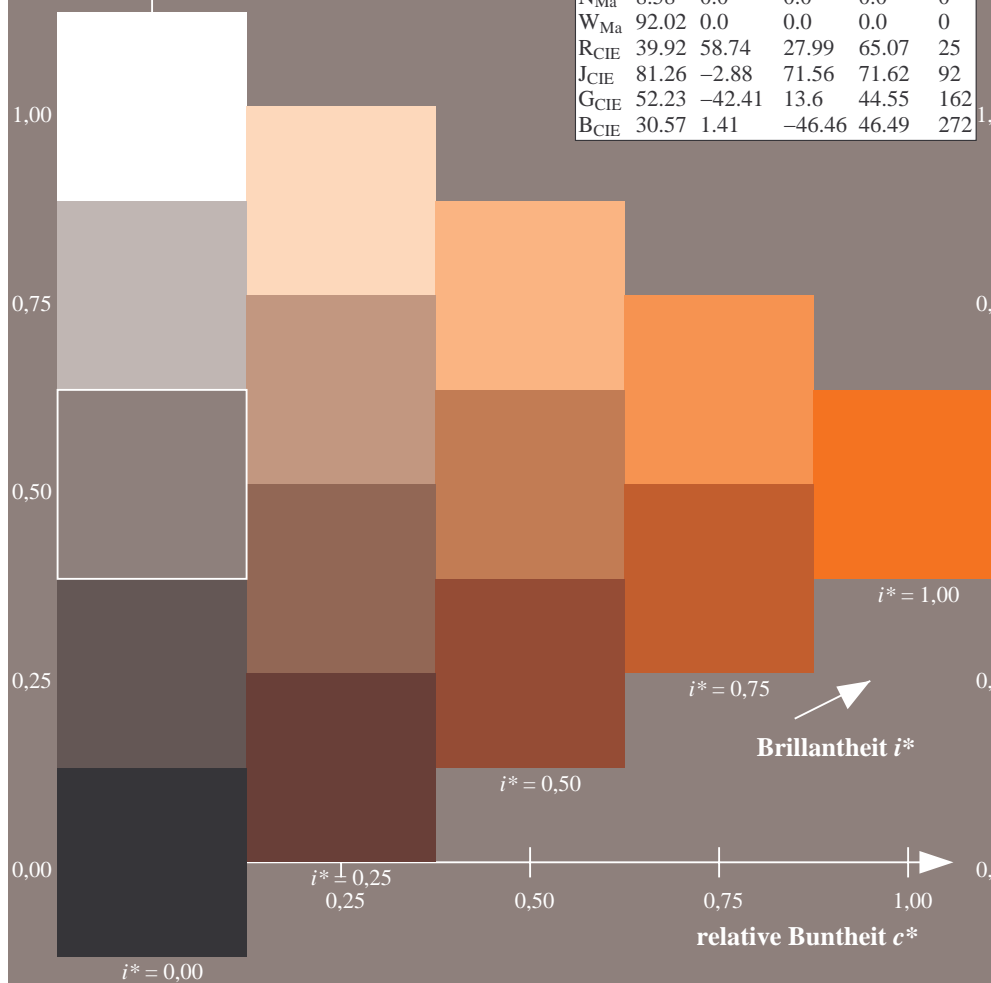
%Regularität

$g^*_{H,rel} = 31$

$g^*_{C,rel} = 40$

FRS09\_92a; adaptierte CIELAB-Daten

	$L^*=L_a^*$	$a_a^*$	$b_a^*$	$C_{ab,a}^*$	$h_{ab,a}^*$
r00j	35.47	63.32	30.17	70.15	25
r25j	39.12	54.56	49.45	73.64	42
r50j	50.64	39.15	64.89	75.79	59
r75j	64.01	21.26	82.83	85.52	76
j00g	83.18	-4.37	108.53	108.62	92
j25g	66.73	-29.88	83.06	88.28	110
j50g	54.03	-48.3	63.49	79.78	127
j75g	44.73	-60.32	42.64	73.88	145
g00b	47.59	-49.07	15.74	51.54	162
g25b	49.97	-39.69	-6.71	40.27	190
g50b	51.85	-32.32	-24.34	40.48	217
g75b	46.92	-17.28	-36.01	39.96	244
b00r	37.91	1.28	-42.34	42.37	272
b25r	23.81	30.38	-52.25	60.45	300
b50r	29.52	69.06	-42.13	80.9	329
b75r	36.48	71.47	-3.68	71.57	357



Ein und Ausgabe: Farbmetrisches Drucker-Reflektiv-System FRS09\_92a für relativen CIELAB-Buntton  $h^* = lab^*h^* = h_{ab}/360 = 76/360 = 0.21$

Daten für jede Farbe:

$lab^*tch^*$  und  $lab^*icu^*$

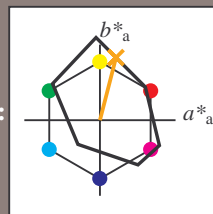
Elementar-Bunttontext:

$u^* = r75j$

Kontrastreduzierungsfaktor:

$c_R = 1.0$

Dreiecks-Helligkeit  $i^*$



FRS09\_92a; adaptierte CIELAB-Daten

	$L^*=L_a^*$	$a_a^*$	$b_a^*$	$C_{ab,a}^*$	$h_{ab,a}^*$
O <sub>Ma</sub>	35.06	60.0	44.0	74.4	36
Y <sub>Ma</sub>	83.77	-5.16	109.32	109.44	93
L <sub>Ma</sub>	44.13	-62.66	48.24	79.09	142
C <sub>Ma</sub>	52.66	-29.13	-31.98	43.27	228
V <sub>Ma</sub>	14.15	50.3	-59.03	77.57	310
M <sub>Ma</sub>	37.37	78.64	-33.49	85.48	337
N <sub>Ma</sub>	8.58	0.0	0.0	0.0	0
W <sub>Ma</sub>	92.02	0.0	0.0	0.0	0
R <sub>CIE</sub>	39.92	58.74	27.99	65.07	25
J <sub>CIE</sub>	81.26	-2.88	71.56	71.62	92
G <sub>CIE</sub>	52.23	-42.41	13.6	44.55	162
B <sub>CIE</sub>	30.57	1.41	-46.46	46.49	272

Daten für Maximalfarbe (Ma):

$LAB^*LAB^*_{Ma}$ : 64 21 83

$LAB^*LCH^*_{Ma}$ : 64 86 76

$lab^*rgb^*_{Ma}$ : 1.0 0.75 0.0

$lab^*olv^*_{Ma}$ : 1.0 0.59 0.0

Dreiecks-Helligkeit  $i^*$

%Umfang

$u^*_{rel} = 109$

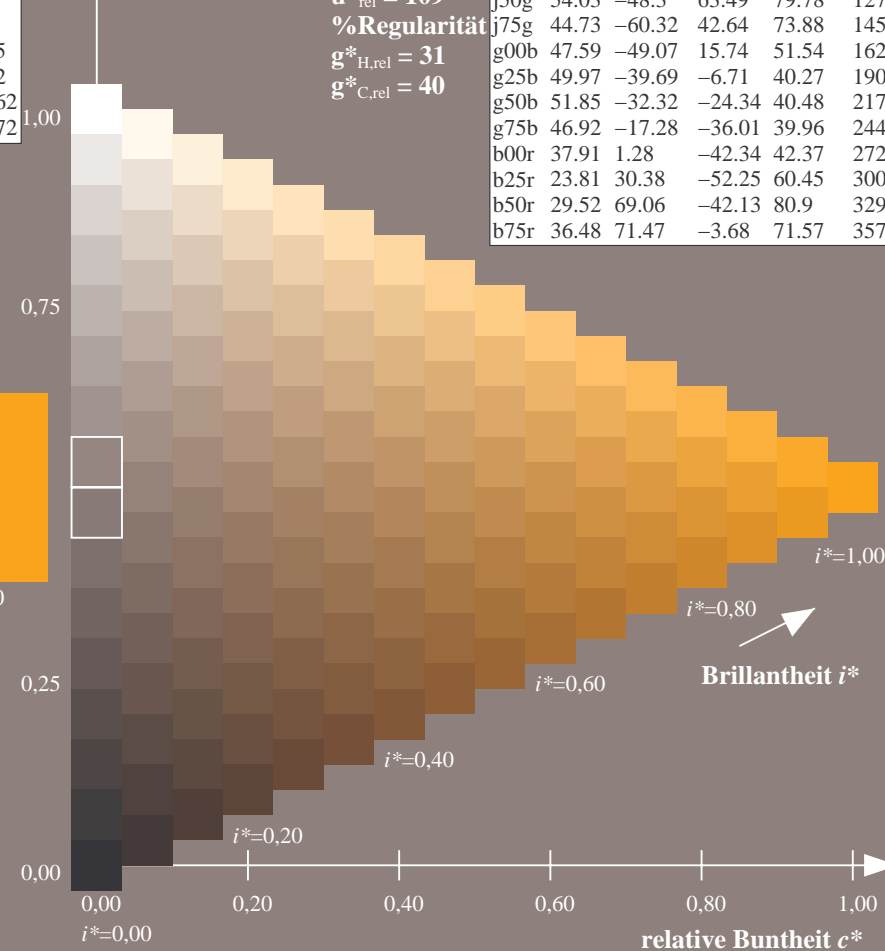
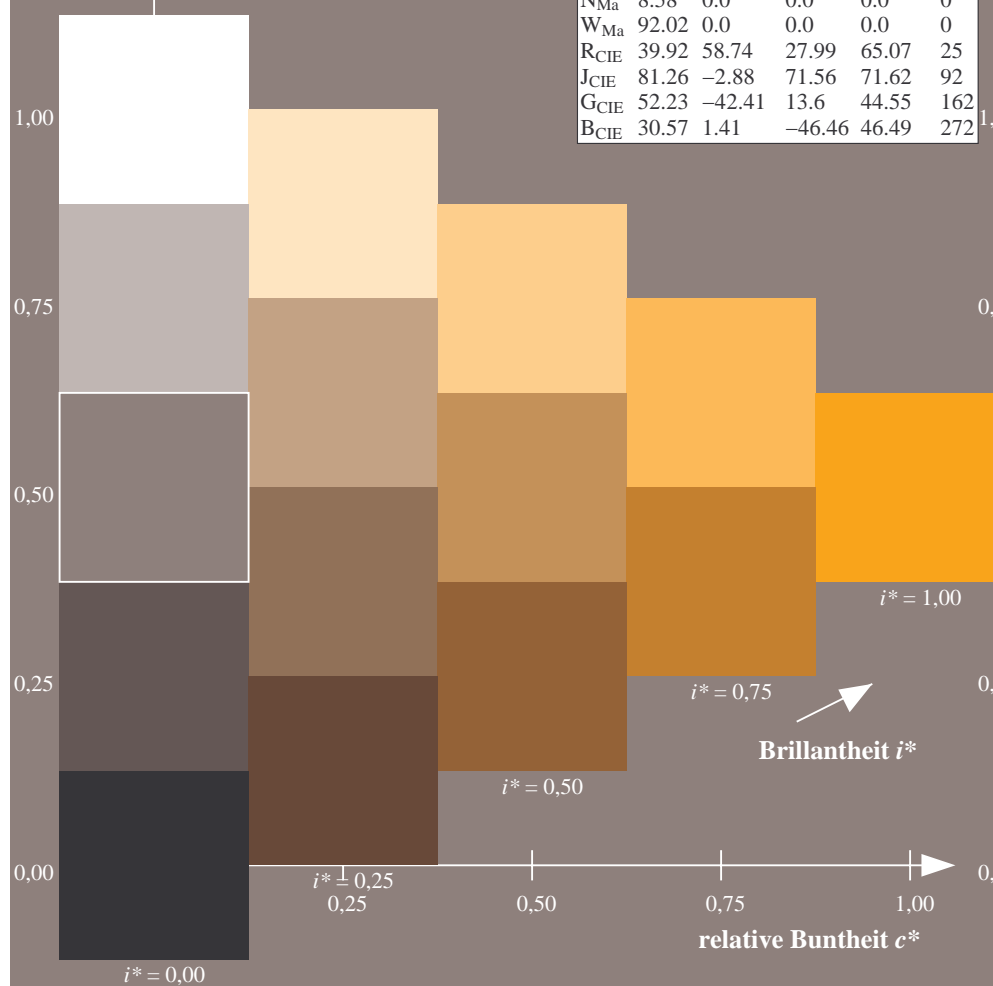
%Regularität

$g^*_{H,rel} = 31$

$g^*_{C,rel} = 40$

FRS09\_92a; adaptierte CIELAB-Daten

	$L^*=L_a^*$	$a_a^*$	$b_a^*$	$C_{ab,a}^*$	$h_{ab,a}^*$
r00j	35.47	63.32	30.17	70.15	25
r25j	39.12	54.56	49.45	73.64	42
r50j	50.64	39.15	64.89	75.79	59
r75j	64.01	21.26	82.83	85.52	76
j00g	83.18	-4.37	108.53	108.62	92
j25g	66.73	-29.88	83.06	88.28	110
j50g	54.03	-48.3	63.49	79.78	127
j75g	44.73	-60.32	42.64	73.88	145
g00b	47.59	-49.07	15.74	51.54	162
g25b	49.97	-39.69	-6.71	40.27	190
g50b	51.85	-32.32	-24.34	40.48	217
g75b	46.92	-17.28	-36.01	39.96	244
b00r	37.91	1.28	-42.34	42.37	272
b25r	23.81	30.38	-52.25	60.45	300
b50r	29.52	69.06	-42.13	80.9	329
b75r	36.48	71.47	-3.68	71.57	357



Ein und Ausgabe: Farbmetrisches Drucker-Reflektiv-System FRS09\_92a für relativen CIELAB-Buntton  $h^* = lab^*h^* = h_{ab}/360 = 92/360 = 0.256$

Daten für jede Farbe:

$lab^*ch^*$  und  $lab^*icu^*$

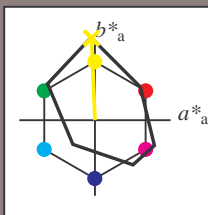
Elementar-Bunttonext:

$u^* = j00g$

Kontrastreduzierungsfaktor:

$c_R = 1.0$

Dreiecks-Helligkeit  $i^*$



FRS09\_92a; adaptierte CIELAB-Daten

	$L^*=L_a^*$	$a_a^*$	$b_a^*$	$C_{ab,a}^*$	$h_{ab,a}^*$
O <sub>Ma</sub>	35.06	60.0	44.0	74.4	36
Y <sub>Ma</sub>	83.77	-5.16	109.32	109.44	93
L <sub>Ma</sub>	44.13	-62.66	48.24	79.09	142
C <sub>Ma</sub>	52.66	-29.13	-31.98	43.27	228
V <sub>Ma</sub>	14.15	50.3	-59.03	77.57	310
M <sub>Ma</sub>	37.37	78.64	-33.49	85.48	337
N <sub>Ma</sub>	8.58	0.0	0.0	0.0	0
W <sub>Ma</sub>	92.02	0.0	0.0	0.0	0
R <sub>CIE</sub>	39.92	58.74	27.99	65.07	25
J <sub>CIE</sub>	81.26	-2.88	71.56	71.62	92
G <sub>CIE</sub>	52.23	-42.41	13.6	44.55	162
B <sub>CIE</sub>	30.57	1.41	-46.46	46.49	272

Daten für Maximalfarbe (Ma):

$LAB^*LAB^*Ma$ : 83 -3 109

$LAB^*LCH^*Ma$ : 83 109 92

$lab^*rgb^*Ma$ : 1.0 1.0 0.0

$lab^*olv^*Ma$ : 1.0 0.99 0.0

Dreiecks-Helligkeit  $i^*$

%Umfang

$u^*_{rel} = 109$

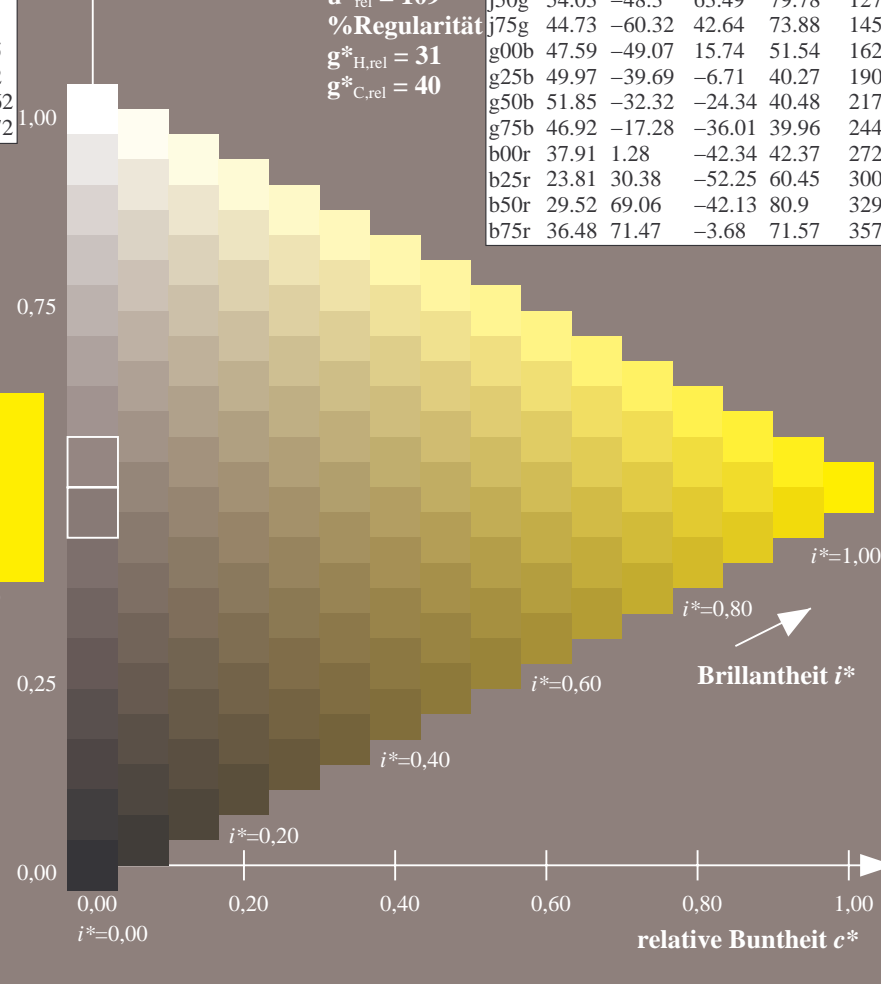
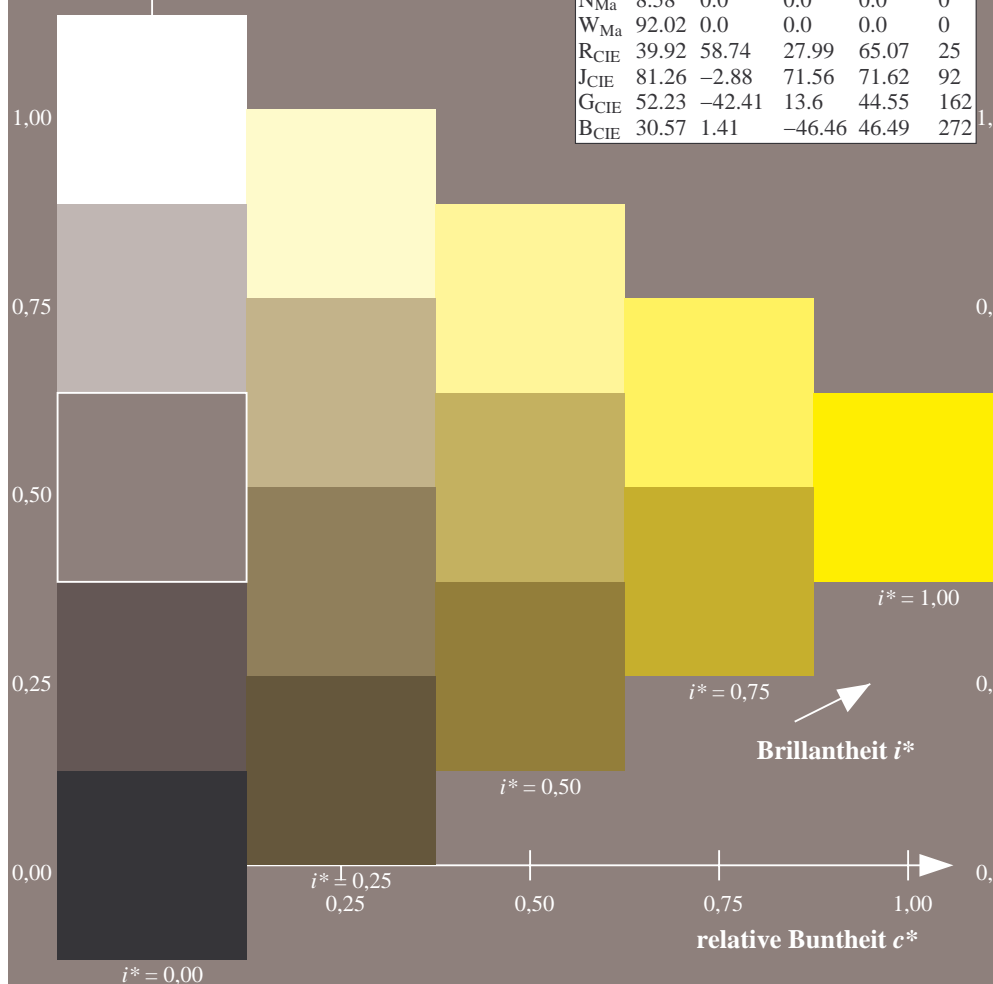
%Regularität

$g^*_{H,rel} = 31$

$g^*_{C,rel} = 40$

FRS09\_92a; adaptierte CIELAB-Daten

	$L^*=L_a^*$	$a_a^*$	$b_a^*$	$C_{ab,a}^*$	$h_{ab,a}^*$
r00j	35.47	63.32	30.17	70.15	25
r25j	39.12	54.56	49.45	73.64	42
r50j	50.64	39.15	64.89	75.79	59
r75j	64.01	21.26	82.83	85.52	76
j00g	83.18	-4.37	108.53	108.62	92
j25g	66.73	-29.88	83.06	88.28	110
j50g	54.03	-48.3	63.49	79.78	127
j75g	44.73	-60.32	42.64	73.88	145
g00b	47.59	-49.07	15.74	51.54	162
g25b	49.97	-39.69	-6.71	40.27	190
g50b	51.85	-32.32	-24.34	40.48	217
g75b	46.92	-17.28	-36.01	39.96	244
b00r	37.91	1.28	-42.34	42.37	272
b25r	23.81	30.38	-52.25	60.45	300
b50r	29.52	69.06	-42.13	80.9	329
b75r	36.48	71.47	-3.68	71.57	357



Ein und Ausgabe: Farbmetrisches Drucker-Reflektiv-System FRS09\_92a für relativen CIELAB-Buntton  $h^* = lab^*h^* = h_{ab}/360 = 110/360 = 0.305$

Daten für jede Farbe:

$lab^*tch^*$  und  $lab^*icu^*$

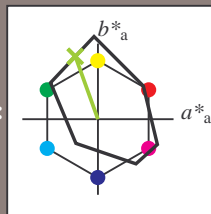
Elementar-Bunttontext:

$u^* = j25g$

Kontrastreduzierungsfaktor:

$c_R = 1.0$

Dreiecks-Helligkeit  $i^*$



FRS09\_92a; adaptierte CIELAB-Daten

	$L^*=L^*_a$	$a^*_a$	$b^*_a$	$C^*_{ab,a}$	$h^*_{ab,a}$
O <sub>Ma</sub>	35.06	60.0	44.0	74.4	36
Y <sub>Ma</sub>	83.77	-5.16	109.32	109.44	93
L <sub>Ma</sub>	44.13	-62.66	48.24	79.09	142
C <sub>Ma</sub>	52.66	-29.13	-31.98	43.27	228
V <sub>Ma</sub>	14.15	50.3	-59.03	77.57	310
M <sub>Ma</sub>	37.37	78.64	-33.49	85.48	337
N <sub>Ma</sub>	8.58	0.0	0.0	0.0	0
W <sub>Ma</sub>	92.02	0.0	0.0	0.0	0
R <sub>CIE</sub>	39.92	58.74	27.99	65.07	25
J <sub>CIE</sub>	81.26	-2.88	71.56	71.62	92
G <sub>CIE</sub>	52.23	-42.41	13.6	44.55	162
B <sub>CIE</sub>	30.57	1.41	-46.46	46.49	272

Daten für Maximalfarbe (Ma):

$LAB^*LAB^*_{Ma}$ : 67 -29 83

$LAB^*LCH^*_{Ma}$ : 67 88 110

$lab^*rgb^*_{Ma}$ : 0.75 1.0 0.0

$lab^*olv^*_{Ma}$ : 0.57 1.0 0.0

Dreiecks-Helligkeit  $i^*$

%Umfang

$u^*_{rel} = 109$

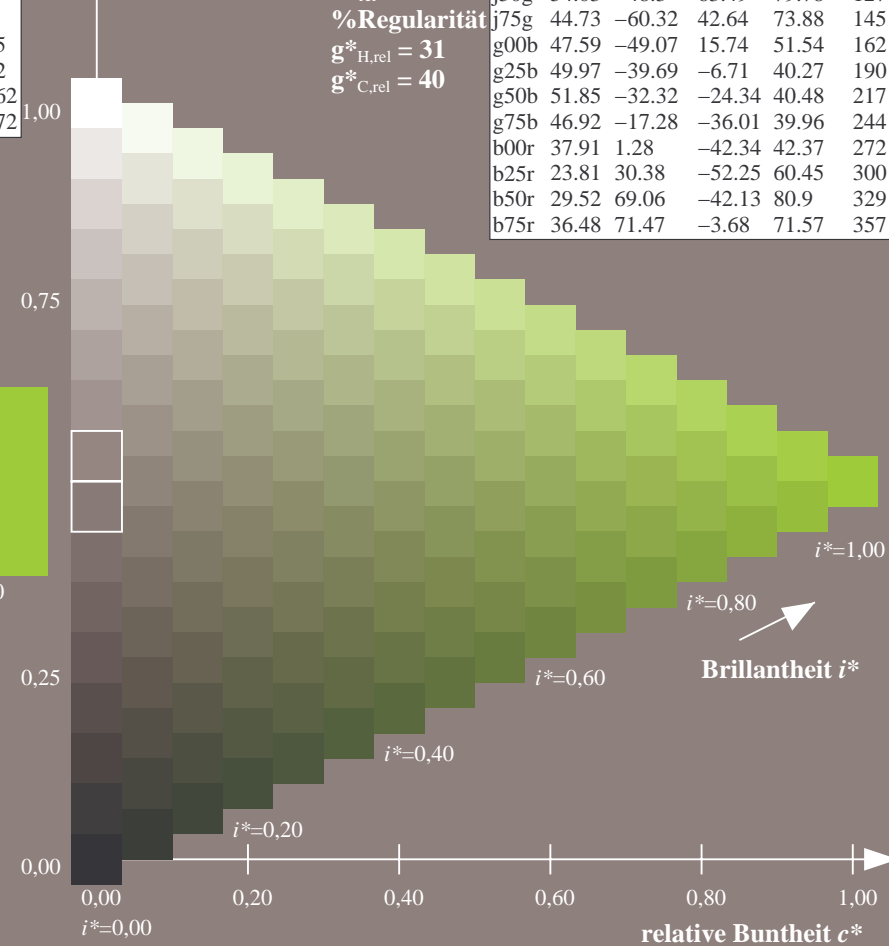
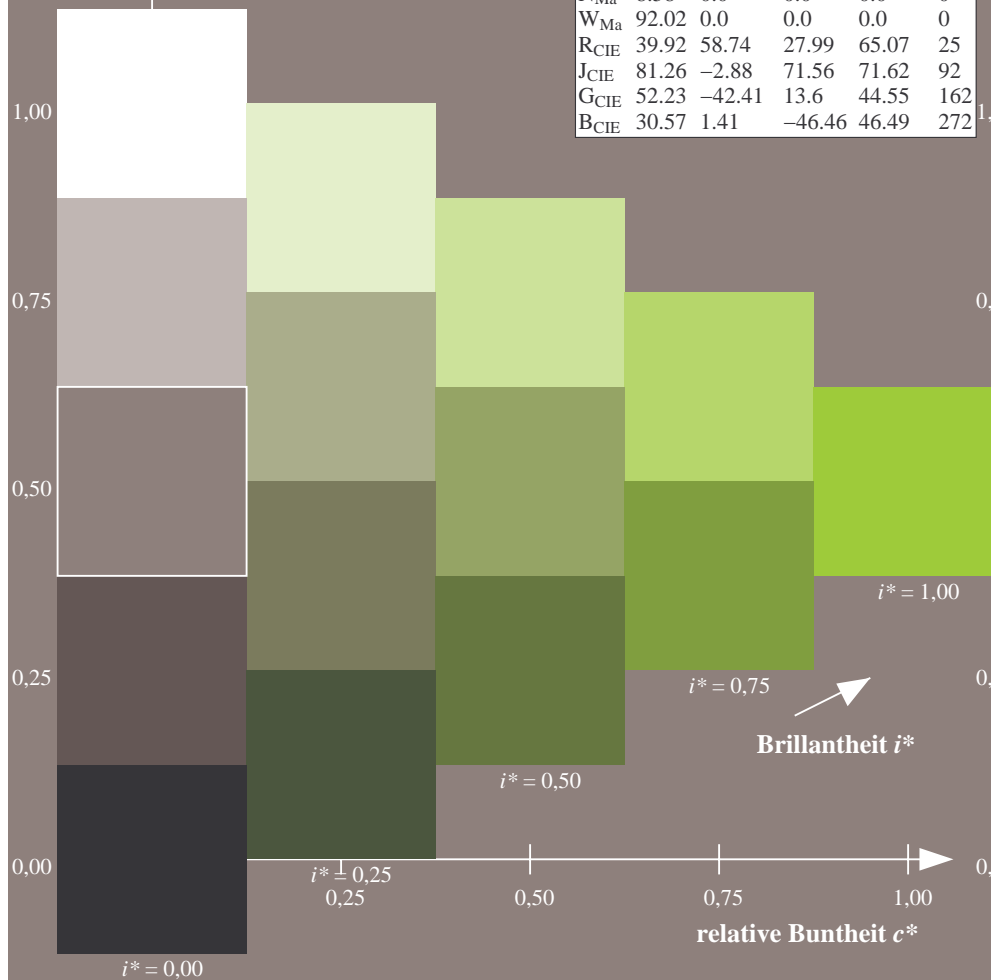
%Regularität

$g^*_{H,rel} = 31$

$g^*_{C,rel} = 40$

FRS09\_92a; adaptierte CIELAB-Daten

	$L^*=L^*_a$	$a^*_a$	$b^*_a$	$C^*_{ab,a}$	$h^*_{ab,a}$
r00j	35.47	63.32	30.17	70.15	25
r25j	39.12	54.56	49.45	73.64	42
r50j	50.64	39.15	64.89	75.79	59
r75j	64.01	21.26	82.83	85.52	76
j00g	83.18	-4.37	108.53	108.62	92
j25g	66.73	-29.88	83.06	88.28	110
j50g	54.03	-48.3	63.49	79.78	127
j75g	44.73	-60.32	42.64	73.88	145
g00b	47.59	-49.07	15.74	51.54	162
g25b	49.97	-39.69	-6.71	40.27	190
g50b	51.85	-32.32	-24.34	40.48	217
g75b	46.92	-17.28	-36.01	39.96	244
b00r	37.91	1.28	-42.34	42.37	272
b25r	23.81	30.38	-52.25	60.45	300
b50r	29.52	69.06	-42.13	80.9	329
b75r	36.48	71.47	-3.68	71.57	357



Ein und Ausgabe: Farbmetrisches Drucker-Reflektiv-System FRS09\_92a für relativen CIELAB-Buntton  $h^* = lab^*h^* = h_{ab}/360 = 127/360 = 0.354$

Daten für jede Farbe:

$lab^*ch^*$  und  $lab^*icu^*$

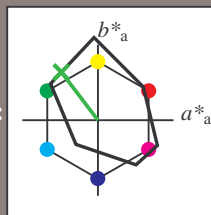
Elementar-Bunttontext:

$u^* = j50g$

Kontrastreduzierungsfaktor:

$c_R = 1.0$

Dreiecks-Helligkeit  $i^*$



FRS09\_92a; adaptierte CIELAB-Daten

	$L^*=L_a^*$	$a_a^*$	$b_a^*$	$C_{ab,a}^*$	$h_{ab,a}^*$
O <sub>Ma</sub>	35.06	60.0	44.0	74.4	36
Y <sub>Ma</sub>	83.77	-5.16	109.32	109.44	93
L <sub>Ma</sub>	44.13	-62.66	48.24	79.09	142
C <sub>Ma</sub>	52.66	-29.13	-31.98	43.27	228
V <sub>Ma</sub>	14.15	50.3	-59.03	77.57	310
M <sub>Ma</sub>	37.37	78.64	-33.49	85.48	337
N <sub>Ma</sub>	8.58	0.0	0.0	0.0	0
W <sub>Ma</sub>	92.02	0.0	0.0	0.0	0
R <sub>CIE</sub>	39.92	58.74	27.99	65.07	25
J <sub>CIE</sub>	81.26	-2.88	71.56	71.62	92
G <sub>CIE</sub>	52.23	-42.41	13.6	44.55	162
B <sub>CIE</sub>	30.57	1.41	-46.46	46.49	272

Daten für Maximalfarbe (Ma):

$LAB^*LAB^*_{Ma}$ : 54 -47 63

$LAB^*LCH^*_{Ma}$ : 54 80 127

$lab^*rgb^*_{Ma}$ : 0.5 1.0 0.0

$lab^*olv^*_{Ma}$ : 0.25 1.0 0.0

Dreiecks-Helligkeit  $i^*$

%Umfang

$u^*_{rel} = 109$

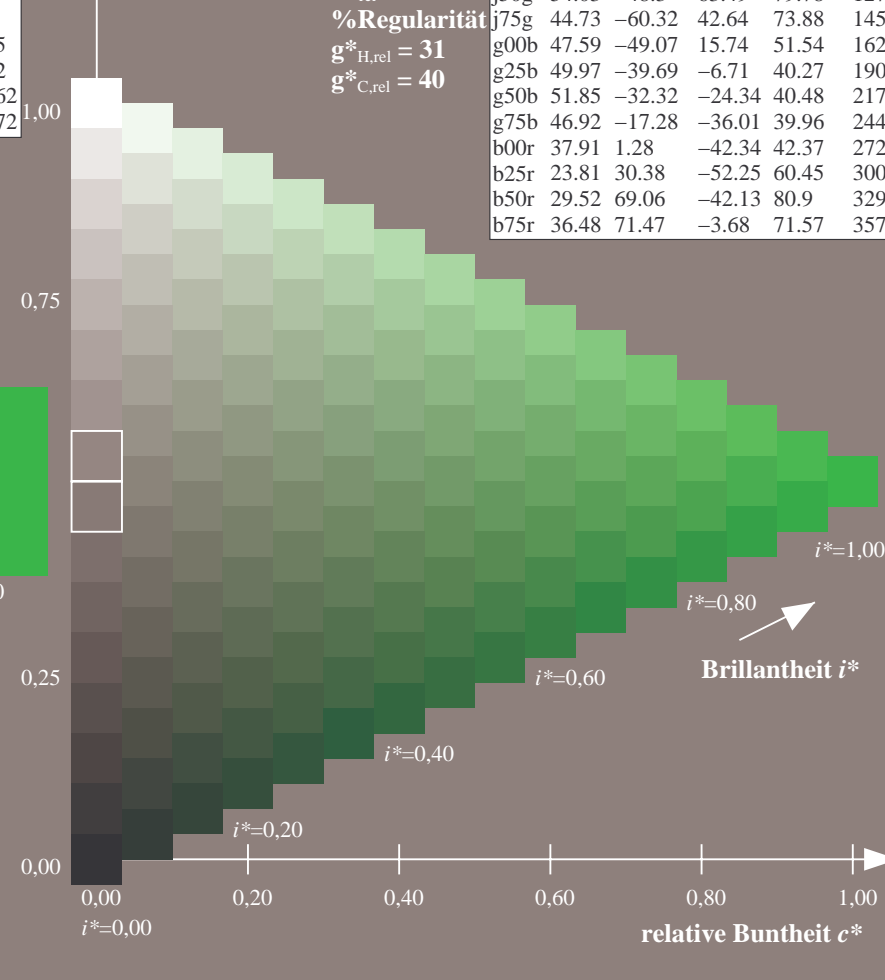
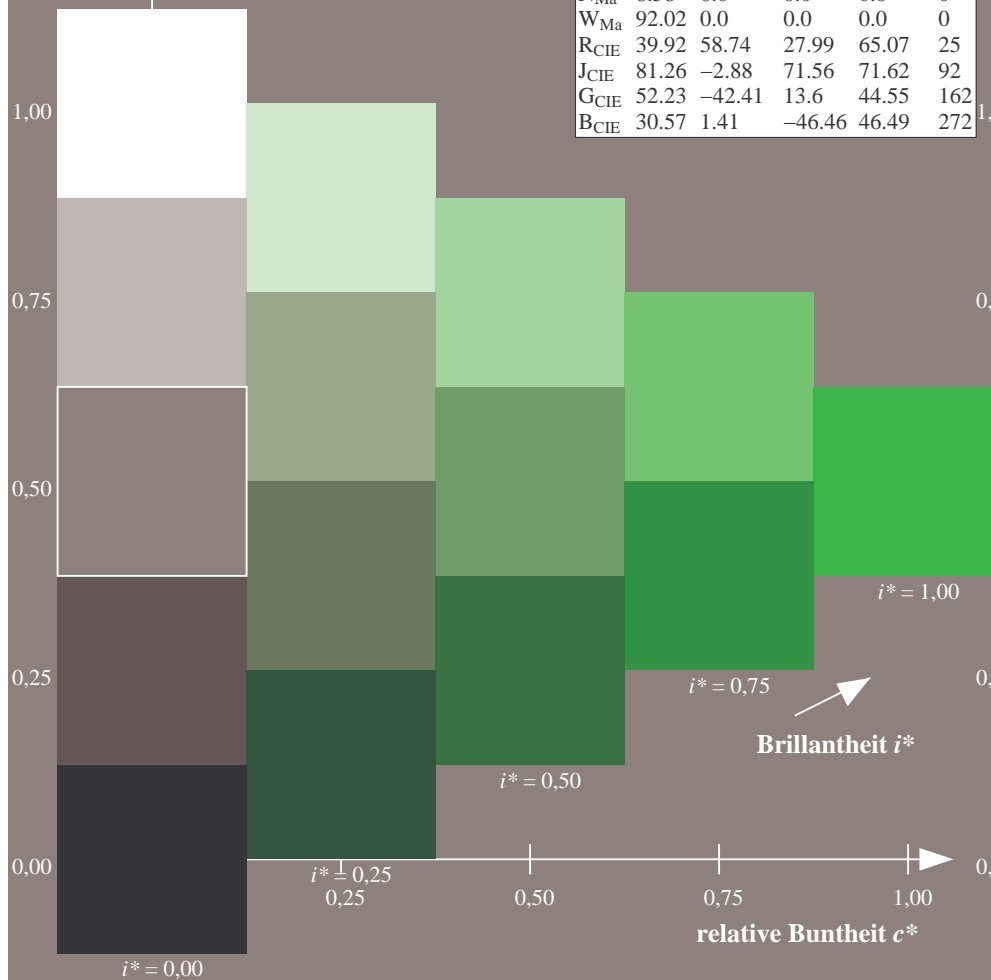
%Regularität

$g^*_{H,rel} = 31$

$g^*_{C,rel} = 40$

FRS09\_92a; adaptierte CIELAB-Daten

	$L^*=L_a^*$	$a_a^*$	$b_a^*$	$C_{ab,a}^*$	$h_{ab,a}^*$
r00j	35.47	63.32	30.17	70.15	25
r25j	39.12	54.56	49.45	73.64	42
r50j	50.64	39.15	64.89	75.79	59
r75j	64.01	21.26	82.83	85.52	76
j00g	83.18	-4.37	108.53	108.62	92
j25g	66.73	-29.88	83.06	88.28	110
j50g	54.03	-48.3	63.49	79.78	127
j75g	44.73	-60.32	42.64	73.88	145
g00b	47.59	-49.07	15.74	51.54	162
g25b	49.97	-39.69	-6.71	40.27	190
g50b	51.85	-32.32	-24.34	40.48	217
g75b	46.92	-17.28	-36.01	39.96	244
b00r	37.91	1.28	-42.34	42.37	272
b25r	23.81	30.38	-52.25	60.45	300
b50r	29.52	69.06	-42.13	80.9	329
b75r	36.48	71.47	-3.68	71.57	357





Ein und Ausgabe: Farbmetrisches Drucker-Reflektiv-System FRS09\_92a für relativen CIELAB-Buntton  $h^* = lab^*h^* = h_{ab}/360 = 145/360 = 0.402$

Daten für jede Farbe:

$lab^*ch^*$  und  $lab^*icu^*$

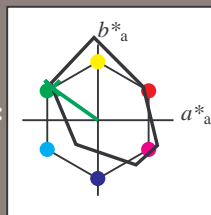
Elementar-Bunttontext:

$u^* = j75g$

Kontrastreduzierungsfaktor:

$c_R = 1.0$

Dreiecks-Helligkeit  $i^*$



FRS09\_92a; adaptierte CIELAB-Daten

	$L^*=L^*_a$	$a^*_a$	$b^*_a$	$C^*_{ab,a}$	$h^*_{ab,a}$
O <sub>Ma</sub>	35.06	60.0	44.0	74.4	36
Y <sub>Ma</sub>	83.77	-5.16	109.32	109.44	93
L <sub>Ma</sub>	44.13	-62.66	48.24	79.09	142
C <sub>Ma</sub>	52.66	-29.13	-31.98	43.27	228
V <sub>Ma</sub>	14.15	50.3	-59.03	77.57	310
M <sub>Ma</sub>	37.37	78.64	-33.49	85.48	337
N <sub>Ma</sub>	8.58	0.0	0.0	0.0	0
W <sub>Ma</sub>	92.02	0.0	0.0	0.0	0
R <sub>CIE</sub>	39.92	58.74	27.99	65.07	25
J <sub>CIE</sub>	81.26	-2.88	71.56	71.62	92
G <sub>CIE</sub>	52.23	-42.41	13.6	44.55	162
B <sub>CIE</sub>	30.57	1.41	-46.46	46.49	272

Daten für Maximalfarbe (Ma):

$LAB^*LAB^*_{Ma}$ : 45 -59 43

$LAB^*LCH^*_{Ma}$ : 45 74 145

$lab^*rgb^*_{Ma}$ : 0.25 1.0 0.0

$lab^*olv^*_{Ma}$ : 0.0 1.0 0.07

Dreiecks-Helligkeit  $i^*$

%Umfang

$u^*_{rel} = 109$

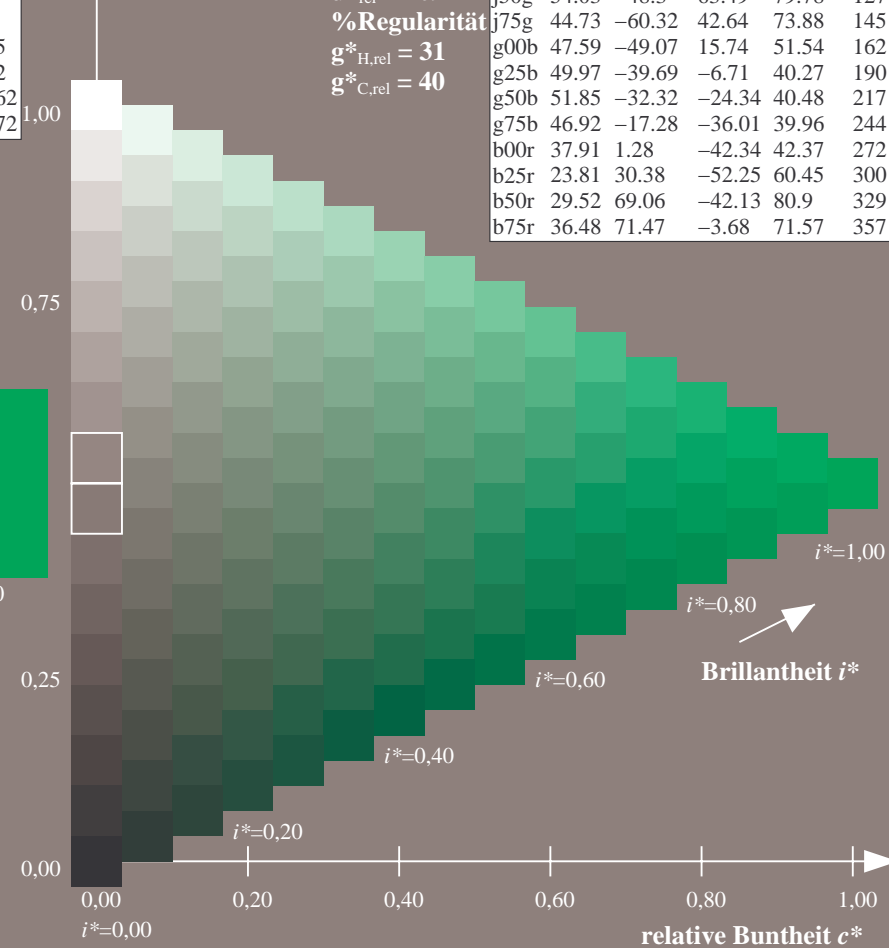
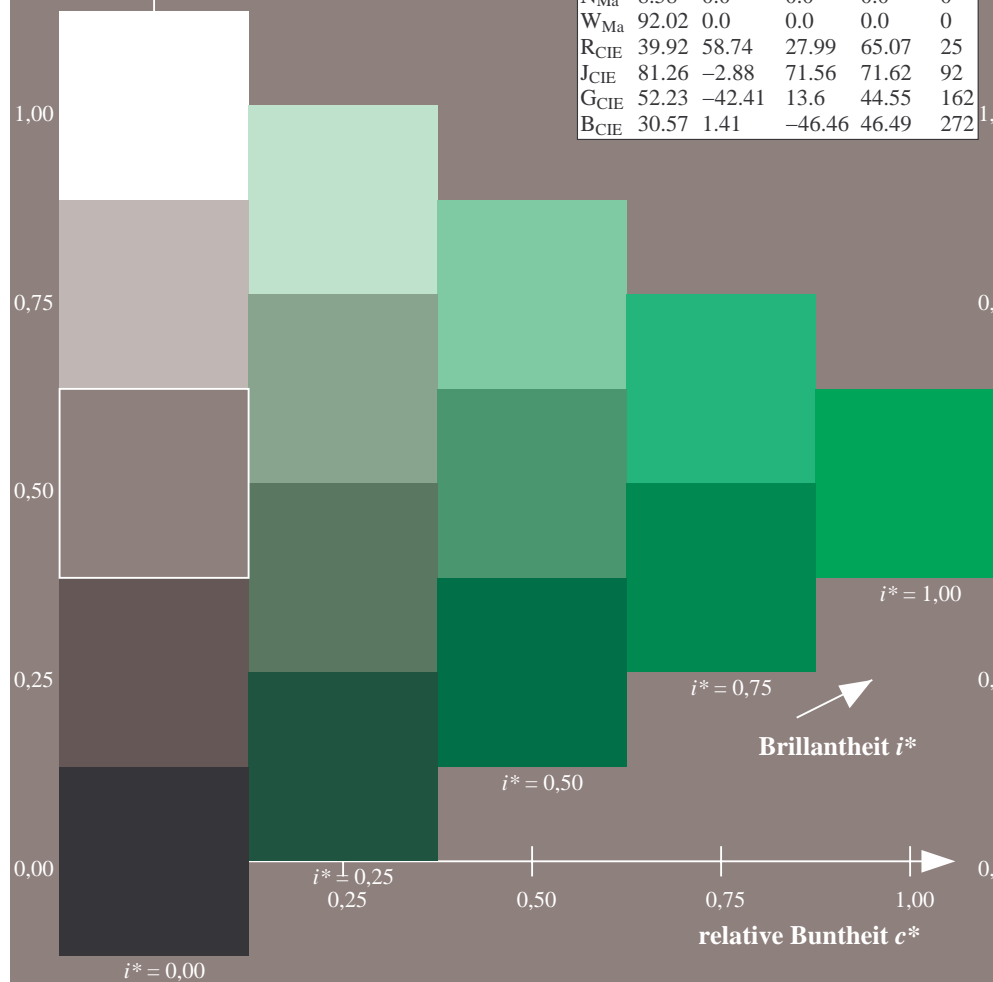
%Regularität

$g^*_{H,rel} = 31$

$g^*_{C,rel} = 40$

FRS09\_92a; adaptierte CIELAB-Daten

	$L^*=L^*_a$	$a^*_a$	$b^*_a$	$C^*_{ab,a}$	$h^*_{ab,a}$
r00j	35.47	63.32	30.17	70.15	25
r25j	39.12	54.56	49.45	73.64	42
r50j	50.64	39.15	64.89	75.79	59
r75j	64.01	21.26	82.83	85.52	76
j00g	83.18	-4.37	108.53	108.62	92
j25g	66.73	-29.88	83.06	88.28	110
j50g	54.03	-48.3	63.49	79.78	127
j75g	44.73	-60.32	42.64	73.88	145
g00b	47.59	-49.07	15.74	51.54	162
g25b	49.97	-39.69	-6.71	40.27	190
g50b	51.85	-32.32	-24.34	40.48	217
g75b	46.92	-17.28	-36.01	39.96	244
b00r	37.91	1.28	-42.34	42.37	272
b25r	23.81	30.38	-52.25	60.45	300
b50r	29.52	69.06	-42.13	80.9	329
b75r	36.48	71.47	-3.68	71.57	357



Ein und Ausgabe: Farbmetrisches Drucker-Reflektiv-System FRS09\_92a für relativen CIELAB-Buntton  $h^* = lab^*h^* = h_{ab}/360 = 162/360 = 0.451$

Daten für jede Farbe:

$lab^*ch^*$  und  $lab^*icu^*$

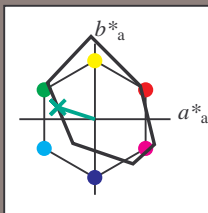
Elementar-Bunttontext:

$u^* = g00b$

Kontrastreduzierungsfaktor:

$c_R = 1.0$

Dreiecks-Helligkeit  $i^*$



FRS09\_92a; adaptierte CIELAB-Daten

	$L^*=L_a^*$	$a_a^*$	$b_a^*$	$C_{ab,a}^*$	$h_{ab,a}^*$
O <sub>Ma</sub>	35.06	60.0	44.0	74.4	36
Y <sub>Ma</sub>	83.77	-5.16	109.32	109.44	93
L <sub>Ma</sub>	44.13	-62.66	48.24	79.09	142
C <sub>Ma</sub>	52.66	-29.13	-31.98	43.27	228
V <sub>Ma</sub>	14.15	50.3	-59.03	77.57	310
M <sub>Ma</sub>	37.37	78.64	-33.49	85.48	337
N <sub>Ma</sub>	8.58	0.0	0.0	0.0	0
W <sub>Ma</sub>	92.02	0.0	0.0	0.0	0
R <sub>CIE</sub>	39.92	58.74	27.99	65.07	25
J <sub>CIE</sub>	81.26	-2.88	71.56	71.62	92
G <sub>CIE</sub>	52.23	-42.41	13.6	44.55	162
B <sub>CIE</sub>	30.57	1.41	-46.46	46.49	272

Daten für Maximalfarbe (Ma):

$LAB^*LAB^*_{Ma}$ : 48 -48 16

$LAB^*LCH^*_{Ma}$ : 48 52 162

$lab^*rgb^*_{Ma}$ : 0.0 1.0 0.0

$lab^*olv^*_{Ma}$ : 0.0 1.0 0.41

Dreiecks-Helligkeit  $i^*$

%Umfang

$u^*_{rel} = 109$

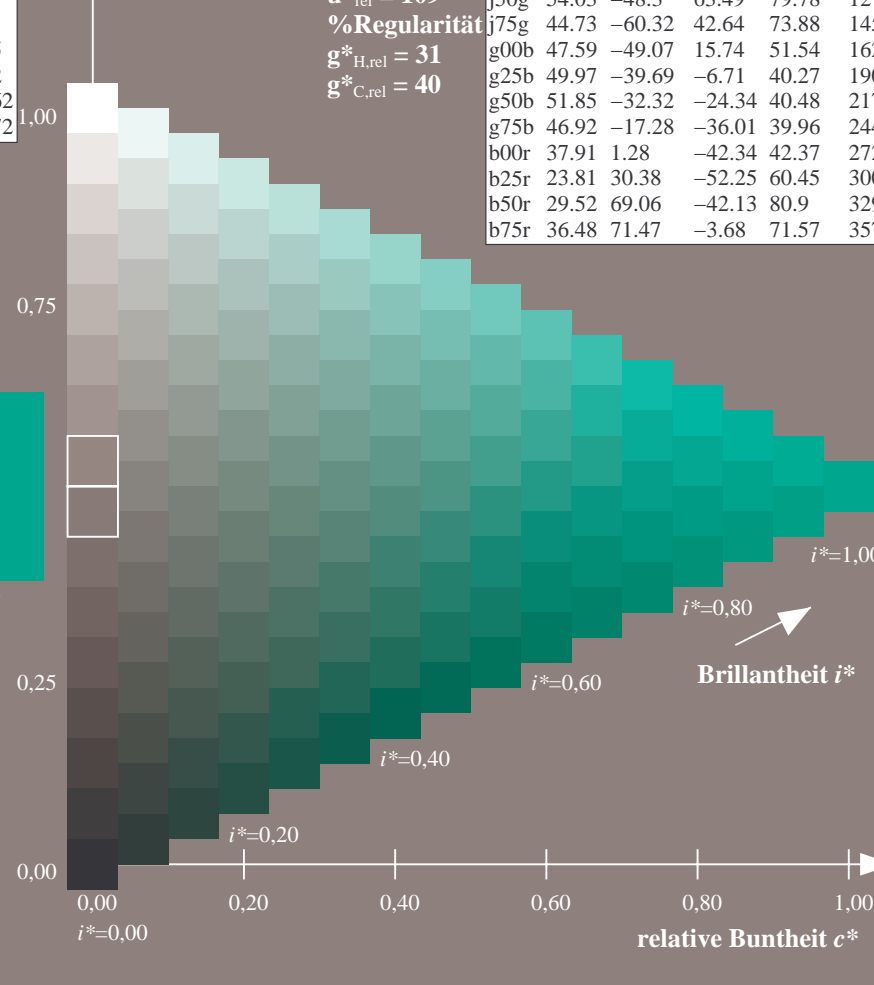
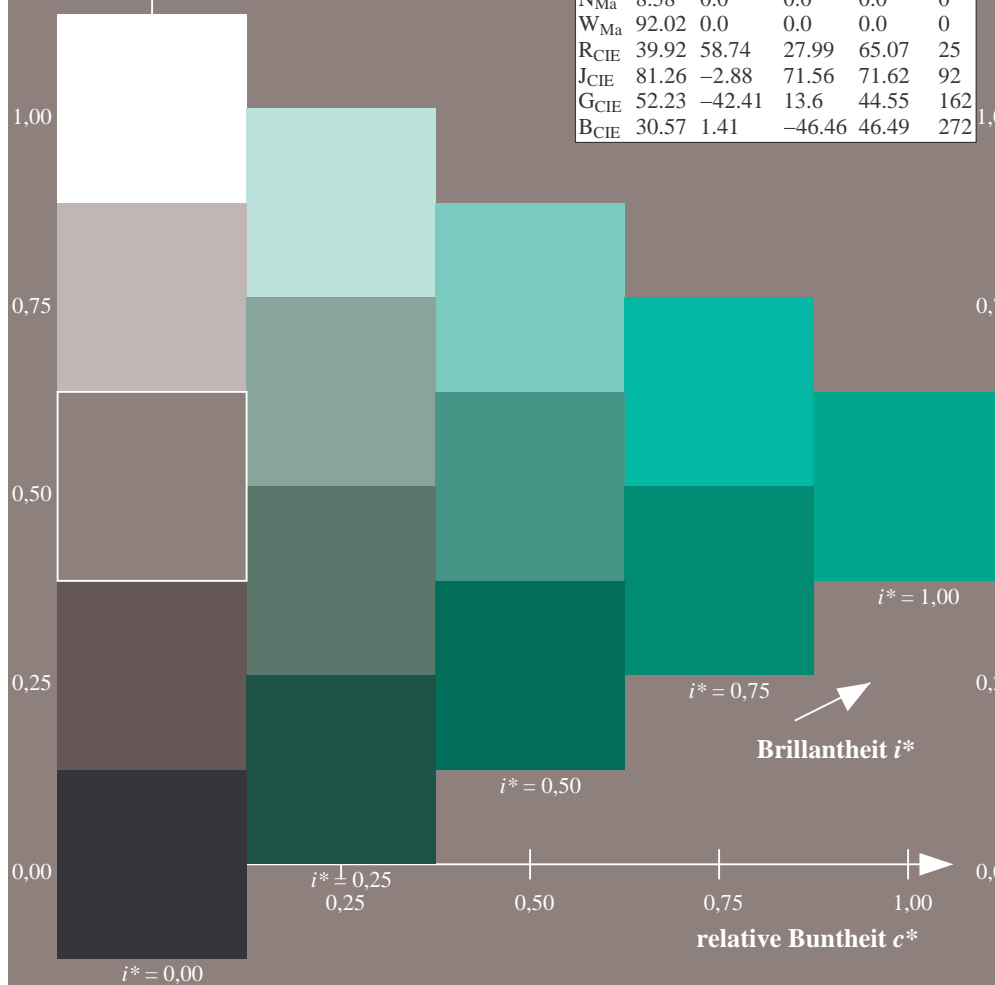
%Regularität

$g^*_{H,rel} = 31$

$g^*_{C,rel} = 40$

FRS09\_92a; adaptierte CIELAB-Daten

	$L^*=L_a^*$	$a_a^*$	$b_a^*$	$C_{ab,a}^*$	$h_{ab,a}^*$
r00j	35.47	63.32	30.17	70.15	25
r25j	39.12	54.56	49.45	73.64	42
r50j	50.64	39.15	64.89	75.79	59
r75j	64.01	21.26	82.83	85.52	76
j00g	83.18	-4.37	108.53	108.62	92
j25g	66.73	-29.88	83.06	88.28	110
j50g	54.03	-48.3	63.49	79.78	127
j75g	44.73	-60.32	42.64	73.88	145
g00b	47.59	-49.07	15.74	51.54	162
g25b	49.97	-39.69	-6.71	40.27	190
g50b	51.85	-32.32	-24.34	40.48	217
g75b	46.92	-17.28	-36.01	39.96	244
b00r	37.91	1.28	-42.34	42.37	272
b25r	23.81	30.38	-52.25	60.45	300
b50r	29.52	69.06	-42.13	80.9	329
b75r	36.48	71.47	-3.68	71.57	357



Ein und Ausgabe: Farbmetrisches Drucker-Reflektiv-System FRS09\_92a für relativen CIELAB-Buntton  $h^* = lab^*h^* = h_{ab}/360 = 190/360 = 0.527$

Daten für jede Farbe:

$lab^*ch^*$  und  $lab^*icu^*$

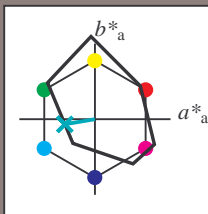
Elementar-Bunttontext:

$u^* = g25b$

Kontrastreduzierungsfaktor:

$c_R = 1.0$

Dreiecks-Helligkeit  $i^*$



FRS09\_92a; adaptierte CIELAB-Daten

	$L^*=L_a^*$	$a_a^*$	$b_a^*$	$C_{ab,a}^*$	$h_{ab,a}^*$
O <sub>Ma</sub>	35.06	60.0	44.0	74.4	36
Y <sub>Ma</sub>	83.77	-5.16	109.32	109.44	93
L <sub>Ma</sub>	44.13	-62.66	48.24	79.09	142
C <sub>Ma</sub>	52.66	-29.13	-31.98	43.27	228
V <sub>Ma</sub>	14.15	50.3	-59.03	77.57	310
M <sub>Ma</sub>	37.37	78.64	-33.49	85.48	337
N <sub>Ma</sub>	8.58	0.0	0.0	0.0	0
W <sub>Ma</sub>	92.02	0.0	0.0	0.0	0
R <sub>CIE</sub>	39.92	58.74	27.99	65.07	25
J <sub>CIE</sub>	81.26	-2.88	71.56	71.62	92
G <sub>CIE</sub>	52.23	-42.41	13.6	44.55	162
B <sub>CIE</sub>	30.57	1.41	-46.46	46.49	272

Daten für Maximalfarbe (Ma):

$LAB^*LAB^*_{Ma}$ : 50 -39 -6

$LAB^*LCH^*_{Ma}$ : 50 40 190

$lab^*rgb^*_{Ma}$ : 0.0 1.0 0.5

$lab^*olv^*_{Ma}$ : 0.0 1.0 0.69

Dreiecks-Helligkeit  $i^*$

%Umfang

$u^*_{rel} = 109$

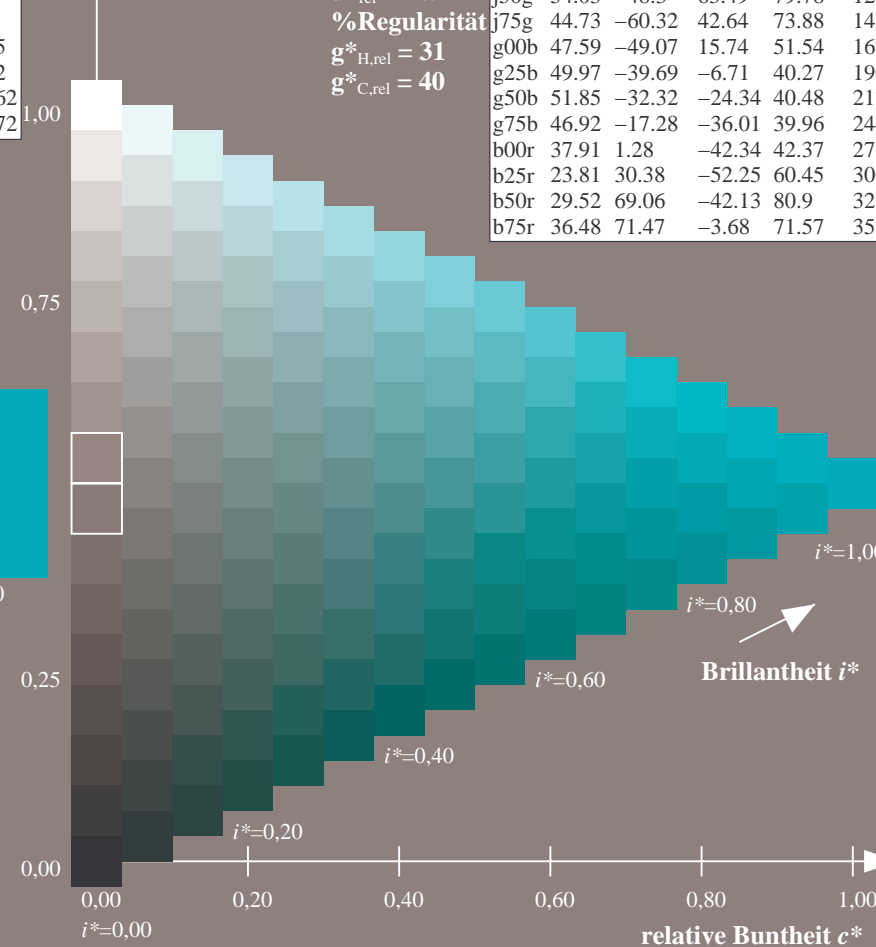
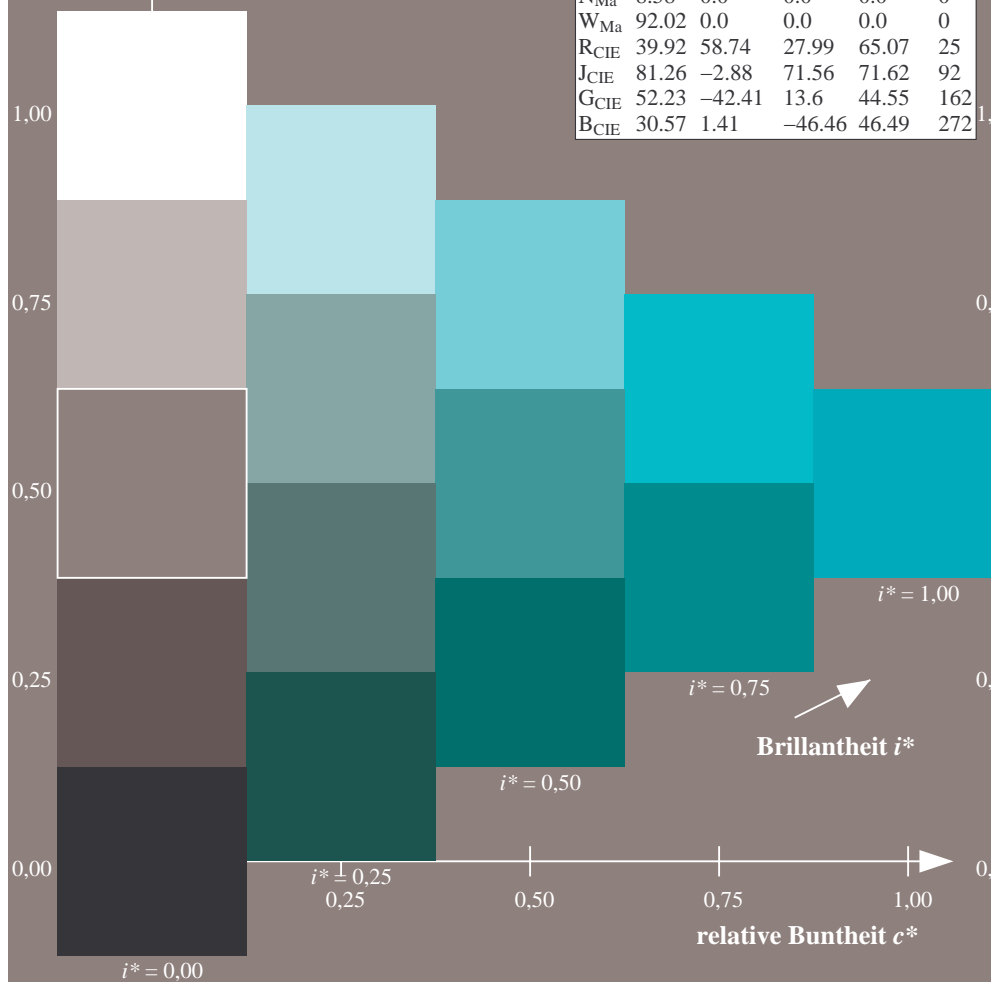
%Regularität

$g^*_{H,rel} = 31$

$g^*_{C,rel} = 40$

FRS09\_92a; adaptierte CIELAB-Daten

	$L^*=L_a^*$	$a_a^*$	$b_a^*$	$C_{ab,a}^*$	$h_{ab,a}^*$
r00j	35.47	63.32	30.17	70.15	25
r25j	39.12	54.56	49.45	73.64	42
r50j	50.64	39.15	64.89	75.79	59
r75j	64.01	21.26	82.83	85.52	76
j00g	83.18	-4.37	108.53	108.62	92
j25g	66.73	-29.88	83.06	88.28	110
j50g	54.03	-48.3	63.49	79.78	127
j75g	44.73	-60.32	42.64	73.88	145
g00b	47.59	-49.07	15.74	51.54	162
g25b	49.97	-39.69	-6.71	40.27	190
g50b	51.85	-32.32	-24.34	40.48	217
g75b	46.92	-17.28	-36.01	39.96	244
b00r	37.91	1.28	-42.34	42.37	272
b25r	23.81	30.38	-52.25	60.45	300
b50r	29.52	69.06	-42.13	80.9	329
b75r	36.48	71.47	-3.68	71.57	357



Ein und Ausgabe: Farbmetrisches Drucker-Reflektiv-System FRS09\_92a für relativen CIELAB-Buntton  $h^* = lab^*h^* = h_{ab}/360 = 217/360 = 0.603$

Daten für jede Farbe:

$lab^*ch^*$  und  $lab^*icu^*$

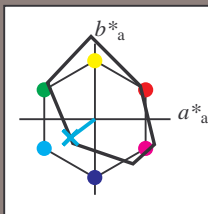
Elementar-Bunttontext:

$u^* = g50b$

Kontrastreduzierungsfaktor:

$c_R = 1.0$

Dreiecks-Helligkeit  $i^*$



FRS09\_92a; adaptierte CIELAB-Daten

	$L^*=L_a^*$	$a_a^*$	$b_a^*$	$C_{ab,a}^*$	$h_{ab,a}^*$
O <sub>Ma</sub>	35.06	60.0	44.0	74.4	36
Y <sub>Ma</sub>	83.77	-5.16	109.32	109.44	93
L <sub>Ma</sub>	44.13	-62.66	48.24	79.09	142
C <sub>Ma</sub>	52.66	-29.13	-31.98	43.27	228
V <sub>Ma</sub>	14.15	50.3	-59.03	77.57	310
M <sub>Ma</sub>	37.37	78.64	-33.49	85.48	337
N <sub>Ma</sub>	8.58	0.0	0.0	0.0	0
W <sub>Ma</sub>	92.02	0.0	0.0	0.0	0
R <sub>CIE</sub>	39.92	58.74	27.99	65.07	25
J <sub>CIE</sub>	81.26	-2.88	71.56	71.62	92
G <sub>CIE</sub>	52.23	-42.41	13.6	44.55	162
B <sub>CIE</sub>	30.57	1.41	-46.46	46.49	272

Daten für Maximalfarbe (Ma):

$LAB^*LAB^*Ma$ : 52 -31 -23

$LAB^*LCH^*Ma$ : 52 40 217

$lab^*rgb^*Ma$ : 0.0 1.0 1.0

$lab^*olv^*Ma$ : 0.0 1.0 0.9

Dreiecks-Helligkeit  $i^*$

%Umfang

$u^*_{rel} = 109$

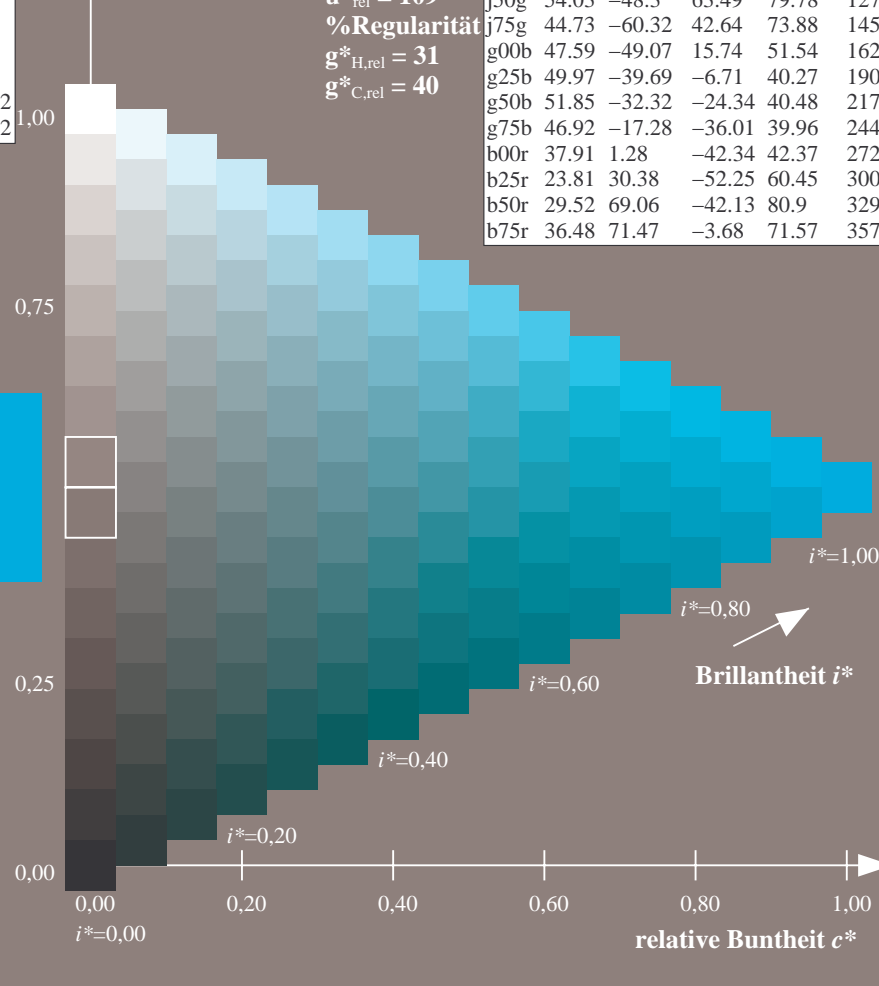
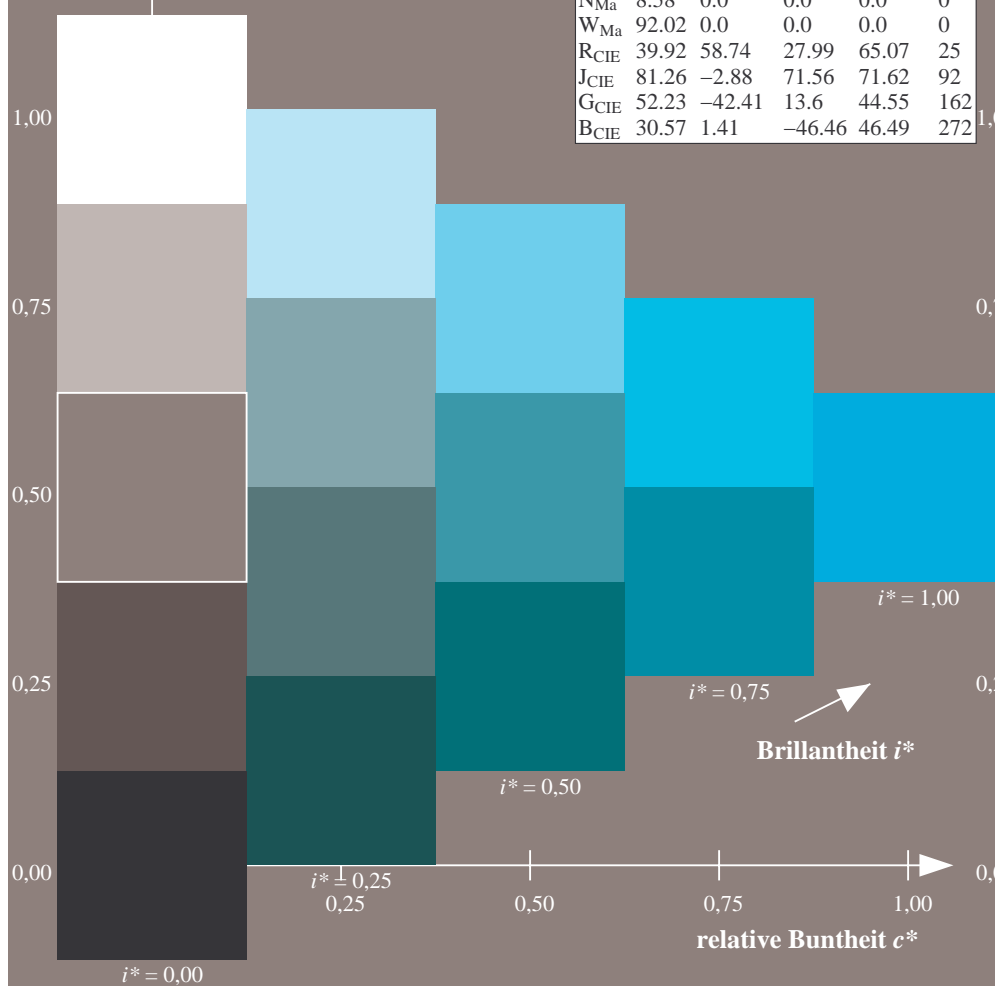
%Regularität

$g^*_{H,rel} = 31$

$g^*_{C,rel} = 40$

FRS09\_92a; adaptierte CIELAB-Daten

	$L^*=L_a^*$	$a_a^*$	$b_a^*$	$C_{ab,a}^*$	$h_{ab,a}^*$
r00j	35.47	63.32	30.17	70.15	25
r25j	39.12	54.56	49.45	73.64	42
r50j	50.64	39.15	64.89	75.79	59
r75j	64.01	21.26	82.83	85.52	76
j00g	83.18	-4.37	108.53	108.62	92
j25g	66.73	-29.88	83.06	88.28	110
j50g	54.03	-48.3	63.49	79.78	127
j75g	44.73	-60.32	42.64	73.88	145
g00b	47.59	-49.07	15.74	51.54	162
g25b	49.97	-39.69	-6.71	40.27	190
g50b	51.85	-32.32	-24.34	40.48	217
g75b	46.92	-17.28	-36.01	39.96	244
b00r	37.91	1.28	-42.34	42.37	272
b25r	23.81	30.38	-52.25	60.45	300
b50r	29.52	69.06	-42.13	80.9	329
b75r	36.48	71.47	-3.68	71.57	357



Ein und Ausgabe: Farbmetrisches Drucker-Reflektiv-System FRS09\_92a für relativen CIELAB-Buntton  $h^* = lab^*h^* = h_{ab}/360 = 244/360 = 0.679$

Daten für jede Farbe:

$lab^*ch^*$  und  $lab^*icu^*$

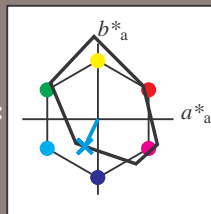
Elementar-Bunttontext:

$u^* = g75b$

Kontrastreduzierungsfaktor:

$c_R = 1.0$

Dreiecks-Helligkeit  $i^*$



FRS09\_92a; adaptierte CIELAB-Daten

	$L^*=L_a^*$	$a_a^*$	$b_a^*$	$C_{ab,a}^*$	$h_{ab,a}^*$
O <sub>Ma</sub>	35.06	60.0	44.0	74.4	36
Y <sub>Ma</sub>	83.77	-5.16	109.32	109.44	93
L <sub>Ma</sub>	44.13	-62.66	48.24	79.09	142
C <sub>Ma</sub>	52.66	-29.13	-31.98	43.27	228
V <sub>Ma</sub>	14.15	50.3	-59.03	77.57	310
M <sub>Ma</sub>	37.37	78.64	-33.49	85.48	337
N <sub>Ma</sub>	8.58	0.0	0.0	0.0	0
W <sub>Ma</sub>	92.02	0.0	0.0	0.0	0
R <sub>CIE</sub>	39.92	58.74	27.99	65.07	25
J <sub>CIE</sub>	81.26	-2.88	71.56	71.62	92
G <sub>CIE</sub>	52.23	-42.41	13.6	44.55	162
B <sub>CIE</sub>	30.57	1.41	-46.46	46.49	272

Daten für Maximalfarbe (Ma):

$LAB^*LAB^*_{Ma}$ : 47 -16 -35

$LAB^*LCH^*_{Ma}$ : 47 40 244

$lab^*rgb^*_{Ma}$ : 0.0 0.5 1.0

$lab^*olv^*_{Ma}$ : 0.0 0.85 1.0

Dreiecks-Helligkeit  $i^*$

%Umfang

$u^*_{rel} = 109$

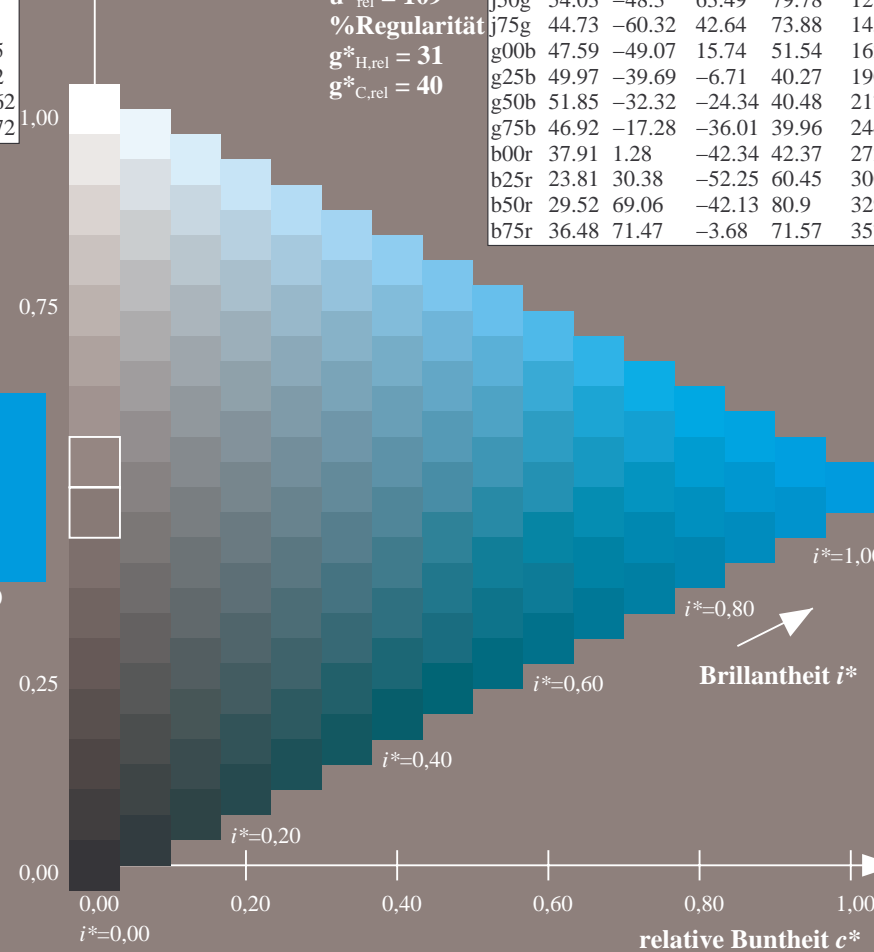
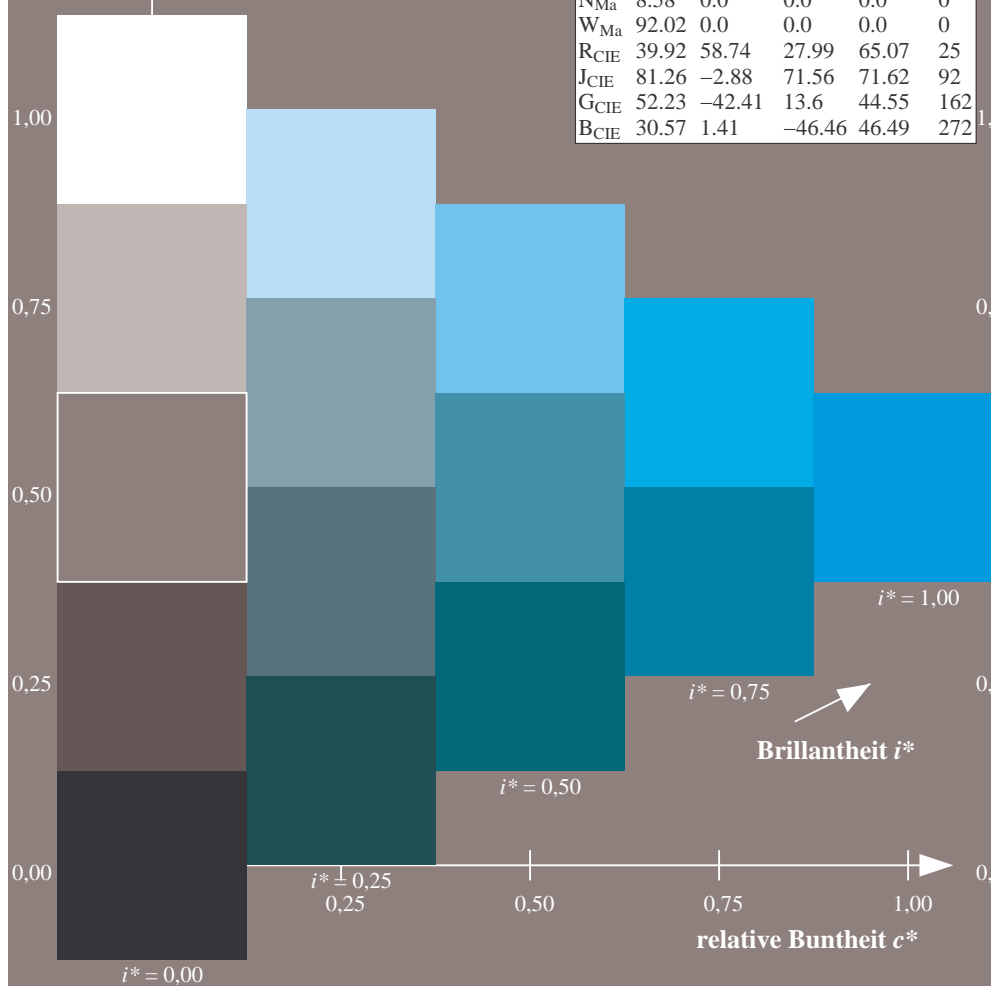
%Regularität

$g^*_{H,rel} = 31$

$g^*_{C,rel} = 40$

FRS09\_92a; adaptierte CIELAB-Daten

	$L^*=L_a^*$	$a_a^*$	$b_a^*$	$C_{ab,a}^*$	$h_{ab,a}^*$
r00j	35.47	63.32	30.17	70.15	25
r25j	39.12	54.56	49.45	73.64	42
r50j	50.64	39.15	64.89	75.79	59
r75j	64.01	21.26	82.83	85.52	76
j00g	83.18	-4.37	108.53	108.62	92
j25g	66.73	-29.88	83.06	88.28	110
j50g	54.03	-48.3	63.49	79.78	127
j75g	44.73	-60.32	42.64	73.88	145
g00b	47.59	-49.07	15.74	51.54	162
g25b	49.97	-39.69	-6.71	40.27	190
g50b	51.85	-32.32	-24.34	40.48	217
g75b	46.92	-17.28	-36.01	39.96	244
b00r	37.91	1.28	-42.34	42.37	272
b25r	23.81	30.38	-52.25	60.45	300
b50r	29.52	69.06	-42.13	80.9	329
b75r	36.48	71.47	-3.68	71.57	357



Ein und Ausgabe: Farbmetrisches Drucker-Reflektiv-System FRS09\_92a für relativen CIELAB-Buntton  $h^* = lab^*h^* = h_{ab}/360 = 272/360 = 0.755$

Daten für jede Farbe:

$lab^*ch^*$  und  $lab^*icu^*$

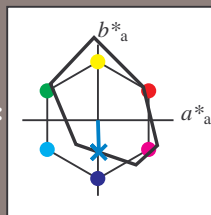
Elementar-Bunttontext:

$u^* = b00r$

Kontrastreduzierungsfaktor:

$c_R = 1.0$

Dreiecks-Helligkeit  $i^*$



FRS09\_92a; adaptierte CIELAB-Daten

	$L^*=L_a^*$	$a_a^*$	$b_a^*$	$C_{ab,a}^*$	$h_{ab,a}^*$
O <sub>Ma</sub>	35.06	60.0	44.0	74.4	36
Y <sub>Ma</sub>	83.77	-5.16	109.32	109.44	93
L <sub>Ma</sub>	44.13	-62.66	48.24	79.09	142
C <sub>Ma</sub>	52.66	-29.13	-31.98	43.27	228
V <sub>Ma</sub>	14.15	50.3	-59.03	77.57	310
M <sub>Ma</sub>	37.37	78.64	-33.49	85.48	337
N <sub>Ma</sub>	8.58	0.0	0.0	0.0	0
W <sub>Ma</sub>	92.02	0.0	0.0	0.0	0
R <sub>CIE</sub>	39.92	58.74	27.99	65.07	25
J <sub>CIE</sub>	81.26	-2.88	71.56	71.62	92
G <sub>CIE</sub>	52.23	-42.41	13.6	44.55	162
B <sub>CIE</sub>	30.57	1.41	-46.46	46.49	272

Daten für Maximalfarbe (Ma):

$LAB^*LAB^*_{Ma}$ : 38 1 -41

$LAB^*LCH^*_{Ma}$ : 38 42 272

$lab^*rgb^*_{Ma}$ : 0.0 0.0 1.0

$lab^*olv^*_{Ma}$ : 0.0 0.62 1.0

Dreiecks-Helligkeit  $i^*$

%Umfang

$u^*_{rel} = 109$

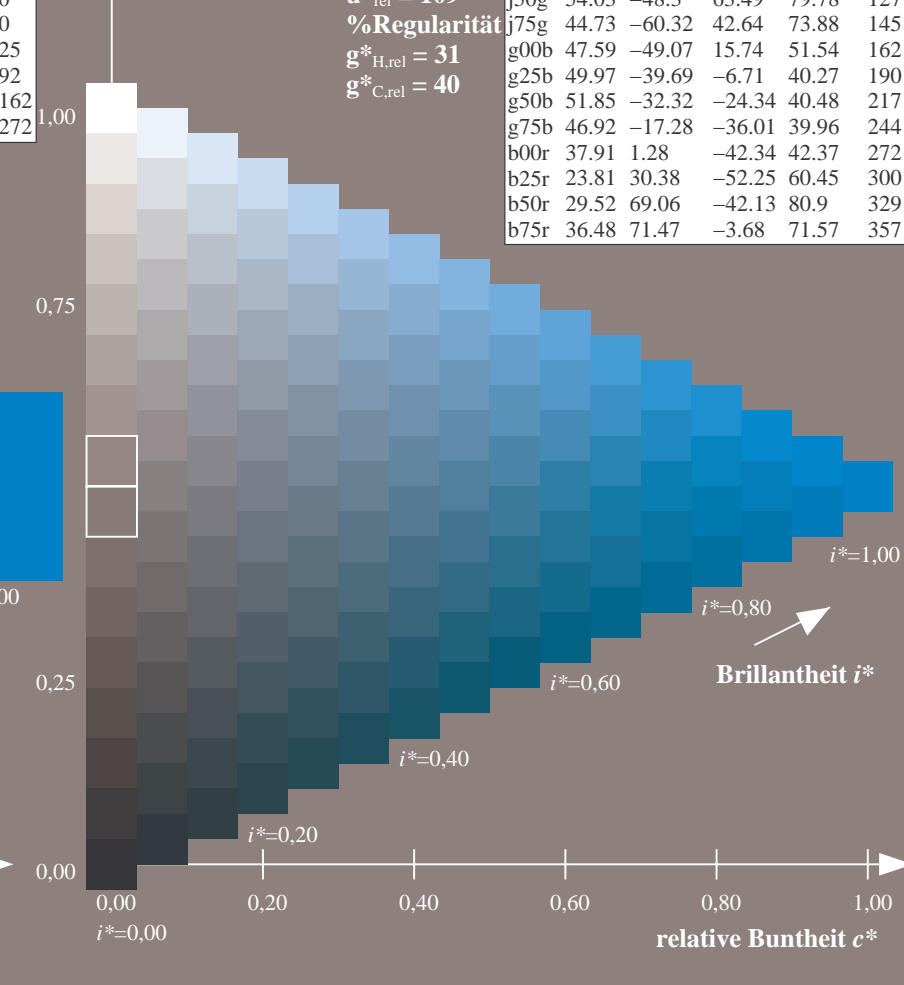
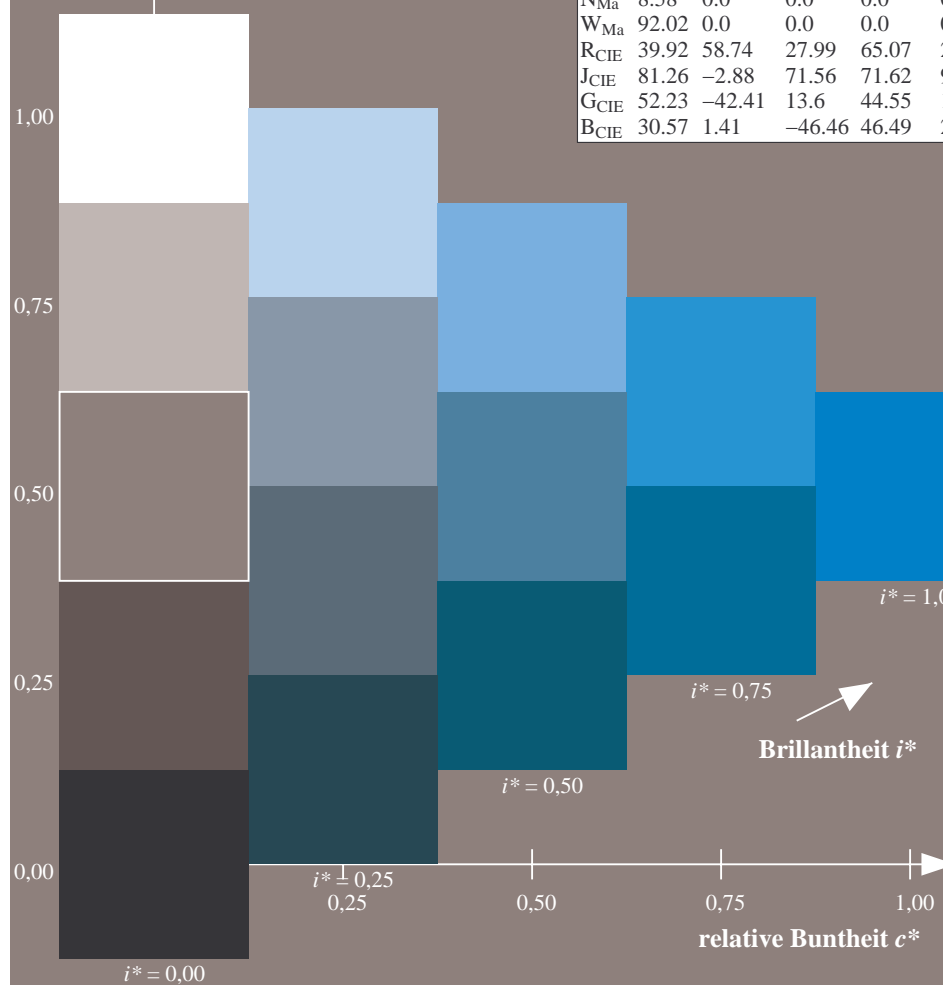
%Regularität

$g^*_{H,rel} = 31$

$g^*_{C,rel} = 40$

FRS09\_92a; adaptierte CIELAB-Daten

	$L^*=L_a^*$	$a_a^*$	$b_a^*$	$C_{ab,a}^*$	$h_{ab,a}^*$
r00j	35.47	63.32	30.17	70.15	25
r25j	39.12	54.56	49.45	73.64	42
r50j	50.64	39.15	64.89	75.79	59
r75j	64.01	21.26	82.83	85.52	76
j00g	83.18	-4.37	108.53	108.62	92
j25g	66.73	-29.88	83.06	88.28	110
j50g	54.03	-48.3	63.49	79.78	127
j75g	44.73	-60.32	42.64	73.88	145
g00b	47.59	-49.07	15.74	51.54	162
g25b	49.97	-39.69	-6.71	40.27	190
g50b	51.85	-32.32	-24.34	40.48	217
g75b	46.92	-17.28	-36.01	39.96	244
b00r	37.91	1.28	-42.34	42.37	272
b25r	23.81	30.38	-52.25	60.45	300
b50r	29.52	69.06	-42.13	80.9	329
b75r	36.48	71.47	-3.68	71.57	357





Ein und Ausgabe: Farbmetrisches Drucker-Reflektiv-System FRS09\_92a für relativen CIELAB-Buntton  $h^* = lab^*h^* = h_{ab}/360 = 300/360 = 0.834$

Daten für jede Farbe:

$lab^*ch^*$  und  $lab^*icu^*$

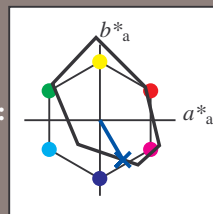
Elementar-Bunttontext:

$u^* = b25r$

Kontrastreduzierungsfaktor:

$c_R = 1.0$

Dreiecks-Helligkeit  $i^*$



FRS09\_92a; adaptierte CIELAB-Daten

	$L^*=L_a^*$	$a_a^*$	$b_a^*$	$C_{ab,a}^*$	$h_{ab,a}^*$
O <sub>Ma</sub>	35.06	60.0	44.0	74.4	36
Y <sub>Ma</sub>	83.77	-5.16	109.32	109.44	93
L <sub>Ma</sub>	44.13	-62.66	48.24	79.09	142
C <sub>Ma</sub>	52.66	-29.13	-31.98	43.27	228
V <sub>Ma</sub>	14.15	50.3	-59.03	77.57	310
M <sub>Ma</sub>	37.37	78.64	-33.49	85.48	337
N <sub>Ma</sub>	8.58	0.0	0.0	0.0	0
W <sub>Ma</sub>	92.02	0.0	0.0	0.0	0
R <sub>CIE</sub>	39.92	58.74	27.99	65.07	25
J <sub>CIE</sub>	81.26	-2.88	71.56	71.62	92
G <sub>CIE</sub>	52.23	-42.41	13.6	44.55	162
B <sub>CIE</sub>	30.57	1.41	-46.46	46.49	272

Daten für Maximalfarbe (Ma):

$LAB^*LAB^*Ma$ : 24 30 -51

$LAB^*LCH^*Ma$ : 24 60 300

$lab^*rgb^*Ma$ : 0.5 0.0 1.0

$lab^*olv^*Ma$ : 0.0 0.25 1.0

Dreiecks-Helligkeit  $i^*$

%Umfang

$u^*_{rel} = 109$

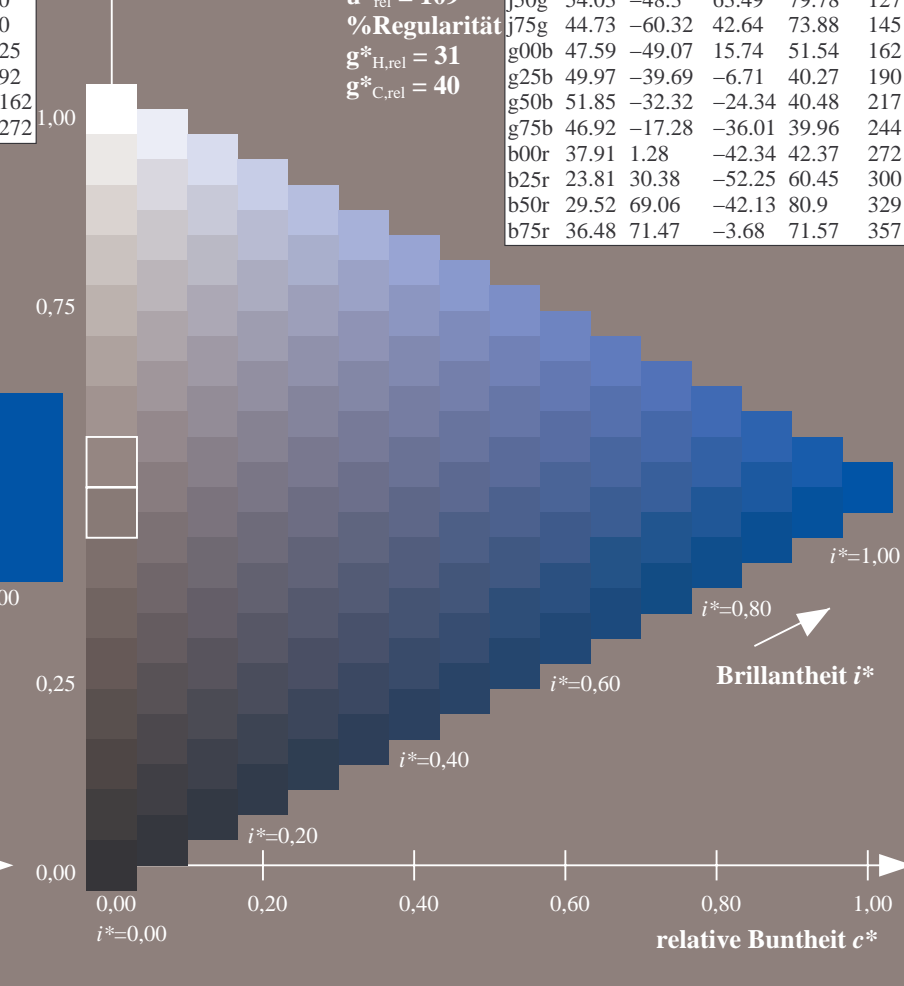
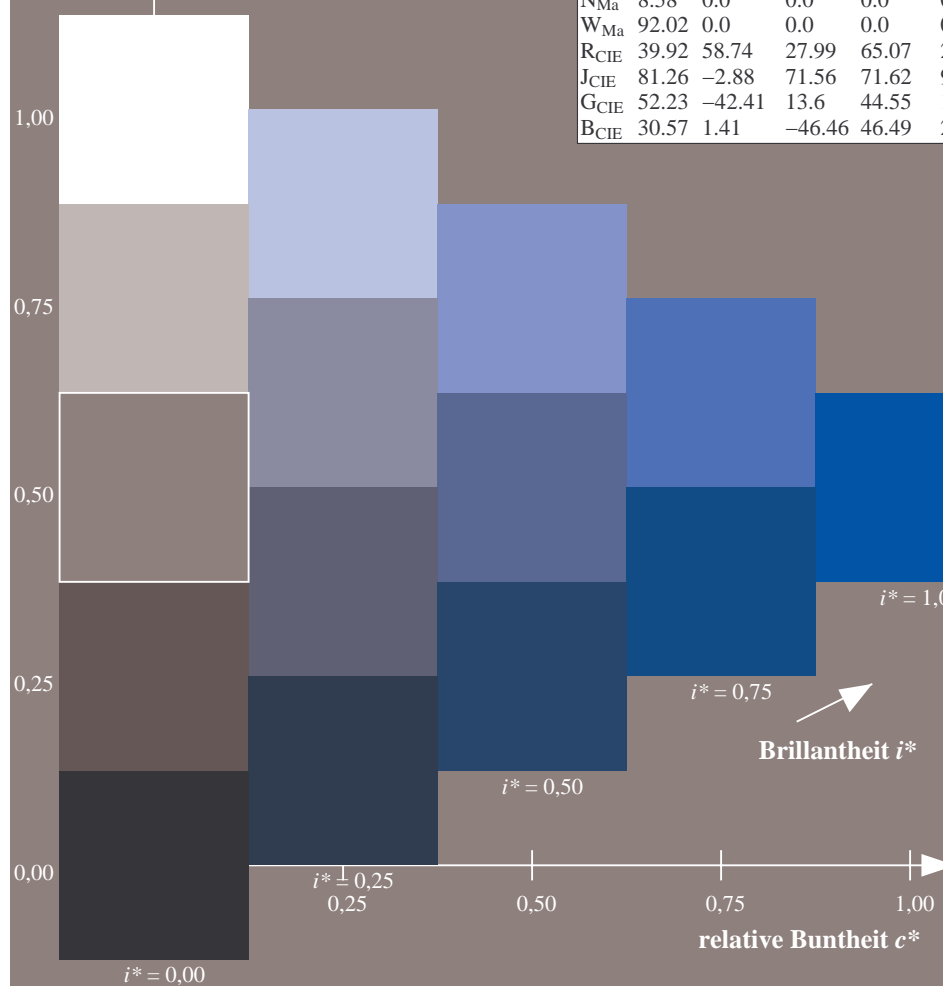
%Regularität

$g^*_{H,rel} = 31$

$g^*_{C,rel} = 40$

FRS09\_92a; adaptierte CIELAB-Daten

	$L^*=L_a^*$	$a_a^*$	$b_a^*$	$C_{ab,a}^*$	$h_{ab,a}^*$
r00j	35.47	63.32	30.17	70.15	25
r25j	39.12	54.56	49.45	73.64	42
r50j	50.64	39.15	64.89	75.79	59
r75j	64.01	21.26	82.83	85.52	76
j00g	83.18	-4.37	108.53	108.62	92
j25g	66.73	-29.88	83.06	88.28	110
j50g	54.03	-48.3	63.49	79.78	127
j75g	44.73	-60.32	42.64	73.88	145
g00b	47.59	-49.07	15.74	51.54	162
g25b	49.97	-39.69	-6.71	40.27	190
g50b	51.85	-32.32	-24.34	40.48	217
g75b	46.92	-17.28	-36.01	39.96	244
b00r	37.91	1.28	-42.34	42.37	272
b25r	23.81	30.38	-52.25	60.45	300
b50r	29.52	69.06	-42.13	80.9	329
b75r	36.48	71.47	-3.68	71.57	357



Ein und Ausgabe: Farbmétrisches Drucker-Reflektiv-System FRS09\_92a für relativen CIELAB-Buntton  $h^* = lab^*h^* = h_{ab}/360 = 329/360 = 0.913$

### Daten für jede Farbe:

*lab\*tch\** und *lab\*icu\**

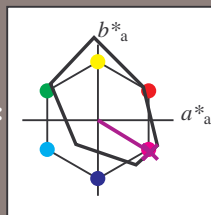
### Elementar-Bunttontext:

$$u^* = b50r$$

### Kontrastreduzierungsfaktor:

 $c_R = 1.0$ 

### Dreiecks-Helligkeit $t^*$



FRS09_92a; adaptierte CIELAB-Daten						
	$L^*_a$	$a^*_a$	$b^*_a$	$C^*_{ab,a}$	$h^*_{ab,a}$	
O <sub>Ma</sub>	35.06	60.0	44.0	74.4	36	
Y <sub>Ma</sub>	83.77	-5.16	109.32	109.44	93	
L <sub>Ma</sub>	44.13	-62.66	48.24	79.09	142	
C <sub>Ma</sub>	52.66	-29.13	-31.98	43.27	228	
V <sub>Ma</sub>	14.15	50.3	-59.03	77.57	310	
M <sub>Ma</sub>	37.37	78.64	-33.49	85.48	337	
N <sub>Ma</sub>	8.58	0.0	0.0	0.0	0	
W <sub>Ma</sub>	92.02	0.0	0.0	0.0	0	
R <sub>CIE</sub>	39.92	58.74	27.99	65.07	25	
J <sub>CIE</sub>	81.26	-2.88	71.56	71.62	92	
G <sub>CIE</sub>	52.23	-42.41	13.6	44.55	162	
B <sub>CIE</sub>	30.57	1.41	-46.46	46.49	272	

**Daten für Maximalfarbe (Ma):**

LAB\*LAB\*Mo: 30 69 -41

LAD\*LGH\* 30 81 320

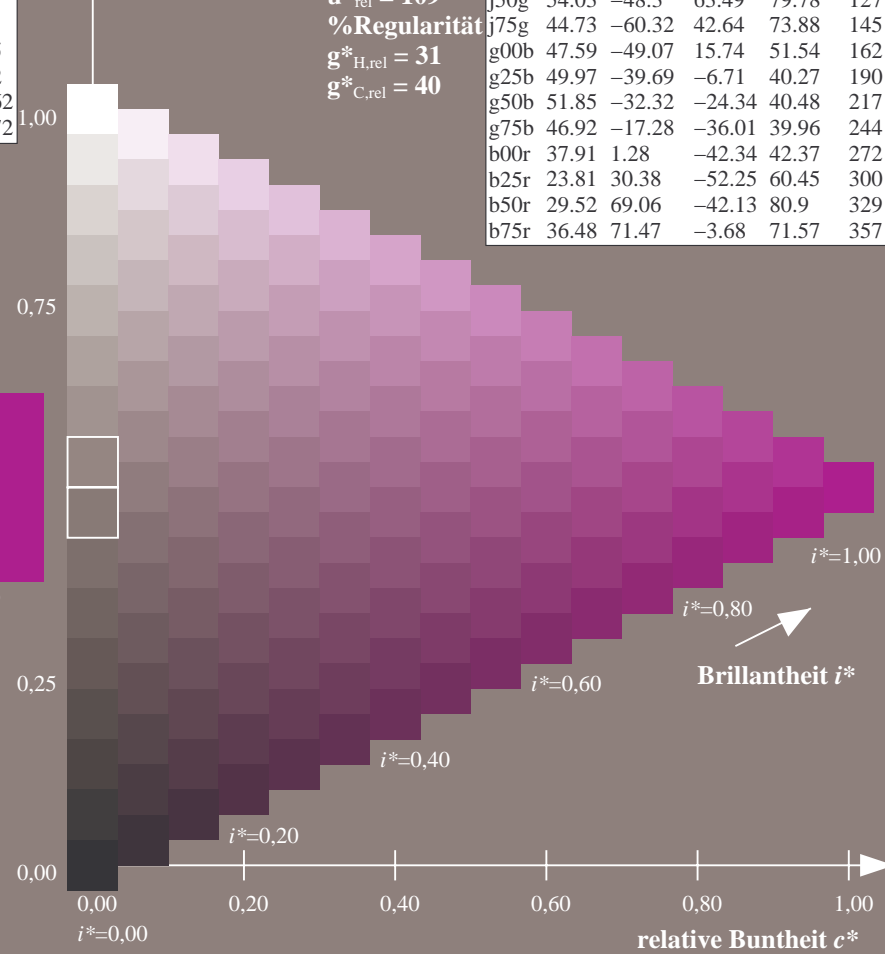
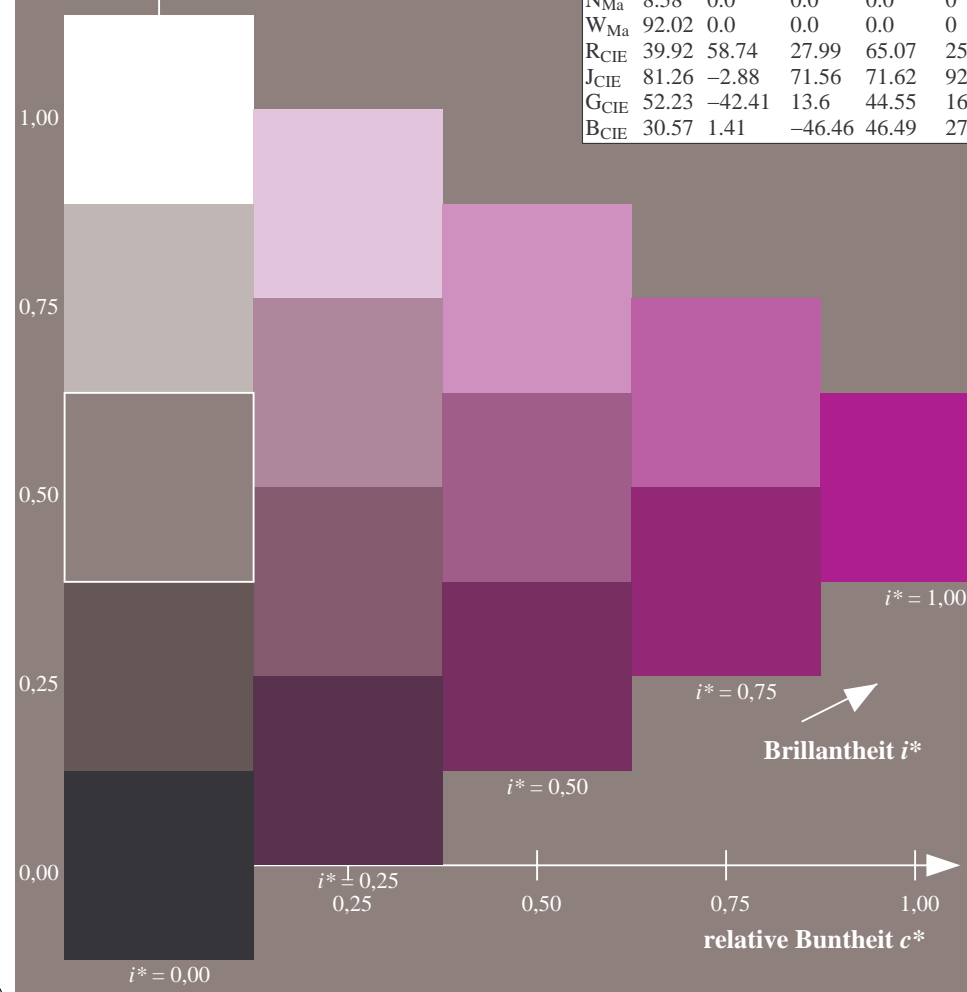
**LAB\*LCH\*Ma: 30 81 35**

*lab\*rgb\*\_Ma: 1.0 0.0 1.0*

*lab\*olv\**Ma: 0.66 0.0 1.0

### Dreiecks-Helligkeit $t^*$

FRS09_92a; adaptierte CIELAB-Daten						
	$L^*_a$	$a^*_a$	$b^*_a$	$C^*_{ab,a}$	$h^*_{ab,a}$	
r00j	35.47	63.32	30.17	70.15	25.1	100
r25j	39.12	54.56	49.45	73.64	42.1	100
r50j	50.64	39.15	64.89	75.79	59.1	100
r75j	64.01	21.26	82.83	85.52	76.1	100
j00g	83.18	-4.37	108.53	108.62	92.1	100
j25g	66.73	-29.88	83.06	88.28	110.1	100
j50g	54.03	-48.3	63.49	79.78	127.1	100
j75g	44.73	-60.32	42.64	73.88	145.1	100
g00b	47.59	-49.07	15.74	51.54	162.1	100
g25b	49.97	-39.69	-6.71	40.27	190.1	100
g50b	51.85	-32.32	-24.34	40.48	217.1	100
g75b	46.92	-17.28	-36.01	39.96	244.1	100
b00r	37.91	1.28	-42.34	42.37	272.1	100
b25r	23.81	30.38	-52.25	60.45	300.1	100
b50r	29.52	69.06	-42.13	80.9	329.1	100
b75r	36.48	71.47	-3.68	71.57	357.1	100



Ein und Ausgabe: Farbmetrisches Drucker-Reflektiv-System FRS09\_92a für relativen CIELAB-Buntton  $h^* = lab^*h^* = h_{ab}/360 = 357/360 = 0.992$

Daten für jede Farbe:

$lab^*tch^*$  und  $lab^*icu^*$

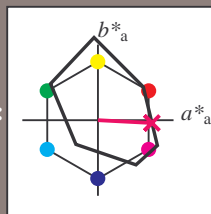
Elementar-Bunttontext:

$u^* = b75r$

Kontrastreduzierungsfaktor:

$c_R = 1.0$

Dreiecks-Helligkeit  $i^*$



FRS09\_92a; adaptierte CIELAB-Daten

	$L^*=L^*_a$	$a^*_a$	$b^*_a$	$C^*_{ab,a}$	$h^*_{ab,a}$
O <sub>Ma</sub>	35.06	60.0	44.0	74.4	36
Y <sub>Ma</sub>	83.77	-5.16	109.32	109.44	93
L <sub>Ma</sub>	44.13	-62.66	48.24	79.09	142
C <sub>Ma</sub>	52.66	-29.13	-31.98	43.27	228
V <sub>Ma</sub>	14.15	50.3	-59.03	77.57	310
M <sub>Ma</sub>	37.37	78.64	-33.49	85.48	337
N <sub>Ma</sub>	8.58	0.0	0.0	0.0	0
W <sub>Ma</sub>	92.02	0.0	0.0	0.0	0
R <sub>CIE</sub>	39.92	58.74	27.99	65.07	25
J <sub>CIE</sub>	81.26	-2.88	71.56	71.62	92
G <sub>CIE</sub>	52.23	-42.41	13.6	44.55	162
B <sub>CIE</sub>	30.57	1.41	-46.46	46.49	272

Daten für Maximalfarbe (Ma):

$LAB^*LAB^*_{Ma}$ : 36 71 -3

$LAB^*LCH^*_{Ma}$ : 36 72 357

$lab^*rgb^*_{Ma}$ : 1.0 0.0 0.5

$lab^*olv^*_{Ma}$ : 1.0 0.0 0.62

Dreiecks-Helligkeit  $i^*$

%Umfang

$u^*_{rel} = 109$

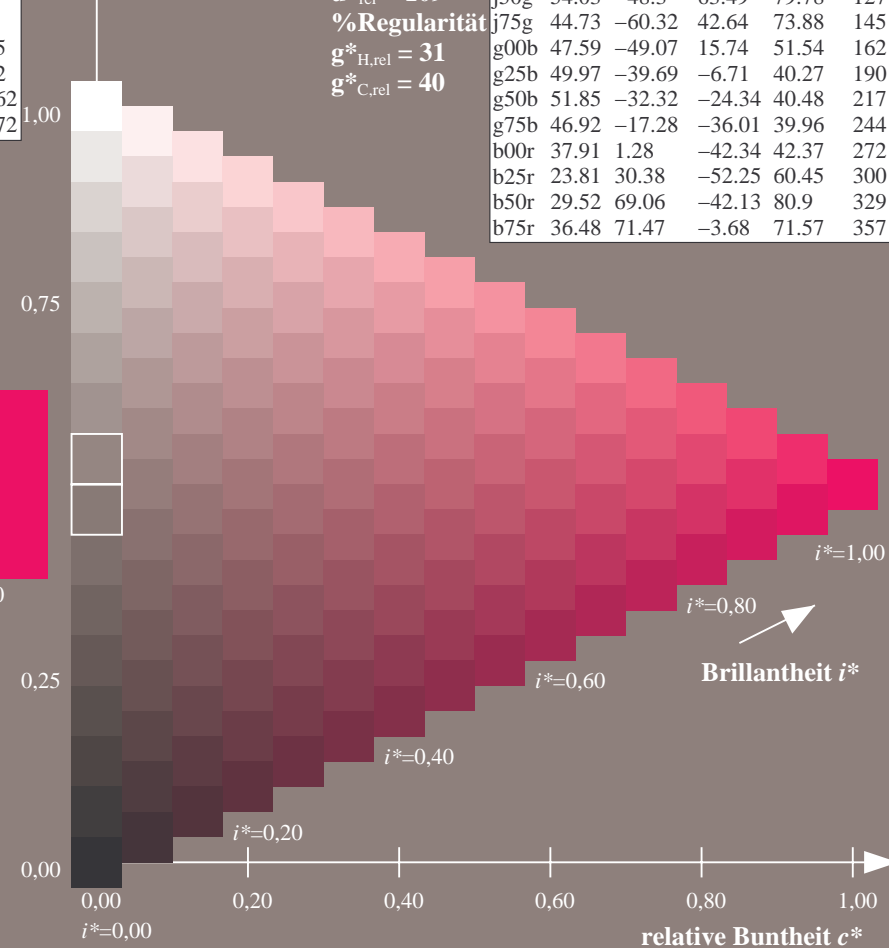
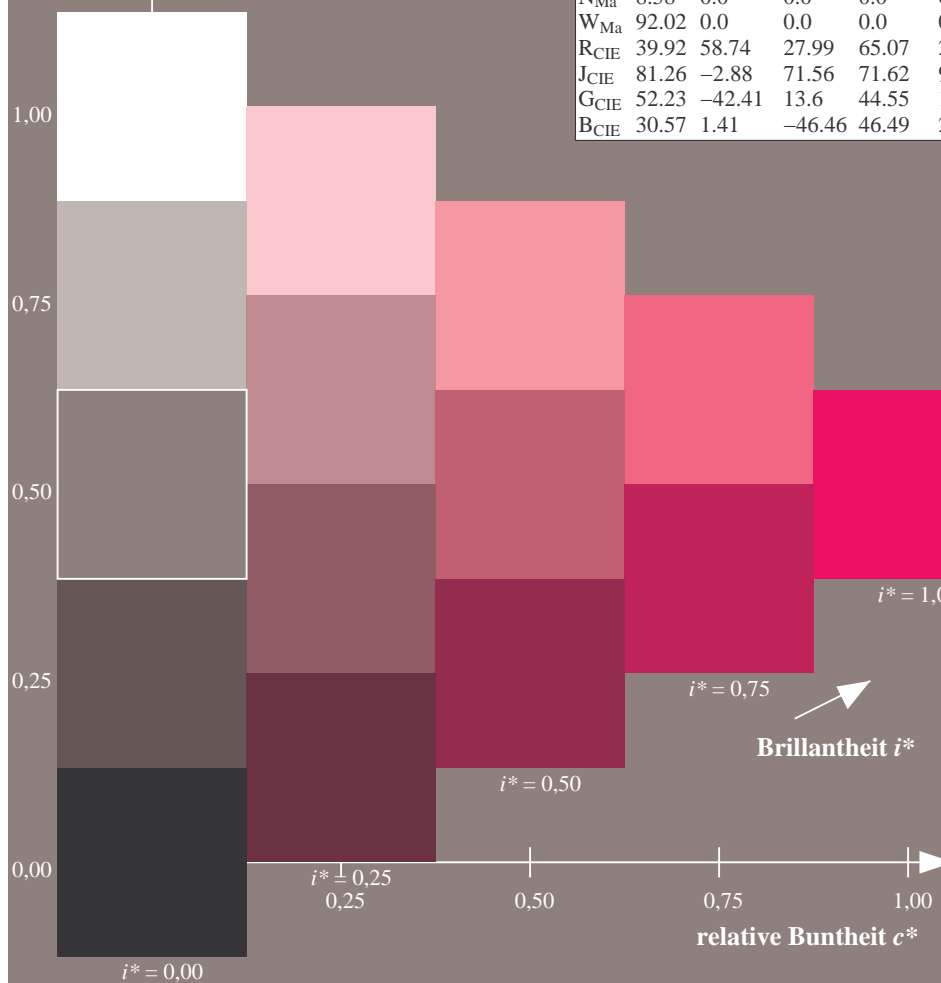
%Regularität

$g^*_{H,rel} = 31$

$g^*_{C,rel} = 40$

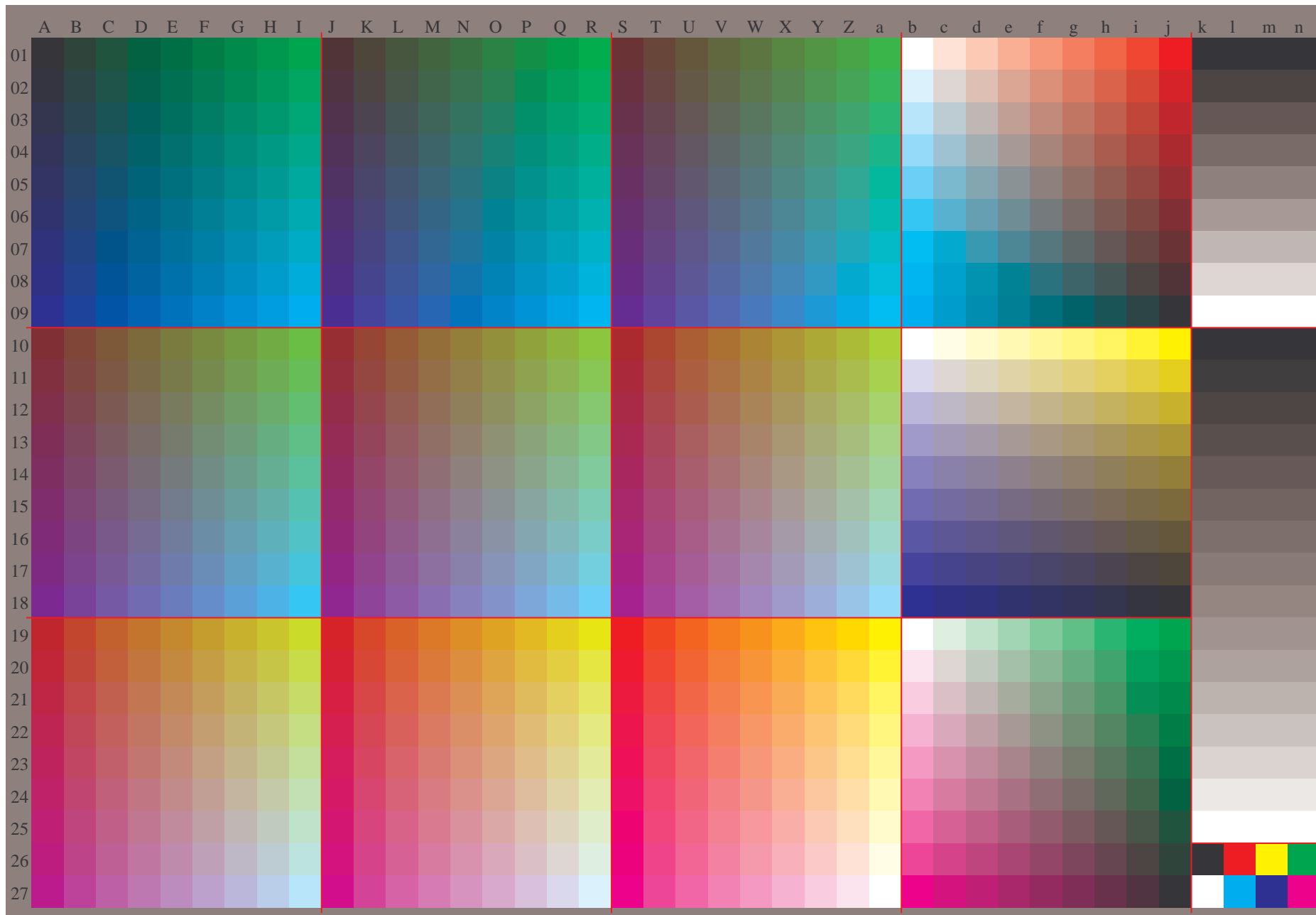
FRS09\_92a; adaptierte CIELAB-Daten

	$L^*=L^*_a$	$a^*_a$	$b^*_a$	$C^*_{ab,a}$	$h^*_{ab,a}$
r00j	35.47	63.32	30.17	70.15	25
r25j	39.12	54.56	49.45	73.64	42
r50j	50.64	39.15	64.89	75.79	59
r75j	64.01	21.26	82.83	85.52	76
j00g	83.18	-4.37	108.53	108.62	92
j25g	66.73	-29.88	83.06	88.28	110
j50g	54.03	-48.3	63.49	79.78	127
j75g	44.73	-60.32	42.64	73.88	145
g00b	47.59	-49.07	15.74	51.54	162
g25b	49.97	-39.69	-6.71	40.27	190
g50b	51.85	-32.32	-24.34	40.48	217
g75b	46.92	-17.28	-36.01	39.96	244
b00r	37.91	1.28	-42.34	42.37	272
b25r	23.81	30.38	-52.25	60.45	300
b50r	29.52	69.06	-42.13	80.9	329
b75r	36.48	71.47	-3.68	71.57	357



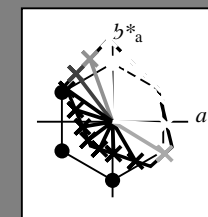
Siehe ähnliche Dateien: <http://www.ps.bam.de/Dg70/>; <http://www.ps.bam.de/Dg70/Version2.1/>, ColSpX=0

Technische Information: <http://www.ps.bam.de/Version2.1/>, ColSpX=0



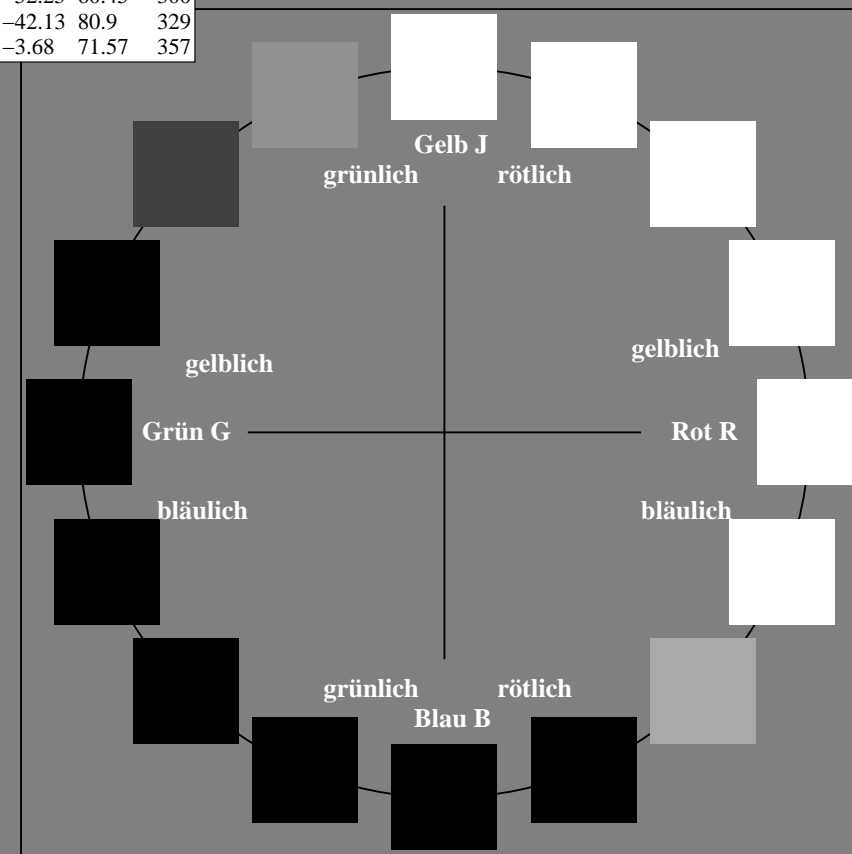
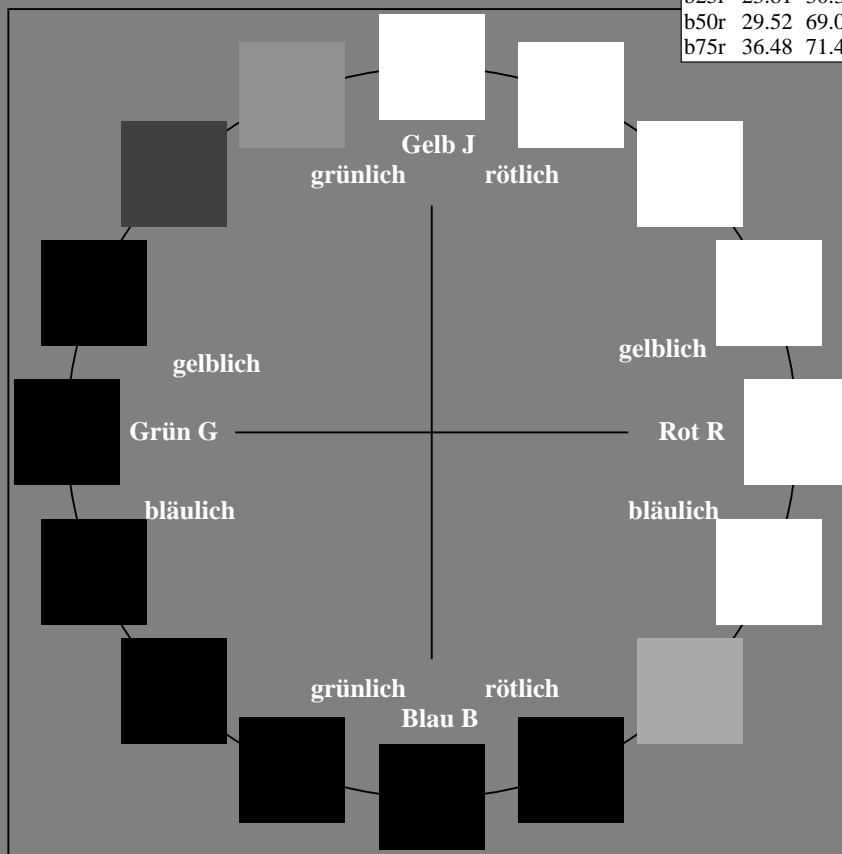
Ein und Ausgabe:  
Farbmetrisches Drucker-Reflektiv-System FRS09\_92a  
Daten für jede Farbe:  
*lab\*<sub>ich</sub>*\* und *lab\*<sub>icu</sub>*\*  
Elementar-Bunttontext:  
*u\** = 16 Buntttöne *r00j*, *r25j*, ..., *b75r*  
Kontrastreduzierungsfaktor:  
*c<sub>R</sub>* = 1.0

FRS09_92a; adaptierte CIELAB-Daten					
	<i>L*</i> = <i>L*</i> <sub>a</sub>	<i>a*</i> <sub>a</sub>	<i>b*</i> <sub>a</sub>	<i>C*</i> <sub>ab,a</sub>	<i>h*</i> <sub>ab,a</sub>
r00j	35.47	63.32	30.17	70.15	25
r25j	39.12	54.56	49.45	73.64	42
r50j	50.64	39.15	64.89	75.79	59
r75j	64.01	21.26	82.83	85.52	76
j00g	83.18	-4.37	108.53	108.62	92
j25g	66.73	-29.88	83.06	88.28	110
j50g	54.03	-48.3	63.49	79.78	127
j75g	44.73	-60.32	42.64	73.88	145
g00b	47.59	-49.07	15.74	51.54	162
g25b	49.97	-39.69	-6.71	40.27	190
g50b	51.85	-32.32	-24.34	40.48	217
g75b	46.92	-17.28	-36.01	39.96	244
b00r	37.91	1.28	-42.34	42.37	272
b25r	23.81	30.38	-52.25	60.45	300
b50r	29.52	69.06	-42.13	80.9	329
b75r	36.48	71.47	-3.68	71.57	357



%Umfang  
*u\**<sub>rel</sub> = 109  
%Regularität  
*g\**<sub>H,rel</sub> = 31  
*g\**<sub>C,rel</sub> = 40

FRS09_92a; adaptierte CIELAB-Daten					
	<i>L*</i> = <i>L*</i> <sub>a</sub>	<i>a*</i> <sub>a</sub>	<i>b*</i> <sub>a</sub>	<i>C*</i> <sub>ab,a</sub>	<i>h*</i> <sub>ab,a</sub>
O <sub>Ma</sub>	35.06	60.0	44.0	74.4	36
Y <sub>Ma</sub>	83.77	-5.16	109.32	109.44	93
L <sub>Ma</sub>	44.13	-62.66	48.24	79.09	142
C <sub>Ma</sub>	52.66	-29.13	-31.98	43.27	228
V <sub>Ma</sub>	14.15	50.3	-59.03	77.57	310
M <sub>Ma</sub>	37.37	78.64	-33.49	85.48	337
N <sub>Ma</sub>	8.58	0.0	0.0	0.0	0
W <sub>Ma</sub>	92.02	0.0	0.0	0.0	0
R <sub>CIE</sub>	39.92	58.74	27.99	65.07	25
J <sub>CIE</sub>	81.26	-2.88	71.56	71.62	92
G <sub>CIE</sub>	52.23	-42.41	13.6	44.55	162
B <sub>CIE</sub>	30.57	1.41	-46.46	46.49	272



Ein und Ausgabe: Farbmetrisches Drucker-Reflektiv-System FRS09\_92a für relativen CIELAB-Buntton  $h^* = lab^*h^* = h_{ab}/360 = 25/360 = 0.071$

Daten für jede Farbe:

$lab^*ch^*$  und  $lab^*icu^*$

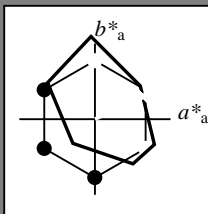
Elementar-Bunttonext:

$u^* = r00j$

Kontrastreduzierungsfaktor:

$c_R = 1.0$

Dreiecks-Helligkeit  $i^*$



FRS09\_92a; adaptierte CIELAB-Daten

	$L^*=L_a^*$	$a_a^*$	$b_a^*$	$C_{ab,a}^*$	$h_{ab,a}^*$
O <sub>Ma</sub>	35.06	60.0	44.0	74.4	36
Y <sub>Ma</sub>	83.77	-5.16	109.32	109.44	93
L <sub>Ma</sub>	44.13	-62.66	48.24	79.09	142
C <sub>Ma</sub>	52.66	-29.13	-31.98	43.27	228
V <sub>Ma</sub>	14.15	50.3	-59.03	77.57	310
M <sub>Ma</sub>	37.37	78.64	-33.49	85.48	337
N <sub>Ma</sub>	8.58	0.0	0.0	0.0	0
W <sub>Ma</sub>	92.02	0.0	0.0	0.0	0
R <sub>CIE</sub>	39.92	58.74	27.99	65.07	25
J <sub>CIE</sub>	81.26	-2.88	71.56	71.62	92
G <sub>CIE</sub>	52.23	-42.41	13.6	44.55	162
B <sub>CIE</sub>	30.57	1.41	-46.46	46.49	272

Daten für Maximalfarbe (Ma):

$LAB^*LAB^*_{Ma}$ : 35 63 30

$LAB^*LCH^*_{Ma}$ : 35 70 25

$lab^*rgb^*_{Ma}$ : 1.0 0.0 0.0

$lab^*olv^*_{Ma}$ : 1.0 0.0 0.18

Dreiecks-Helligkeit  $i^*$

%Umfang

$u^*_{rel} = 109$

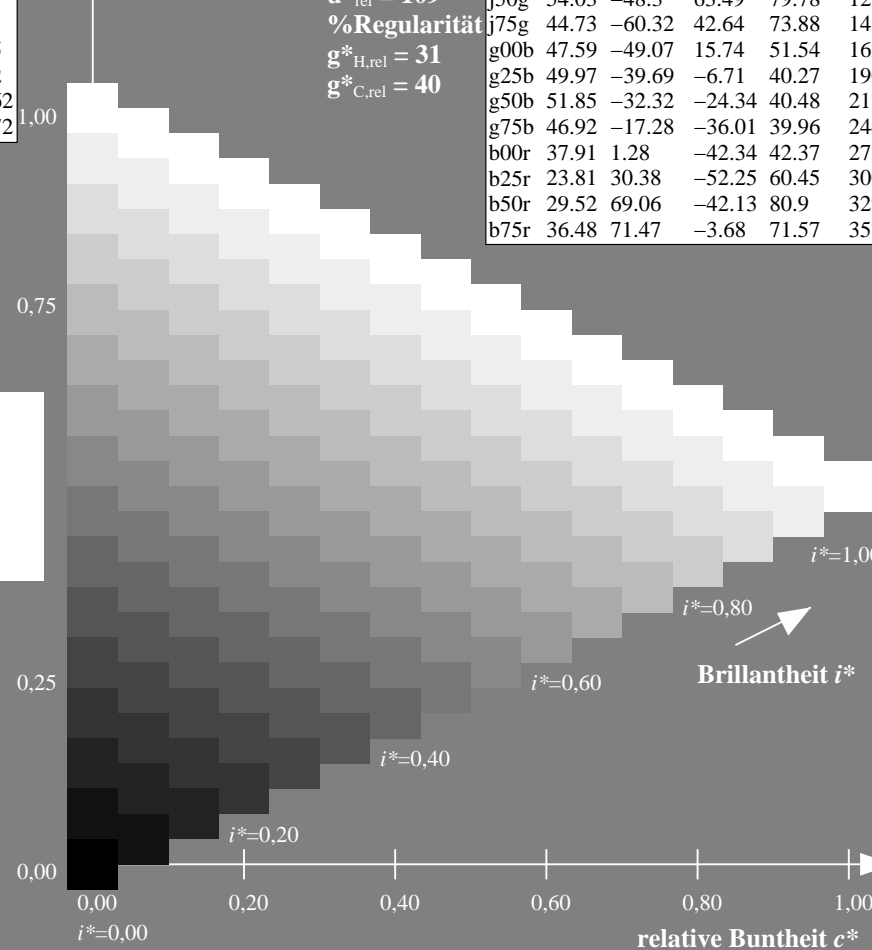
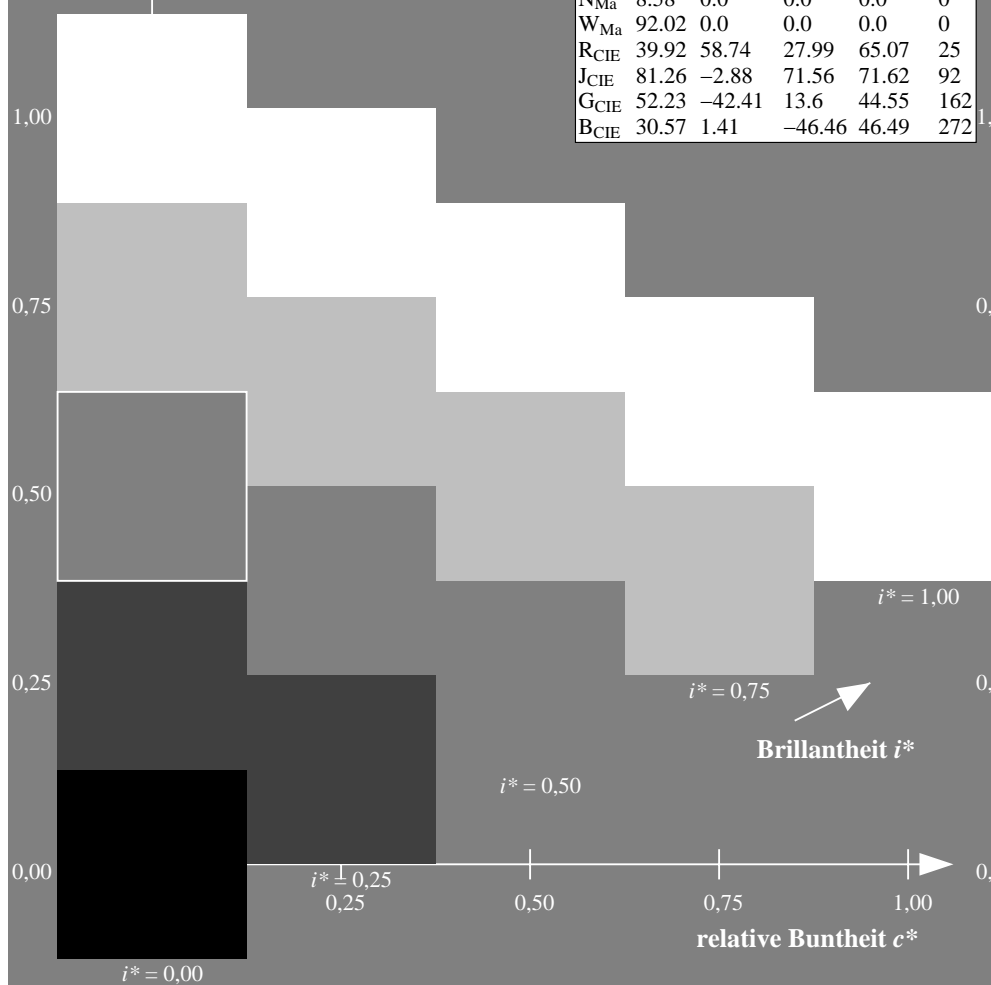
%Regularität

$g^*_{H,rel} = 31$

$g^*_{C,rel} = 40$

FRS09\_92a; adaptierte CIELAB-Daten

	$L^*=L_a^*$	$a_a^*$	$b_a^*$	$C_{ab,a}^*$	$h_{ab,a}^*$
r00j	35.47	63.32	30.17	70.15	25
r25j	39.12	54.56	49.45	73.64	42
r50j	50.64	39.15	64.89	75.79	59
r75j	64.01	21.26	82.83	85.52	76
j00g	83.18	-4.37	108.53	108.62	92
j25g	66.73	-29.88	83.06	88.28	110
j50g	54.03	-48.3	63.49	79.78	127
j75g	44.73	-60.32	42.64	73.88	145
g00b	47.59	-49.07	15.74	51.54	162
g25b	49.97	-39.69	-6.71	40.27	190
g50b	51.85	-32.32	-24.34	40.48	217
g75b	46.92	-17.28	-36.01	39.96	244
b00r	37.91	1.28	-42.34	42.37	272
b25r	23.81	30.38	-52.25	60.45	300
b50r	29.52	69.06	-42.13	80.9	329
b75r	36.48	71.47	-3.68	71.57	357





Ein und Ausgabe: Farbmetrisches Drucker-Reflektiv-System FRS09\_92a für relativen CIELAB-Buntton  $h^* = lab^*h^* = h_{ab}/360 = 42/360 = 0.117$

Daten für jede Farbe:

$lab^*ch^*$  und  $lab^*icu^*$

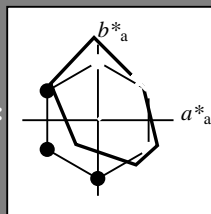
Elementar-Bunttonext:

$u^* = r25j$

Kontrastreduzierungsfaktor:

$c_R = 1.0$

Dreiecks-Helligkeit  $i^*$



FRS09\_92a; adaptierte CIELAB-Daten

	$L^*=L_a^*$	$a_a^*$	$b_a^*$	$C_{ab,a}^*$	$h_{ab,a}^*$
O <sub>Ma</sub>	35.06	60.0	44.0	74.4	36
Y <sub>Ma</sub>	83.77	-5.16	109.32	109.44	93
L <sub>Ma</sub>	44.13	-62.66	48.24	79.09	142
C <sub>Ma</sub>	52.66	-29.13	-31.98	43.27	228
V <sub>Ma</sub>	14.15	50.3	-59.03	77.57	310
M <sub>Ma</sub>	37.37	78.64	-33.49	85.48	337
N <sub>Ma</sub>	8.58	0.0	0.0	0.0	0
W <sub>Ma</sub>	92.02	0.0	0.0	0.0	0
R <sub>CIE</sub>	39.92	58.74	27.99	65.07	25
J <sub>CIE</sub>	81.26	-2.88	71.56	71.62	92
G <sub>CIE</sub>	52.23	-42.41	13.6	44.55	162
B <sub>CIE</sub>	30.57	1.41	-46.46	46.49	272

Daten für Maximalfarbe (Ma):

$LAB^*LAB^*Ma$ : 39 55 49

$LAB^*LCH^*Ma$ : 39 74 42

$lab^*rgb^*Ma$ : 1.0 0.25 0.0

$lab^*olv^*Ma$ : 1.0 0.08 0.0

Dreiecks-Helligkeit  $i^*$

%Umfang

$u^*_{rel} = 109$

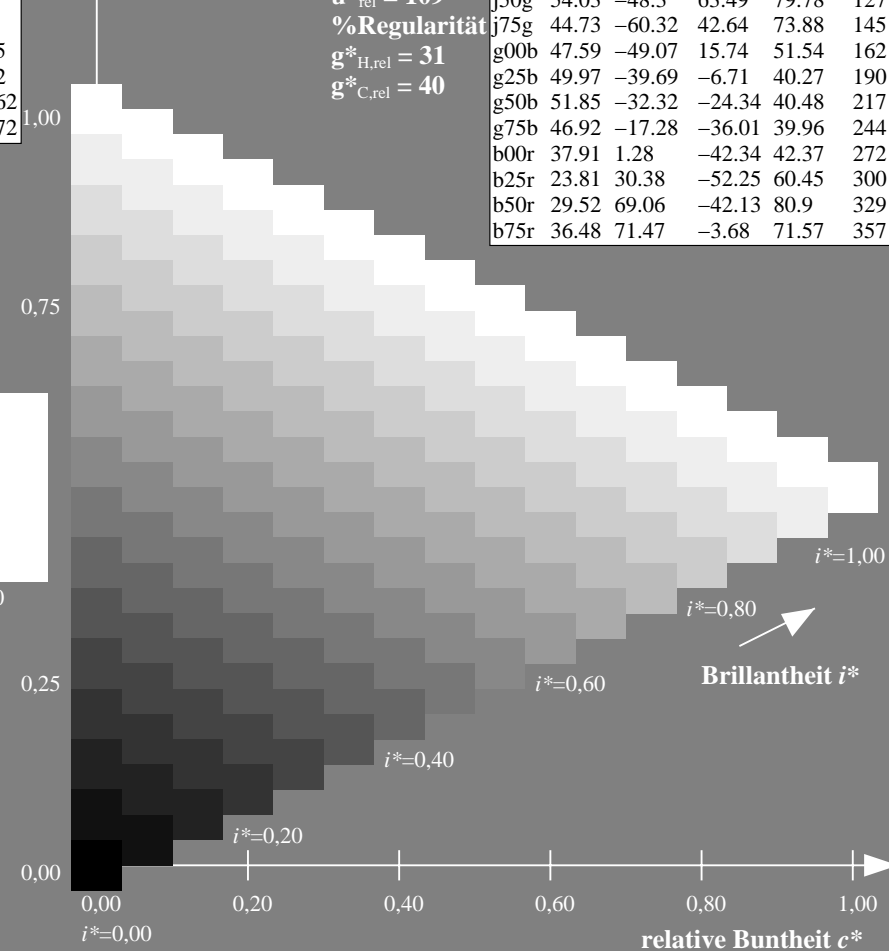
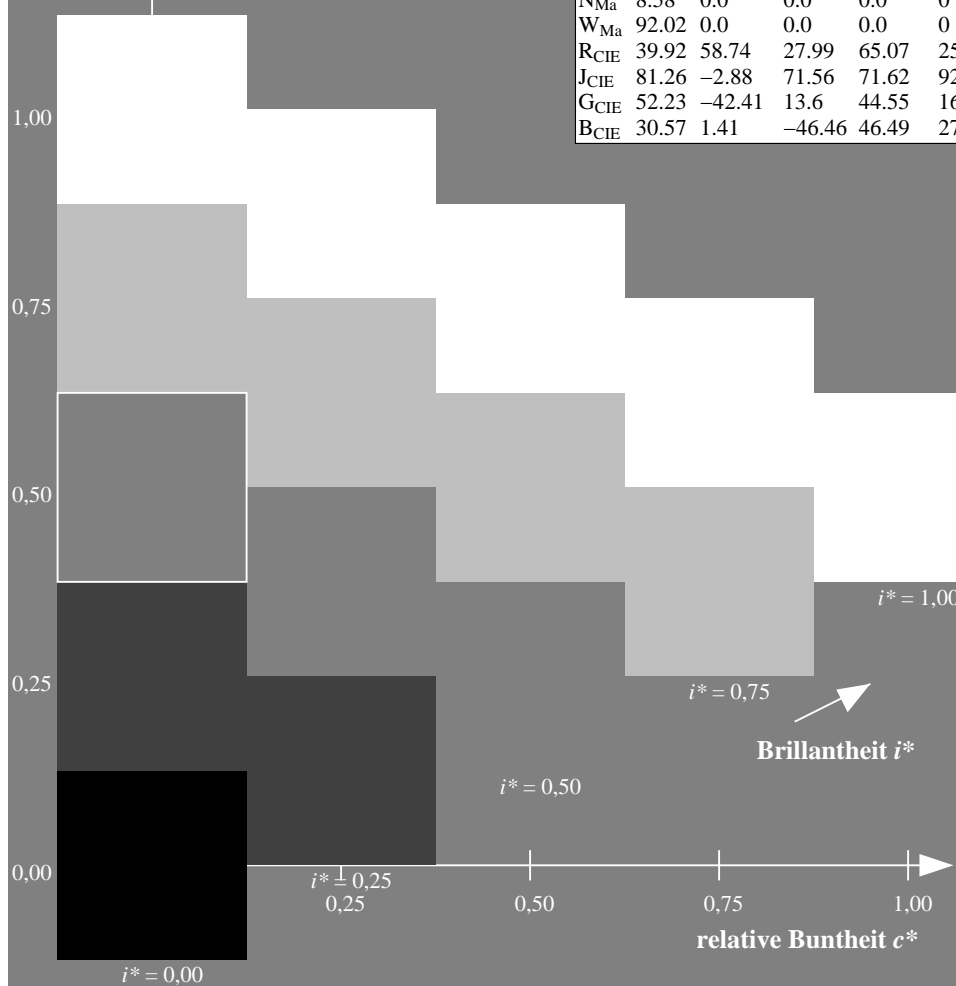
%Regularität

$g^*_{H,rel} = 31$

$g^*_{C,rel} = 40$

FRS09\_92a; adaptierte CIELAB-Daten

	$L^*=L_a^*$	$a_a^*$	$b_a^*$	$C_{ab,a}^*$	$h_{ab,a}^*$
r00j	35.47	63.32	30.17	70.15	25
r25j	39.12	54.56	49.45	73.64	42
r50j	50.64	39.15	64.89	75.79	59
r75j	64.01	21.26	82.83	85.52	76
j00g	83.18	-4.37	108.53	108.62	92
j25g	66.73	-29.88	83.06	88.28	110
j50g	54.03	-48.3	63.49	79.78	127
j75g	44.73	-60.32	42.64	73.88	145
g00b	47.59	-49.07	15.74	51.54	162
g25b	49.97	-39.69	-6.71	40.27	190
g50b	51.85	-32.32	-24.34	40.48	217
g75b	46.92	-17.28	-36.01	39.96	244
b00r	37.91	1.28	-42.34	42.37	272
b25r	23.81	30.38	-52.25	60.45	300
b50r	29.52	69.06	-42.13	80.9	329
b75r	36.48	71.47	-3.68	71.57	357



Ein und Ausgabe: Farbmetrisches Drucker-Reflektiv-System FRS09\_92a für relativen CIELAB-Buntton  $h^* = lab^*h^* = h_{ab}/360 = 59/360 = 0.164$

Daten für jede Farbe:

$lab^*ch^*$  und  $lab^*icu^*$

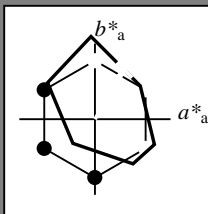
Elementar-Bunttonext:

$u^* = r50j$

Kontrastreduzierungsfaktor:

$c_R = 1.0$

Dreiecks-Helligkeit  $i^*$



FRS09\_92a; adaptierte CIELAB-Daten

	$L^*=L_a^*$	$a_a^*$	$b_a^*$	$C_{ab,a}^*$	$h_{ab,a}^*$
O <sub>Ma</sub>	35.06	60.0	44.0	74.4	36
Y <sub>Ma</sub>	83.77	-5.16	109.32	109.44	93
L <sub>Ma</sub>	44.13	-62.66	48.24	79.09	142
C <sub>Ma</sub>	52.66	-29.13	-31.98	43.27	228
V <sub>Ma</sub>	14.15	50.3	-59.03	77.57	310
M <sub>Ma</sub>	37.37	78.64	-33.49	85.48	337
N <sub>Ma</sub>	8.58	0.0	0.0	0.0	0
W <sub>Ma</sub>	92.02	0.0	0.0	0.0	0
R <sub>CIE</sub>	39.92	58.74	27.99	65.07	25
J <sub>CIE</sub>	81.26	-2.88	71.56	71.62	92
G <sub>CIE</sub>	52.23	-42.41	13.6	44.55	162
B <sub>CIE</sub>	30.57	1.41	-46.46	46.49	272

Daten für Maximalfarbe (Ma):

$LAB^*LAB^*_{Ma}$ : 51 39 65

$LAB^*LCH^*_{Ma}$ : 51 76 59

$lab^*rgb^*_{Ma}$ : 1.0 0.5 0.0

$lab^*olv^*_{Ma}$ : 1.0 0.32 0.0

Dreiecks-Helligkeit  $i^*$

%Umfang

$u^*_{rel} = 109$

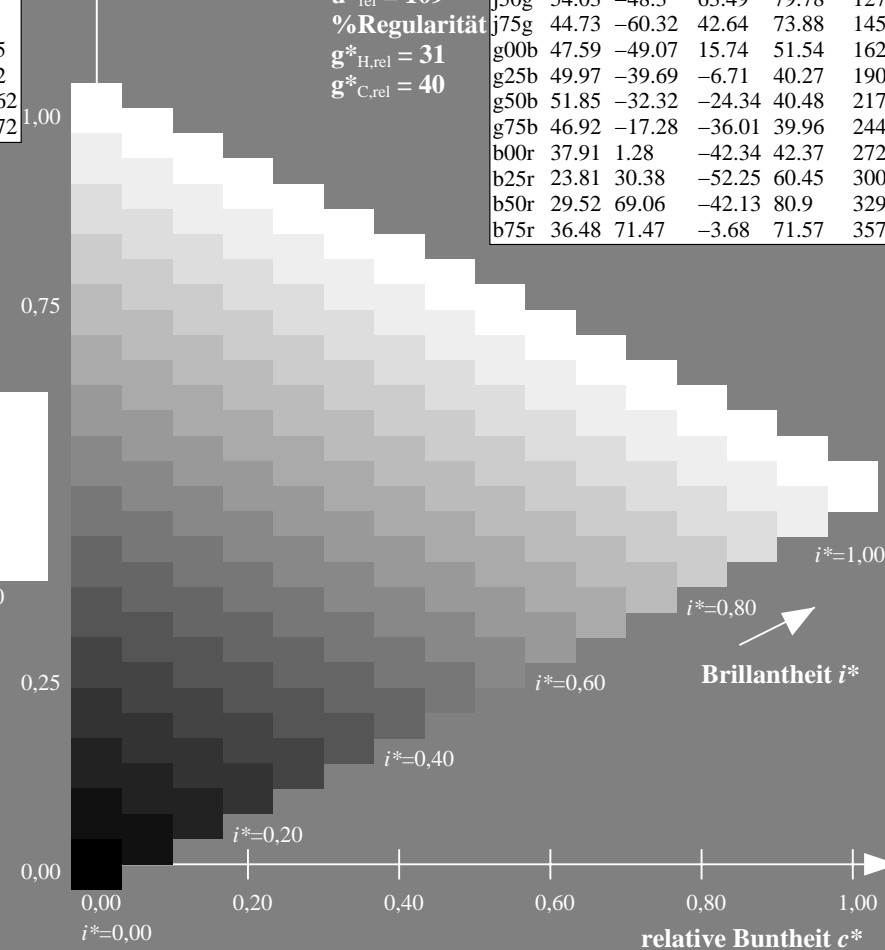
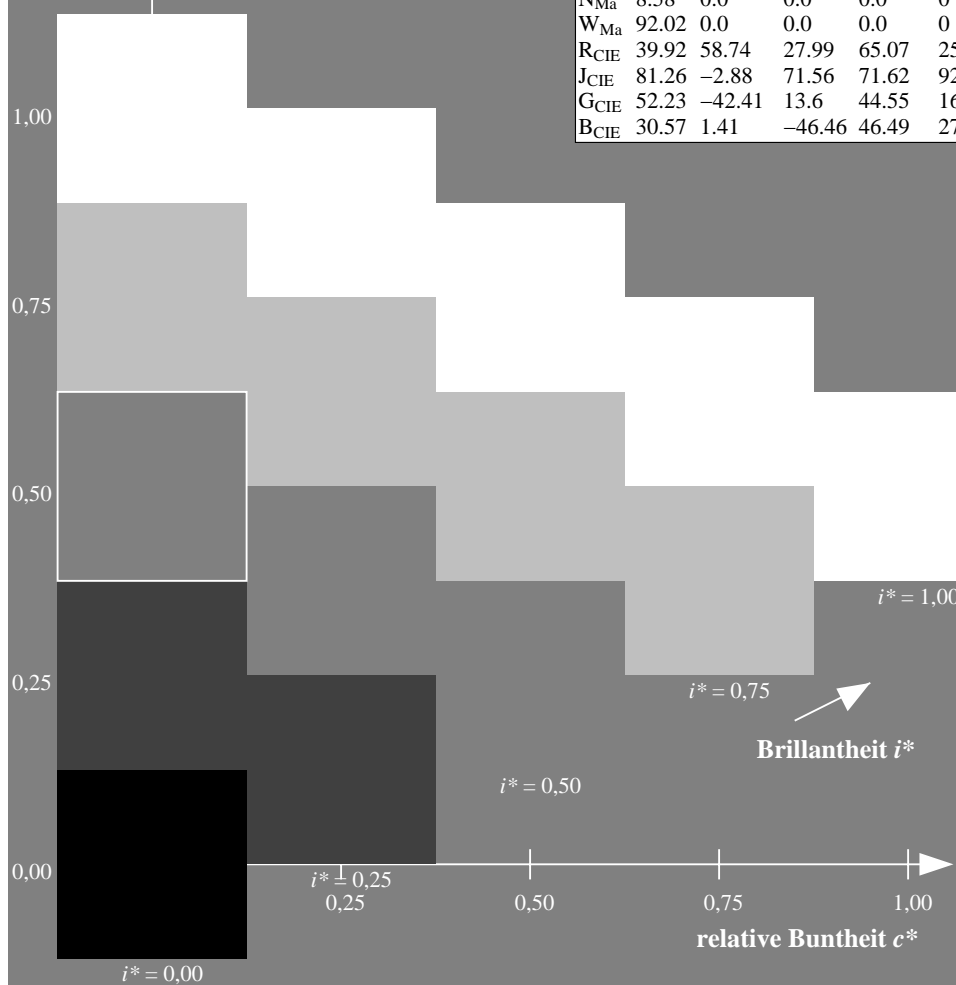
%Regularität

$g^*_{H,rel} = 31$

$g^*_{C,rel} = 40$

FRS09\_92a; adaptierte CIELAB-Daten

	$L^*=L_a^*$	$a_a^*$	$b_a^*$	$C_{ab,a}^*$	$h_{ab,a}^*$
r00j	35.47	63.32	30.17	70.15	25
r25j	39.12	54.56	49.45	73.64	42
r50j	50.64	39.15	64.89	75.79	59
r75j	64.01	21.26	82.83	85.52	76
j00g	83.18	-4.37	108.53	108.62	92
j25g	66.73	-29.88	83.06	88.28	110
j50g	54.03	-48.3	63.49	79.78	127
j75g	44.73	-60.32	42.64	73.88	145
g00b	47.59	-49.07	15.74	51.54	162
g25b	49.97	-39.69	-6.71	40.27	190
g50b	51.85	-32.32	-24.34	40.48	217
g75b	46.92	-17.28	-36.01	39.96	244
b00r	37.91	1.28	-42.34	42.37	272
b25r	23.81	30.38	-52.25	60.45	300
b50r	29.52	69.06	-42.13	80.9	329
b75r	36.48	71.47	-3.68	71.57	357



Ein und Ausgabe: Farbmetrisches Drucker-Reflektiv-System FRS09\_92a für relativen CIELAB-Buntton  $h^* = lab^*h^* = h_{ab}/360 = 76/360 = 0.21$

Daten für jede Farbe:

$lab^*ch^*$  und  $lab^*icu^*$

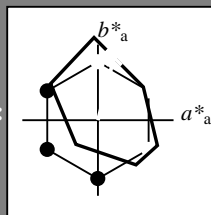
Elementar-Bunttonext:

$u^* = r75j$

Kontrastreduzierungsfaktor:

$c_R = 1.0$

Dreiecks-Helligkeit  $i^*$



FRS09\_92a; adaptierte CIELAB-Daten

	$L^*=L_a^*$	$a_a^*$	$b_a^*$	$C_{ab,a}^*$	$h_{ab,a}^*$
O <sub>Ma</sub>	35.06	60.0	44.0	74.4	36
Y <sub>Ma</sub>	83.77	-5.16	109.32	109.44	93
L <sub>Ma</sub>	44.13	-62.66	48.24	79.09	142
C <sub>Ma</sub>	52.66	-29.13	-31.98	43.27	228
V <sub>Ma</sub>	14.15	50.3	-59.03	77.57	310
M <sub>Ma</sub>	37.37	78.64	-33.49	85.48	337
N <sub>Ma</sub>	8.58	0.0	0.0	0.0	0
W <sub>Ma</sub>	92.02	0.0	0.0	0.0	0
R <sub>CIE</sub>	39.92	58.74	27.99	65.07	25
J <sub>CIE</sub>	81.26	-2.88	71.56	71.62	92
G <sub>CIE</sub>	52.23	-42.41	13.6	44.55	162
B <sub>CIE</sub>	30.57	1.41	-46.46	46.49	272

Daten für Maximalfarbe (Ma):

$LAB^*LAB^*_{Ma}$ : 64 21 83

$LAB^*LCH^*_{Ma}$ : 64 86 76

$lab^*rgb^*_{Ma}$ : 1.0 0.75 0.0

$lab^*olv^*_{Ma}$ : 1.0 0.59 0.0

Dreiecks-Helligkeit  $i^*$

%Umfang

$u^*_{rel} = 109$

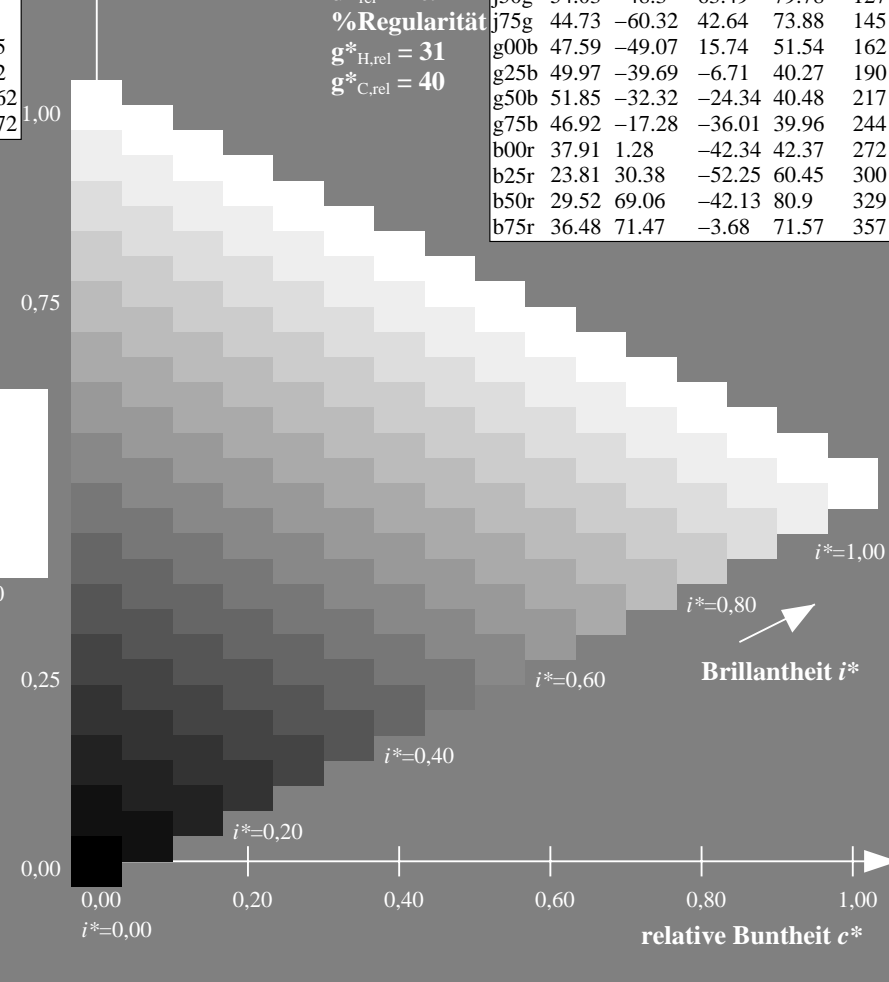
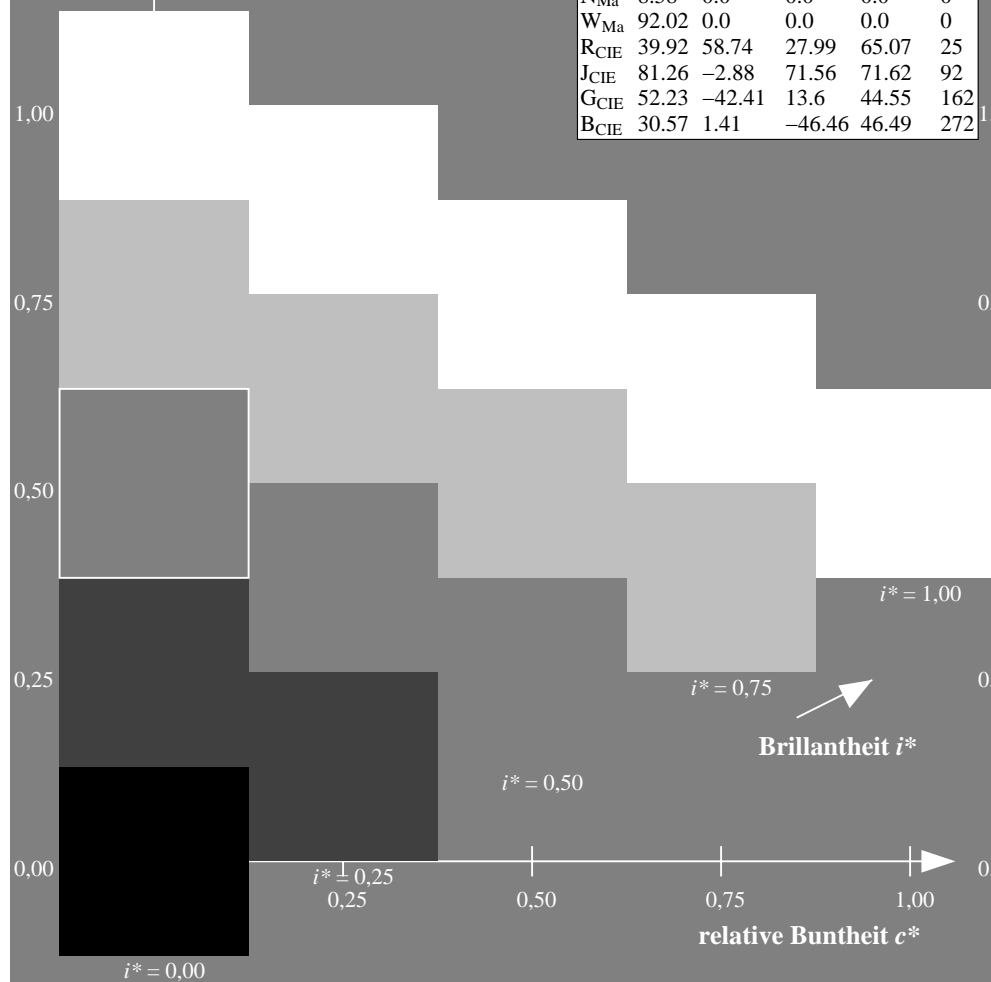
%Regularität

$g^*_{H,rel} = 31$

$g^*_{C,rel} = 40$

FRS09\_92a; adaptierte CIELAB-Daten

	$L^*=L_a^*$	$a_a^*$	$b_a^*$	$C_{ab,a}^*$	$h_{ab,a}^*$
r00j	35.47	63.32	30.17	70.15	25
r25j	39.12	54.56	49.45	73.64	42
r50j	50.64	39.15	64.89	75.79	59
r75j	64.01	21.26	82.83	85.52	76
j00g	83.18	-4.37	108.53	108.62	92
j25g	66.73	-29.88	83.06	88.28	110
j50g	54.03	-48.3	63.49	79.78	127
j75g	44.73	-60.32	42.64	73.88	145
g00b	47.59	-49.07	15.74	51.54	162
g25b	49.97	-39.69	-6.71	40.27	190
g50b	51.85	-32.32	-24.34	40.48	217
g75b	46.92	-17.28	-36.01	39.96	244
b00r	37.91	1.28	-42.34	42.37	272
b25r	23.81	30.38	-52.25	60.45	300
b50r	29.52	69.06	-42.13	80.9	329
b75r	36.48	71.47	-3.68	71.57	357



Ein und Ausgabe: Farbmetrisches Drucker-Reflektiv-System FRS09\_92a für relativen CIELAB-Buntton  $h^* = lab^*h^* = h_{ab}/360 = 92/360 = 0.256$

Daten für jede Farbe:

$lab^*ch^*$  und  $lab^*icu^*$

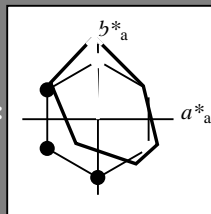
Elementar-Bunttonext:

$u^* = j00g$

Kontrastreduzierungsfaktor:

$c_R = 1.0$

Dreiecks-Helligkeit  $i^*$



FRS09\_92a; adaptierte CIELAB-Daten

	$L^*=L_a^*$	$a_a^*$	$b_a^*$	$C_{ab,a}^*$	$h_{ab,a}^*$
O <sub>Ma</sub>	35.06	60.0	44.0	74.4	36
Y <sub>Ma</sub>	83.77	-5.16	109.32	109.44	93
L <sub>Ma</sub>	44.13	-62.66	48.24	79.09	142
C <sub>Ma</sub>	52.66	-29.13	-31.98	43.27	228
V <sub>Ma</sub>	14.15	50.3	-59.03	77.57	310
M <sub>Ma</sub>	37.37	78.64	-33.49	85.48	337
N <sub>Ma</sub>	8.58	0.0	0.0	0.0	0
W <sub>Ma</sub>	92.02	0.0	0.0	0.0	0
R <sub>CIE</sub>	39.92	58.74	27.99	65.07	25
J <sub>CIE</sub>	81.26	-2.88	71.56	71.62	92
G <sub>CIE</sub>	52.23	-42.41	13.6	44.55	162
B <sub>CIE</sub>	30.57	1.41	-46.46	46.49	272

Daten für Maximalfarbe (Ma):

$LAB^*LAB^*_{Ma}$ : 83 -3 109

$LAB^*LCH^*_{Ma}$ : 83 109 92

$lab^*rgb^*_{Ma}$ : 1.0 1.0 0.0

$lab^*olv^*_{Ma}$ : 1.0 0.99 0.0

Dreiecks-Helligkeit  $i^*$

%Umfang

$u^*_{rel} = 109$

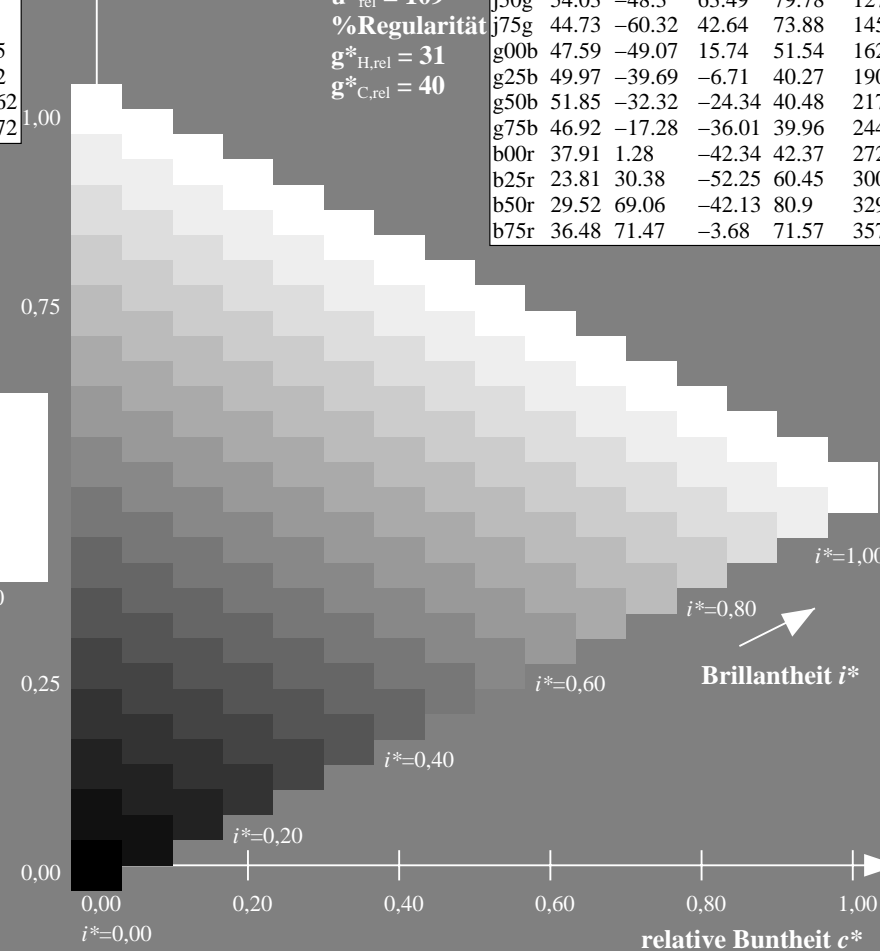
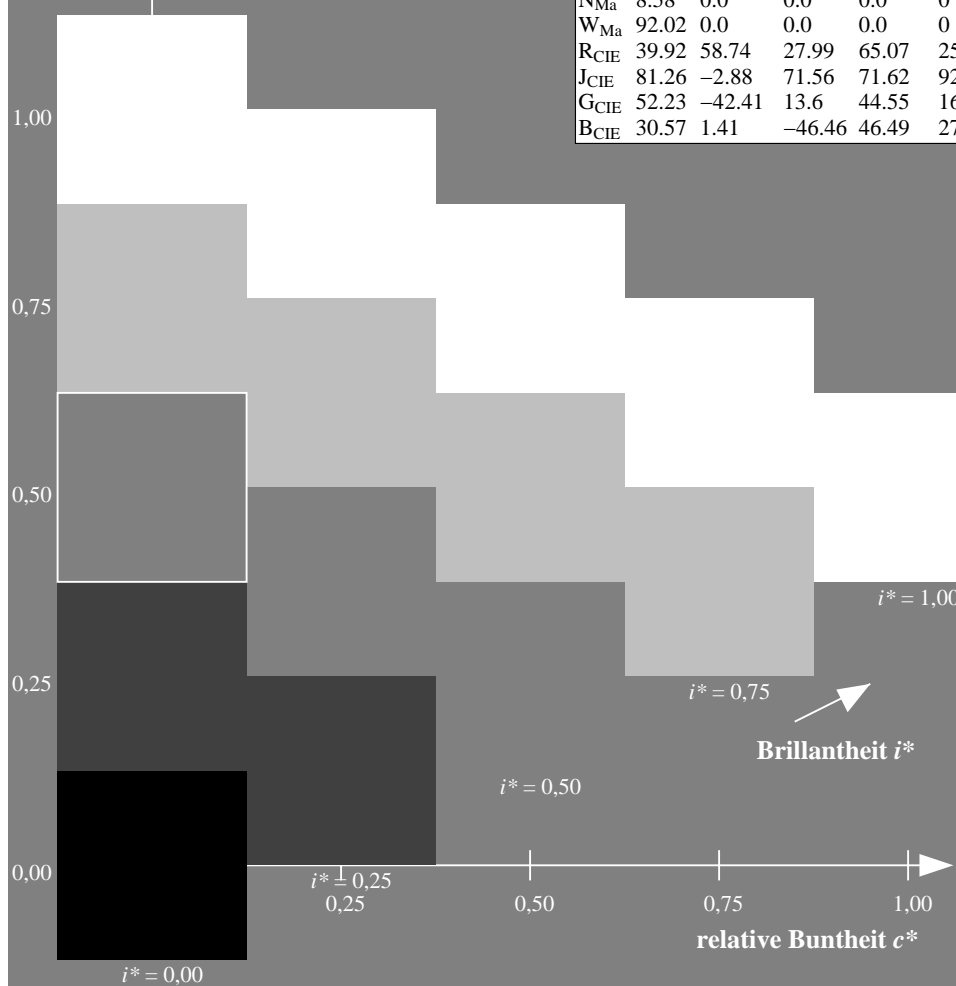
%Regularität

$g^*_{H,rel} = 31$

$g^*_{C,rel} = 40$

FRS09\_92a; adaptierte CIELAB-Daten

	$L^*=L_a^*$	$a_a^*$	$b_a^*$	$C_{ab,a}^*$	$h_{ab,a}^*$
r00j	35.47	63.32	30.17	70.15	25
r25j	39.12	54.56	49.45	73.64	42
r50j	50.64	39.15	64.89	75.79	59
r75j	64.01	21.26	82.83	85.52	76
j00g	83.18	-4.37	108.53	108.62	92
j25g	66.73	-29.88	83.06	88.28	110
j50g	54.03	-48.3	63.49	79.78	127
j75g	44.73	-60.32	42.64	73.88	145
g00b	47.59	-49.07	15.74	51.54	162
g25b	49.97	-39.69	-6.71	40.27	190
g50b	51.85	-32.32	-24.34	40.48	217
g75b	46.92	-17.28	-36.01	39.96	244
b00r	37.91	1.28	-42.34	42.37	272
b25r	23.81	30.38	-52.25	60.45	300
b50r	29.52	69.06	-42.13	80.9	329
b75r	36.48	71.47	-3.68	71.57	357



Ein und Ausgabe: Farbmetrisches Drucker-Reflektiv-System FRS09\_92a für relativen CIELAB-Buntton  $h^* = lab^*h^* = h_{ab}/360 = 110/360 = 0.305$

Daten für jede Farbe:

$lab^*tch^*$  und  $lab^*icu^*$

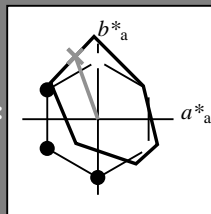
Elementar-Bunttontext:

$u^* = j25g$

Kontrastreduzierungsfaktor:

$c_R = 1.0$

Dreiecks-Helligkeit  $i^*$



FRS09\_92a; adaptierte CIELAB-Daten

	$L^*=L_a^*$	$a_a^*$	$b_a^*$	$C_{ab,a}^*$	$h_{ab,a}^*$
O <sub>Ma</sub>	35.06	60.0	44.0	74.4	36
Y <sub>Ma</sub>	83.77	-5.16	109.32	109.44	93
L <sub>Ma</sub>	44.13	-62.66	48.24	79.09	142
C <sub>Ma</sub>	52.66	-29.13	-31.98	43.27	228
V <sub>Ma</sub>	14.15	50.3	-59.03	77.57	310
M <sub>Ma</sub>	37.37	78.64	-33.49	85.48	337
N <sub>Ma</sub>	8.58	0.0	0.0	0.0	0
W <sub>Ma</sub>	92.02	0.0	0.0	0.0	0
R <sub>CIE</sub>	39.92	58.74	27.99	65.07	25
J <sub>CIE</sub>	81.26	-2.88	71.56	71.62	92
G <sub>CIE</sub>	52.23	-42.41	13.6	44.55	162
B <sub>CIE</sub>	30.57	1.41	-46.46	46.49	272

Daten für Maximalfarbe (Ma):

$LAB^*LAB^*_{Ma}$ : 67 -29 83

$LAB^*LCH^*_{Ma}$ : 67 88 110

$lab^*rgb^*_{Ma}$ : 0.75 1.0 0.0

$lab^*olv^*_{Ma}$ : 0.57 1.0 0.0

Dreiecks-Helligkeit  $i^*$

%Umfang

$u^*_{rel} = 109$

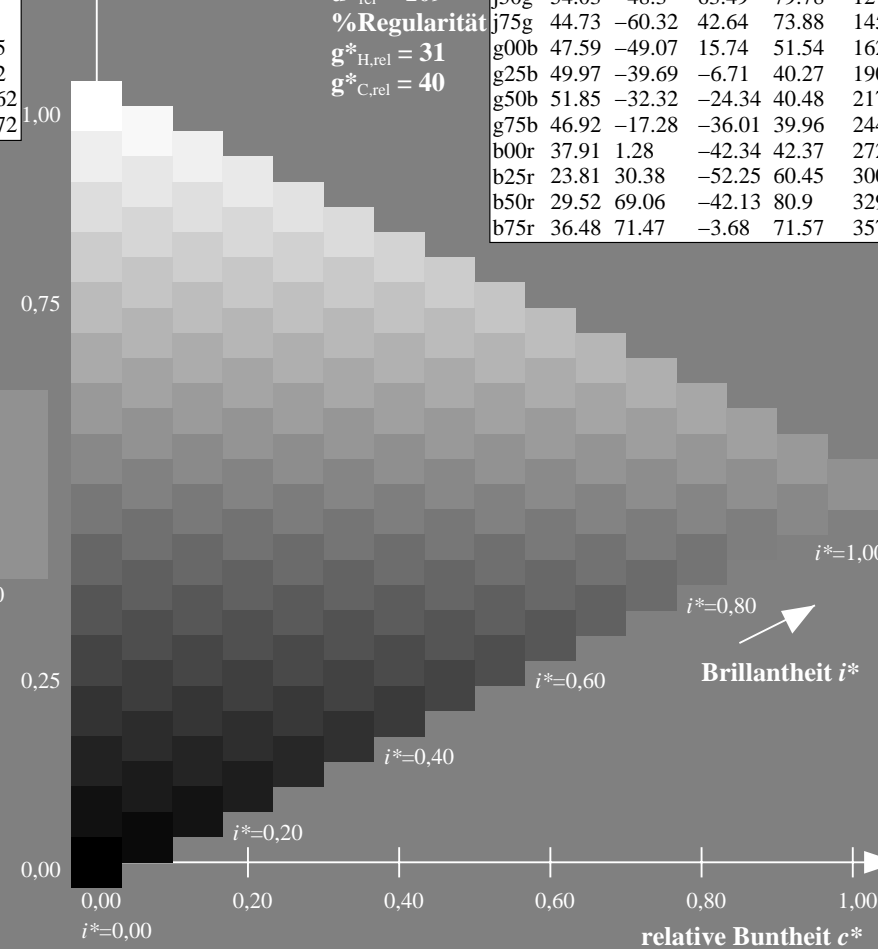
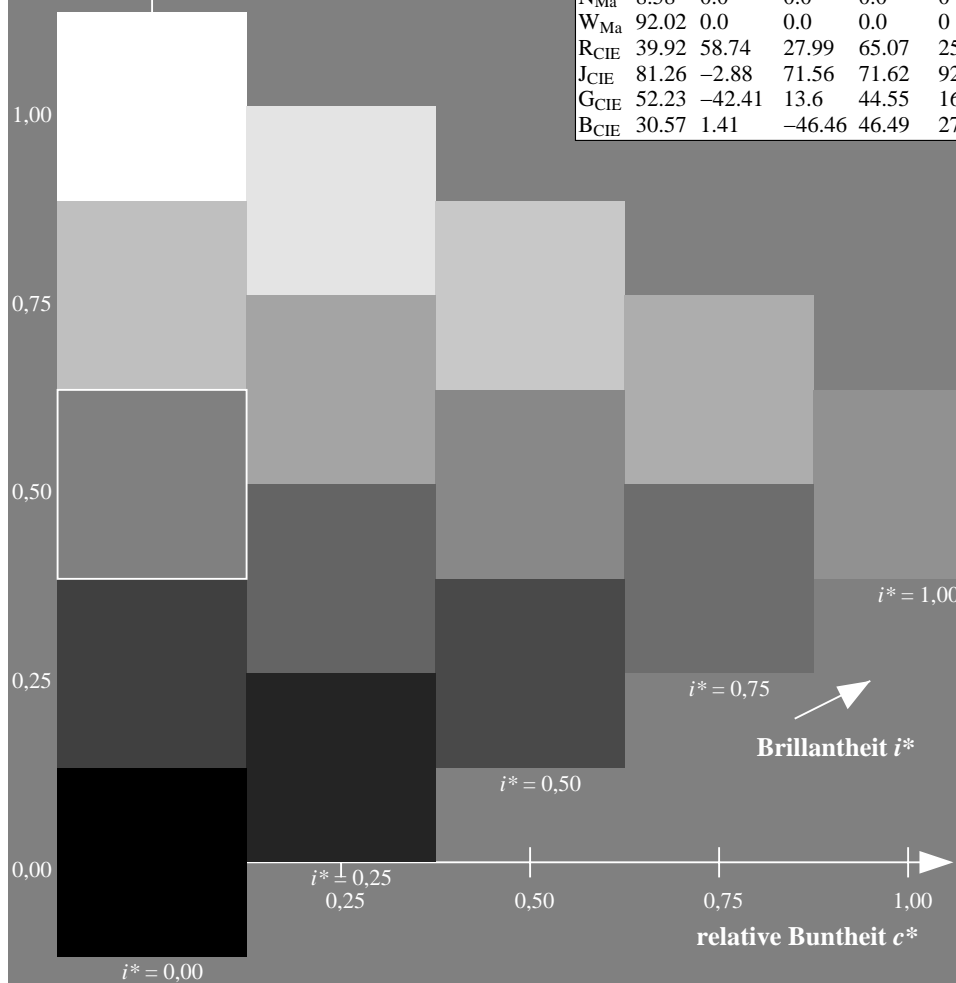
%Regularität

$g^*_{H,rel} = 31$

$g^*_{C,rel} = 40$

FRS09\_92a; adaptierte CIELAB-Daten

	$L^*=L_a^*$	$a_a^*$	$b_a^*$	$C_{ab,a}^*$	$h_{ab,a}^*$
r00j	35.47	63.32	30.17	70.15	25
r25j	39.12	54.56	49.45	73.64	42
r50j	50.64	39.15	64.89	75.79	59
r75j	64.01	21.26	82.83	85.52	76
j00g	83.18	-4.37	108.53	108.62	92
j25g	66.73	-29.88	83.06	88.28	110
j50g	54.03	-48.3	63.49	79.78	127
j75g	44.73	-60.32	42.64	73.88	145
g00b	47.59	-49.07	15.74	51.54	162
g25b	49.97	-39.69	-6.71	40.27	190
g50b	51.85	-32.32	-24.34	40.48	217
g75b	46.92	-17.28	-36.01	39.96	244
b00r	37.91	1.28	-42.34	42.37	272
b25r	23.81	30.38	-52.25	60.45	300
b50r	29.52	69.06	-42.13	80.9	329
b75r	36.48	71.47	-3.68	71.57	357



Ein und Ausgabe: Farbmetrisches Drucker-Reflektiv-System FRS09\_92a für relativen CIELAB-Buntton  $h^* = lab^*h^* = h_{ab}/360 = 127/360 = 0.354$

Daten für jede Farbe:

$lab^*ch^*$  und  $lab^*icu^*$

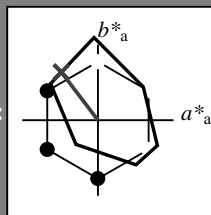
Elementar-Bunttontext:

$u^* = j50g$

Kontrastreduzierungsfaktor:

$c_R = 1.0$

Dreiecks-Helligkeit  $i^*$



FRS09\_92a; adaptierte CIELAB-Daten

	$L^*=L_a^*$	$a_a^*$	$b_a^*$	$C_{ab,a}^*$	$h_{ab,a}^*$
O <sub>Ma</sub>	35.06	60.0	44.0	74.4	36
Y <sub>Ma</sub>	83.77	-5.16	109.32	109.44	93
L <sub>Ma</sub>	44.13	-62.66	48.24	79.09	142
C <sub>Ma</sub>	52.66	-29.13	-31.98	43.27	228
V <sub>Ma</sub>	14.15	50.3	-59.03	77.57	310
M <sub>Ma</sub>	37.37	78.64	-33.49	85.48	337
N <sub>Ma</sub>	8.58	0.0	0.0	0.0	0
W <sub>Ma</sub>	92.02	0.0	0.0	0.0	0
R <sub>CIE</sub>	39.92	58.74	27.99	65.07	25
J <sub>CIE</sub>	81.26	-2.88	71.56	71.62	92
G <sub>CIE</sub>	52.23	-42.41	13.6	44.55	162
B <sub>CIE</sub>	30.57	1.41	-46.46	46.49	272

Daten für Maximalfarbe (Ma):

$LAB^*LAB^*_{Ma}$ : 54 -47 63

$LAB^*LCH^*_{Ma}$ : 54 80 127

$lab^*rgb^*_{Ma}$ : 0.5 1.0 0.0

$lab^*olv^*_{Ma}$ : 0.25 1.0 0.0

Dreiecks-Helligkeit  $i^*$

%Umfang

$u^*_{rel} = 109$

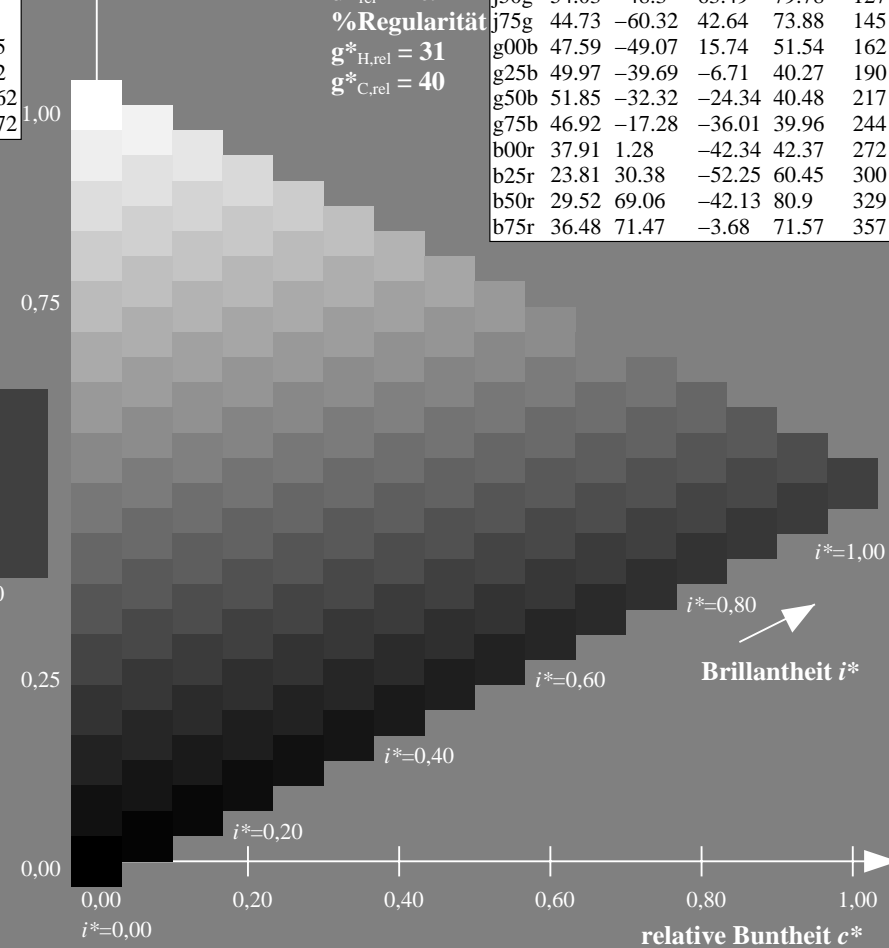
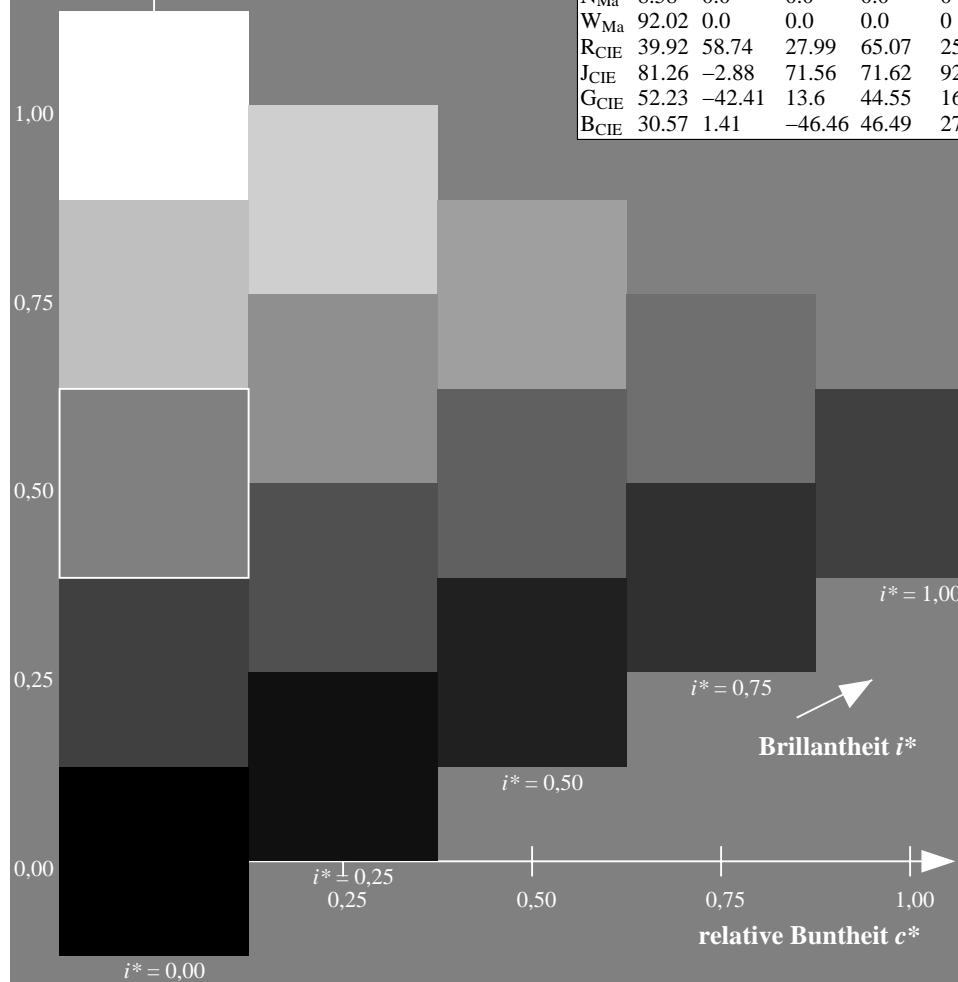
%Regularität

$g^*_{H,rel} = 31$

$g^*_{C,rel} = 40$

FRS09\_92a; adaptierte CIELAB-Daten

	$L^*=L_a^*$	$a_a^*$	$b_a^*$	$C_{ab,a}^*$	$h_{ab,a}^*$
r00j	35.47	63.32	30.17	70.15	25
r25j	39.12	54.56	49.45	73.64	42
r50j	50.64	39.15	64.89	75.79	59
r75j	64.01	21.26	82.83	85.52	76
j00g	83.18	-4.37	108.53	108.62	92
j25g	66.73	-29.88	83.06	88.28	110
j50g	54.03	-48.3	63.49	79.78	127
j75g	44.73	-60.32	42.64	73.88	145
g00b	47.59	-49.07	15.74	51.54	162
g25b	49.97	-39.69	-6.71	40.27	190
g50b	51.85	-32.32	-24.34	40.48	217
g75b	46.92	-17.28	-36.01	39.96	244
b00r	37.91	1.28	-42.34	42.37	272
b25r	23.81	30.38	-52.25	60.45	300
b50r	29.52	69.06	-42.13	80.9	329
b75r	36.48	71.47	-3.68	71.57	357





Ein und Ausgabe: Farbmetrisches Drucker-Reflektiv-System FRS09\_92a für relativen CIELAB-Buntton  $h^* = lab^*h^* = h_{ab}/360 = 145/360 = 0.402$

Daten für jede Farbe:

$lab^*ch^*$  und  $lab^*icu^*$

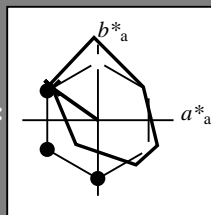
Elementar-Bunttontext:

$u^* = j75g$

Kontrastreduzierungsfaktor:

$c_R = 1.0$

Dreiecks-Helligkeit  $i^*$



FRS09\_92a; adaptierte CIELAB-Daten

	$L^*=L_a^*$	$a_a^*$	$b_a^*$	$C_{ab,a}^*$	$h_{ab,a}^*$
O <sub>Ma</sub>	35.06	60.0	44.0	74.4	36
Y <sub>Ma</sub>	83.77	-5.16	109.32	109.44	93
L <sub>Ma</sub>	44.13	-62.66	48.24	79.09	142
C <sub>Ma</sub>	52.66	-29.13	-31.98	43.27	228
V <sub>Ma</sub>	14.15	50.3	-59.03	77.57	310
M <sub>Ma</sub>	37.37	78.64	-33.49	85.48	337
N <sub>Ma</sub>	8.58	0.0	0.0	0.0	0
W <sub>Ma</sub>	92.02	0.0	0.0	0.0	0
R <sub>CIE</sub>	39.92	58.74	27.99	65.07	25
J <sub>CIE</sub>	81.26	-2.88	71.56	71.62	92
G <sub>CIE</sub>	52.23	-42.41	13.6	44.55	162
B <sub>CIE</sub>	30.57	1.41	-46.46	46.49	272

Daten für Maximalfarbe (Ma):

$LAB^*LAB^*_{Ma}$ : 45 -59 43

$LAB^*LCH^*_{Ma}$ : 45 74 145

$lab^*rgb^*_{Ma}$ : 0.25 1.0 0.0

$lab^*olv^*_{Ma}$ : 0.0 1.0 0.07

Dreiecks-Helligkeit  $i^*$

%Umfang

$u^*_{rel} = 109$

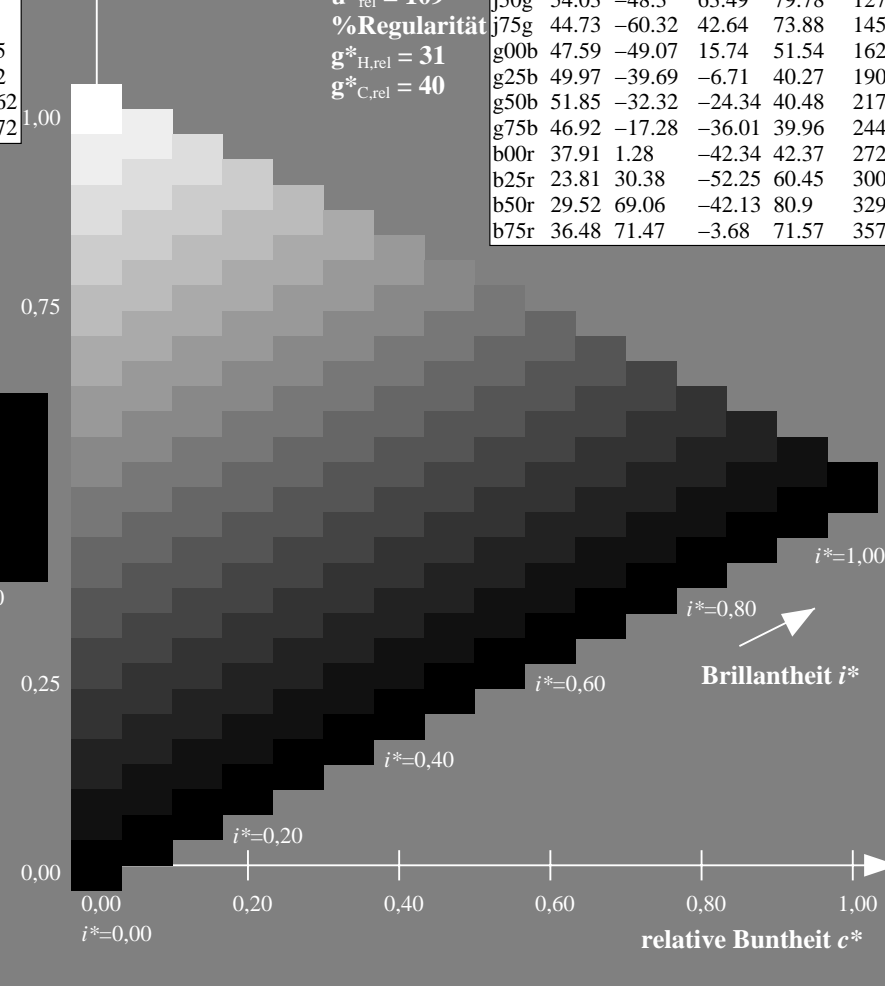
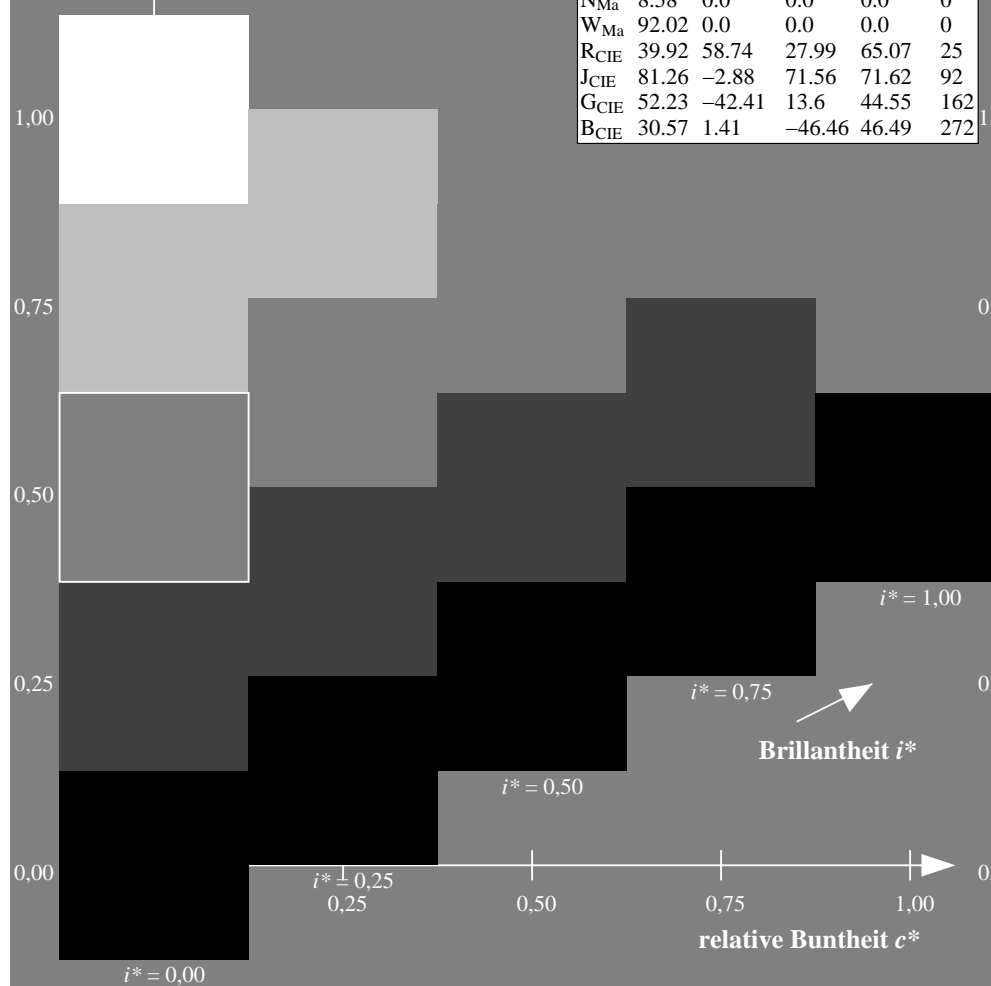
%Regularität

$g^*_{H,rel} = 31$

$g^*_{C,rel} = 40$

FRS09\_92a; adaptierte CIELAB-Daten

	$L^*=L_a^*$	$a_a^*$	$b_a^*$	$C_{ab,a}^*$	$h_{ab,a}^*$
r00j	35.47	63.32	30.17	70.15	25
r25j	39.12	54.56	49.45	73.64	42
r50j	50.64	39.15	64.89	75.79	59
r75j	64.01	21.26	82.83	85.52	76
j00g	83.18	-4.37	108.53	108.62	92
j25g	66.73	-29.88	83.06	88.28	110
j50g	54.03	-48.3	63.49	79.78	127
j75g	44.73	-60.32	42.64	73.88	145
g00b	47.59	-49.07	15.74	51.54	162
g25b	49.97	-39.69	-6.71	40.27	190
g50b	51.85	-32.32	-24.34	40.48	217
g75b	46.92	-17.28	-36.01	39.96	244
b00r	37.91	1.28	-42.34	42.37	272
b25r	23.81	30.38	-52.25	60.45	300
b50r	29.52	69.06	-42.13	80.9	329
b75r	36.48	71.47	-3.68	71.57	357



Ein und Ausgabe: Farbmetrisches Drucker-Reflektiv-System FRS09\_92a für relativen CIELAB-Buntton  $h^* = lab^*h^* = h_{ab}/360 = 162/360 = 0.451$

Daten für jede Farbe:

$lab^*ch^*$  und  $lab^*icu^*$

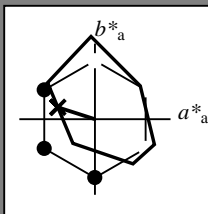
Elementar-Bunttontext:

$u^* = g00b$

Kontrastreduzierungsfaktor:

$c_R = 1.0$

Dreiecks-Helligkeit  $i^*$



FRS09\_92a; adaptierte CIELAB-Daten

	$L^*=L_a^*$	$a_a^*$	$b_a^*$	$C_{ab,a}^*$	$h_{ab,a}^*$
O <sub>Ma</sub>	35.06	60.0	44.0	74.4	36
Y <sub>Ma</sub>	83.77	-5.16	109.32	109.44	93
L <sub>Ma</sub>	44.13	-62.66	48.24	79.09	142
C <sub>Ma</sub>	52.66	-29.13	-31.98	43.27	228
V <sub>Ma</sub>	14.15	50.3	-59.03	77.57	310
M <sub>Ma</sub>	37.37	78.64	-33.49	85.48	337
N <sub>Ma</sub>	8.58	0.0	0.0	0.0	0
W <sub>Ma</sub>	92.02	0.0	0.0	0.0	0
R <sub>CIE</sub>	39.92	58.74	27.99	65.07	25
J <sub>CIE</sub>	81.26	-2.88	71.56	71.62	92
G <sub>CIE</sub>	52.23	-42.41	13.6	44.55	162
B <sub>CIE</sub>	30.57	1.41	-46.46	46.49	272

Daten für Maximalfarbe (Ma):

$LAB^*LAB^*_{Ma}$ : 48 -48 16

$LAB^*LCH^*_{Ma}$ : 48 52 162

$lab^*rgb^*_{Ma}$ : 0.0 1.0 0.0

$lab^*olv^*_{Ma}$ : 0.0 1.0 0.41

Dreiecks-Helligkeit  $i^*$

%Umfang

$u^*_{rel} = 109$

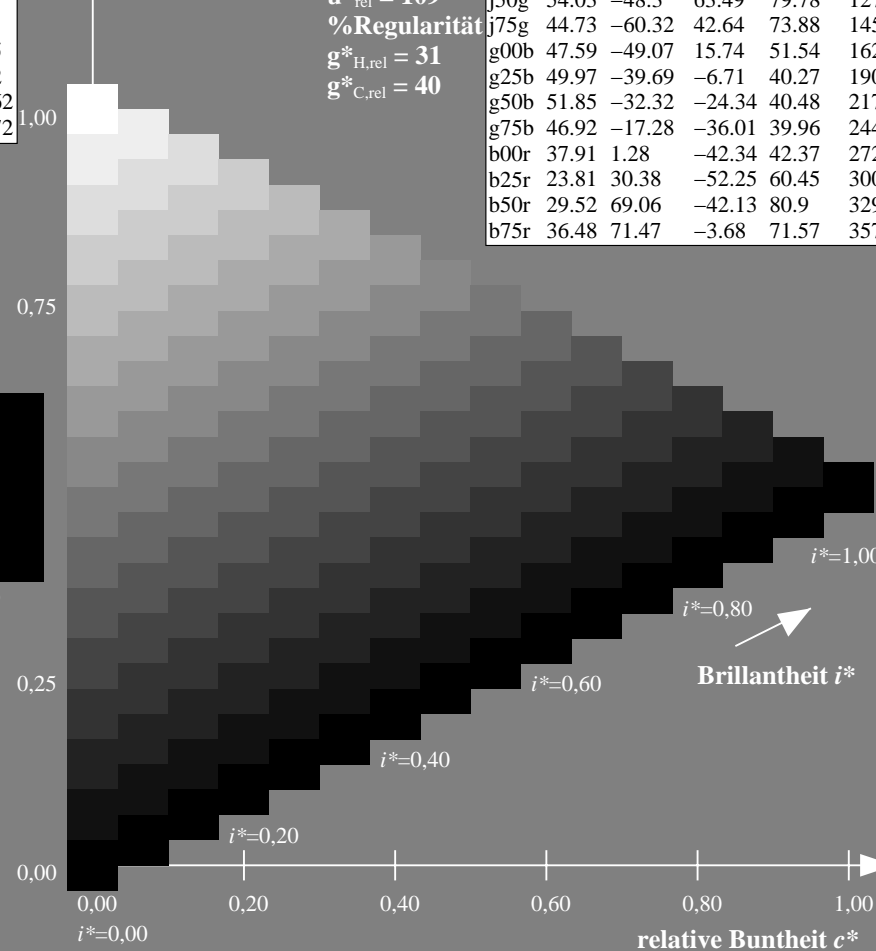
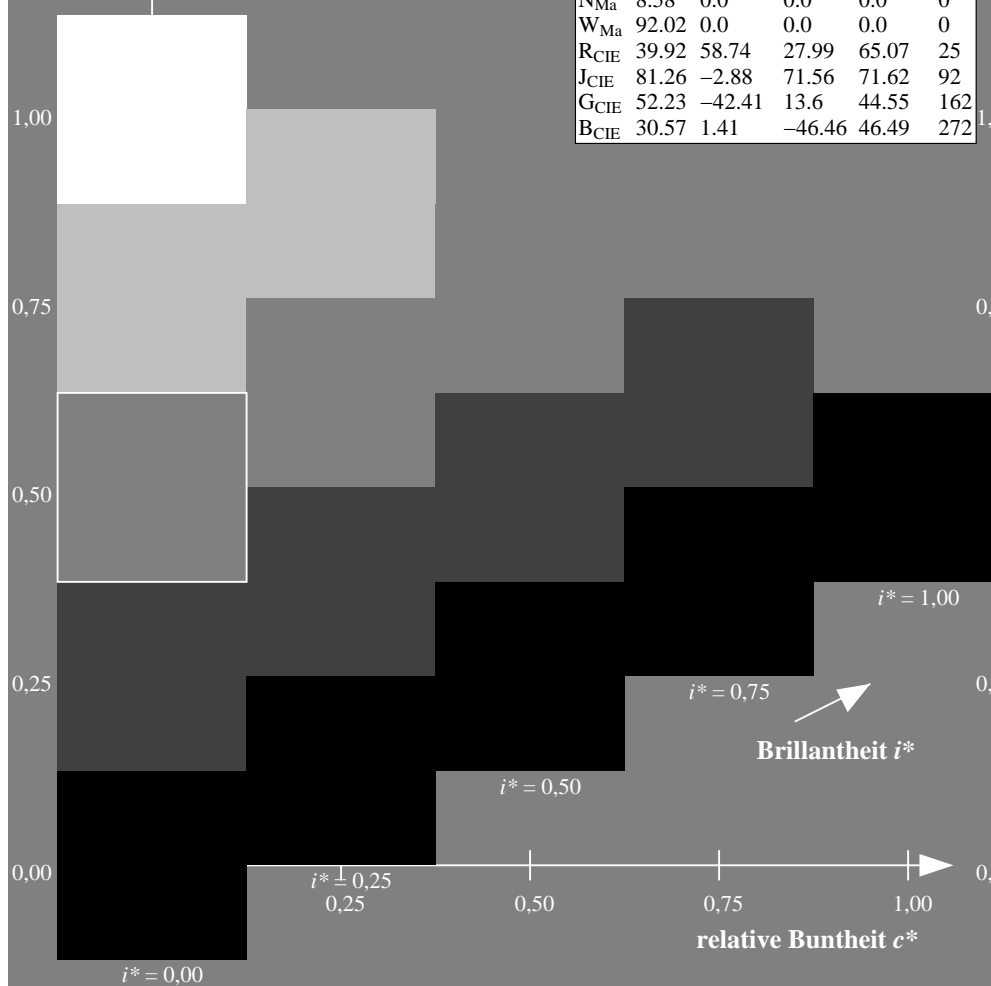
%Regularität

$g^*_{H,rel} = 31$

$g^*_{C,rel} = 40$

FRS09\_92a; adaptierte CIELAB-Daten

	$L^*=L_a^*$	$a_a^*$	$b_a^*$	$C_{ab,a}^*$	$h_{ab,a}^*$
r00j	35.47	63.32	30.17	70.15	25
r25j	39.12	54.56	49.45	73.64	42
r50j	50.64	39.15	64.89	75.79	59
r75j	64.01	21.26	82.83	85.52	76
j00g	83.18	-4.37	108.53	108.62	92
j25g	66.73	-29.88	83.06	88.28	110
j50g	54.03	-48.3	63.49	79.78	127
j75g	44.73	-60.32	42.64	73.88	145
g00b	47.59	-49.07	15.74	51.54	162
g25b	49.97	-39.69	-6.71	40.27	190
g50b	51.85	-32.32	-24.34	40.48	217
g75b	46.92	-17.28	-36.01	39.96	244
b00r	37.91	1.28	-42.34	42.37	272
b25r	23.81	30.38	-52.25	60.45	300
b50r	29.52	69.06	-42.13	80.9	329
b75r	36.48	71.47	-3.68	71.57	357



Ein und Ausgabe: Farbmetrisches Drucker-Reflektiv-System FRS09\_92a für relativen CIELAB-Buntton  $h^* = lab^*h^* = h_{ab}/360 = 190/360 = 0.527$

Daten für jede Farbe:

$lab^*ch^*$  und  $lab^*icu^*$

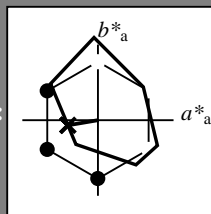
Elementar-Bunttontext:

$u^* = g25b$

Kontrastreduzierungsfaktor:

$c_R = 1.0$

Dreiecks-Helligkeit  $i^*$



FRS09\_92a; adaptierte CIELAB-Daten

	$L^*=L_a^*$	$a_a^*$	$b_a^*$	$C_{ab,a}^*$	$h_{ab,a}^*$
O <sub>Ma</sub>	35.06	60.0	44.0	74.4	36
Y <sub>Ma</sub>	83.77	-5.16	109.32	109.44	93
L <sub>Ma</sub>	44.13	-62.66	48.24	79.09	142
C <sub>Ma</sub>	52.66	-29.13	-31.98	43.27	228
V <sub>Ma</sub>	14.15	50.3	-59.03	77.57	310
M <sub>Ma</sub>	37.37	78.64	-33.49	85.48	337
N <sub>Ma</sub>	8.58	0.0	0.0	0.0	0
W <sub>Ma</sub>	92.02	0.0	0.0	0.0	0
R <sub>CIE</sub>	39.92	58.74	27.99	65.07	25
J <sub>CIE</sub>	81.26	-2.88	71.56	71.62	92
G <sub>CIE</sub>	52.23	-42.41	13.6	44.55	162
B <sub>CIE</sub>	30.57	1.41	-46.46	46.49	272

Daten für Maximalfarbe (Ma):

$LAB^*LAB^*Ma$ : 50 -39 -6

$LAB^*LCH^*Ma$ : 50 40 190

$lab^*rgb^*Ma$ : 0.0 1.0 0.5

$lab^*olv^*Ma$ : 0.0 1.0 0.69

Dreiecks-Helligkeit  $i^*$

%Umfang

$u^*_{rel} = 109$

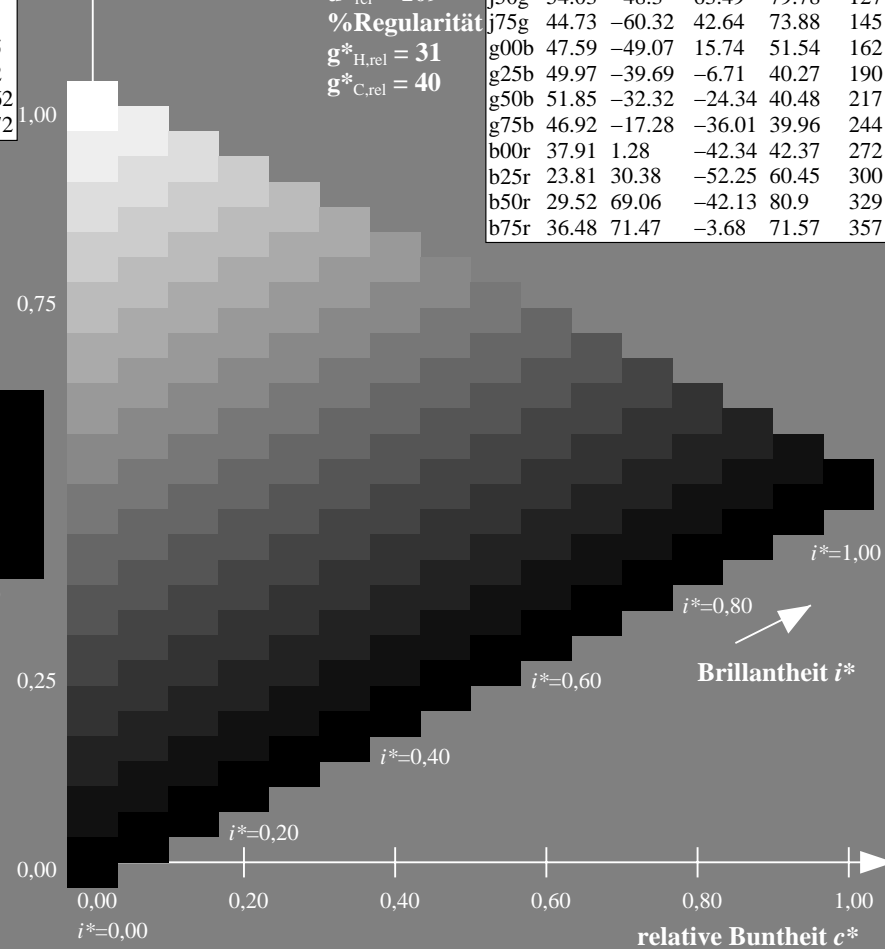
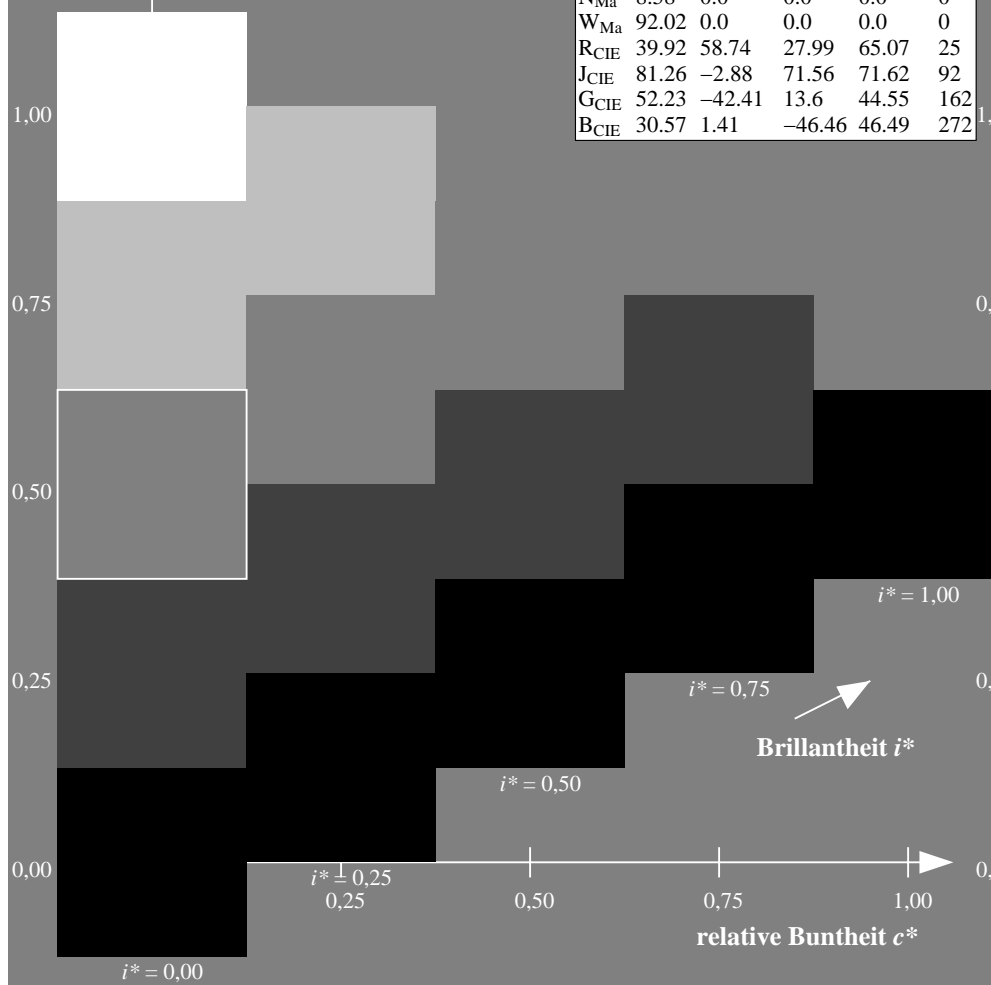
%Regularität

$g^*_{H,rel} = 31$

$g^*_{C,rel} = 40$

FRS09\_92a; adaptierte CIELAB-Daten

	$L^*=L_a^*$	$a_a^*$	$b_a^*$	$C_{ab,a}^*$	$h_{ab,a}^*$
r00j	35.47	63.32	30.17	70.15	25
r25j	39.12	54.56	49.45	73.64	42
r50j	50.64	39.15	64.89	75.79	59
r75j	64.01	21.26	82.83	85.52	76
j00g	83.18	-4.37	108.53	108.62	92
j25g	66.73	-29.88	83.06	88.28	110
j50g	54.03	-48.3	63.49	79.78	127
j75g	44.73	-60.32	42.64	73.88	145
g00b	47.59	-49.07	15.74	51.54	162
g25b	49.97	-39.69	-6.71	40.27	190
g50b	51.85	-32.32	-24.34	40.48	217
g75b	46.92	-17.28	-36.01	39.96	244
b00r	37.91	1.28	-42.34	42.37	272
b25r	23.81	30.38	-52.25	60.45	300
b50r	29.52	69.06	-42.13	80.9	329
b75r	36.48	71.47	-3.68	71.57	357



Ein und Ausgabe: Farbmetrisches Drucker-Reflektiv-System FRS09\_92a für relativen CIELAB-Buntton  $h^* = lab^*h^* = h_{ab}/360 = 217/360 = 0.603$

Daten für jede Farbe:

$lab^*ch^*$  und  $lab^*icu^*$

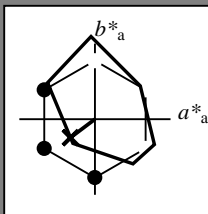
Elementar-Bunttontext:

$u^* = g50b$

Kontrastreduzierungsfaktor:

$c_R = 1.0$

Dreiecks-Helligkeit  $i^*$



FRS09\_92a; adaptierte CIELAB-Daten

	$L^*=L_a^*$	$a_a^*$	$b_a^*$	$C^*_{ab,a}$	$h^*_{ab,a}$
O <sub>Ma</sub>	35.06	60.0	44.0	74.4	36
Y <sub>Ma</sub>	83.77	-5.16	109.32	109.44	93
L <sub>Ma</sub>	44.13	-62.66	48.24	79.09	142
C <sub>Ma</sub>	52.66	-29.13	-31.98	43.27	228
V <sub>Ma</sub>	14.15	50.3	-59.03	77.57	310
M <sub>Ma</sub>	37.37	78.64	-33.49	85.48	337
N <sub>Ma</sub>	8.58	0.0	0.0	0.0	0
W <sub>Ma</sub>	92.02	0.0	0.0	0.0	0
R <sub>CIE</sub>	39.92	58.74	27.99	65.07	25
J <sub>CIE</sub>	81.26	-2.88	71.56	71.62	92
G <sub>CIE</sub>	52.23	-42.41	13.6	44.55	162
B <sub>CIE</sub>	30.57	1.41	-46.46	46.49	272

Daten für Maximalfarbe (Ma):

$LAB^*LAB^*_{Ma}$ : 52 -31 -23

$LAB^*LCH^*_{Ma}$ : 52 40 217

$lab^*rgb^*_{Ma}$ : 0.0 1.0 1.0

$lab^*olv^*_{Ma}$ : 0.0 1.0 0.9

Dreiecks-Helligkeit  $i^*$

%Umfang

$u^*_{rel} = 109$

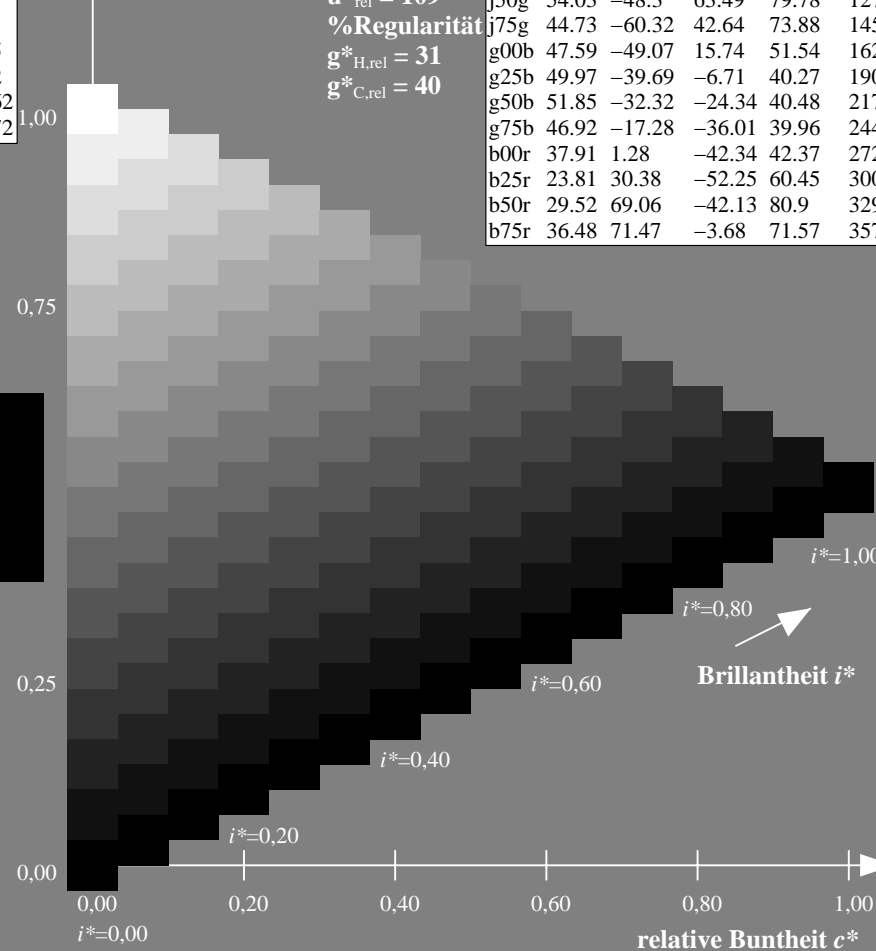
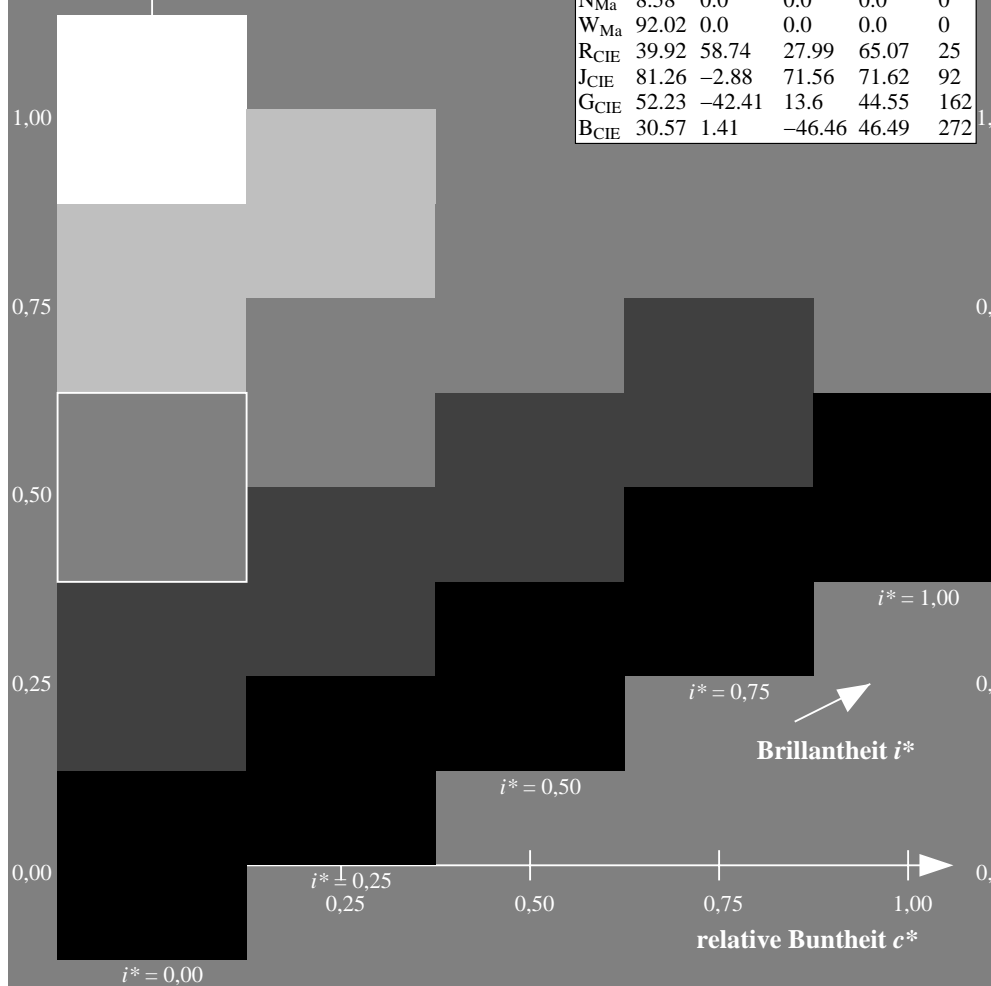
%Regularität

$g^*_{H,rel} = 31$

$g^*_{C,rel} = 40$

FRS09\_92a; adaptierte CIELAB-Daten

	$L^*=L_a^*$	$a_a^*$	$b_a^*$	$C^*_{ab,a}$	$h^*_{ab,a}$
r00j	35.47	63.32	30.17	70.15	25
r25j	39.12	54.56	49.45	73.64	42
r50j	50.64	39.15	64.89	75.79	59
r75j	64.01	21.26	82.83	85.52	76
j00g	83.18	-4.37	108.53	108.62	92
j25g	66.73	-29.88	83.06	88.28	110
j50g	54.03	-48.3	63.49	79.78	127
j75g	44.73	-60.32	42.64	73.88	145
g00b	47.59	-49.07	15.74	51.54	162
g25b	49.97	-39.69	-6.71	40.27	190
g50b	51.85	-32.32	-24.34	40.48	217
g75b	46.92	-17.28	-36.01	39.96	244
b00r	37.91	1.28	-42.34	42.37	272
b25r	23.81	30.38	-52.25	60.45	300
b50r	29.52	69.06	-42.13	80.9	329
b75r	36.48	71.47	-3.68	71.57	357



Ein und Ausgabe: Farbmetrisches Drucker-Reflektiv-System FRS09\_92a für relativen CIELAB-Buntton  $h^* = lab^*h^* = h_{ab}/360 = 244/360 = 0.679$

Daten für jede Farbe:

$lab^*ch^*$  und  $lab^*icu^*$

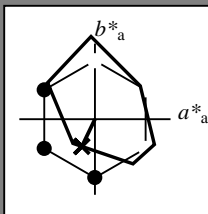
Elementar-Bunttontext:

$u^* = g75b$

Kontrastreduzierungsfaktor:

$c_R = 1.0$

Dreiecks-Helligkeit  $i^*$



FRS09\_92a; adaptierte CIELAB-Daten

	$L^*=L^*_a$	$a^*_a$	$b^*_a$	$C^*_{ab,a}$	$h^*_{ab,a}$
O <sub>Ma</sub>	35.06	60.0	44.0	74.4	36
Y <sub>Ma</sub>	83.77	-5.16	109.32	109.44	93
L <sub>Ma</sub>	44.13	-62.66	48.24	79.09	142
C <sub>Ma</sub>	52.66	-29.13	-31.98	43.27	228
V <sub>Ma</sub>	14.15	50.3	-59.03	77.57	310
M <sub>Ma</sub>	37.37	78.64	-33.49	85.48	337
N <sub>Ma</sub>	8.58	0.0	0.0	0.0	0
W <sub>Ma</sub>	92.02	0.0	0.0	0.0	0
R <sub>CIE</sub>	39.92	58.74	27.99	65.07	25
J <sub>CIE</sub>	81.26	-2.88	71.56	71.62	92
G <sub>CIE</sub>	52.23	-42.41	13.6	44.55	162
B <sub>CIE</sub>	30.57	1.41	-46.46	46.49	272

Daten für Maximalfarbe (Ma):

$LAB^*LAB^*_{Ma}$ : 47 -16 -35

$LAB^*LCH^*_{Ma}$ : 47 40 244

$lab^*rgb^*_{Ma}$ : 0.0 0.5 1.0

$lab^*olv^*_{Ma}$ : 0.0 0.85 1.0

Dreiecks-Helligkeit  $i^*$

%Umfang

$u^*_{rel} = 109$

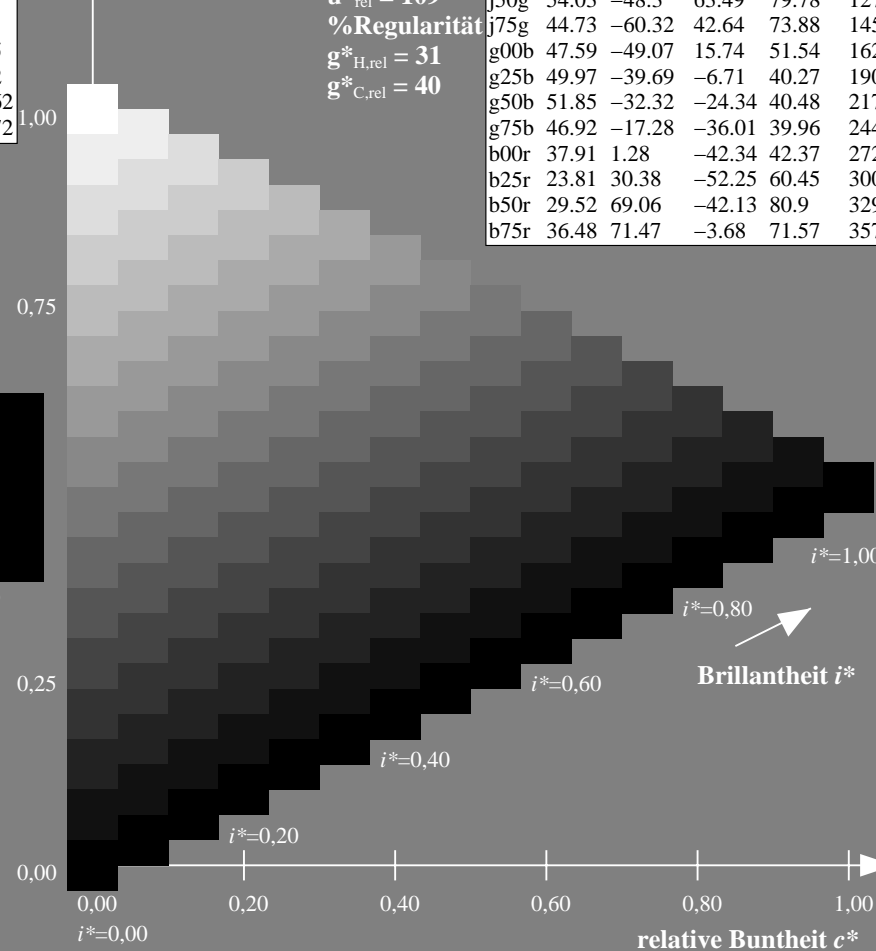
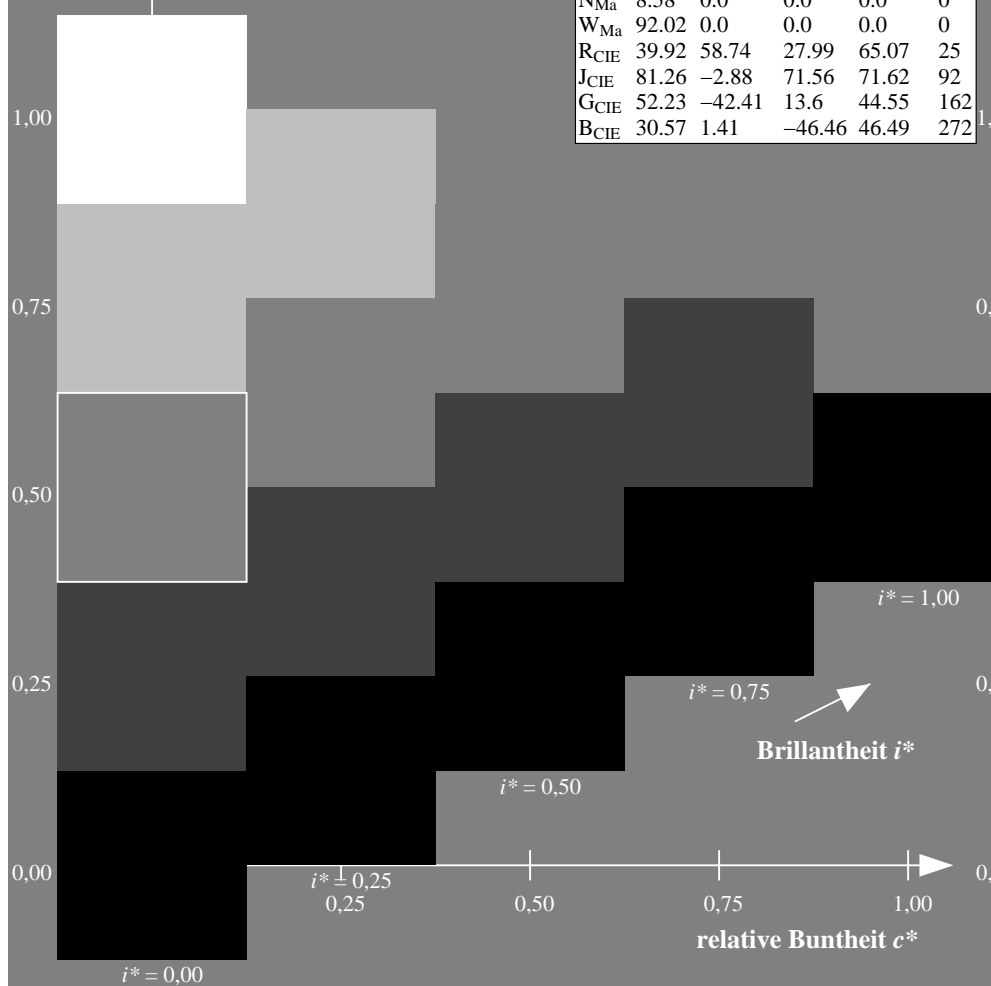
%Regularität

$g^*_{H,rel} = 31$

$g^*_{C,rel} = 40$

FRS09\_92a; adaptierte CIELAB-Daten

	$L^*=L^*_a$	$a^*_a$	$b^*_a$	$C^*_{ab,a}$	$h^*_{ab,a}$
r00j	35.47	63.32	30.17	70.15	25
r25j	39.12	54.56	49.45	73.64	42
r50j	50.64	39.15	64.89	75.79	59
r75j	64.01	21.26	82.83	85.52	76
j00g	83.18	-4.37	108.53	108.62	92
j25g	66.73	-29.88	83.06	88.28	110
j50g	54.03	-48.3	63.49	79.78	127
j75g	44.73	-60.32	42.64	73.88	145
g00b	47.59	-49.07	15.74	51.54	162
g25b	49.97	-39.69	-6.71	40.27	190
g50b	51.85	-32.32	-24.34	40.48	217
g75b	46.92	-17.28	-36.01	39.96	244
b00r	37.91	1.28	-42.34	42.37	272
b25r	23.81	30.38	-52.25	60.45	300
b50r	29.52	69.06	-42.13	80.9	329
b75r	36.48	71.47	-3.68	71.57	357



Ein und Ausgabe: Farbmetrisches Drucker-Reflektiv-System FRS09\_92a für relativen CIELAB-Buntton  $h^* = lab^*h^* = h_{ab}/360 = 272/360 = 0.755$

Daten für jede Farbe:

$lab^*ch^*$  und  $lab^*icu^*$

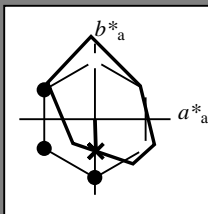
Elementar-Bunttontext:

$u^* = b00r$

Kontrastreduzierungsfaktor:

$c_R = 1.0$

Dreiecks-Helligkeit  $i^*$



FRS09\_92a; adaptierte CIELAB-Daten

	$L^*=L_a^*$	$a_a^*$	$b_a^*$	$C_{ab,a}^*$	$h_{ab,a}^*$
O <sub>Ma</sub>	35.06	60.0	44.0	74.4	36
Y <sub>Ma</sub>	83.77	-5.16	109.32	109.44	93
L <sub>Ma</sub>	44.13	-62.66	48.24	79.09	142
C <sub>Ma</sub>	52.66	-29.13	-31.98	43.27	228
V <sub>Ma</sub>	14.15	50.3	-59.03	77.57	310
M <sub>Ma</sub>	37.37	78.64	-33.49	85.48	337
N <sub>Ma</sub>	8.58	0.0	0.0	0.0	0
W <sub>Ma</sub>	92.02	0.0	0.0	0.0	0
R <sub>CIE</sub>	39.92	58.74	27.99	65.07	25
J <sub>CIE</sub>	81.26	-2.88	71.56	71.62	92
G <sub>CIE</sub>	52.23	-42.41	13.6	44.55	162
B <sub>CIE</sub>	30.57	1.41	-46.46	46.49	272

Daten für Maximalfarbe (Ma):

$LAB^*LAB^*Ma$ : 38 1 -41

$LAB^*LCH^*Ma$ : 38 42 272

$lab^*rgb^*Ma$ : 0.0 0.0 1.0

$lab^*olv^*Ma$ : 0.0 0.62 1.0

Dreiecks-Helligkeit  $i^*$

%Umfang

$u^*_{rel} = 109$

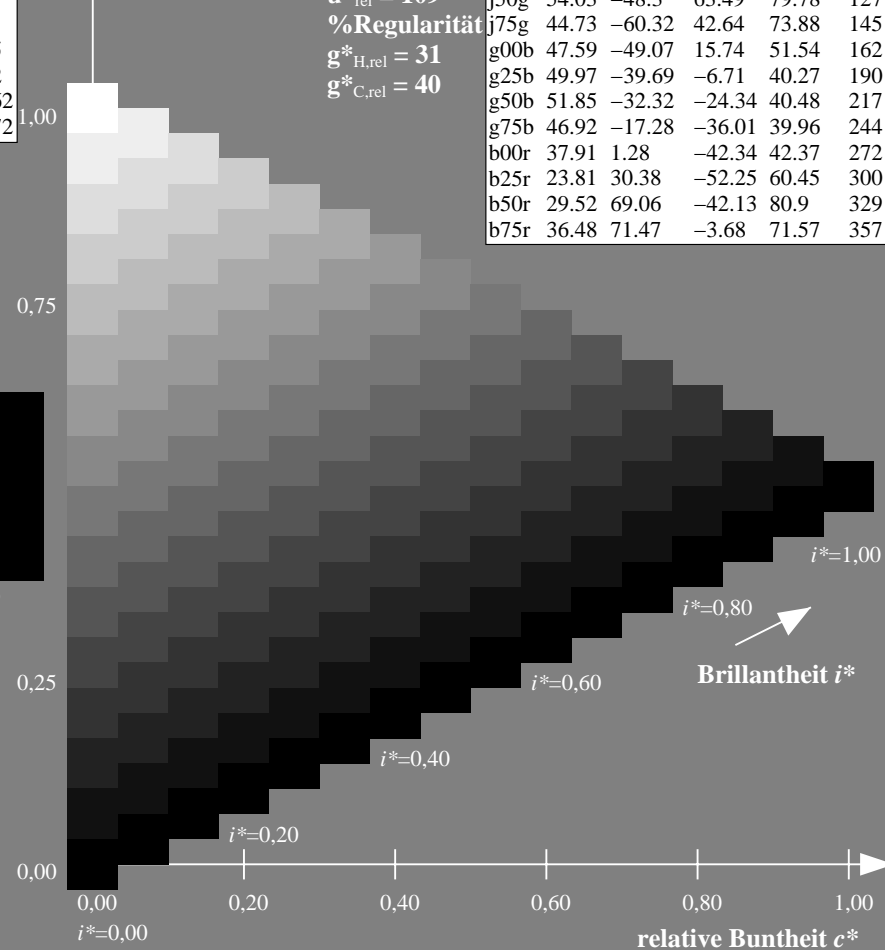
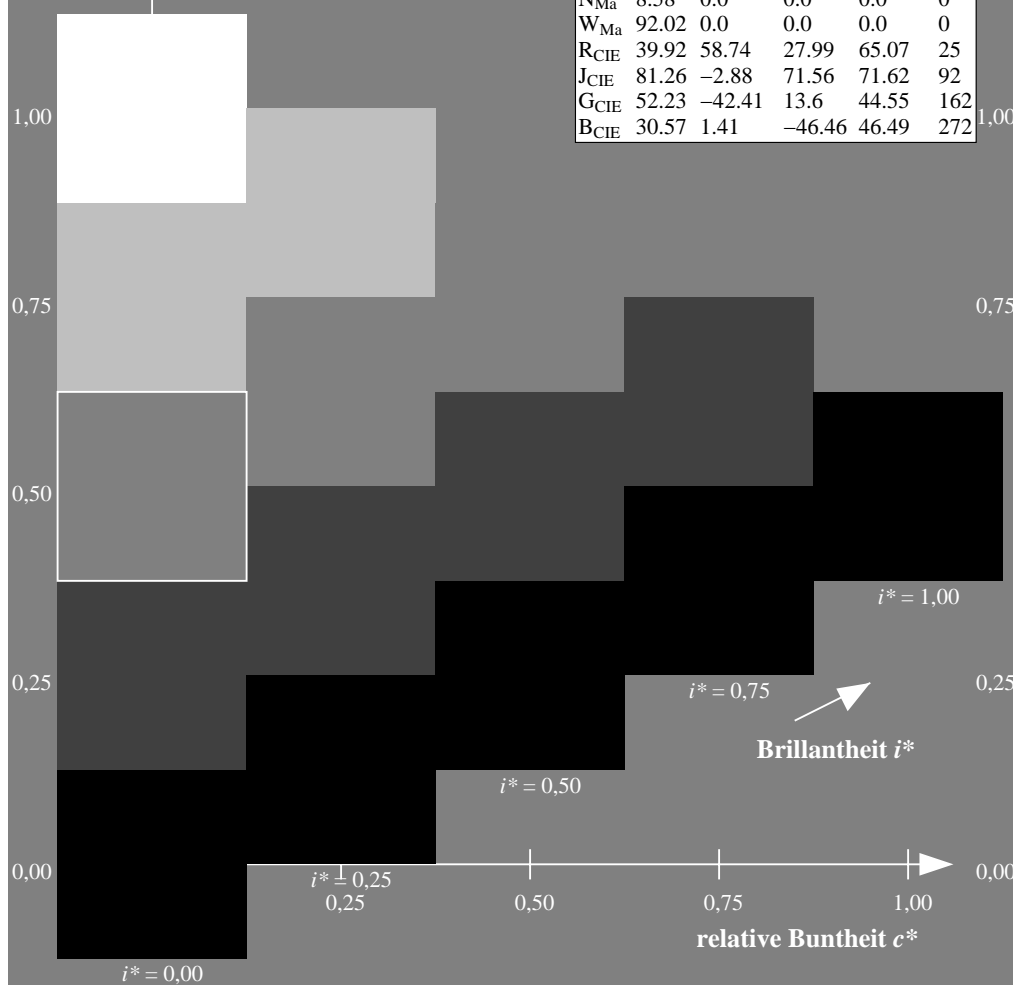
%Regularität

$g^*_{H,rel} = 31$

$g^*_{C,rel} = 40$

FRS09\_92a; adaptierte CIELAB-Daten

	$L^*=L_a^*$	$a_a^*$	$b_a^*$	$C_{ab,a}^*$	$h_{ab,a}^*$
r00j	35.47	63.32	30.17	70.15	25
r25j	39.12	54.56	49.45	73.64	42
r50j	50.64	39.15	64.89	75.79	59
r75j	64.01	21.26	82.83	85.52	76
j00g	83.18	-4.37	108.53	108.62	92
j25g	66.73	-29.88	83.06	88.28	110
j50g	54.03	-48.3	63.49	79.78	127
j75g	44.73	-60.32	42.64	73.88	145
g00b	47.59	-49.07	15.74	51.54	162
g25b	49.97	-39.69	-6.71	40.27	190
g50b	51.85	-32.32	-24.34	40.48	217
g75b	46.92	-17.28	-36.01	39.96	244
b00r	37.91	1.28	-42.34	42.37	272
b25r	23.81	30.38	-52.25	60.45	300
b50r	29.52	69.06	-42.13	80.9	329
b75r	36.48	71.47	-3.68	71.57	357





Ein und Ausgabe: Farbmetrisches Drucker-Reflektiv-System FRS09\_92a für relativen CIELAB-Buntton  $h^* = lab^*h^* = h_{ab}/360 = 300/360 = 0.834$

Daten für jede Farbe:

$lab^*ch^*$  und  $lab^*icu^*$

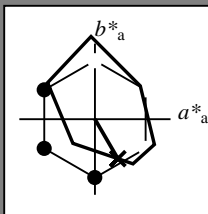
Elementar-Bunttoncontext:

$u^* = b25r$

Kontrastreduzierungsfaktor:

$c_R = 1.0$

Dreiecks-Helligkeit  $i^*$



FRS09\_92a; adaptierte CIELAB-Daten

	$L^*=L_a^*$	$a_a^*$	$b_a^*$	$C_{ab,a}^*$	$h_{ab,a}^*$
O <sub>Ma</sub>	35.06	60.0	44.0	74.4	36
Y <sub>Ma</sub>	83.77	-5.16	109.32	109.44	93
L <sub>Ma</sub>	44.13	-62.66	48.24	79.09	142
C <sub>Ma</sub>	52.66	-29.13	-31.98	43.27	228
V <sub>Ma</sub>	14.15	50.3	-59.03	77.57	310
M <sub>Ma</sub>	37.37	78.64	-33.49	85.48	337
N <sub>Ma</sub>	8.58	0.0	0.0	0.0	0
W <sub>Ma</sub>	92.02	0.0	0.0	0.0	0
R <sub>CIE</sub>	39.92	58.74	27.99	65.07	25
J <sub>CIE</sub>	81.26	-2.88	71.56	71.62	92
G <sub>CIE</sub>	52.23	-42.41	13.6	44.55	162
B <sub>CIE</sub>	30.57	1.41	-46.46	46.49	272

Daten für Maximalfarbe (Ma):

$LAB^*LAB^*Ma$ : 24 30 -51

$LAB^*LCH^*Ma$ : 24 60 300

$lab^*rgb^*Ma$ : 0.5 0.0 1.0

$lab^*olv^*Ma$ : 0.0 0.25 1.0

Dreiecks-Helligkeit  $i^*$

%Umfang

$u^*_{rel} = 109$

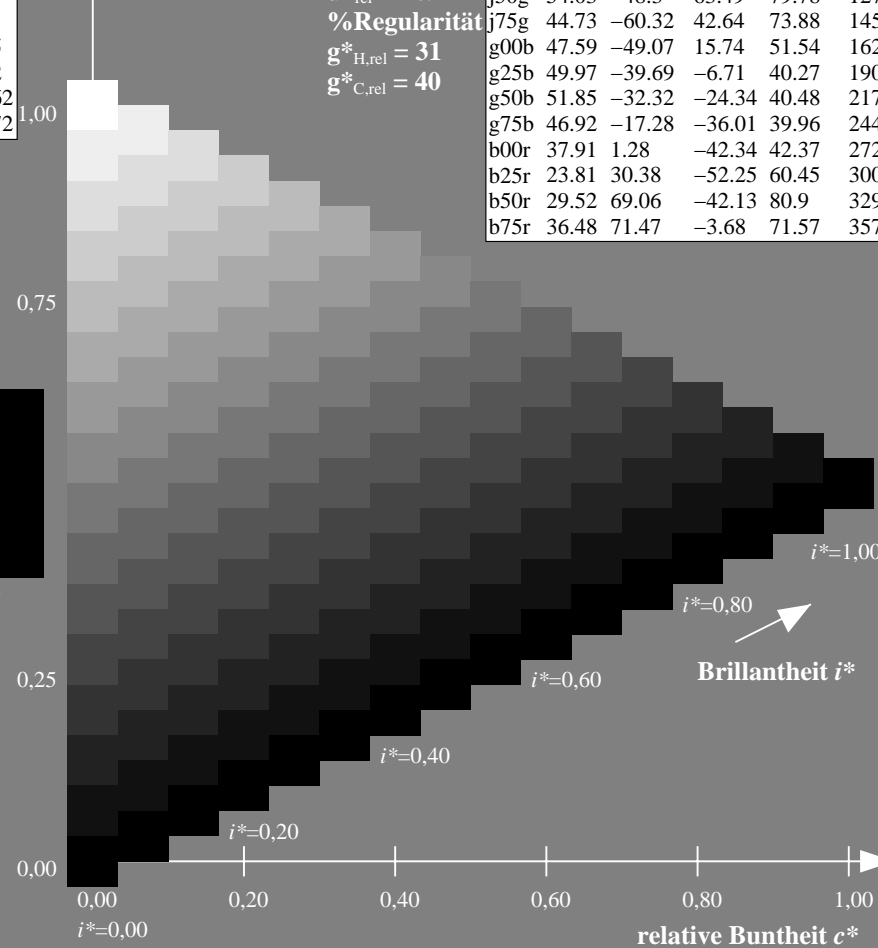
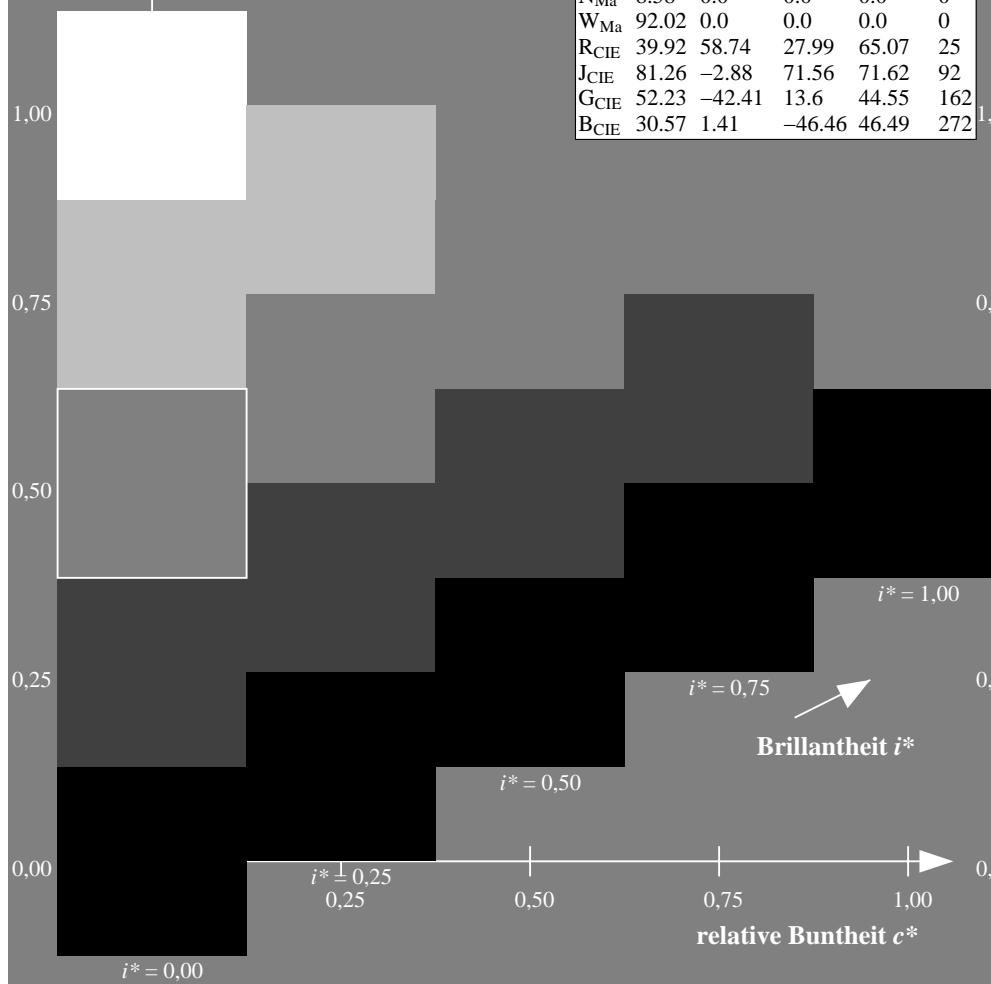
%Regularität

$g^*_{H,rel} = 31$

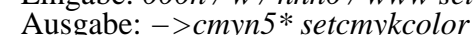
$g^*_{C,rel} = 40$

FRS09\_92a; adaptierte CIELAB-Daten

	$L^*=L_a^*$	$a_a^*$	$b_a^*$	$C_{ab,a}^*$	$h_{ab,a}^*$
r00j	35.47	63.32	30.17	70.15	25
r25j	39.12	54.56	49.45	73.64	42
r50j	50.64	39.15	64.89	75.79	59
r75j	64.01	21.26	82.83	85.52	76
j00g	83.18	-4.37	108.53	108.62	92
j25g	66.73	-29.88	83.06	88.28	110
j50g	54.03	-48.3	63.49	79.78	127
j75g	44.73	-60.32	42.64	73.88	145
g00b	47.59	-49.07	15.74	51.54	162
g25b	49.97	-39.69	-6.71	40.27	190
g50b	51.85	-32.32	-24.34	40.48	217
g75b	46.92	-17.28	-36.01	39.96	244
b00r	37.91	1.28	-42.34	42.37	272
b25r	23.81	30.38	-52.25	60.45	300
b50r	29.52	69.06	-42.13	80.9	329
b75r	36.48	71.47	-3.68	71.57	357



**Directs Strength:**



BAM-Registrierung: 20080701-Dg70/10L/L70G00NA.PS/.TXTBAM-Material: Code=rhata  
t Anwendung für Beurteilung und Messung von Drucker- oder Monitorsystemen

Ein und Ausgabe: Farbmetrisches Drucker-Reflektiv-System FRS09\_92a für relativen CIELAB-Buntton  $h^* = lab^*h^* = h_{ab}/360 = 357/360 = 0.992$

Daten für jede Farbe:

$lab^*ch^*$  und  $lab^*icu^*$

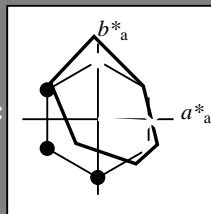
Elementar-Bunttontext:

$u^* = b75r$

Kontrastreduzierungsfaktor:

$c_R = 1.0$

Dreiecks-Helligkeit  $i^*$



FRS09\_92a; adaptierte CIELAB-Daten

	$L^*=L_a^*$	$a_a^*$	$b_a^*$	$C_{ab,a}^*$	$h_{ab,a}^*$
O <sub>Ma</sub>	35.06	60.0	44.0	74.4	36
Y <sub>Ma</sub>	83.77	-5.16	109.32	109.44	93
L <sub>Ma</sub>	44.13	-62.66	48.24	79.09	142
C <sub>Ma</sub>	52.66	-29.13	-31.98	43.27	228
V <sub>Ma</sub>	14.15	50.3	-59.03	77.57	310
M <sub>Ma</sub>	37.37	78.64	-33.49	85.48	337
N <sub>Ma</sub>	8.58	0.0	0.0	0.0	0
W <sub>Ma</sub>	92.02	0.0	0.0	0.0	0
R <sub>CIE</sub>	39.92	58.74	27.99	65.07	25
J <sub>CIE</sub>	81.26	-2.88	71.56	71.62	92
G <sub>CIE</sub>	52.23	-42.41	13.6	44.55	162
B <sub>CIE</sub>	30.57	1.41	-46.46	46.49	272

Daten für Maximalfarbe (Ma):

$LAB^*LAB^*_{Ma}$ : 36 71 -3

$LAB^*LCH^*_{Ma}$ : 36 72 357

$lab^*rgb^*_{Ma}$ : 1.0 0.0 0.5

$lab^*olv^*_{Ma}$ : 1.0 0.0 0.62

Dreiecks-Helligkeit  $i^*$

%Umfang

$u^*_{rel} = 109$

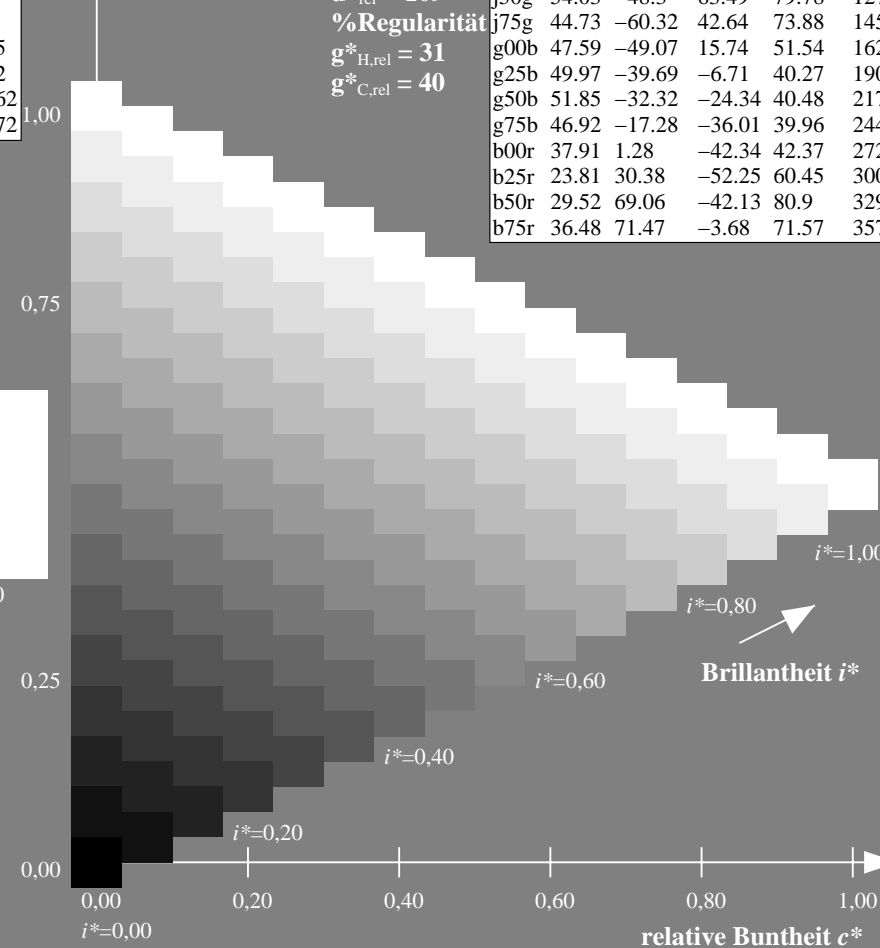
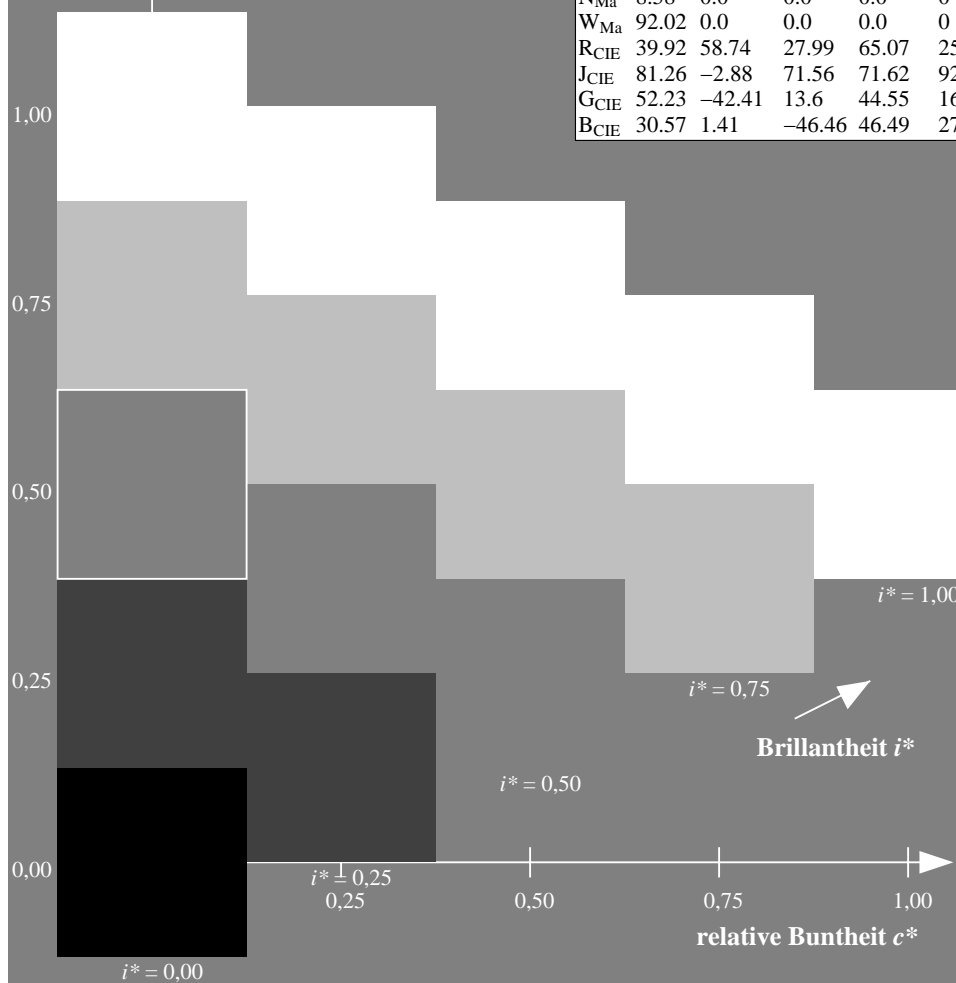
%Regularität

$g^*_{H,rel} = 31$

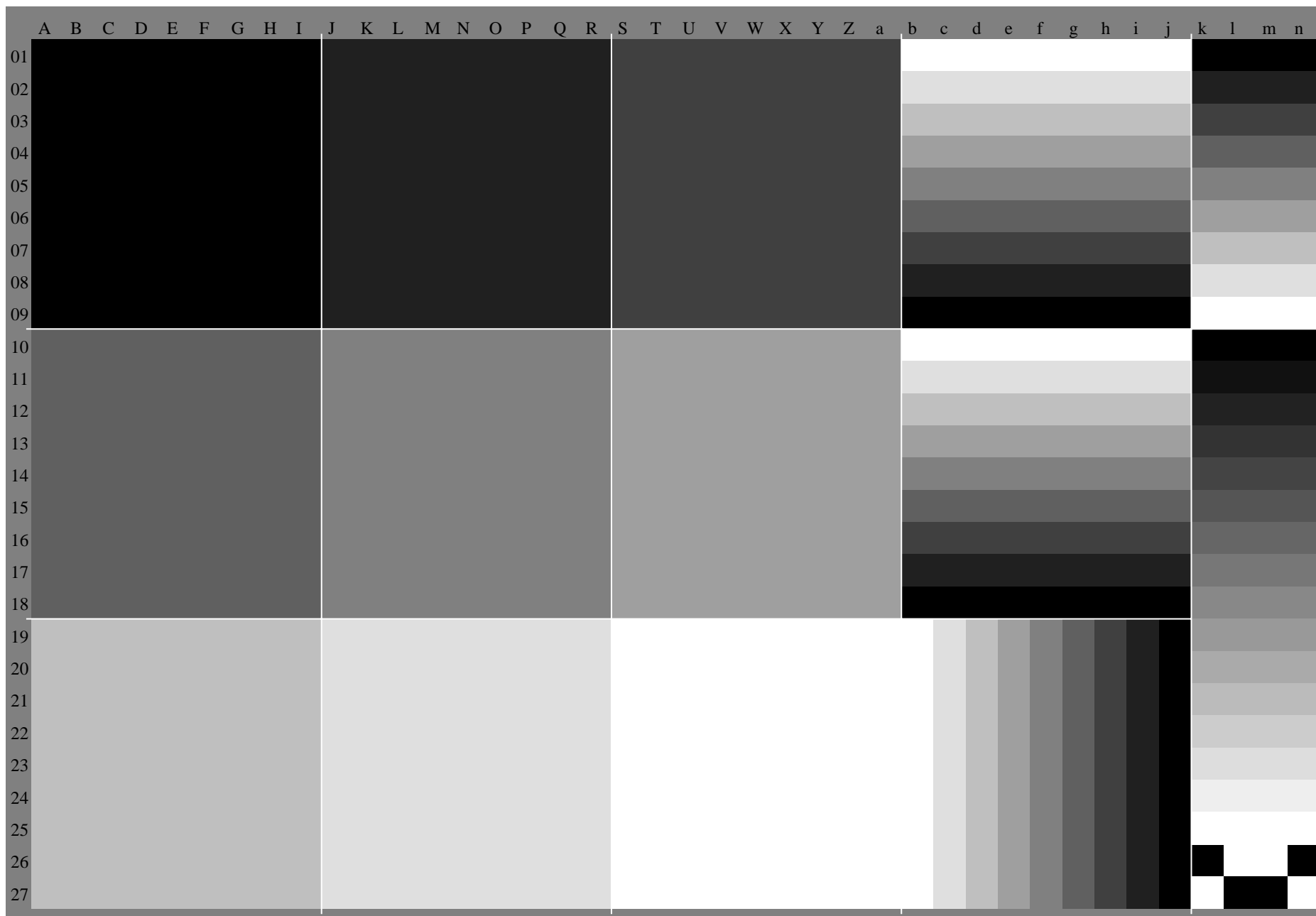
$g^*_{C,rel} = 40$

FRS09\_92a; adaptierte CIELAB-Daten

	$L^*=L_a^*$	$a_a^*$	$b_a^*$	$C_{ab,a}^*$	$h_{ab,a}^*$
r00j	35.47	63.32	30.17	70.15	25
r25j	39.12	54.56	49.45	73.64	42
r50j	50.64	39.15	64.89	75.79	59
r75j	64.01	21.26	82.83	85.52	76
j00g	83.18	-4.37	108.53	108.62	92
j25g	66.73	-29.88	83.06	88.28	110
j50g	54.03	-48.3	63.49	79.78	127
j75g	44.73	-60.32	42.64	73.88	145
g00b	47.59	-49.07	15.74	51.54	162
g25b	49.97	-39.69	-6.71	40.27	190
g50b	51.85	-32.32	-24.34	40.48	217
g75b	46.92	-17.28	-36.01	39.96	244
b00r	37.91	1.28	-42.34	42.37	272
b25r	23.81	30.38	-52.25	60.45	300
b50r	29.52	69.06	-42.13	80.9	329
b75r	36.48	71.47	-3.68	71.57	357



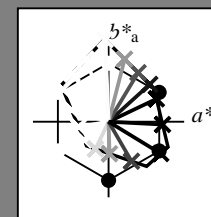
Siehe ähnliche Dateien: <http://www.ps.bam.de/Dg70/>; [www.ps.bam.de/Dg.HTM](http://www.ps.bam.de/Dg.HTM)  
Technische Information: <http://www.ps.bam.de> Version 2.1, io=1,1, ColSpx=0



BAM-Registrierung: 20080701-Dg70/10L/L70G00NA.PS/.TXTBAM-Material: Code=rh4ta  
Anwendung für Beurteilung und Messung von Drucker- oder Monitorsystemen

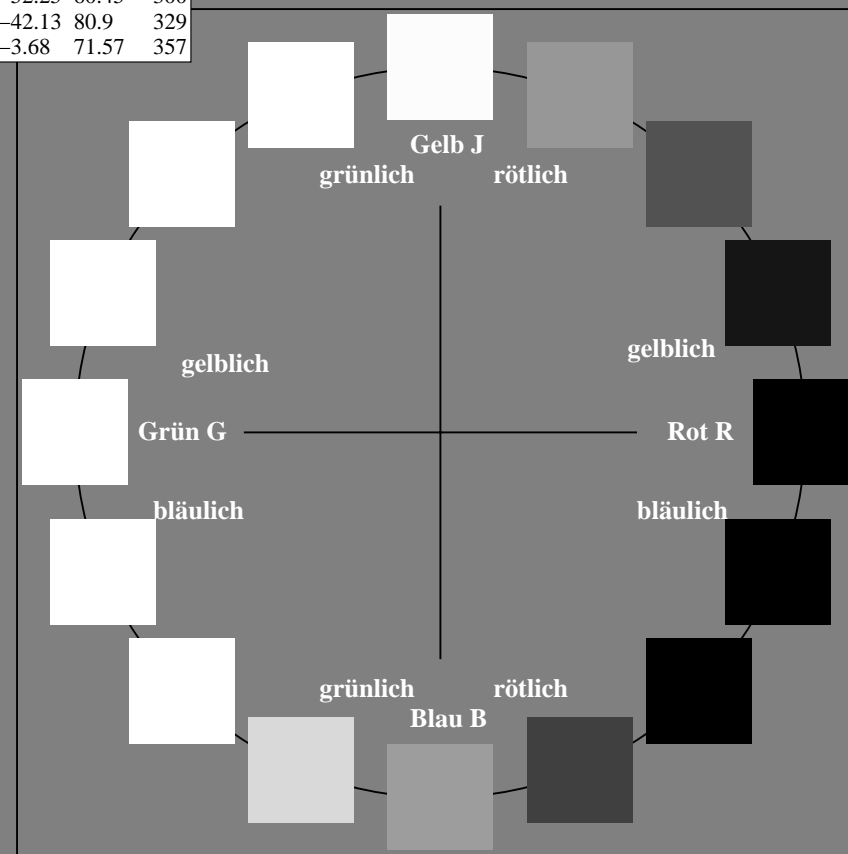
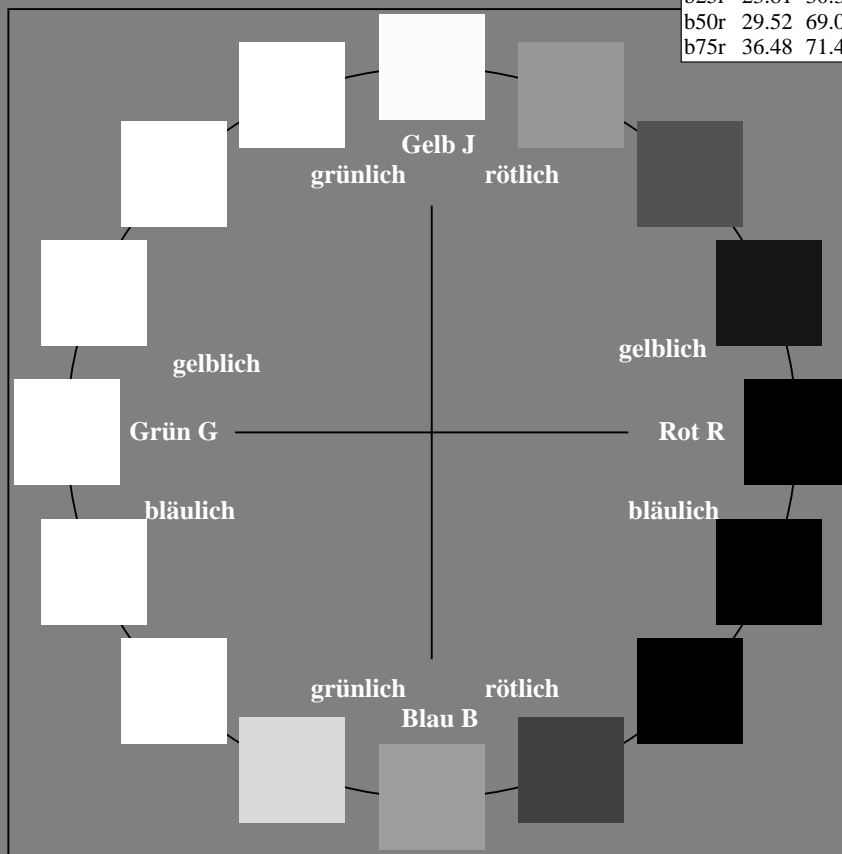
Ein und Ausgabe:  
Farbmetrisches Drucker-Reflektiv-System FRS09\_92a  
Daten für jede Farbe:  
*lab\*<sub>ich</sub>*\* und *lab\*<sub>icu</sub>*\*  
Elementar-Bunttontext:  
*u\** = 16 Bunttöne *r00j*, *r25j*, ..., *b75r*  
Kontrastreduzierungsfaktor:  
*c<sub>R</sub>* = 1.0

FRS09_92a; adaptierte CIELAB-Daten					
	<i>L*</i> = <i>L*</i> <sub>a</sub>	<i>a*</i> <sub>a</sub>	<i>b*</i> <sub>a</sub>	<i>C*</i> <sub>ab,a</sub>	<i>h*</i> <sub>ab,a</sub>
r00j	35.47	63.32	30.17	70.15	25
r25j	39.12	54.56	49.45	73.64	42
r50j	50.64	39.15	64.89	75.79	59
r75j	64.01	21.26	82.83	85.52	76
j00g	83.18	-4.37	108.53	108.62	92
j25g	66.73	-29.88	83.06	88.28	110
j50g	54.03	-48.3	63.49	79.78	127
j75g	44.73	-60.32	42.64	73.88	145
g00b	47.59	-49.07	15.74	51.54	162
g25b	49.97	-39.69	-6.71	40.27	190
g50b	51.85	-32.32	-24.34	40.48	217
g75b	46.92	-17.28	-36.01	39.96	244
b00r	37.91	1.28	-42.34	42.37	272
b25r	23.81	30.38	-52.25	60.45	300
b50r	29.52	69.06	-42.13	80.9	329
b75r	36.48	71.47	-3.68	71.57	357



%Umfang  
*u\**<sub>rel</sub> = 109  
%Regularität  
*g\**<sub>H,rel</sub> = 31  
*g\**<sub>C,rel</sub> = 40

FRS09_92a; adaptierte CIELAB-Daten					
	<i>L*</i> = <i>L*</i> <sub>a</sub>	<i>a*</i> <sub>a</sub>	<i>b*</i> <sub>a</sub>	<i>C*</i> <sub>ab,a</sub>	<i>h*</i> <sub>ab,a</sub>
OMa	35.06	60.0	44.0	74.4	36
YMa	83.77	-5.16	109.32	109.44	93
LMa	44.13	-62.66	48.24	79.09	142
CMa	52.66	-29.13	-31.98	43.27	228
VMa	14.15	50.3	-59.03	77.57	310
MMa	37.37	78.64	-33.49	85.48	337
NMa	8.58	0.0	0.0	0.0	0
WMa	92.02	0.0	0.0	0.0	0
RCIE	39.92	58.74	27.99	65.07	25
JCIE	81.26	-2.88	71.56	71.62	92
GCIE	52.23	-42.41	13.6	44.55	162
BCIE	30.57	1.41	-46.46	46.49	272



Ein und Ausgabe: Farbmetrisches Drucker-Reflektiv-System FRS09\_92a für relativen CIELAB-Buntton  $h^* = lab^*h^* = h_{ab}/360 = 25/360 = 0.071$

Daten für jede Farbe:

$lab^*tch^*$  und  $lab^*icu^*$

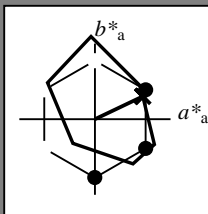
Elementar-Bunttontext:

$u^* = r00j$

Kontrastreduzierungsfaktor:

$c_R = 1.0$

Dreiecks-Helligkeit  $i^*$



FRS09\_92a; adaptierte CIELAB-Daten

	$L^*=L_a^*$	$a_a^*$	$b_a^*$	$C_{ab,a}^*$	$h_{ab,a}^*$
O <sub>Ma</sub>	35.06	60.0	44.0	74.4	36
Y <sub>Ma</sub>	83.77	-5.16	109.32	109.44	93
L <sub>Ma</sub>	44.13	-62.66	48.24	79.09	142
C <sub>Ma</sub>	52.66	-29.13	-31.98	43.27	228
V <sub>Ma</sub>	14.15	50.3	-59.03	77.57	310
M <sub>Ma</sub>	37.37	78.64	-33.49	85.48	337
N <sub>Ma</sub>	8.58	0.0	0.0	0.0	0
W <sub>Ma</sub>	92.02	0.0	0.0	0.0	0
R <sub>CIE</sub>	39.92	58.74	27.99	65.07	25
J <sub>CIE</sub>	81.26	-2.88	71.56	71.62	92
G <sub>CIE</sub>	52.23	-42.41	13.6	44.55	162
B <sub>CIE</sub>	30.57	1.41	-46.46	46.49	272

Daten für Maximalfarbe (Ma):

$LAB^*LAB^*Ma$ : 35 63 30

$LAB^*LCH^*Ma$ : 35 70 25

$lab^*rgb^*Ma$ : 1.0 0.0 0.0

$lab^*olv^*Ma$ : 1.0 0.0 0.18

Dreiecks-Helligkeit  $i^*$

%Umfang

$u^*_{rel} = 109$

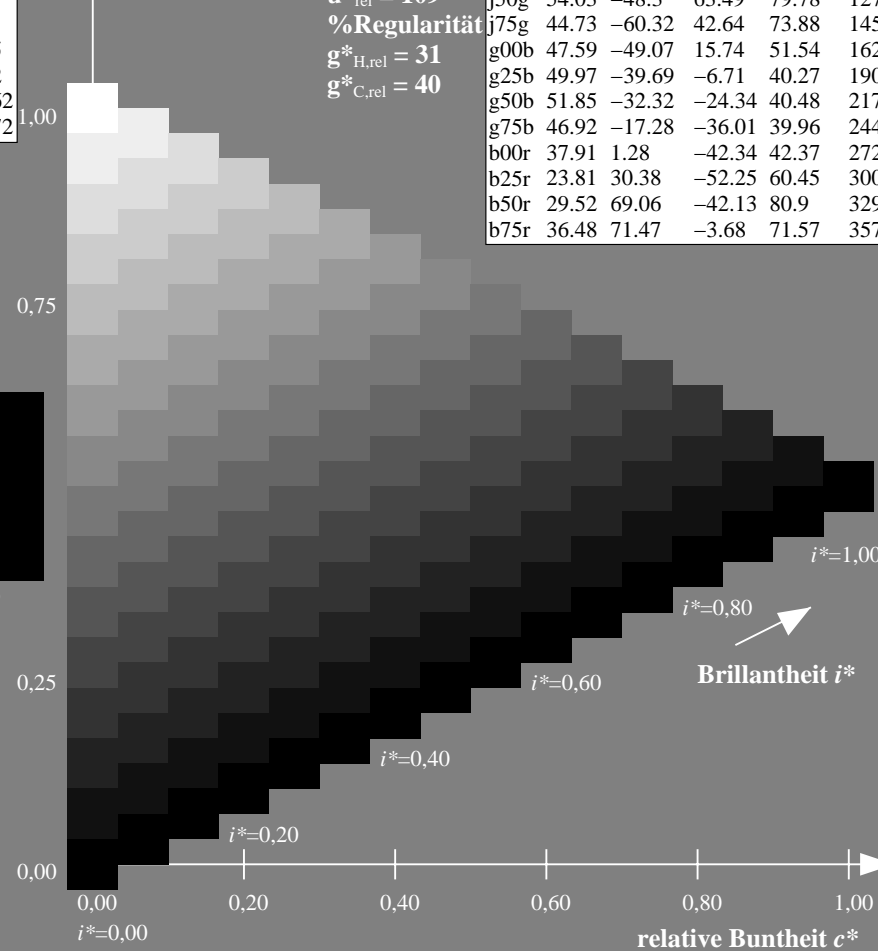
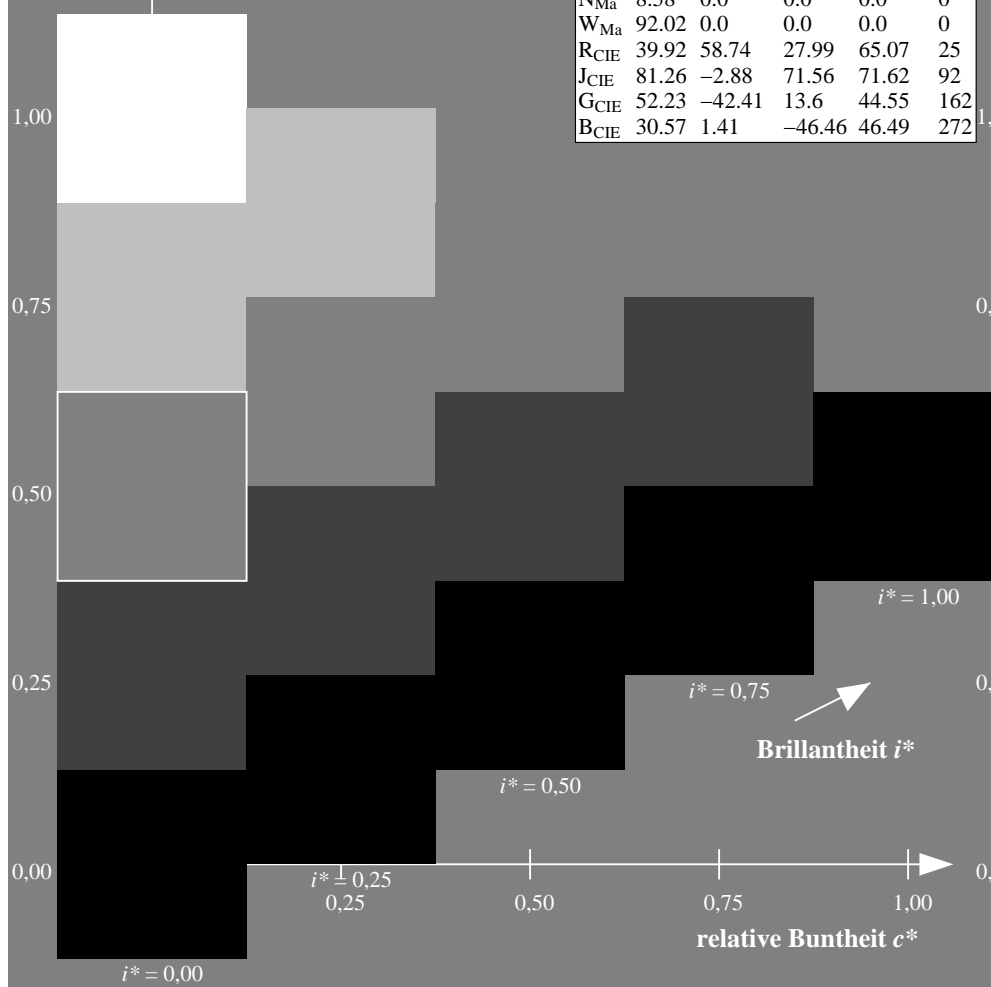
%Regularität

$g^*_{H,rel} = 31$

$g^*_{C,rel} = 40$

FRS09\_92a; adaptierte CIELAB-Daten

	$L^*=L_a^*$	$a_a^*$	$b_a^*$	$C_{ab,a}^*$	$h_{ab,a}^*$
r00j	35.47	63.32	30.17	70.15	25
r25j	39.12	54.56	49.45	73.64	42
r50j	50.64	39.15	64.89	75.79	59
r75j	64.01	21.26	82.83	85.52	76
j00g	83.18	-4.37	108.53	108.62	92
j25g	66.73	-29.88	83.06	88.28	110
j50g	54.03	-48.3	63.49	79.78	127
j75g	44.73	-60.32	42.64	73.88	145
g00b	47.59	-49.07	15.74	51.54	162
g25b	49.97	-39.69	-6.71	40.27	190
g50b	51.85	-32.32	-24.34	40.48	217
g75b	46.92	-17.28	-36.01	39.96	244
b00r	37.91	1.28	-42.34	42.37	272
b25r	23.81	30.38	-52.25	60.45	300
b50r	29.52	69.06	-42.13	80.9	329
b75r	36.48	71.47	-3.68	71.57	357





Ein und Ausgabe: Farbmetrisches Drucker-Reflektiv-System FRS09\_92a für relativen CIELAB-Buntton  $h^* = lab^*h^* = h_{ab}/360 = 42/360 = 0.117$

Daten für jede Farbe:

$lab^*ch^*$  und  $lab^*icu^*$

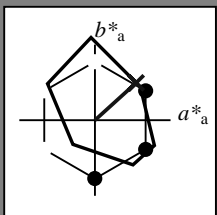
Elementar-Bunttontext:

$u^* = r25j$

Kontrastreduzierungsfaktor:

$c_R = 1.0$

Dreiecks-Helligkeit  $i^*$



FRS09\_92a; adaptierte CIELAB-Daten

	$L^*=L_a^*$	$a_a^*$	$b_a^*$	$C^*_{ab,a}$	$h^*_{ab,a}$
O <sub>Ma</sub>	35.06	60.0	44.0	74.4	36
Y <sub>Ma</sub>	83.77	-5.16	109.32	109.44	93
L <sub>Ma</sub>	44.13	-62.66	48.24	79.09	142
C <sub>Ma</sub>	52.66	-29.13	-31.98	43.27	228
V <sub>Ma</sub>	14.15	50.3	-59.03	77.57	310
M <sub>Ma</sub>	37.37	78.64	-33.49	85.48	337
N <sub>Ma</sub>	8.58	0.0	0.0	0.0	0
W <sub>Ma</sub>	92.02	0.0	0.0	0.0	0
R <sub>CIE</sub>	39.92	58.74	27.99	65.07	25
J <sub>CIE</sub>	81.26	-2.88	71.56	71.62	92
G <sub>CIE</sub>	52.23	-42.41	13.6	44.55	162
B <sub>CIE</sub>	30.57	1.41	-46.46	46.49	272

Daten für Maximalfarbe (Ma):

$LAB^*LAB^*_{Ma}$ : 39 55 49

$LAB^*LCH^*_{Ma}$ : 39 74 42

$lab^*rgb^*_{Ma}$ : 1.0 0.25 0.0

$lab^*olv^*_{Ma}$ : 1.0 0.08 0.0

Dreiecks-Helligkeit  $i^*$

%Umfang

$u^*_{rel} = 109$

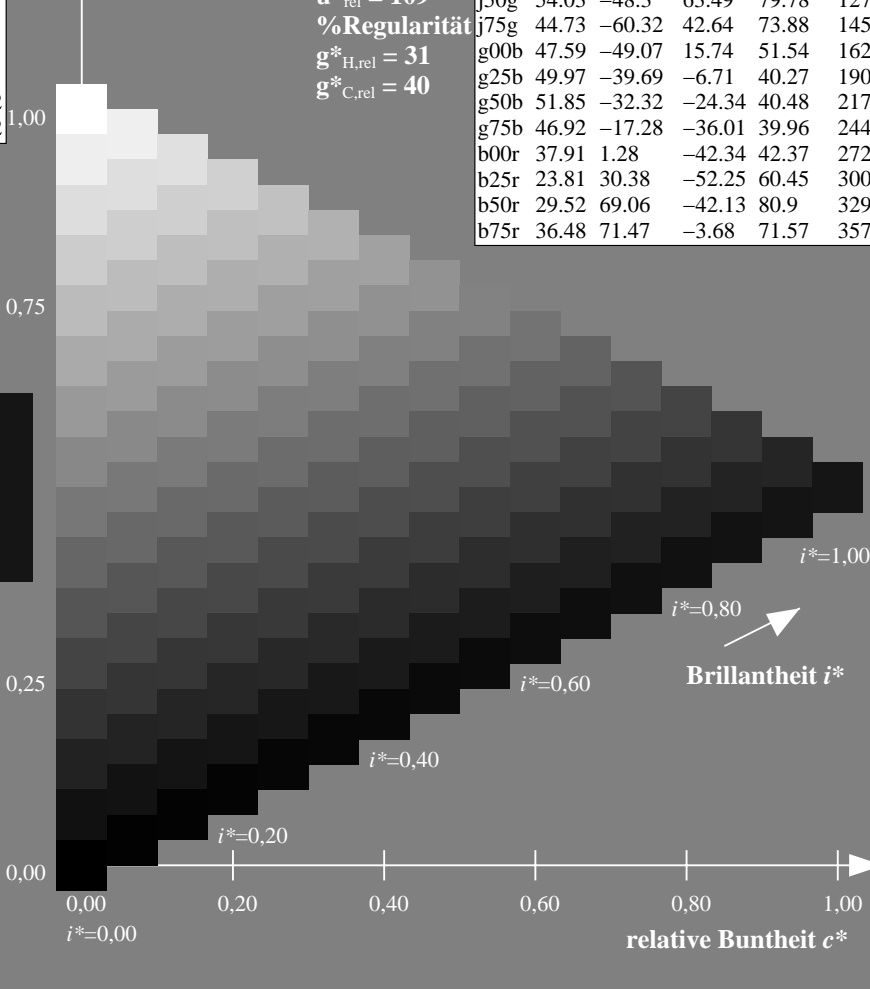
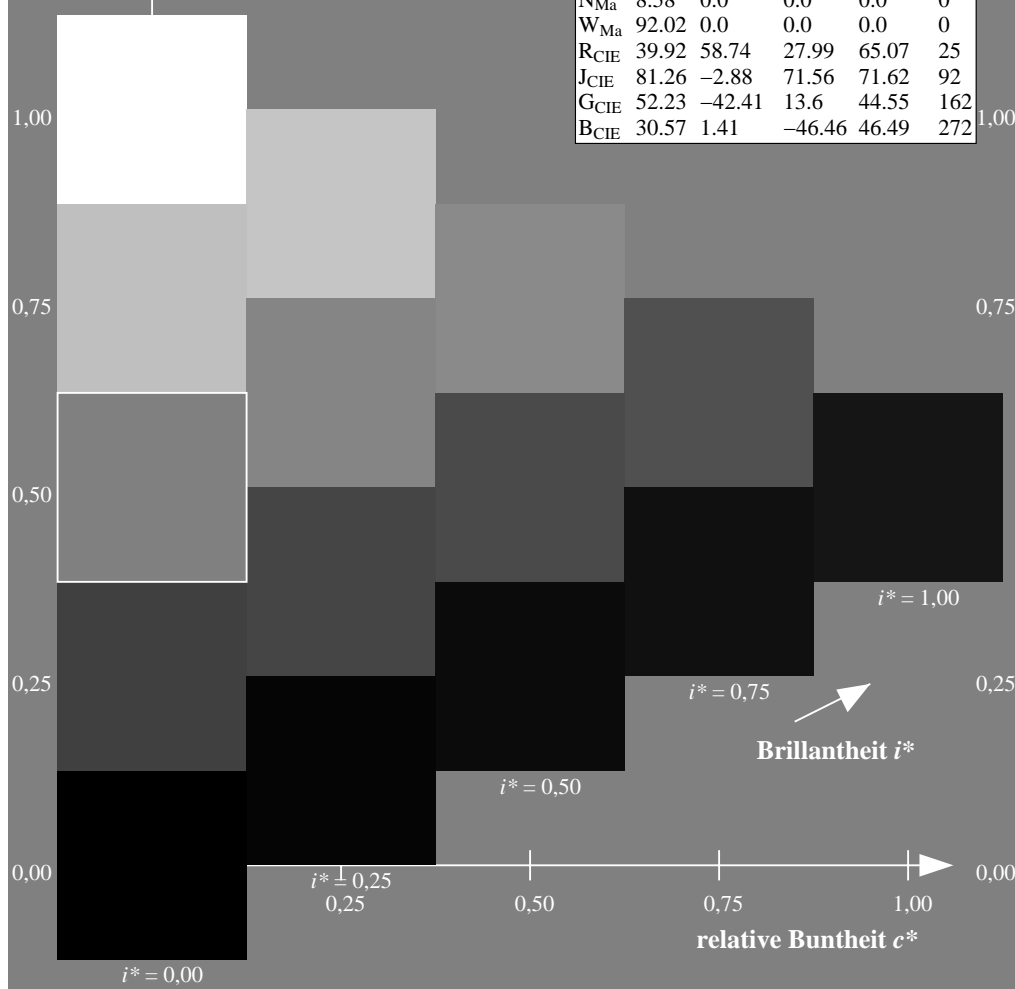
%Regularität

$g^*_{H,rel} = 31$

$g^*_{C,rel} = 40$

FRS09\_92a; adaptierte CIELAB-Daten

	$L^*=L_a^*$	$a_a^*$	$b_a^*$	$C^*_{ab,a}$	$h^*_{ab,a}$
r00j	35.47	63.32	30.17	70.15	25
r25j	39.12	54.56	49.45	73.64	42
r50j	50.64	39.15	64.89	75.79	59
r75j	64.01	21.26	82.83	85.52	76
j00g	83.18	-4.37	108.53	108.62	92
j25g	66.73	-29.88	83.06	88.28	110
j50g	54.03	-48.3	63.49	79.78	127
j75g	44.73	-60.32	42.64	73.88	145
g00b	47.59	-49.07	15.74	51.54	162
g25b	49.97	-39.69	-6.71	40.27	190
g50b	51.85	-32.32	-24.34	40.48	217
g75b	46.92	-17.28	-36.01	39.96	244
b00r	37.91	1.28	-42.34	42.37	272
b25r	23.81	30.38	-52.25	60.45	300
b50r	29.52	69.06	-42.13	80.9	329
b75r	36.48	71.47	-3.68	71.57	357



Ein und Ausgabe: Farbmetrisches Drucker-Reflektiv-System FRS09\_92a für relativen CIELAB-Buntton  $h^* = lab^*h^* = h_{ab}/360 = 59/360 = 0.164$

Daten für jede Farbe:

$lab^*ch^*$  und  $lab^*icu^*$

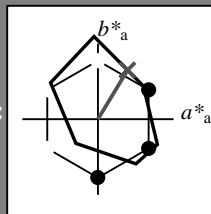
Elementar-Bunttontext:

$u^* = r50j$

Kontrastreduzierungsfaktor:

$c_R = 1.0$

Dreiecks-Helligkeit  $i^*$



FRS09\_92a; adaptierte CIELAB-Daten

	$L^*=L_a^*$	$a_a^*$	$b_a^*$	$C^*_{ab,a}$	$h^*_{ab,a}$
O <sub>Ma</sub>	35.06	60.0	44.0	74.4	36
Y <sub>Ma</sub>	83.77	-5.16	109.32	109.44	93
L <sub>Ma</sub>	44.13	-62.66	48.24	79.09	142
C <sub>Ma</sub>	52.66	-29.13	-31.98	43.27	228
V <sub>Ma</sub>	14.15	50.3	-59.03	77.57	310
M <sub>Ma</sub>	37.37	78.64	-33.49	85.48	337
N <sub>Ma</sub>	8.58	0.0	0.0	0.0	0
W <sub>Ma</sub>	92.02	0.0	0.0	0.0	0
R <sub>CIE</sub>	39.92	58.74	27.99	65.07	25
J <sub>CIE</sub>	81.26	-2.88	71.56	71.62	92
G <sub>CIE</sub>	52.23	-42.41	13.6	44.55	162
B <sub>CIE</sub>	30.57	1.41	-46.46	46.49	272

Daten für Maximalfarbe (Ma):

$LAB^*LAB^*_{Ma}$ : 51 39 65

$LAB^*LCH^*_{Ma}$ : 51 76 59

$lab^*rgb^*_{Ma}$ : 1.0 0.5 0.0

$lab^*olv^*_{Ma}$ : 1.0 0.32 0.0

Dreiecks-Helligkeit  $i^*$

%Umfang

$u^*_{rel} = 109$

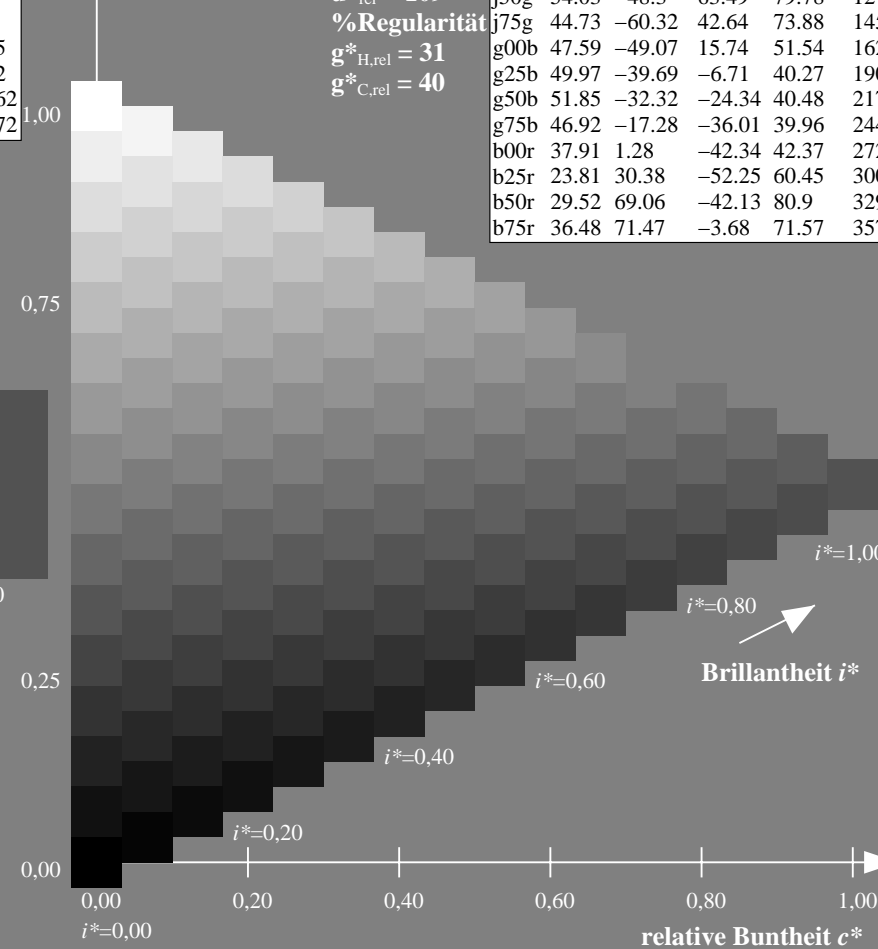
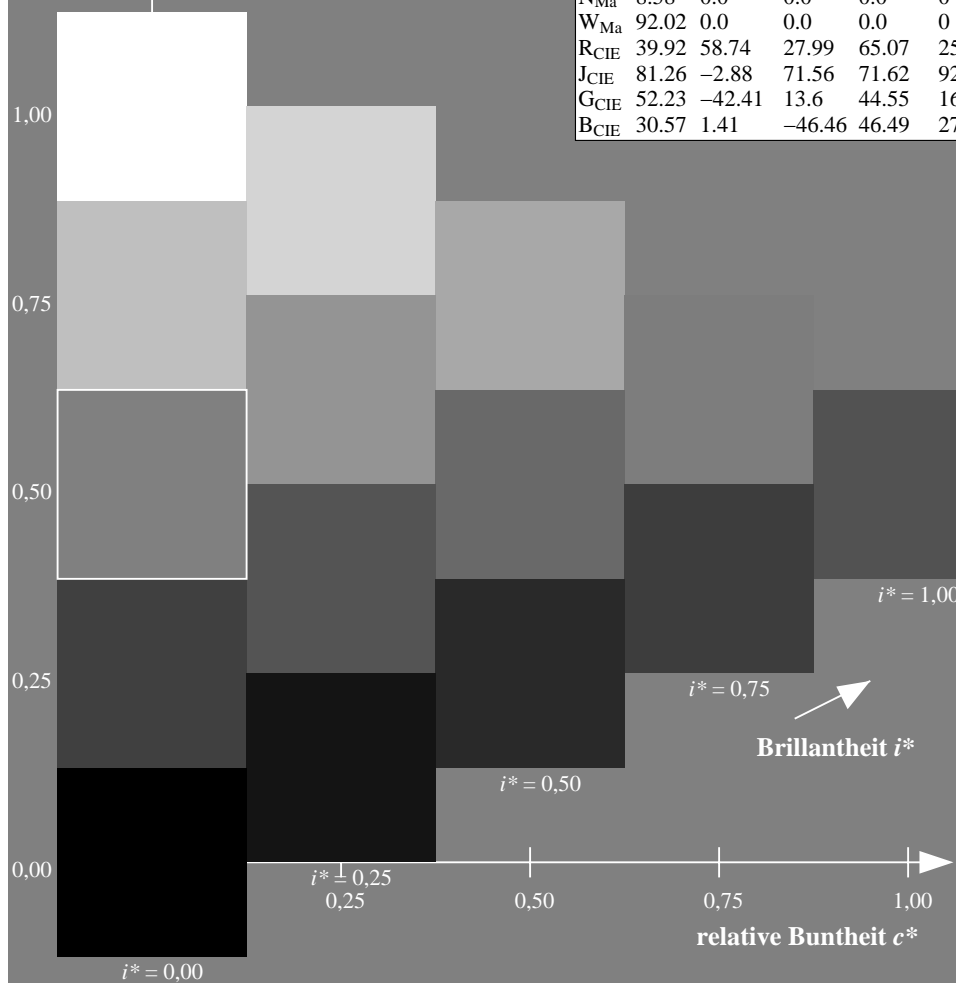
%Regularität

$g^*_{H,rel} = 31$

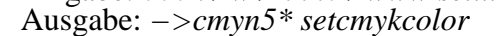
$g^*_{C,rel} = 40$

FRS09\_92a; adaptierte CIELAB-Daten

	$L^*=L_a^*$	$a_a^*$	$b_a^*$	$C^*_{ab,a}$	$h^*_{ab,a}$
r00j	35.47	63.32	30.17	70.15	25
r25j	39.12	54.56	49.45	73.64	42
r50j	50.64	39.15	64.89	75.79	59
r75j	64.01	21.26	82.83	85.52	76
j00g	83.18	-4.37	108.53	108.62	92
j25g	66.73	-29.88	83.06	88.28	110
j50g	54.03	-48.3	63.49	79.78	127
j75g	44.73	-60.32	42.64	73.88	145
g00b	47.59	-49.07	15.74	51.54	162
g25b	49.97	-39.69	-6.71	40.27	190
g50b	51.85	-32.32	-24.34	40.48	217
g75b	46.92	-17.28	-36.01	39.96	244
b00r	37.91	1.28	-42.34	42.37	272
b25r	23.81	30.38	-52.25	60.45	300
b50r	29.52	69.06	-42.13	80.9	329
b75r	36.48	71.47	-3.68	71.57	357



**Directs Strength:**



BAM-Registrierung: 20080701-Dg70/10L/L70G00NA.PS/.TXTBAM-Material: Code=rhata  
Anwendung für Beurteilung und Messung von Drucker- oder Monitorsystemen

Ein und Ausgabe: Farbmetrisches Drucker-Reflektiv-System FRS09\_92a für relativen CIELAB-Buntton  $h^* = lab^*h^* = h_{ab}/360 = 92/360 = 0.256$

Daten für jede Farbe:

$lab^*ch^*$  und  $lab^*icu^*$

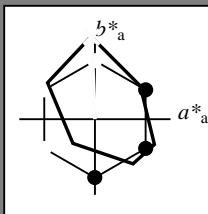
Elementar-Bunttonext:

$u^* = j00g$

Kontrastreduzierungsfaktor:

$c_R = 1.0$

Dreiecks-Helligkeit  $i^*$



FRS09\_92a; adaptierte CIELAB-Daten

	$L^*=L^*_a$	$a^*_a$	$b^*_a$	$C^*_{ab,a}$	$h^*_{ab,a}$
O <sub>Ma</sub>	35.06	60.0	44.0	74.4	36
Y <sub>Ma</sub>	83.77	-5.16	109.32	109.44	93
L <sub>Ma</sub>	44.13	-62.66	48.24	79.09	142
C <sub>Ma</sub>	52.66	-29.13	-31.98	43.27	228
V <sub>Ma</sub>	14.15	50.3	-59.03	77.57	310
M <sub>Ma</sub>	37.37	78.64	-33.49	85.48	337
N <sub>Ma</sub>	8.58	0.0	0.0	0.0	0
W <sub>Ma</sub>	92.02	0.0	0.0	0.0	0
R <sub>CIE</sub>	39.92	58.74	27.99	65.07	25
J <sub>CIE</sub>	81.26	-2.88	71.56	71.62	92
G <sub>CIE</sub>	52.23	-42.41	13.6	44.55	162
B <sub>CIE</sub>	30.57	1.41	-46.46	46.49	272

Daten für Maximalfarbe (Ma):

$LAB^*LAB^*_{Ma}$ : 83 -3 109

$LAB^*LCH^*_{Ma}$ : 83 109 92

$lab^*rgb^*_{Ma}$ : 1.0 1.0 0.0

$lab^*olv^*_{Ma}$ : 1.0 0.99 0.0

Dreiecks-Helligkeit  $i^*$

%Umfang

$u^*_{rel} = 109$

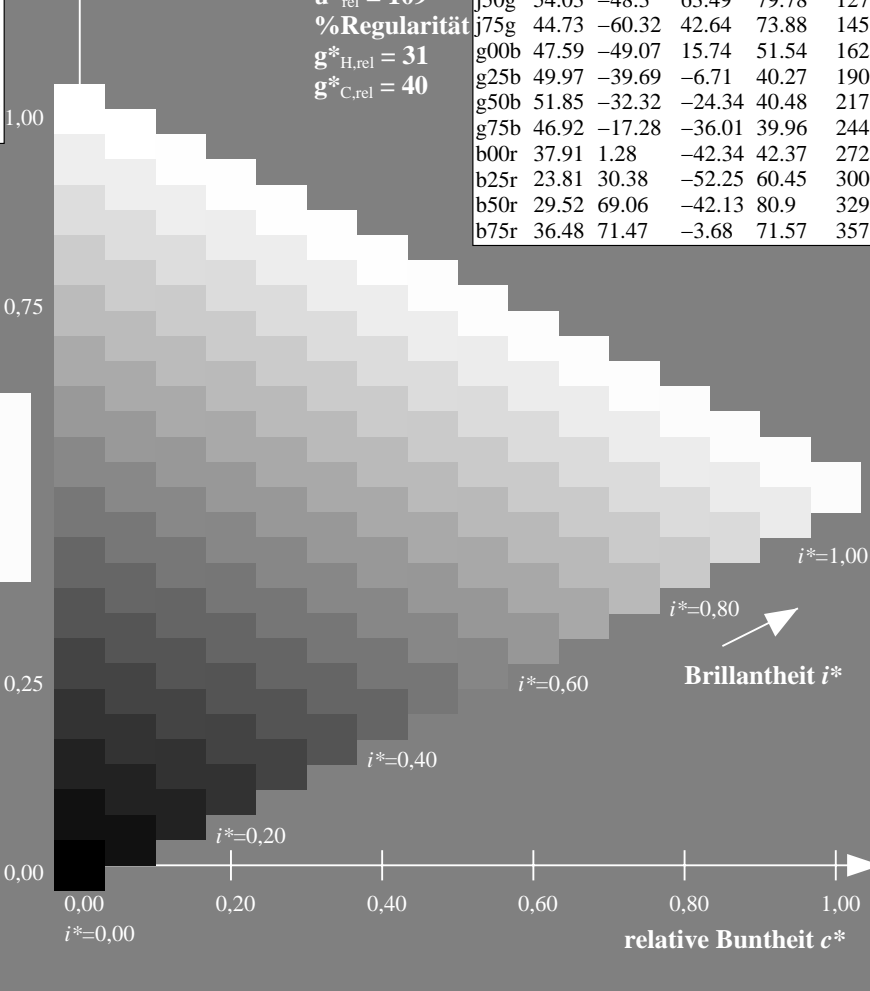
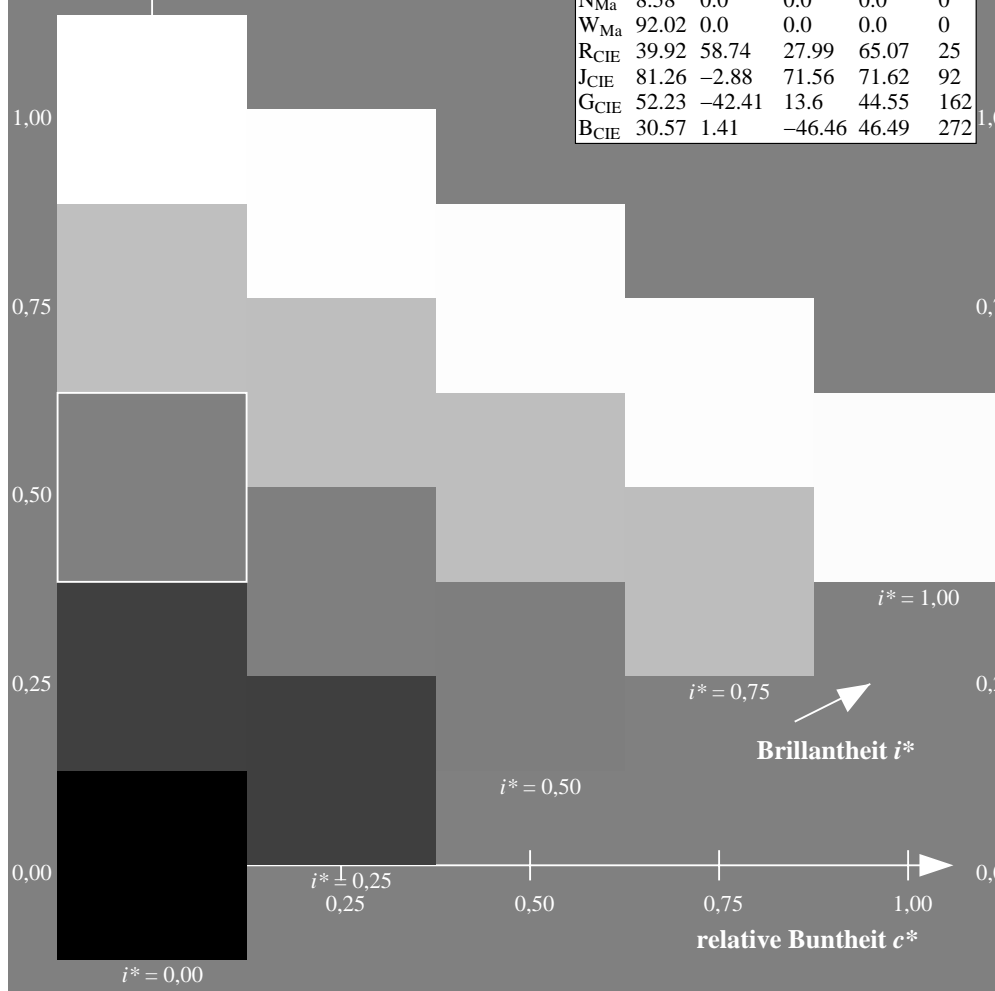
%Regularität

$g^*_{H,rel} = 31$

$g^*_{C,rel} = 40$

FRS09\_92a; adaptierte CIELAB-Daten

	$L^*=L^*_a$	$a^*_a$	$b^*_a$	$C^*_{ab,a}$	$h^*_{ab,a}$
r00j	35.47	63.32	30.17	70.15	25
r25j	39.12	54.56	49.45	73.64	42
r50j	50.64	39.15	64.89	75.79	59
r75j	64.01	21.26	82.83	85.52	76
j00g	83.18	-4.37	108.53	108.62	92
j25g	66.73	-29.88	83.06	88.28	110
j50g	54.03	-48.3	63.49	79.78	127
j75g	44.73	-60.32	42.64	73.88	145
g00b	47.59	-49.07	15.74	51.54	162
g25b	49.97	-39.69	-6.71	40.27	190
g50b	51.85	-32.32	-24.34	40.48	217
g75b	46.92	-17.28	-36.01	39.96	244
b00r	37.91	1.28	-42.34	42.37	272
b25r	23.81	30.38	-52.25	60.45	300
b50r	29.52	69.06	-42.13	80.9	329
b75r	36.48	71.47	-3.68	71.57	357



Ein und Ausgabe: Farbmetrisches Drucker-Reflektiv-System FRS09\_92a für relativen CIELAB-Buntton  $h^* = lab^*h^* = h_{ab}/360 = 110/360 = 0.305$

Daten für jede Farbe:

$lab^*ch^*$  und  $lab^*icu^*$

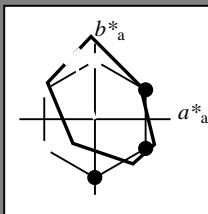
Elementar-Bunttonext:

$u^* = j25g$

Kontrastreduzierungsfaktor:

$c_R = 1.0$

Dreiecks-Helligkeit  $i^*$



FRS09\_92a; adaptierte CIELAB-Daten

	$L^*=L_a^*$	$a_a^*$	$b_a^*$	$C_{ab,a}^*$	$h_{ab,a}^*$
O <sub>Ma</sub>	35.06	60.0	44.0	74.4	36
Y <sub>Ma</sub>	83.77	-5.16	109.32	109.44	93
L <sub>Ma</sub>	44.13	-62.66	48.24	79.09	142
C <sub>Ma</sub>	52.66	-29.13	-31.98	43.27	228
V <sub>Ma</sub>	14.15	50.3	-59.03	77.57	310
M <sub>Ma</sub>	37.37	78.64	-33.49	85.48	337
N <sub>Ma</sub>	8.58	0.0	0.0	0.0	0
W <sub>Ma</sub>	92.02	0.0	0.0	0.0	0
R <sub>CIE</sub>	39.92	58.74	27.99	65.07	25
J <sub>CIE</sub>	81.26	-2.88	71.56	71.62	92
G <sub>CIE</sub>	52.23	-42.41	13.6	44.55	162
B <sub>CIE</sub>	30.57	1.41	-46.46	46.49	272

Daten für Maximalfarbe (Ma):

$LAB^*LAB^*_{Ma}$ : 67 -29 83

$LAB^*LCH^*_{Ma}$ : 67 88 110

$lab^*rgb^*_{Ma}$ : 0.75 1.0 0.0

$lab^*olv^*_{Ma}$ : 0.57 1.0 0.0

Dreiecks-Helligkeit  $i^*$

%Umfang

$u^*_{rel} = 109$

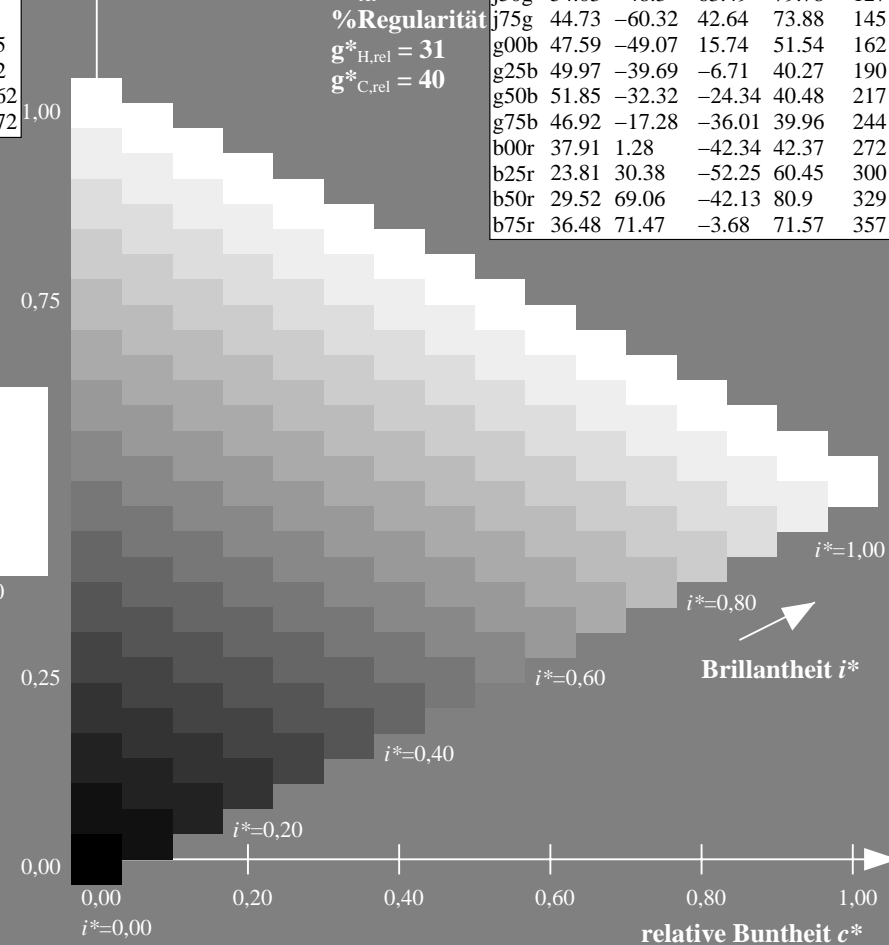
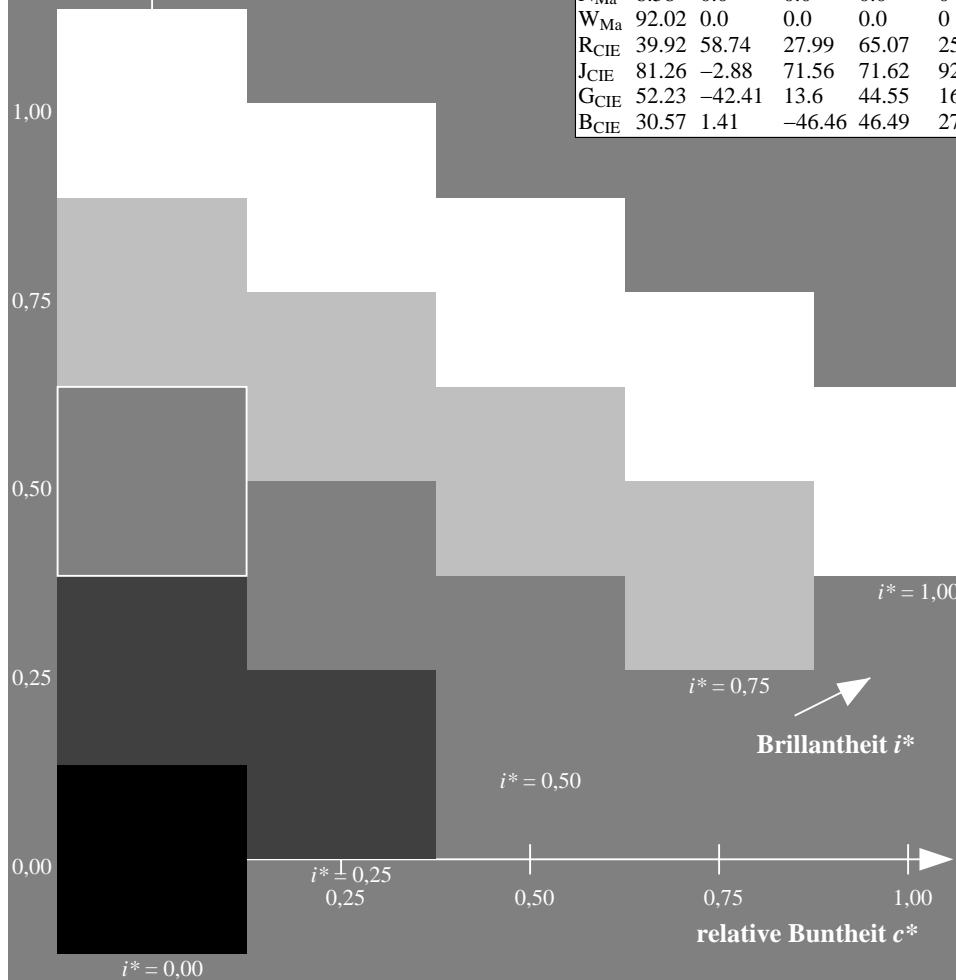
%Regularität

$g^*_{H,rel} = 31$

$g^*_{C,rel} = 40$

FRS09\_92a; adaptierte CIELAB-Daten

	$L^*=L_a^*$	$a_a^*$	$b_a^*$	$C_{ab,a}^*$	$h_{ab,a}^*$
r00j	35.47	63.32	30.17	70.15	25
r25j	39.12	54.56	49.45	73.64	42
r50j	50.64	39.15	64.89	75.79	59
r75j	64.01	21.26	82.83	85.52	76
j00g	83.18	-4.37	108.53	108.62	92
j25g	66.73	-29.88	83.06	88.28	110
j50g	54.03	-48.3	63.49	79.78	127
j75g	44.73	-60.32	42.64	73.88	145
g00b	47.59	-49.07	15.74	51.54	162
g25b	49.97	-39.69	-6.71	40.27	190
g50b	51.85	-32.32	-24.34	40.48	217
g75b	46.92	-17.28	-36.01	39.96	244
b00r	37.91	1.28	-42.34	42.37	272
b25r	23.81	30.38	-52.25	60.45	300
b50r	29.52	69.06	-42.13	80.9	329
b75r	36.48	71.47	-3.68	71.57	357



Ein und Ausgabe: Farbmetrisches Drucker-Reflektiv-System FRS09\_92a für relativen CIELAB-Buntton  $h^* = lab^*h^* = h_{ab}/360 = 127/360 = 0.354$

Daten für jede Farbe:

$lab^*ch^*$  und  $lab^*icu^*$

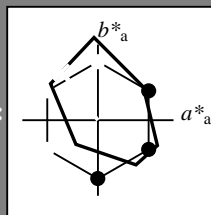
Elementar-Bunttonext:

$u^* = j50g$

Kontrastreduzierungsfaktor:

$c_R = 1.0$

Dreiecks-Helligkeit  $i^*$



FRS09\_92a; adaptierte CIELAB-Daten

	$L^*=L_a^*$	$a_a^*$	$b_a^*$	$C_{ab,a}^*$	$h_{ab,a}^*$
O <sub>Ma</sub>	35.06	60.0	44.0	74.4	36
Y <sub>Ma</sub>	83.77	-5.16	109.32	109.44	93
L <sub>Ma</sub>	44.13	-62.66	48.24	79.09	142
C <sub>Ma</sub>	52.66	-29.13	-31.98	43.27	228
V <sub>Ma</sub>	14.15	50.3	-59.03	77.57	310
M <sub>Ma</sub>	37.37	78.64	-33.49	85.48	337
N <sub>Ma</sub>	8.58	0.0	0.0	0.0	0
W <sub>Ma</sub>	92.02	0.0	0.0	0.0	0
R <sub>CIE</sub>	39.92	58.74	27.99	65.07	25
J <sub>CIE</sub>	81.26	-2.88	71.56	71.62	92
G <sub>CIE</sub>	52.23	-42.41	13.6	44.55	162
B <sub>CIE</sub>	30.57	1.41	-46.46	46.49	272

Daten für Maximalfarbe (Ma):

$LAB^*LAB^*_{Ma}$ : 54 -47 63

$LAB^*LCH^*_{Ma}$ : 54 80 127

$lab^*rgb^*_{Ma}$ : 0.5 1.0 0.0

$lab^*olv^*_{Ma}$ : 0.25 1.0 0.0

Dreiecks-Helligkeit  $i^*$

%Umfang

$u^*_{rel} = 109$

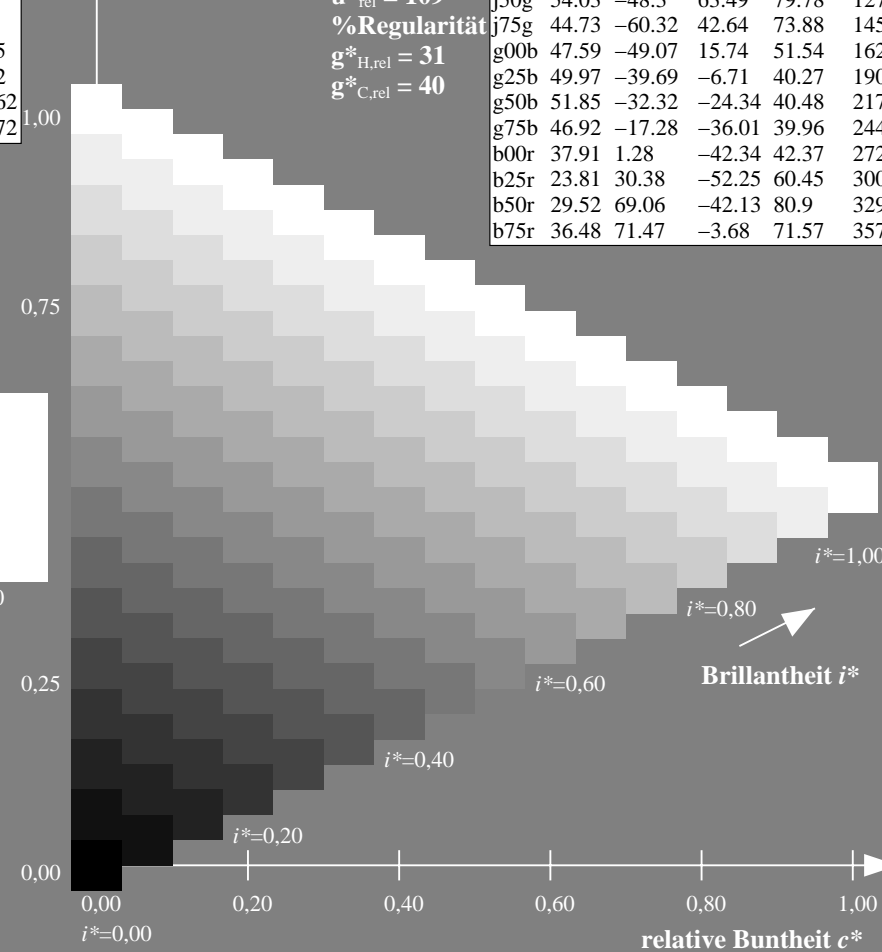
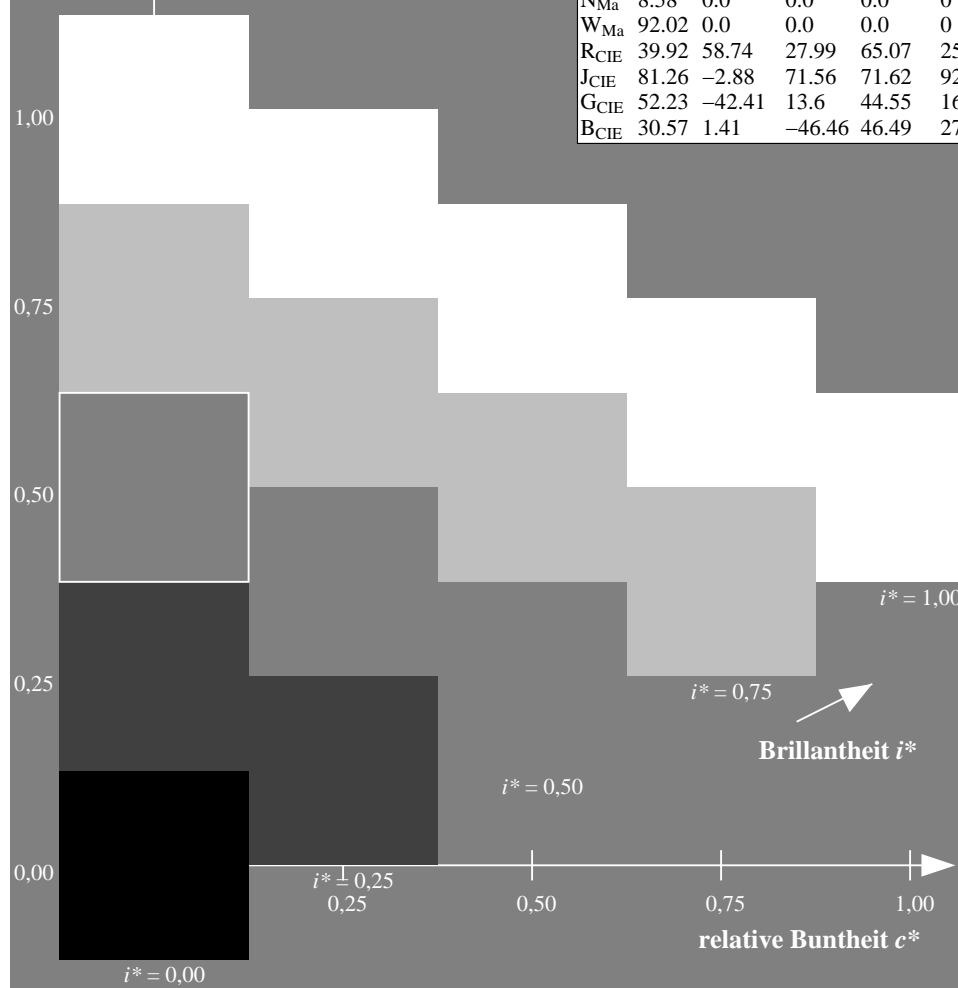
%Regularität

$g^*_{H,rel} = 31$

$g^*_{C,rel} = 40$

FRS09\_92a; adaptierte CIELAB-Daten

	$L^*=L_a^*$	$a_a^*$	$b_a^*$	$C_{ab,a}^*$	$h_{ab,a}^*$
r00j	35.47	63.32	30.17	70.15	25
r25j	39.12	54.56	49.45	73.64	42
r50j	50.64	39.15	64.89	75.79	59
r75j	64.01	21.26	82.83	85.52	76
j00g	83.18	-4.37	108.53	108.62	92
j25g	66.73	-29.88	83.06	88.28	110
j50g	54.03	-48.3	63.49	79.78	127
j75g	44.73	-60.32	42.64	73.88	145
g00b	47.59	-49.07	15.74	51.54	162
g25b	49.97	-39.69	-6.71	40.27	190
g50b	51.85	-32.32	-24.34	40.48	217
g75b	46.92	-17.28	-36.01	39.96	244
b00r	37.91	1.28	-42.34	42.37	272
b25r	23.81	30.38	-52.25	60.45	300
b50r	29.52	69.06	-42.13	80.9	329
b75r	36.48	71.47	-3.68	71.57	357





Ein und Ausgabe: Farbmetrisches Drucker-Reflektiv-System FRS09\_92a für relativen CIELAB-Buntton  $h^* = lab^*h^* = h_{ab}/360 = 145/360 = 0.402$

Daten für jede Farbe:

$lab^*ch^*$  und  $lab^*icu^*$

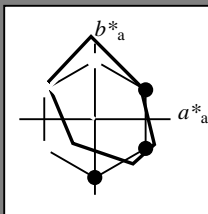
Elementar-Bunttonext:

$u^* = j75g$

Kontrastreduzierungsfaktor:

$c_R = 1.0$

Dreiecks-Helligkeit  $i^*$



FRS09\_92a; adaptierte CIELAB-Daten

	$L^*=L_a^*$	$a_a^*$	$b_a^*$	$C_{ab,a}^*$	$h_{ab,a}^*$
O <sub>Ma</sub>	35.06	60.0	44.0	74.4	36
Y <sub>Ma</sub>	83.77	-5.16	109.32	109.44	93
L <sub>Ma</sub>	44.13	-62.66	48.24	79.09	142
C <sub>Ma</sub>	52.66	-29.13	-31.98	43.27	228
V <sub>Ma</sub>	14.15	50.3	-59.03	77.57	310
M <sub>Ma</sub>	37.37	78.64	-33.49	85.48	337
N <sub>Ma</sub>	8.58	0.0	0.0	0.0	0
W <sub>Ma</sub>	92.02	0.0	0.0	0.0	0
R <sub>CIE</sub>	39.92	58.74	27.99	65.07	25
J <sub>CIE</sub>	81.26	-2.88	71.56	71.62	92
G <sub>CIE</sub>	52.23	-42.41	13.6	44.55	162
B <sub>CIE</sub>	30.57	1.41	-46.46	46.49	272

Daten für Maximalfarbe (Ma):

$LAB^*LAB^*_{Ma}$ : 45 -59 43

$LAB^*LCH^*_{Ma}$ : 45 74 145

$lab^*rgb^*_{Ma}$ : 0.25 1.0 0.0

$lab^*olv^*_{Ma}$ : 0.0 1.0 0.07

Dreiecks-Helligkeit  $i^*$

%Umfang

$u^*_{rel} = 109$

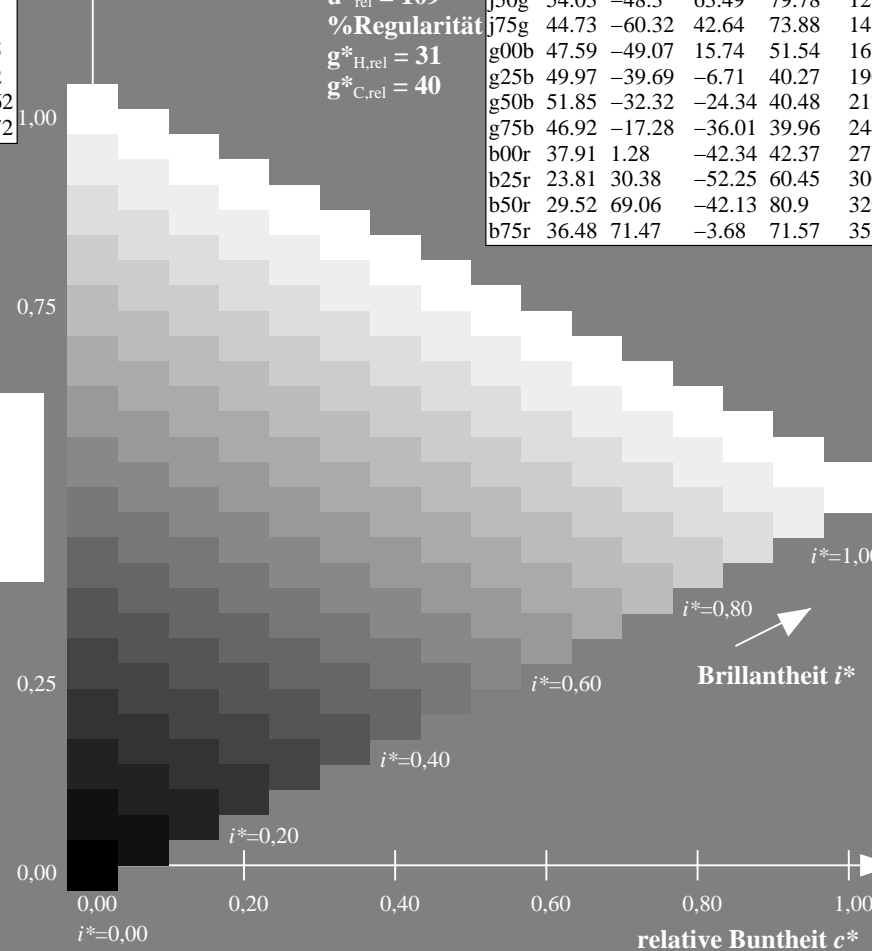
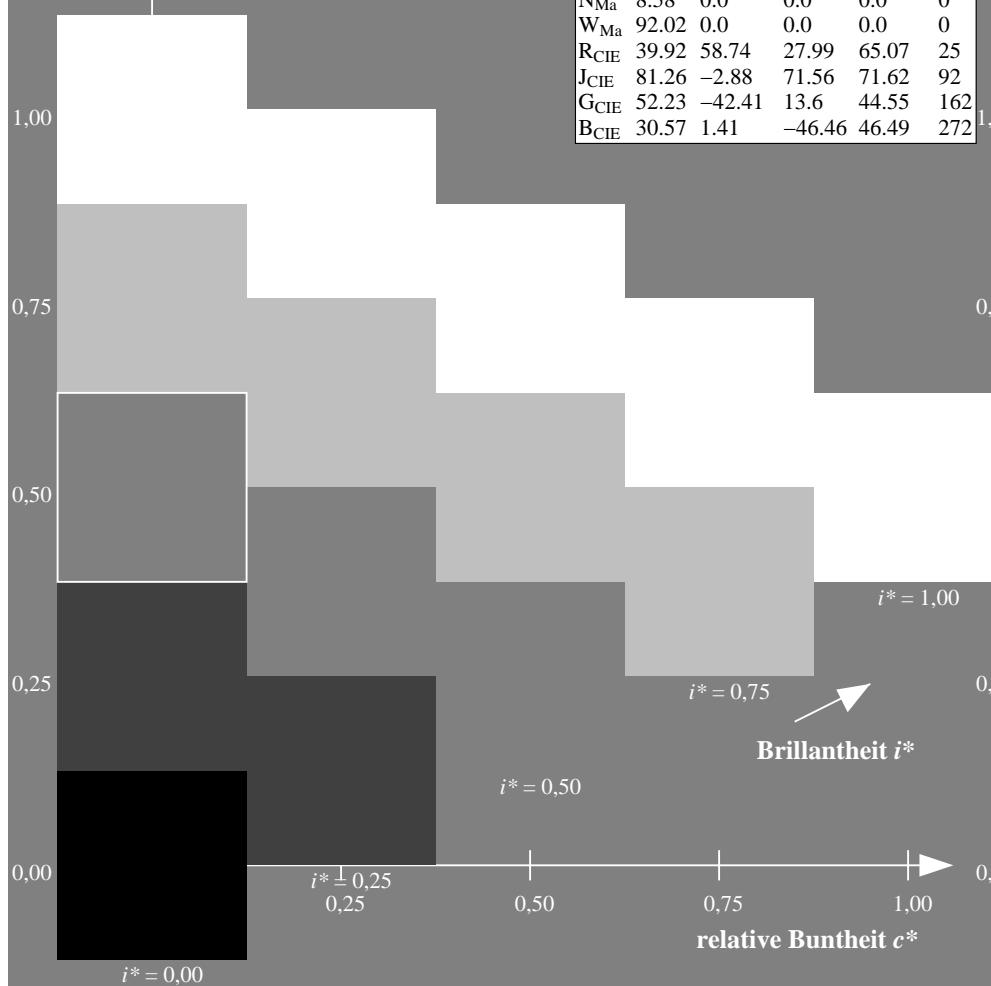
%Regularität

$g^*_{H,rel} = 31$

$g^*_{C,rel} = 40$

FRS09\_92a; adaptierte CIELAB-Daten

	$L^*=L_a^*$	$a_a^*$	$b_a^*$	$C_{ab,a}^*$	$h_{ab,a}^*$
r00j	35.47	63.32	30.17	70.15	25
r25j	39.12	54.56	49.45	73.64	42
r50j	50.64	39.15	64.89	75.79	59
r75j	64.01	21.26	82.83	85.52	76
j00g	83.18	-4.37	108.53	108.62	92
j25g	66.73	-29.88	83.06	88.28	110
j50g	54.03	-48.3	63.49	79.78	127
j75g	44.73	-60.32	42.64	73.88	145
g00b	47.59	-49.07	15.74	51.54	162
g25b	49.97	-39.69	-6.71	40.27	190
g50b	51.85	-32.32	-24.34	40.48	217
g75b	46.92	-17.28	-36.01	39.96	244
b00r	37.91	1.28	-42.34	42.37	272
b25r	23.81	30.38	-52.25	60.45	300
b50r	29.52	69.06	-42.13	80.9	329
b75r	36.48	71.47	-3.68	71.57	357



Ein und Ausgabe: Farbmetrisches Drucker-Reflektiv-System FRS09\_92a für relativen CIELAB-Buntton  $h^* = lab^*h^* = h_{ab}/360 = 162/360 = 0.451$

Daten für jede Farbe:

$lab^*ch^*$  und  $lab^*icu^*$

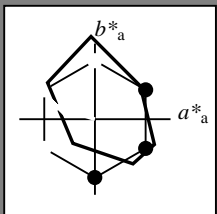
Elementar-Bunttonext:

$u^* = g00b$

Kontrastreduzierungsfaktor:

$c_R = 1.0$

Dreiecks-Helligkeit  $i^*$



FRS09\_92a; adaptierte CIELAB-Daten

	$L^*=L_a^*$	$a_a^*$	$b_a^*$	$C_{ab,a}^*$	$h_{ab,a}^*$
O <sub>Ma</sub>	35.06	60.0	44.0	74.4	36
Y <sub>Ma</sub>	83.77	-5.16	109.32	109.44	93
L <sub>Ma</sub>	44.13	-62.66	48.24	79.09	142
C <sub>Ma</sub>	52.66	-29.13	-31.98	43.27	228
V <sub>Ma</sub>	14.15	50.3	-59.03	77.57	310
M <sub>Ma</sub>	37.37	78.64	-33.49	85.48	337
N <sub>Ma</sub>	8.58	0.0	0.0	0.0	0
W <sub>Ma</sub>	92.02	0.0	0.0	0.0	0
R <sub>CIE</sub>	39.92	58.74	27.99	65.07	25
J <sub>CIE</sub>	81.26	-2.88	71.56	71.62	92
G <sub>CIE</sub>	52.23	-42.41	13.6	44.55	162
B <sub>CIE</sub>	30.57	1.41	-46.46	46.49	272

Daten für Maximalfarbe (Ma):

$LAB^*LAB^*_{Ma}$ : 48 -48 16

$LAB^*LCH^*_{Ma}$ : 48 52 162

$lab^*rgb^*_{Ma}$ : 0.0 1.0 0.0

$lab^*olv^*_{Ma}$ : 0.0 1.0 0.41

Dreiecks-Helligkeit  $i^*$

%Umfang

$u^*_{rel} = 109$

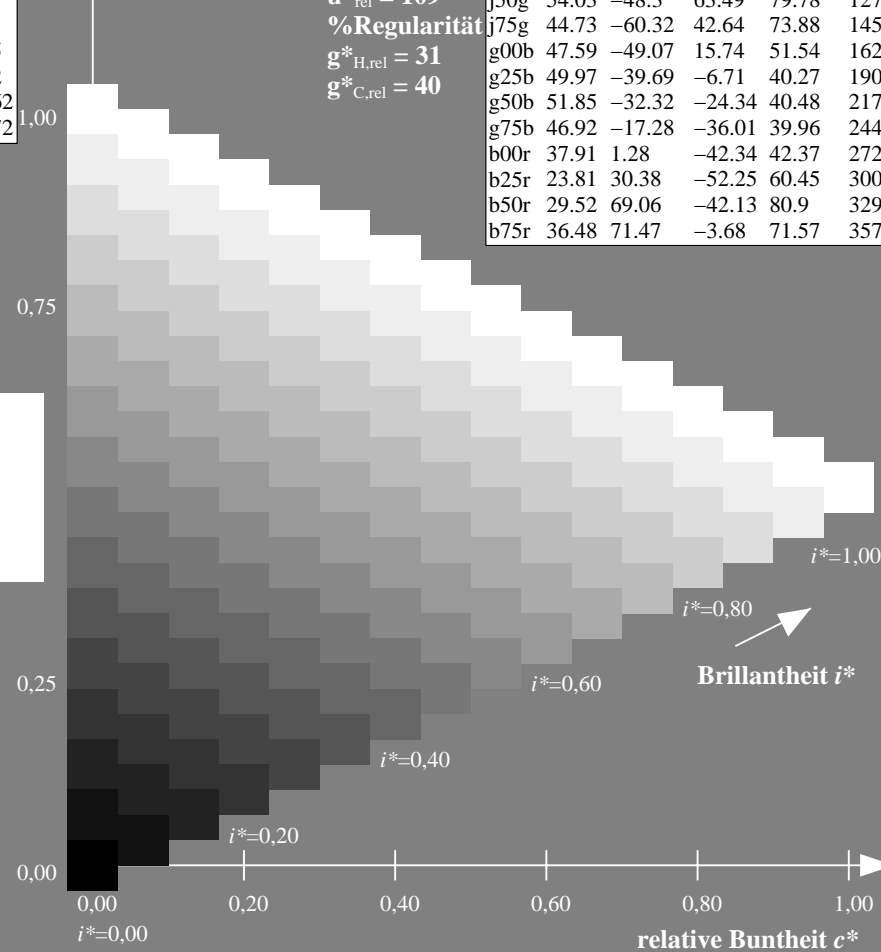
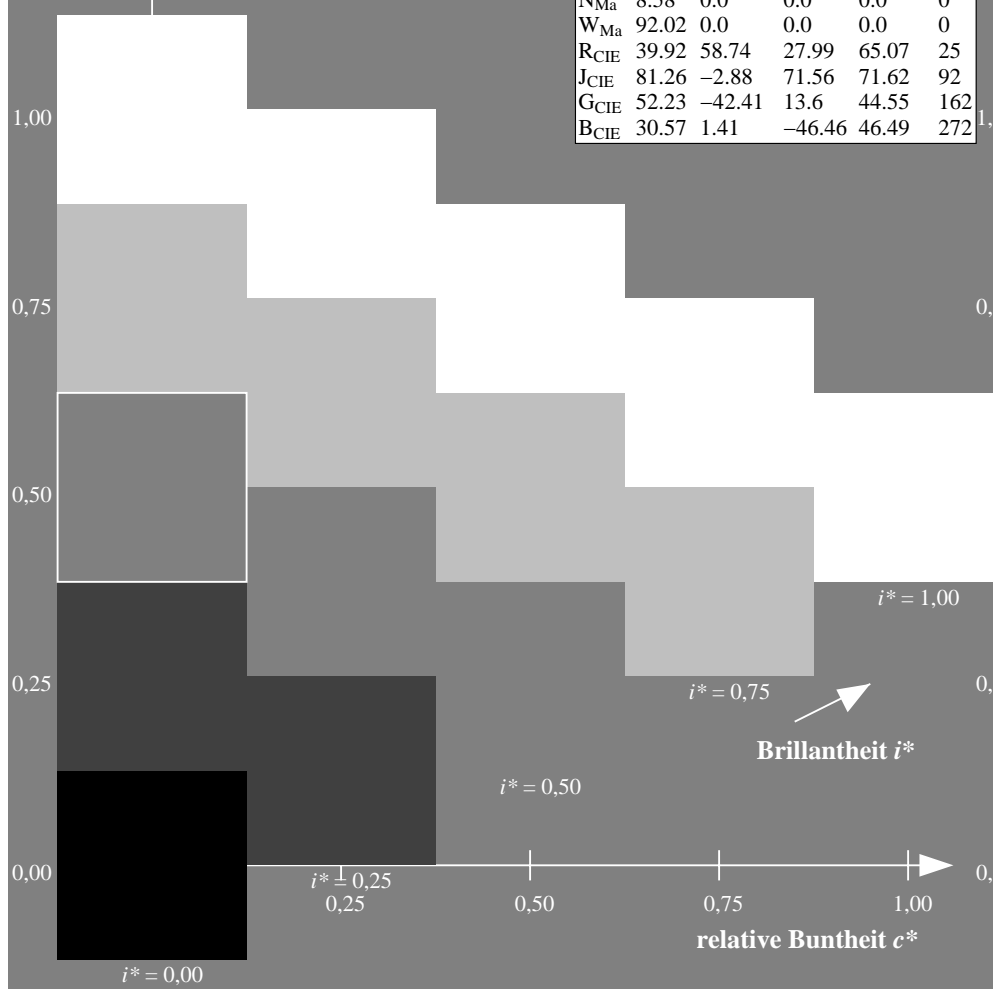
%Regularität

$g^*_{H,rel} = 31$

$g^*_{C,rel} = 40$

FRS09\_92a; adaptierte CIELAB-Daten

	$L^*=L_a^*$	$a_a^*$	$b_a^*$	$C_{ab,a}^*$	$h_{ab,a}^*$
r00j	35.47	63.32	30.17	70.15	25
r25j	39.12	54.56	49.45	73.64	42
r50j	50.64	39.15	64.89	75.79	59
r75j	64.01	21.26	82.83	85.52	76
j00g	83.18	-4.37	108.53	108.62	92
j25g	66.73	-29.88	83.06	88.28	110
j50g	54.03	-48.3	63.49	79.78	127
j75g	44.73	-60.32	42.64	73.88	145
g00b	47.59	-49.07	15.74	51.54	162
g25b	49.97	-39.69	-6.71	40.27	190
g50b	51.85	-32.32	-24.34	40.48	217
g75b	46.92	-17.28	-36.01	39.96	244
b00r	37.91	1.28	-42.34	42.37	272
b25r	23.81	30.38	-52.25	60.45	300
b50r	29.52	69.06	-42.13	80.9	329
b75r	36.48	71.47	-3.68	71.57	357



Ein und Ausgabe: Farbmetrisches Drucker-Reflektiv-System FRS09\_92a für relativen CIELAB-Buntton  $h^* = lab^*h^* = h_{ab}/360 = 190/360 = 0.527$

Daten für jede Farbe:

$lab^*ch^*$  und  $lab^*icu^*$

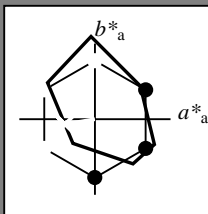
Elementar-Bunttontext:

$u^* = g25b$

Kontrastreduzierungsfaktor:

$c_R = 1.0$

Dreiecks-Helligkeit  $i^*$



FRS09\_92a; adaptierte CIELAB-Daten

	$L^*=L_a^*$	$a_a^*$	$b_a^*$	$C_{ab,a}^*$	$h_{ab,a}^*$
O <sub>Ma</sub>	35.06	60.0	44.0	74.4	36
Y <sub>Ma</sub>	83.77	-5.16	109.32	109.44	93
L <sub>Ma</sub>	44.13	-62.66	48.24	79.09	142
C <sub>Ma</sub>	52.66	-29.13	-31.98	43.27	228
V <sub>Ma</sub>	14.15	50.3	-59.03	77.57	310
M <sub>Ma</sub>	37.37	78.64	-33.49	85.48	337
N <sub>Ma</sub>	8.58	0.0	0.0	0.0	0
W <sub>Ma</sub>	92.02	0.0	0.0	0.0	0
R <sub>CIE</sub>	39.92	58.74	27.99	65.07	25
J <sub>CIE</sub>	81.26	-2.88	71.56	71.62	92
G <sub>CIE</sub>	52.23	-42.41	13.6	44.55	162
B <sub>CIE</sub>	30.57	1.41	-46.46	46.49	272

Daten für Maximalfarbe (Ma):

$LAB^*LAB^*Ma$ : 50 -39 -6

$LAB^*LCH^*Ma$ : 50 40 190

$lab^*rgb^*Ma$ : 0.0 1.0 0.5

$lab^*olv^*Ma$ : 0.0 1.0 0.69

Dreiecks-Helligkeit  $i^*$

%Umfang

$u^*_{rel} = 109$

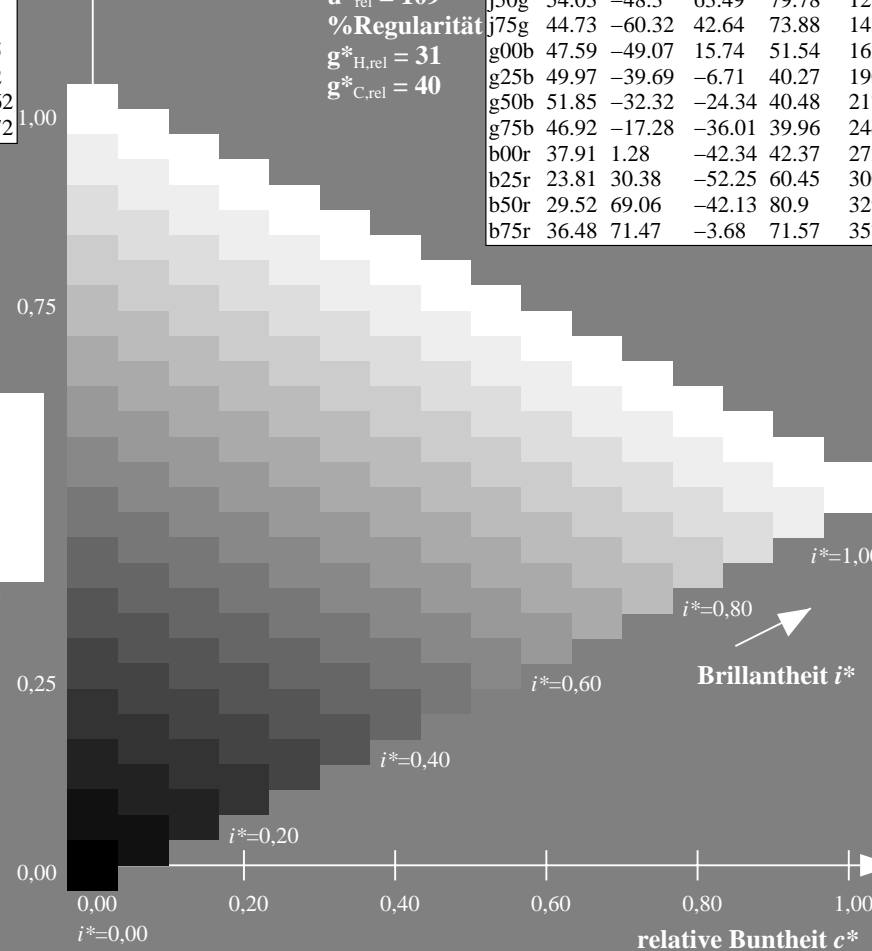
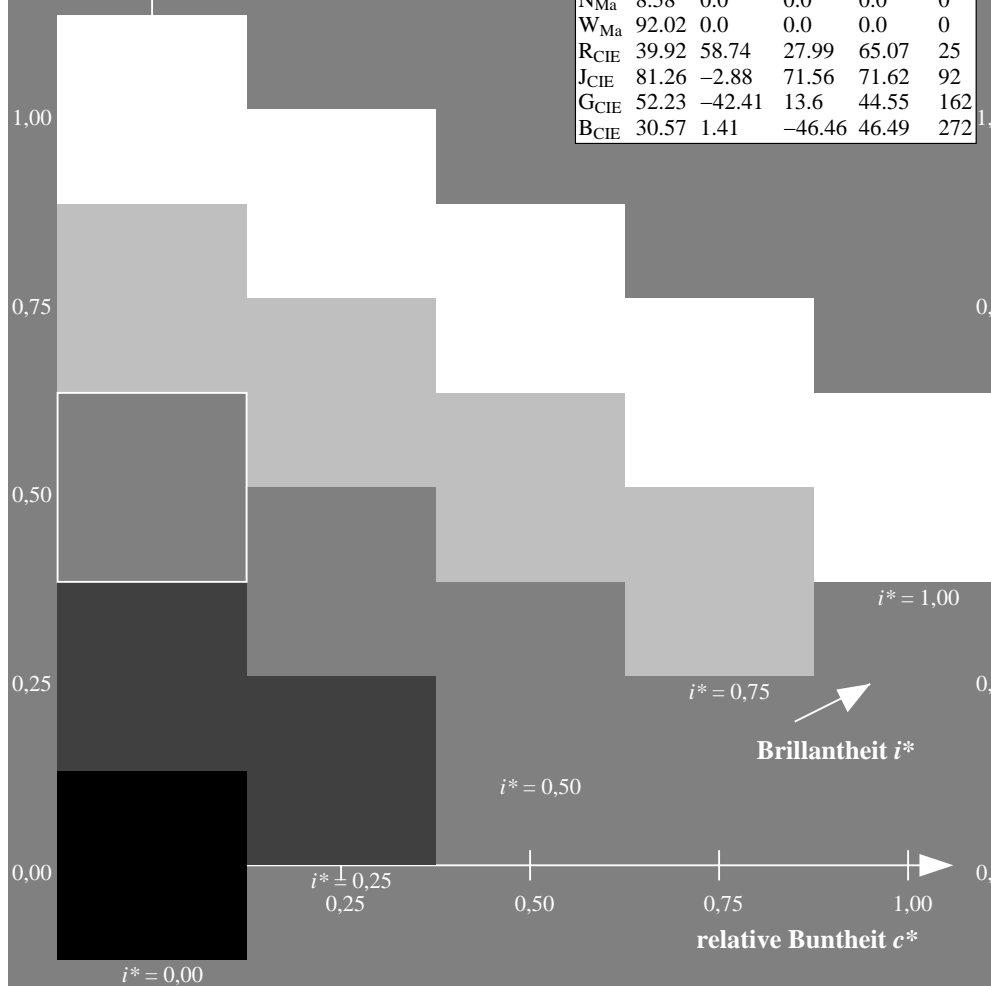
%Regularität

$g^*_{H,rel} = 31$

$g^*_{C,rel} = 40$

FRS09\_92a; adaptierte CIELAB-Daten

	$L^*=L_a^*$	$a_a^*$	$b_a^*$	$C_{ab,a}^*$	$h_{ab,a}^*$
r00j	35.47	63.32	30.17	70.15	25
r25j	39.12	54.56	49.45	73.64	42
r50j	50.64	39.15	64.89	75.79	59
r75j	64.01	21.26	82.83	85.52	76
j00g	83.18	-4.37	108.53	108.62	92
j25g	66.73	-29.88	83.06	88.28	110
j50g	54.03	-48.3	63.49	79.78	127
j75g	44.73	-60.32	42.64	73.88	145
g00b	47.59	-49.07	15.74	51.54	162
g25b	49.97	-39.69	-6.71	40.27	190
g50b	51.85	-32.32	-24.34	40.48	217
g75b	46.92	-17.28	-36.01	39.96	244
b00r	37.91	1.28	-42.34	42.37	272
b25r	23.81	30.38	-52.25	60.45	300
b50r	29.52	69.06	-42.13	80.9	329
b75r	36.48	71.47	-3.68	71.57	357



Ein und Ausgabe: Farbmetrisches Drucker-Reflektiv-System FRS09\_92a für relativen CIELAB-Buntton  $h^* = lab^*h^* = h_{ab}/360 = 217/360 = 0.603$

Daten für jede Farbe:

$lab^*ch^*$  und  $lab^*icu^*$

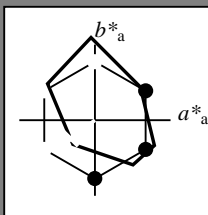
Elementar-Bunttontext:

$u^* = g50b$

Kontrastreduzierungsfaktor:

$c_R = 1.0$

Dreiecks-Helligkeit  $i^*$



FRS09\_92a; adaptierte CIELAB-Daten

	$L^*=L_a^*$	$a_a^*$	$b_a^*$	$C_{ab,a}^*$	$h_{ab,a}^*$
O <sub>Ma</sub>	35.06	60.0	44.0	74.4	36
Y <sub>Ma</sub>	83.77	-5.16	109.32	109.44	93
L <sub>Ma</sub>	44.13	-62.66	48.24	79.09	142
C <sub>Ma</sub>	52.66	-29.13	-31.98	43.27	228
V <sub>Ma</sub>	14.15	50.3	-59.03	77.57	310
M <sub>Ma</sub>	37.37	78.64	-33.49	85.48	337
N <sub>Ma</sub>	8.58	0.0	0.0	0.0	0
W <sub>Ma</sub>	92.02	0.0	0.0	0.0	0
R <sub>CIE</sub>	39.92	58.74	27.99	65.07	25
J <sub>CIE</sub>	81.26	-2.88	71.56	71.62	92
G <sub>CIE</sub>	52.23	-42.41	13.6	44.55	162
B <sub>CIE</sub>	30.57	1.41	-46.46	46.49	272

Daten für Maximalfarbe (Ma):

$LAB^*LAB^*_{Ma}$ : 52 -31 -23

$LAB^*LCH^*_{Ma}$ : 52 40 217

$lab^*rgb^*_{Ma}$ : 0.0 1.0 1.0

$lab^*olv^*_{Ma}$ : 0.0 1.0 0.9

Dreiecks-Helligkeit  $i^*$

%Umfang

$u^*_{rel} = 109$

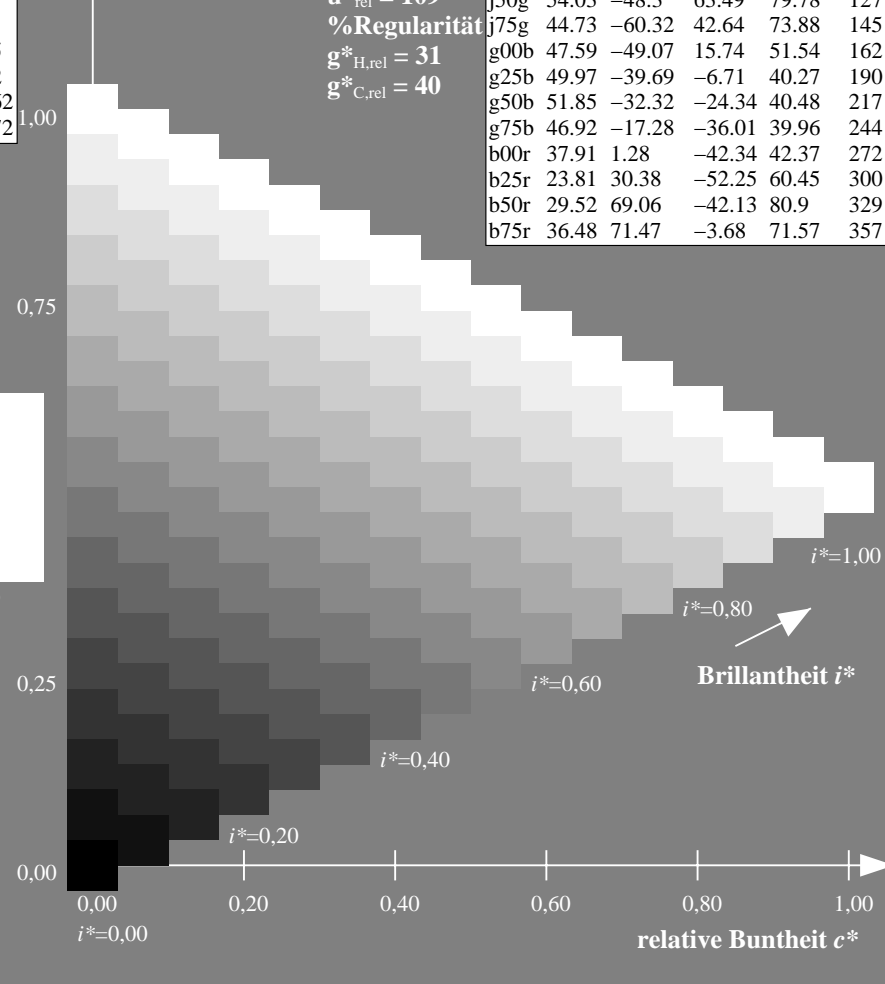
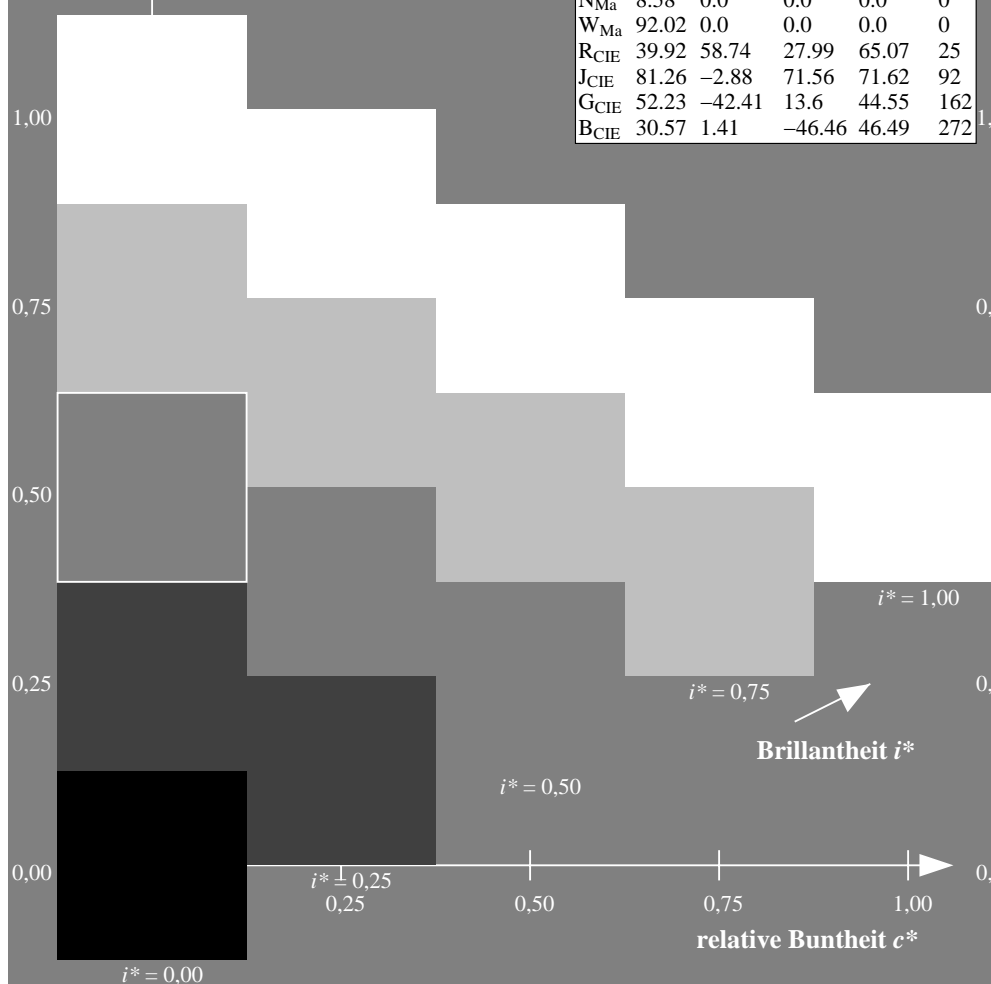
%Regularität

$g^*_{H,rel} = 31$

$g^*_{C,rel} = 40$

FRS09\_92a; adaptierte CIELAB-Daten

	$L^*=L_a^*$	$a_a^*$	$b_a^*$	$C_{ab,a}^*$	$h_{ab,a}^*$
r00j	35.47	63.32	30.17	70.15	25
r25j	39.12	54.56	49.45	73.64	42
r50j	50.64	39.15	64.89	75.79	59
r75j	64.01	21.26	82.83	85.52	76
j00g	83.18	-4.37	108.53	108.62	92
j25g	66.73	-29.88	83.06	88.28	110
j50g	54.03	-48.3	63.49	79.78	127
j75g	44.73	-60.32	42.64	73.88	145
g00b	47.59	-49.07	15.74	51.54	162
g25b	49.97	-39.69	-6.71	40.27	190
g50b	51.85	-32.32	-24.34	40.48	217
g75b	46.92	-17.28	-36.01	39.96	244
b00r	37.91	1.28	-42.34	42.37	272
b25r	23.81	30.38	-52.25	60.45	300
b50r	29.52	69.06	-42.13	80.9	329
b75r	36.48	71.47	-3.68	71.57	357



Ein und Ausgabe: Farbmetrisches Drucker-Reflektiv-System FRS09\_92a für relativen CIELAB-Buntton  $h^* = lab^*h^* = h_{ab}/360 = 244/360 = 0.679$

Daten für jede Farbe:

$lab^*ch^*$  und  $lab^*icu^*$

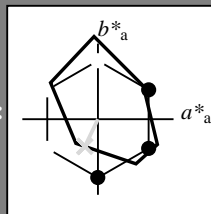
Elementar-Bunttonext:

$u^* = g75b$

Kontrastreduzierungsfaktor:

$c_R = 1.0$

Dreiecks-Helligkeit  $t^*$



FRS09\_92a; adaptierte CIELAB-Daten

	$L^*=L^*_a$	$a^*_a$	$b^*_a$	$C^*_{ab,a}$	$h^*_{ab,a}$
O <sub>Ma</sub>	35.06	60.0	44.0	74.4	36
Y <sub>Ma</sub>	83.77	-5.16	109.32	109.44	93
L <sub>Ma</sub>	44.13	-62.66	48.24	79.09	142
C <sub>Ma</sub>	52.66	-29.13	-31.98	43.27	228
V <sub>Ma</sub>	14.15	50.3	-59.03	77.57	310
M <sub>Ma</sub>	37.37	78.64	-33.49	85.48	337
N <sub>Ma</sub>	8.58	0.0	0.0	0.0	0
W <sub>Ma</sub>	92.02	0.0	0.0	0.0	0
R <sub>CIE</sub>	39.92	58.74	27.99	65.07	25
J <sub>CIE</sub>	81.26	-2.88	71.56	71.62	92
G <sub>CIE</sub>	52.23	-42.41	13.6	44.55	162
B <sub>CIE</sub>	30.57	1.41	-46.46	46.49	272

Daten für Maximalfarbe (Ma):

$LAB^*LAB^*_{Ma}$ : 47 -16 -35

$LAB^*LCH^*_{Ma}$ : 47 40 244

$lab^*rgb^*_{Ma}$ : 0.0 0.5 1.0

$lab^*olv^*_{Ma}$ : 0.0 0.85 1.0

Dreiecks-Helligkeit  $t^*$

%Umfang

$u^*_{rel} = 109$

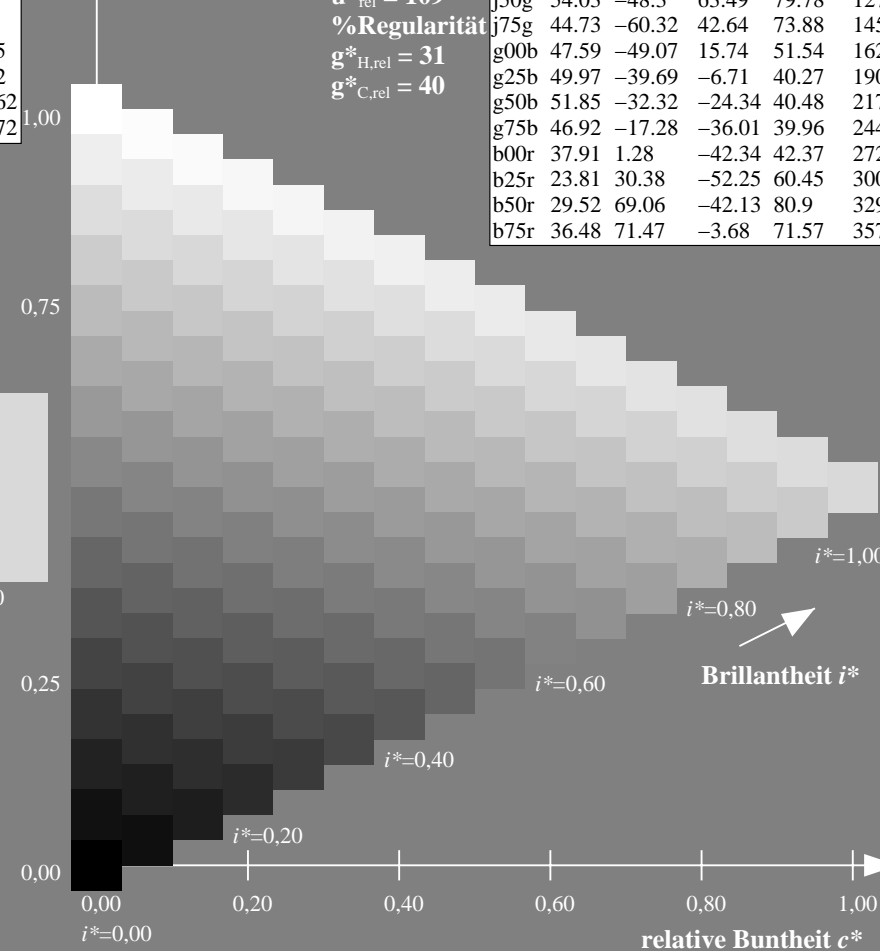
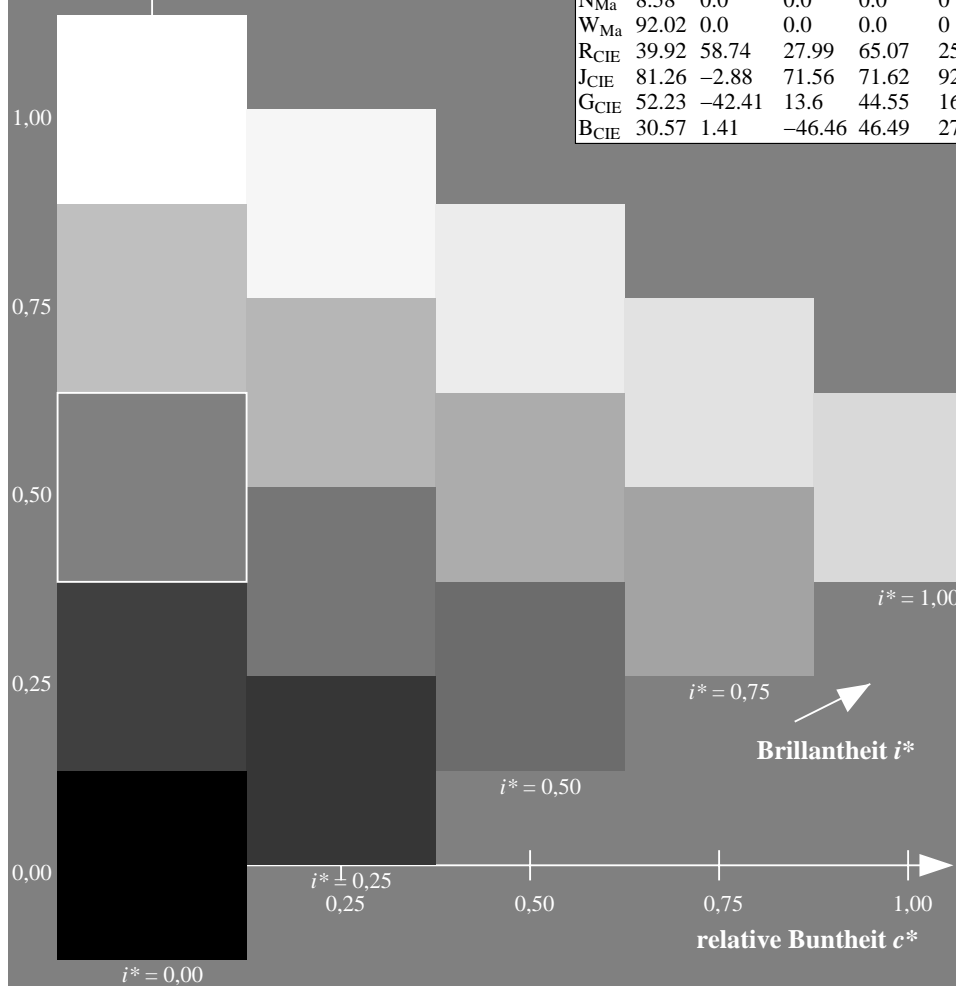
%Regularität

$g^*_{H,rel} = 31$

$g^*_{C,rel} = 40$

FRS09\_92a; adaptierte CIELAB-Daten

	$L^*=L^*_a$	$a^*_a$	$b^*_a$	$C^*_{ab,a}$	$h^*_{ab,a}$
r00j	35.47	63.32	30.17	70.15	25
r25j	39.12	54.56	49.45	73.64	42
r50j	50.64	39.15	64.89	75.79	59
r75j	64.01	21.26	82.83	85.52	76
j00g	83.18	-4.37	108.53	108.62	92
j25g	66.73	-29.88	83.06	88.28	110
j50g	54.03	-48.3	63.49	79.78	127
j75g	44.73	-60.32	42.64	73.88	145
g00b	47.59	-49.07	15.74	51.54	162
g25b	49.97	-39.69	-6.71	40.27	190
g50b	51.85	-32.32	-24.34	40.48	217
g75b	46.92	-17.28	-36.01	39.96	244
b00r	37.91	1.28	-42.34	42.37	272
b25r	23.81	30.38	-52.25	60.45	300
b50r	29.52	69.06	-42.13	80.9	329
b75r	36.48	71.47	-3.68	71.57	357



Ein und Ausgabe: Farbmetrisches Drucker-Reflektiv-System FRS09\_92a für relativen CIELAB-Buntton  $h^* = lab^*h^* = h_{ab}/360 = 272/360 = 0.755$

Daten für jede Farbe:

$lab^*ch^*$  und  $lab^*icu^*$

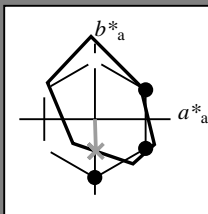
Elementar-Bunttontext:

$u^* = b00r$

Kontrastreduzierungsfaktor:

$c_R = 1.0$

Dreiecks-Helligkeit  $i^*$



FRS09\_92a; adaptierte CIELAB-Daten

	$L^*=L_a^*$	$a_a^*$	$b_a^*$	$C_{ab,a}^*$	$h_{ab,a}^*$
O <sub>Ma</sub>	35.06	60.0	44.0	74.4	36
Y <sub>Ma</sub>	83.77	-5.16	109.32	109.44	93
L <sub>Ma</sub>	44.13	-62.66	48.24	79.09	142
C <sub>Ma</sub>	52.66	-29.13	-31.98	43.27	228
V <sub>Ma</sub>	14.15	50.3	-59.03	77.57	310
M <sub>Ma</sub>	37.37	78.64	-33.49	85.48	337
N <sub>Ma</sub>	8.58	0.0	0.0	0.0	0
W <sub>Ma</sub>	92.02	0.0	0.0	0.0	0
R <sub>CIE</sub>	39.92	58.74	27.99	65.07	25
J <sub>CIE</sub>	81.26	-2.88	71.56	71.62	92
G <sub>CIE</sub>	52.23	-42.41	13.6	44.55	162
B <sub>CIE</sub>	30.57	1.41	-46.46	46.49	272

Daten für Maximalfarbe (Ma):

$LAB^*LAB^*_{Ma}$ : 38 1 -41

$LAB^*LCH^*_{Ma}$ : 38 42 272

$lab^*rgb^*_{Ma}$ : 0.0 0.0 1.0

$lab^*olv^*_{Ma}$ : 0.0 0.62 1.0

Dreiecks-Helligkeit  $i^*$

%Umfang

$u^*_{rel} = 109$

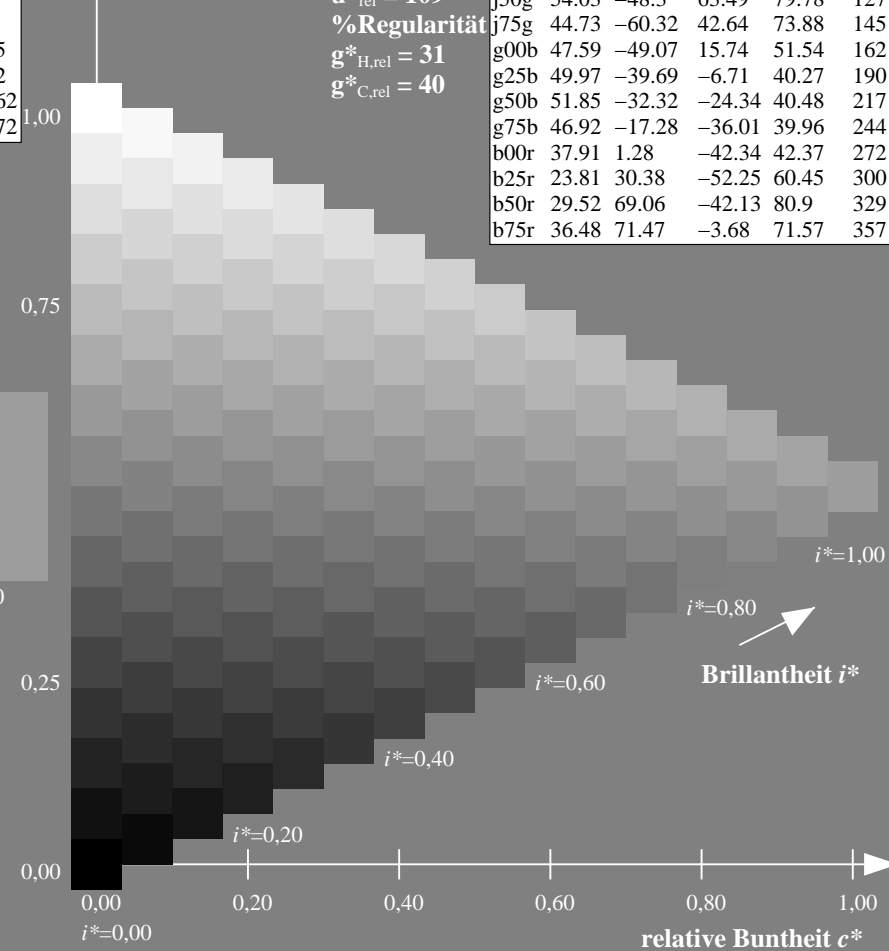
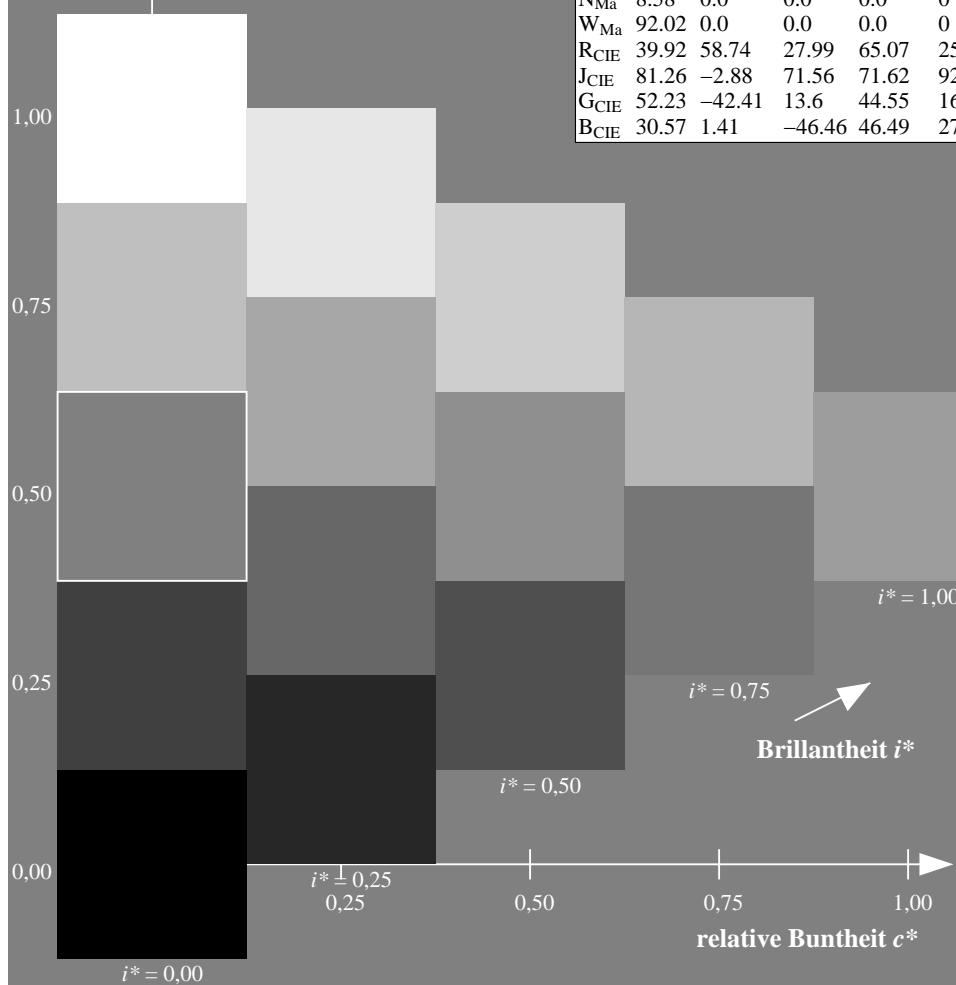
%Regularität

$g^*_{H,rel} = 31$

$g^*_{C,rel} = 40$

FRS09\_92a; adaptierte CIELAB-Daten

	$L^*=L_a^*$	$a_a^*$	$b_a^*$	$C_{ab,a}^*$	$h_{ab,a}^*$
r00j	35.47	63.32	30.17	70.15	25
r25j	39.12	54.56	49.45	73.64	42
r50j	50.64	39.15	64.89	75.79	59
r75j	64.01	21.26	82.83	85.52	76
j00g	83.18	-4.37	108.53	108.62	92
j25g	66.73	-29.88	83.06	88.28	110
j50g	54.03	-48.3	63.49	79.78	127
j75g	44.73	-60.32	42.64	73.88	145
g00b	47.59	-49.07	15.74	51.54	162
g25b	49.97	-39.69	-6.71	40.27	190
g50b	51.85	-32.32	-24.34	40.48	217
g75b	46.92	-17.28	-36.01	39.96	244
b00r	37.91	1.28	-42.34	42.37	272
b25r	23.81	30.38	-52.25	60.45	300
b50r	29.52	69.06	-42.13	80.9	329
b75r	36.48	71.47	-3.68	71.57	357





Ein und Ausgabe: Farbmetrisches Drucker-Reflektiv-System FRS09\_92a für relativen CIELAB-Buntton  $h^* = lab^*h^* = h_{ab}/360 = 300/360 = 0.834$

Daten für jede Farbe:

$lab^*ch^*$  und  $lab^*icu^*$

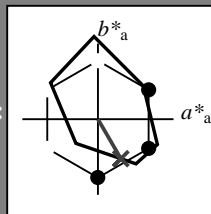
Elementar-Bunttontext:

$u^* = b25r$

Kontrastreduzierungsfaktor:

$c_R = 1.0$

Dreiecks-Helligkeit  $i^*$



FRS09\_92a; adaptierte CIELAB-Daten

	$L^*=L_a^*$	$a_a^*$	$b_a^*$	$C_{ab,a}^*$	$h_{ab,a}^*$
O <sub>Ma</sub>	35.06	60.0	44.0	74.4	36
Y <sub>Ma</sub>	83.77	-5.16	109.32	109.44	93
L <sub>Ma</sub>	44.13	-62.66	48.24	79.09	142
C <sub>Ma</sub>	52.66	-29.13	-31.98	43.27	228
V <sub>Ma</sub>	14.15	50.3	-59.03	77.57	310
M <sub>Ma</sub>	37.37	78.64	-33.49	85.48	337
N <sub>Ma</sub>	8.58	0.0	0.0	0.0	0
W <sub>Ma</sub>	92.02	0.0	0.0	0.0	0
R <sub>CIE</sub>	39.92	58.74	27.99	65.07	25
J <sub>CIE</sub>	81.26	-2.88	71.56	71.62	92
G <sub>CIE</sub>	52.23	-42.41	13.6	44.55	162
B <sub>CIE</sub>	30.57	1.41	-46.46	46.49	272

Daten für Maximalfarbe (Ma):

$LAB^*LAB^*Ma$ : 24 30 -51

$LAB^*LCH^*Ma$ : 24 60 300

$lab^*rgb^*Ma$ : 0.5 0.0 1.0

$lab^*olv^*Ma$ : 0.0 0.25 1.0

Dreiecks-Helligkeit  $i^*$

%Umfang

$u^*_{rel} = 109$

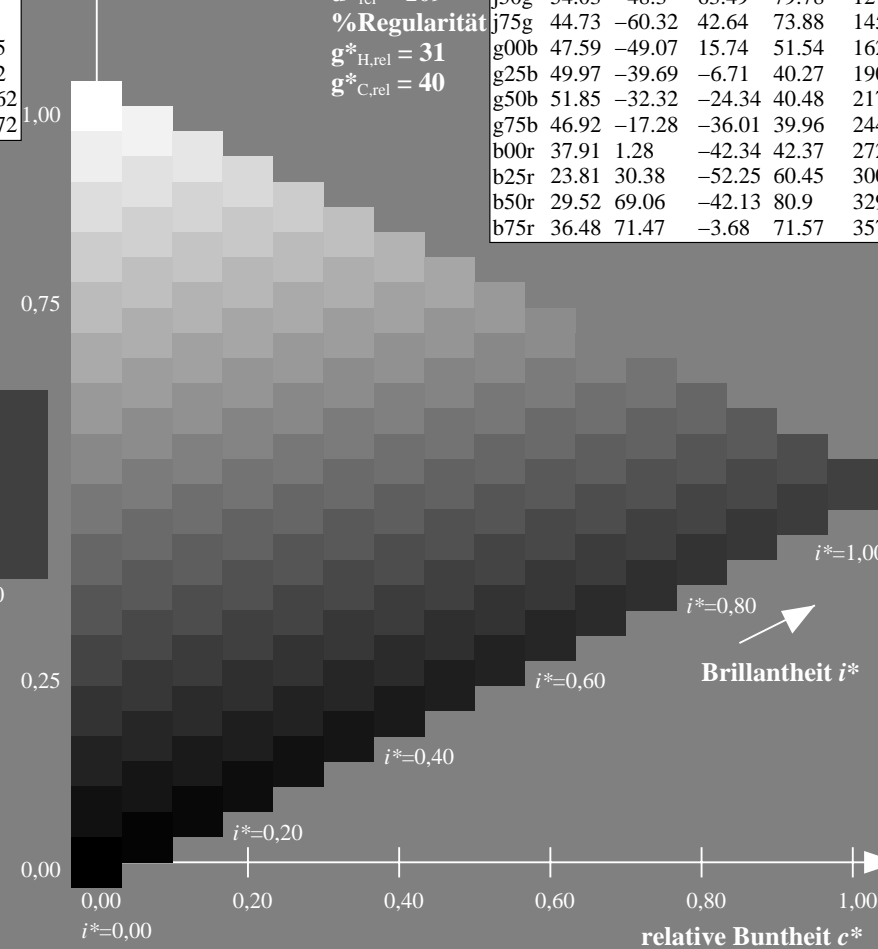
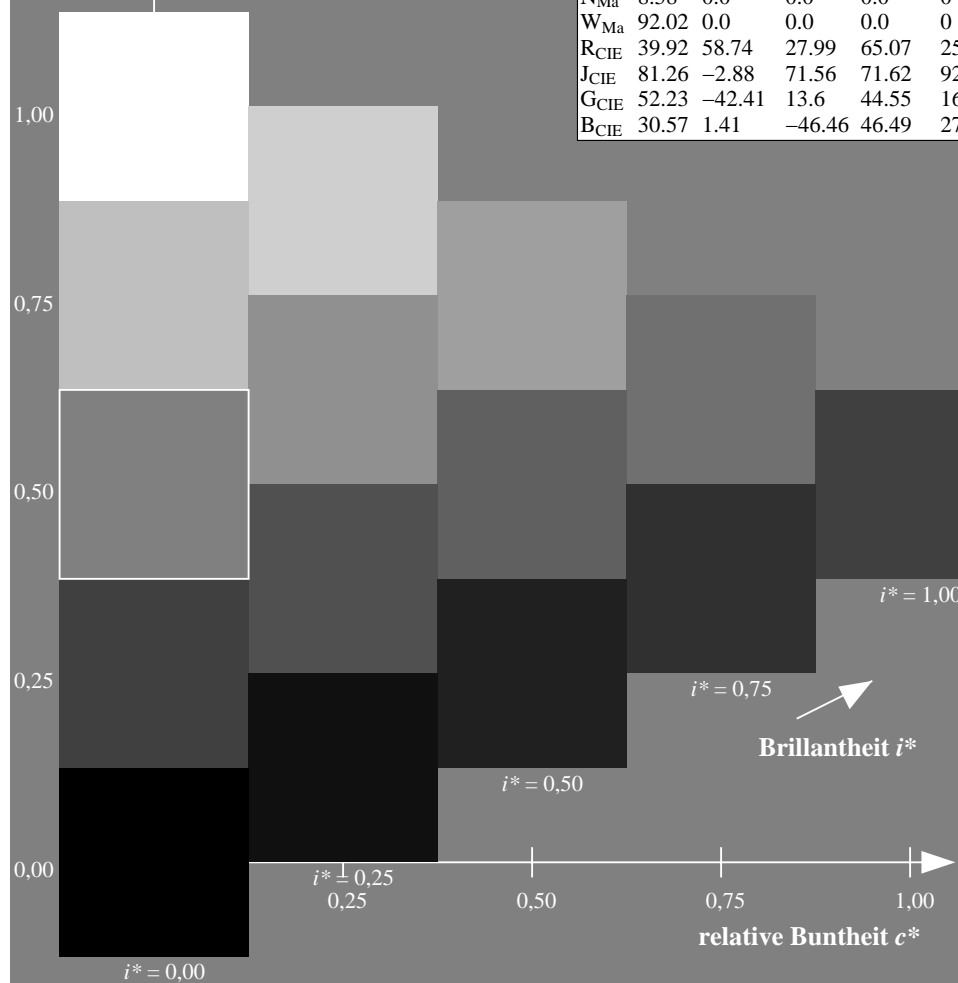
%Regularität

$g^*_{H,rel} = 31$

$g^*_{C,rel} = 40$

FRS09\_92a; adaptierte CIELAB-Daten

	$L^*=L_a^*$	$a_a^*$	$b_a^*$	$C_{ab,a}^*$	$h_{ab,a}^*$
r00j	35.47	63.32	30.17	70.15	25
r25j	39.12	54.56	49.45	73.64	42
r50j	50.64	39.15	64.89	75.79	59
r75j	64.01	21.26	82.83	85.52	76
j00g	83.18	-4.37	108.53	108.62	92
j25g	66.73	-29.88	83.06	88.28	110
j50g	54.03	-48.3	63.49	79.78	127
j75g	44.73	-60.32	42.64	73.88	145
g00b	47.59	-49.07	15.74	51.54	162
g25b	49.97	-39.69	-6.71	40.27	190
g50b	51.85	-32.32	-24.34	40.48	217
g75b	46.92	-17.28	-36.01	39.96	244
b00r	37.91	1.28	-42.34	42.37	272
b25r	23.81	30.38	-52.25	60.45	300
b50r	29.52	69.06	-42.13	80.9	329
b75r	36.48	71.47	-3.68	71.57	357



Ein und Ausgabe: Farbmetrisches Drucker-Reflektiv-System FRS09\_92a für relativen CIELAB-Buntton  $h^* = lab^*h^* = h_{ab}/360 = 329/360 = 0.913$

Daten für jede Farbe:

$lab^*ch^*$  und  $lab^*icu^*$

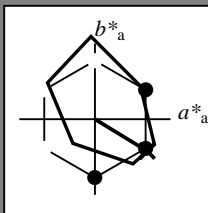
Elementar-Bunttoncontext:

$u^* = b50r$

Kontrastreduzierungsfaktor:

$c_R = 1.0$

Dreiecks-Helligkeit  $i^*$



FRS09\_92a; adaptierte CIELAB-Daten

	$L^*=L_a^*$	$a_a^*$	$b_a^*$	$C_{ab,a}^*$	$h_{ab,a}^*$
O <sub>Ma</sub>	35.06	60.0	44.0	74.4	36
Y <sub>Ma</sub>	83.77	-5.16	109.32	109.44	93
L <sub>Ma</sub>	44.13	-62.66	48.24	79.09	142
C <sub>Ma</sub>	52.66	-29.13	-31.98	43.27	228
V <sub>Ma</sub>	14.15	50.3	-59.03	77.57	310
M <sub>Ma</sub>	37.37	78.64	-33.49	85.48	337
N <sub>Ma</sub>	8.58	0.0	0.0	0.0	0
W <sub>Ma</sub>	92.02	0.0	0.0	0.0	0
R <sub>CIE</sub>	39.92	58.74	27.99	65.07	25
J <sub>CIE</sub>	81.26	-2.88	71.56	71.62	92
G <sub>CIE</sub>	52.23	-42.41	13.6	44.55	162
B <sub>CIE</sub>	30.57	1.41	-46.46	46.49	272

Daten für Maximalfarbe (Ma):

$LAB^*LAB^*Ma$ : 30 69 -41

$LAB^*LCH^*Ma$ : 30 81 329

$lab^*rgb^*Ma$ : 1.0 0.0 1.0

$lab^*olv^*Ma$ : 0.66 0.0 1.0

Dreiecks-Helligkeit  $i^*$

%Umfang

$u^*_{rel} = 109$

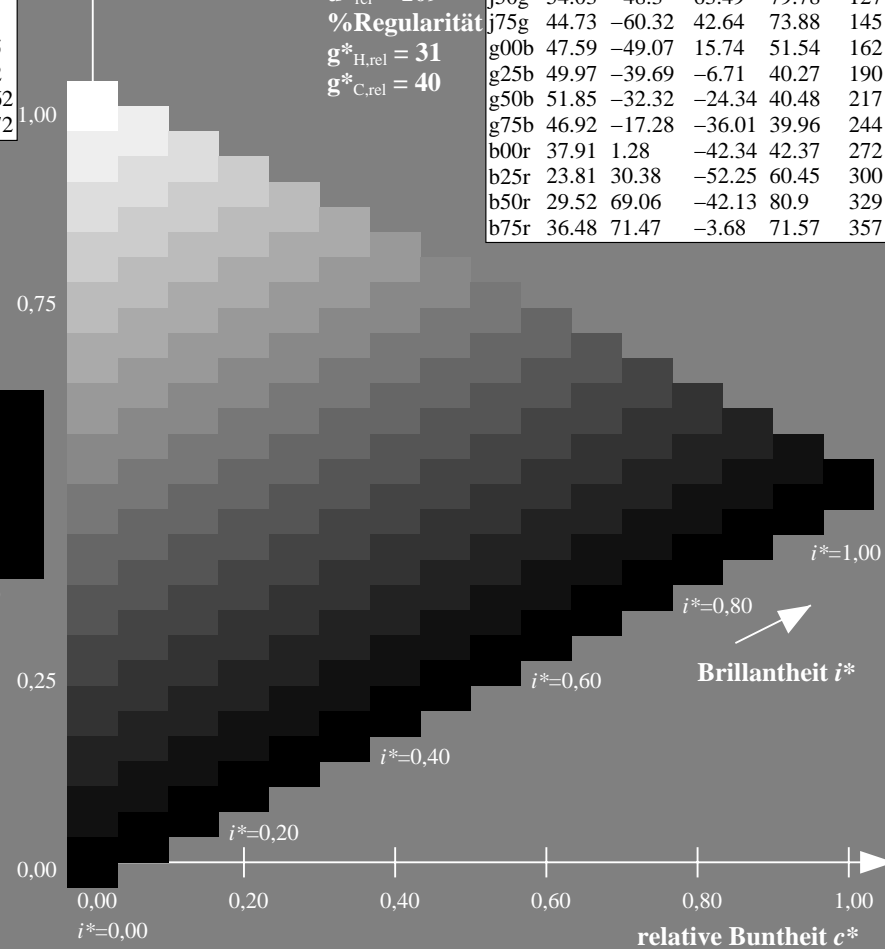
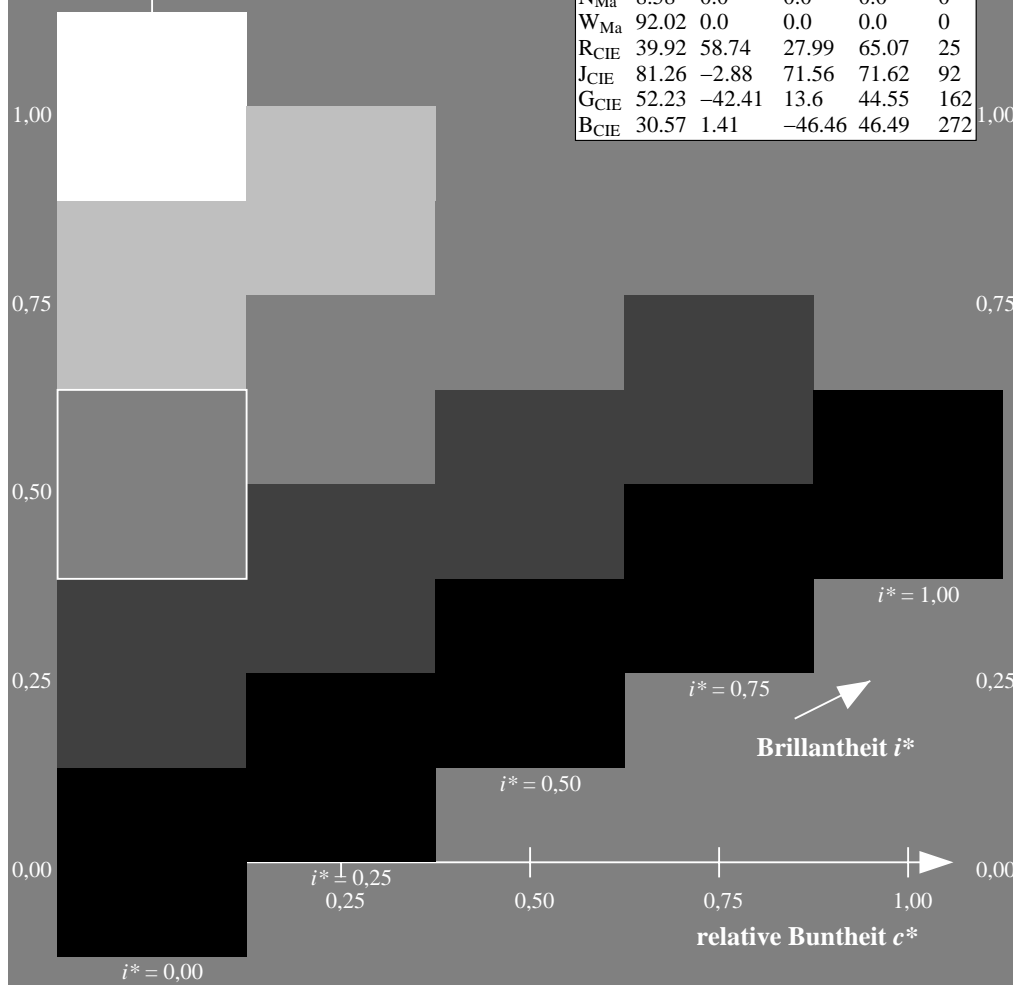
%Regularität

$g^*_{H,rel} = 31$

$g^*_{C,rel} = 40$

FRS09\_92a; adaptierte CIELAB-Daten

	$L^*=L_a^*$	$a_a^*$	$b_a^*$	$C_{ab,a}^*$	$h_{ab,a}^*$
r00j	35.47	63.32	30.17	70.15	25
r25j	39.12	54.56	49.45	73.64	42
r50j	50.64	39.15	64.89	75.79	59
r75j	64.01	21.26	82.83	85.52	76
j00g	83.18	-4.37	108.53	108.62	92
j25g	66.73	-29.88	83.06	88.28	110
j50g	54.03	-48.3	63.49	79.78	127
j75g	44.73	-60.32	42.64	73.88	145
g00b	47.59	-49.07	15.74	51.54	162
g25b	49.97	-39.69	-6.71	40.27	190
g50b	51.85	-32.32	-24.34	40.48	217
g75b	46.92	-17.28	-36.01	39.96	244
b00r	37.91	1.28	-42.34	42.37	272
b25r	23.81	30.38	-52.25	60.45	300
b50r	29.52	69.06	-42.13	80.9	329
b75r	36.48	71.47	-3.68	71.57	357



Ein und Ausgabe: Farbmetrisches Drucker-Reflektiv-System FRS09\_92a für relativen CIELAB-Buntton  $h^* = lab^*h^* = h_{ab}/360 = 357/360 = 0.992$

Daten für jede Farbe:

$lab^*ch^*$  und  $lab^*icu^*$

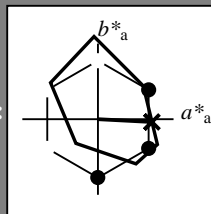
Elementar-Bunttontext:

$u^* = b75r$

Kontrastreduzierungsfaktor:

$c_R = 1.0$

Dreiecks-Helligkeit  $i^*$



FRS09\_92a; adaptierte CIELAB-Daten

	$L^*=L_a^*$	$a_a^*$	$b_a^*$	$C_{ab,a}^*$	$h_{ab,a}^*$
O <sub>Ma</sub>	35.06	60.0	44.0	74.4	36
Y <sub>Ma</sub>	83.77	-5.16	109.32	109.44	93
L <sub>Ma</sub>	44.13	-62.66	48.24	79.09	142
C <sub>Ma</sub>	52.66	-29.13	-31.98	43.27	228
V <sub>Ma</sub>	14.15	50.3	-59.03	77.57	310
M <sub>Ma</sub>	37.37	78.64	-33.49	85.48	337
N <sub>Ma</sub>	8.58	0.0	0.0	0.0	0
W <sub>Ma</sub>	92.02	0.0	0.0	0.0	0
R <sub>CIE</sub>	39.92	58.74	27.99	65.07	25
J <sub>CIE</sub>	81.26	-2.88	71.56	71.62	92
G <sub>CIE</sub>	52.23	-42.41	13.6	44.55	162
B <sub>CIE</sub>	30.57	1.41	-46.46	46.49	272

Daten für Maximalfarbe (Ma):

$LAB^*LAB^*Ma$ : 36 71 -3

$LAB^*LCH^*Ma$ : 36 72 357

$lab^*rgb^*Ma$ : 1.0 0.0 0.5

$lab^*olv^*Ma$ : 1.0 0.0 0.62

Dreiecks-Helligkeit  $i^*$

%Umfang

$u^*_{rel} = 109$

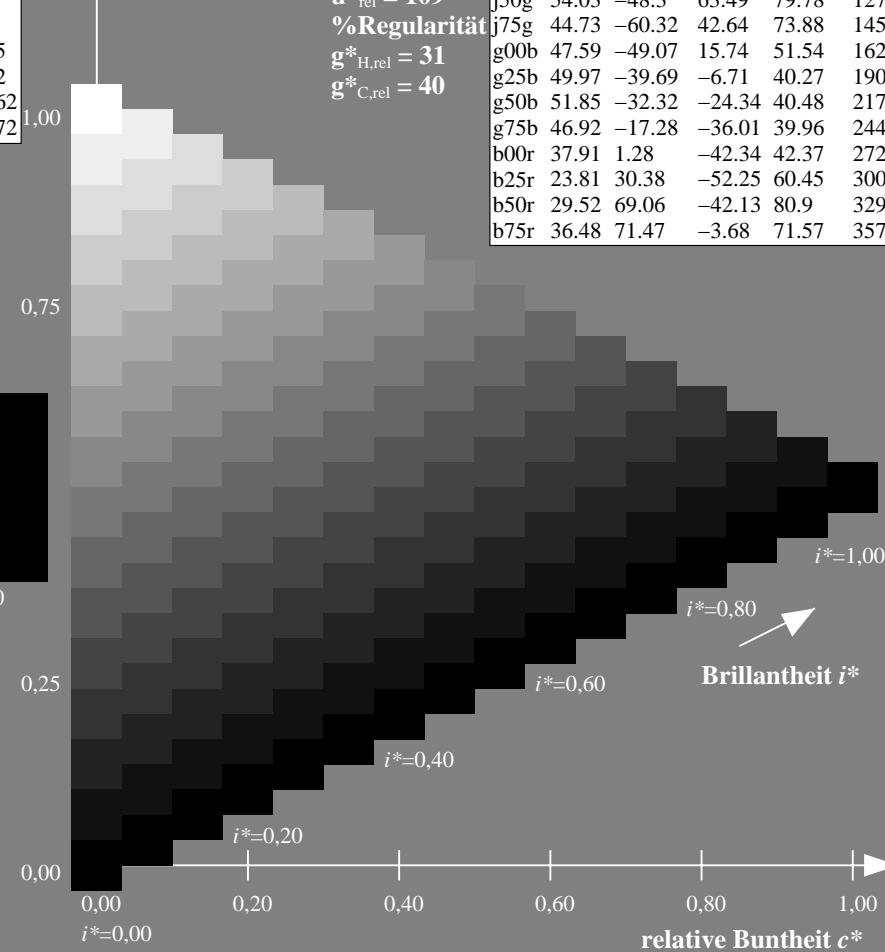
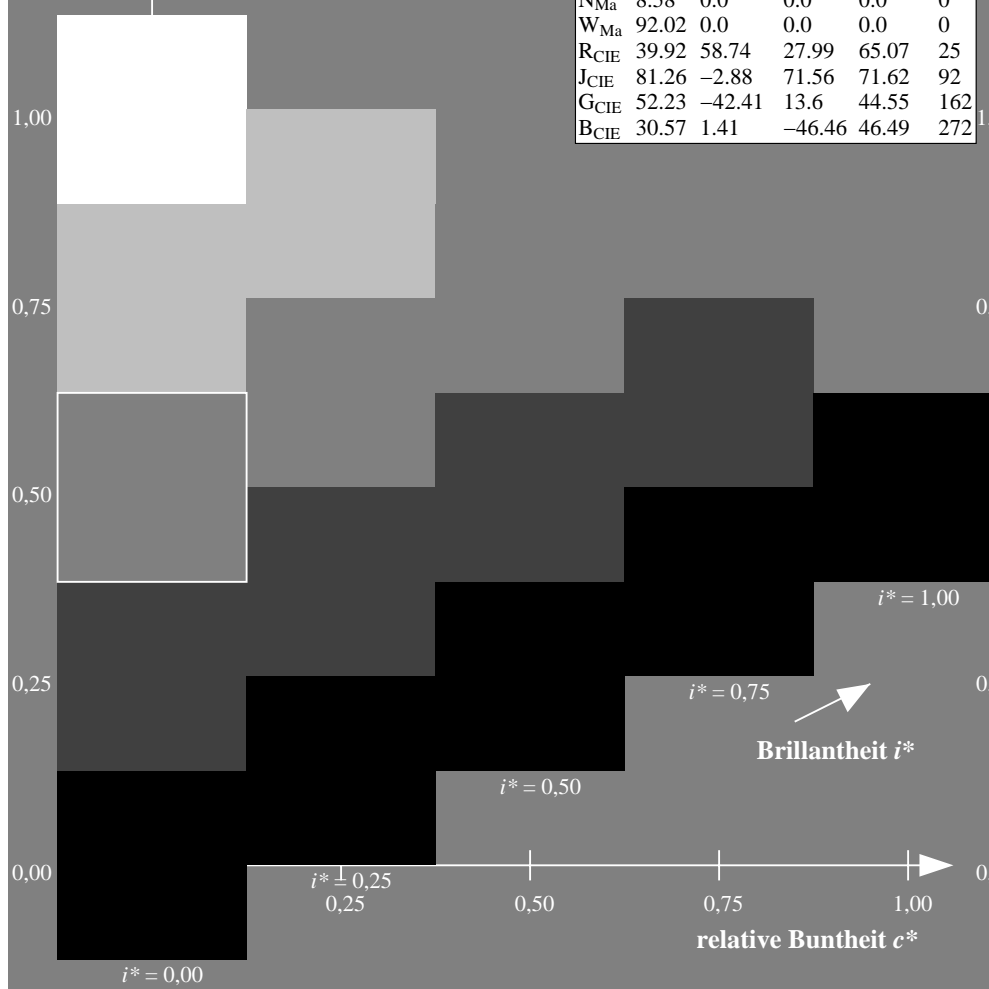
%Regularität

$g^*_{H,rel} = 31$

$g^*_{C,rel} = 40$

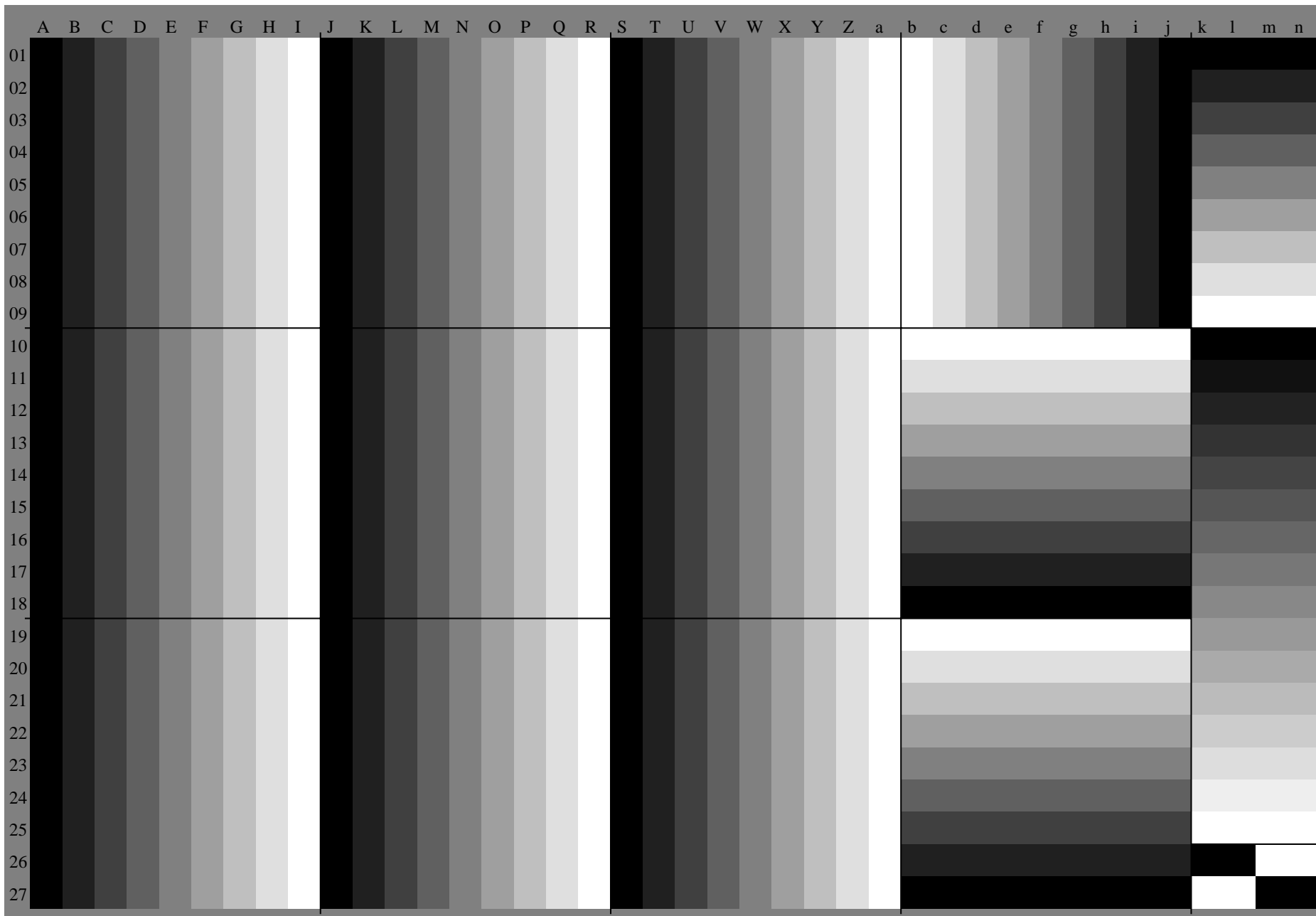
FRS09\_92a; adaptierte CIELAB-Daten

	$L^*=L_a^*$	$a_a^*$	$b_a^*$	$C_{ab,a}^*$	$h_{ab,a}^*$
r00j	35.47	63.32	30.17	70.15	25
r25j	39.12	54.56	49.45	73.64	42
r50j	50.64	39.15	64.89	75.79	59
r75j	64.01	21.26	82.83	85.52	76
j00g	83.18	-4.37	108.53	108.62	92
j25g	66.73	-29.88	83.06	88.28	110
j50g	54.03	-48.3	63.49	79.78	127
j75g	44.73	-60.32	42.64	73.88	145
g00b	47.59	-49.07	15.74	51.54	162
g25b	49.97	-39.69	-6.71	40.27	190
g50b	51.85	-32.32	-24.34	40.48	217
g75b	46.92	-17.28	-36.01	39.96	244
b00r	37.91	1.28	-42.34	42.37	272
b25r	23.81	30.38	-52.25	60.45	300
b50r	29.52	69.06	-42.13	80.9	329
b75r	36.48	71.47	-3.68	71.57	357



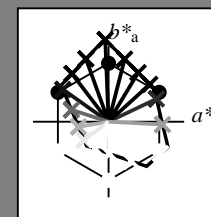
Siehe ähnliche Dateien: <http://www.ps.bam.de/Dg70/>; [www.ps.bam.de/Dg70/Version 2.1, io=1,1, ColSpx=0](http://www.ps.bam.de/Dg70/Version%202.1%2C%20ColSpx%3D0)  
Technische Information: [http://www.ps.bam.de/Version 2.1, io=1,1, ColSpx=0](http://www.ps.bam.de/Version%202.1%2C%20ColSpx%3D0)

BAM-Registrierung: 20080701-Dg70/10L/L70G00NA.PS/.TXTBAM-Material: Code=rh4ta  
Anwendung für Beurteilung und Messung von Drucker- oder Monitorsystemen



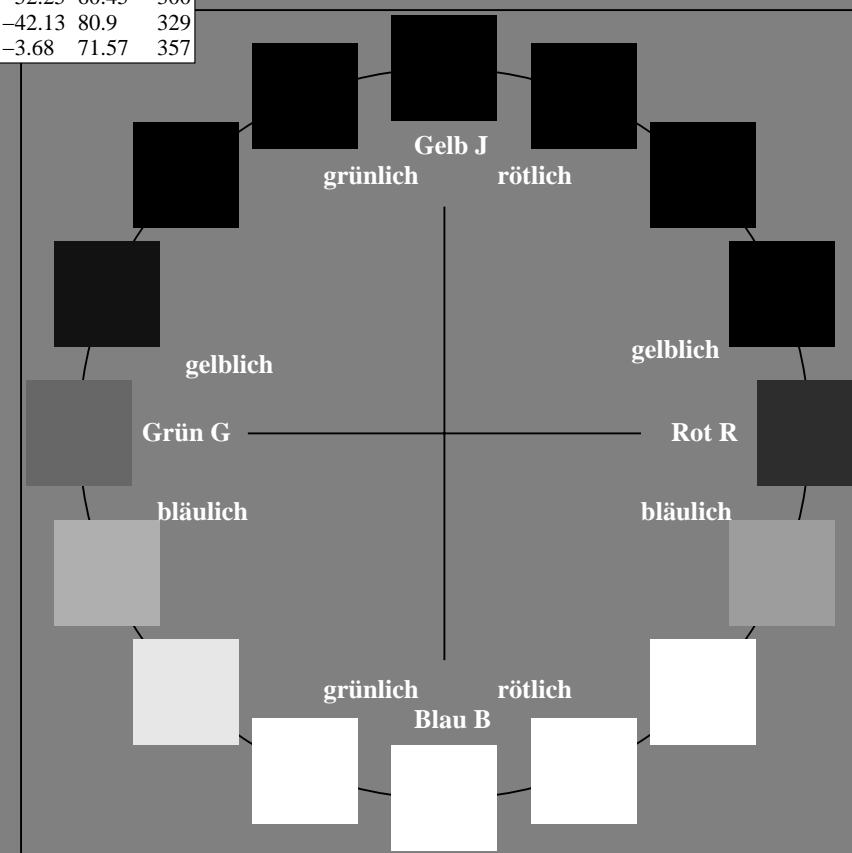
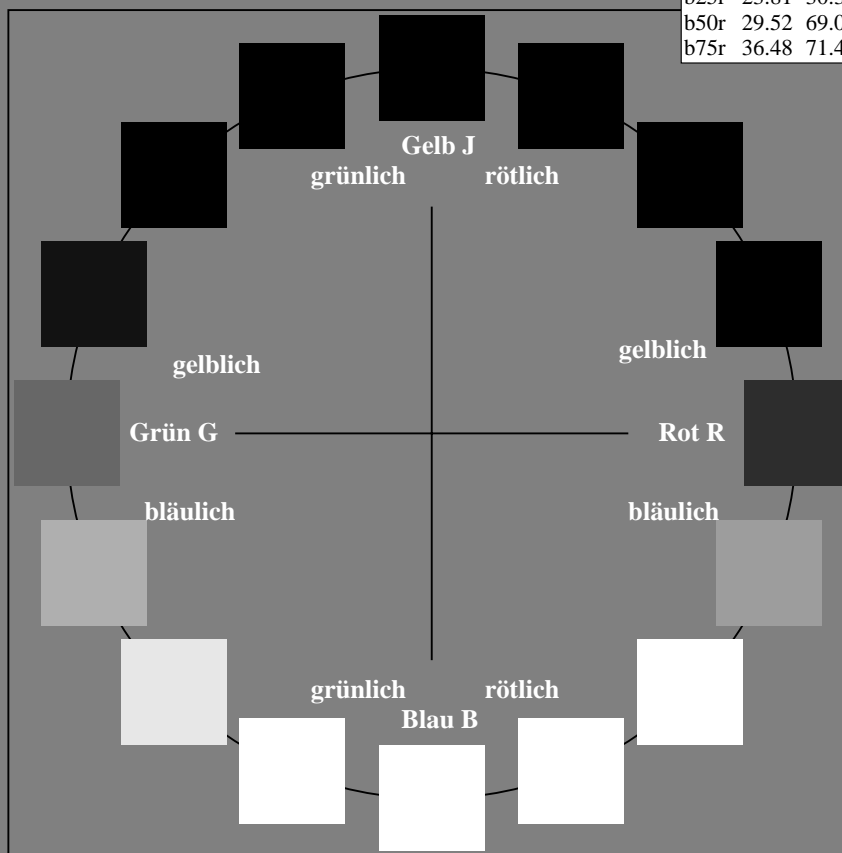
Ein und Ausgabe:  
Farbmetrisches Drucker-Reflektiv-System FRS09\_92a  
Daten für jede Farbe:  
*lab\*<sub>ich</sub>*\* und *lab\*<sub>icu</sub>*\*  
Elementar-Bunttontext:  
*u\** = 16 Buntttöne *r00j*, *r25j*, ..., *b75r*  
Kontrastreduzierungsfaktor:  
*c<sub>R</sub>* = 1.0

FRS09_92a; adaptierte CIELAB-Daten					
	<i>L*</i> = <i>L*</i> <sub>a</sub>	<i>a*</i> <sub>a</sub>	<i>b*</i> <sub>a</sub>	<i>C*</i> <sub>ab,a</sub>	<i>h*</i> <sub>ab,a</sub>
r00j	35.47	63.32	30.17	70.15	25
r25j	39.12	54.56	49.45	73.64	42
r50j	50.64	39.15	64.89	75.79	59
r75j	64.01	21.26	82.83	85.52	76
j00g	83.18	-4.37	108.53	108.62	92
j25g	66.73	-29.88	83.06	88.28	110
j50g	54.03	-48.3	63.49	79.78	127
j75g	44.73	-60.32	42.64	73.88	145
g00b	47.59	-49.07	15.74	51.54	162
g25b	49.97	-39.69	-6.71	40.27	190
g50b	51.85	-32.32	-24.34	40.48	217
g75b	46.92	-17.28	-36.01	39.96	244
b00r	37.91	1.28	-42.34	42.37	272
b25r	23.81	30.38	-52.25	60.45	300
b50r	29.52	69.06	-42.13	80.9	329
b75r	36.48	71.47	-3.68	71.57	357



%Umfang  
*u\**<sub>rel</sub> = 109  
%Regularität  
*g\**<sub>H,rel</sub> = 31  
*g\**<sub>C,rel</sub> = 40

FRS09_92a; adaptierte CIELAB-Daten					
	<i>L*</i> = <i>L*</i> <sub>a</sub>	<i>a*</i> <sub>a</sub>	<i>b*</i> <sub>a</sub>	<i>C*</i> <sub>ab,a</sub>	<i>h*</i> <sub>ab,a</sub>
O <sub>Ma</sub>	35.06	60.0	44.0	74.4	36
Y <sub>Ma</sub>	83.77	-5.16	109.32	109.44	93
L <sub>Ma</sub>	44.13	-62.66	48.24	79.09	142
C <sub>Ma</sub>	52.66	-29.13	-31.98	43.27	228
V <sub>Ma</sub>	14.15	50.3	-59.03	77.57	310
M <sub>Ma</sub>	37.37	78.64	-33.49	85.48	337
N <sub>Ma</sub>	8.58	0.0	0.0	0.0	0
W <sub>Ma</sub>	92.02	0.0	0.0	0.0	0
R <sub>CIE</sub>	39.92	58.74	27.99	65.07	25
J <sub>CIE</sub>	81.26	-2.88	71.56	71.62	92
G <sub>CIE</sub>	52.23	-42.41	13.6	44.55	162
B <sub>CIE</sub>	30.57	1.41	-46.46	46.49	272



Ein und Ausgabe: Farbmetrisches Drucker-Reflektiv-System FRS09\_92a für relativen CIELAB-Buntton  $h^* = lab^*h^* = h_{ab}/360 = 25/360 = 0.071$

Daten für jede Farbe:

$lab^*ch^*$  und  $lab^*icu^*$

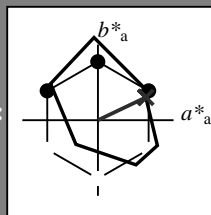
Elementar-Bunttontext:

$u^* = r00j$

Kontrastreduzierungsfaktor:

$c_R = 1.0$

Dreiecks-Helligkeit  $i^*$



FRS09\_92a; adaptierte CIELAB-Daten

	$L^*=L_a^*$	$a_a^*$	$b_a^*$	$C_{ab,a}^*$	$h_{ab,a}^*$
O <sub>Ma</sub>	35.06	60.0	44.0	74.4	36
Y <sub>Ma</sub>	83.77	-5.16	109.32	109.44	93
L <sub>Ma</sub>	44.13	-62.66	48.24	79.09	142
C <sub>Ma</sub>	52.66	-29.13	-31.98	43.27	228
V <sub>Ma</sub>	14.15	50.3	-59.03	77.57	310
M <sub>Ma</sub>	37.37	78.64	-33.49	85.48	337
N <sub>Ma</sub>	8.58	0.0	0.0	0.0	0
W <sub>Ma</sub>	92.02	0.0	0.0	0.0	0
R <sub>CIE</sub>	39.92	58.74	27.99	65.07	25
J <sub>CIE</sub>	81.26	-2.88	71.56	71.62	92
G <sub>CIE</sub>	52.23	-42.41	13.6	44.55	162
B <sub>CIE</sub>	30.57	1.41	-46.46	46.49	272

Daten für Maximalfarbe (Ma):

$LAB^*LAB^*Ma$ : 35 63 30

$LAB^*LCH^*Ma$ : 35 70 25

$lab^*rgb^*Ma$ : 1.0 0.0 0.0

$lab^*olv^*Ma$ : 1.0 0.0 0.18

Dreiecks-Helligkeit  $i^*$

%Umfang

$u^*_{rel} = 109$

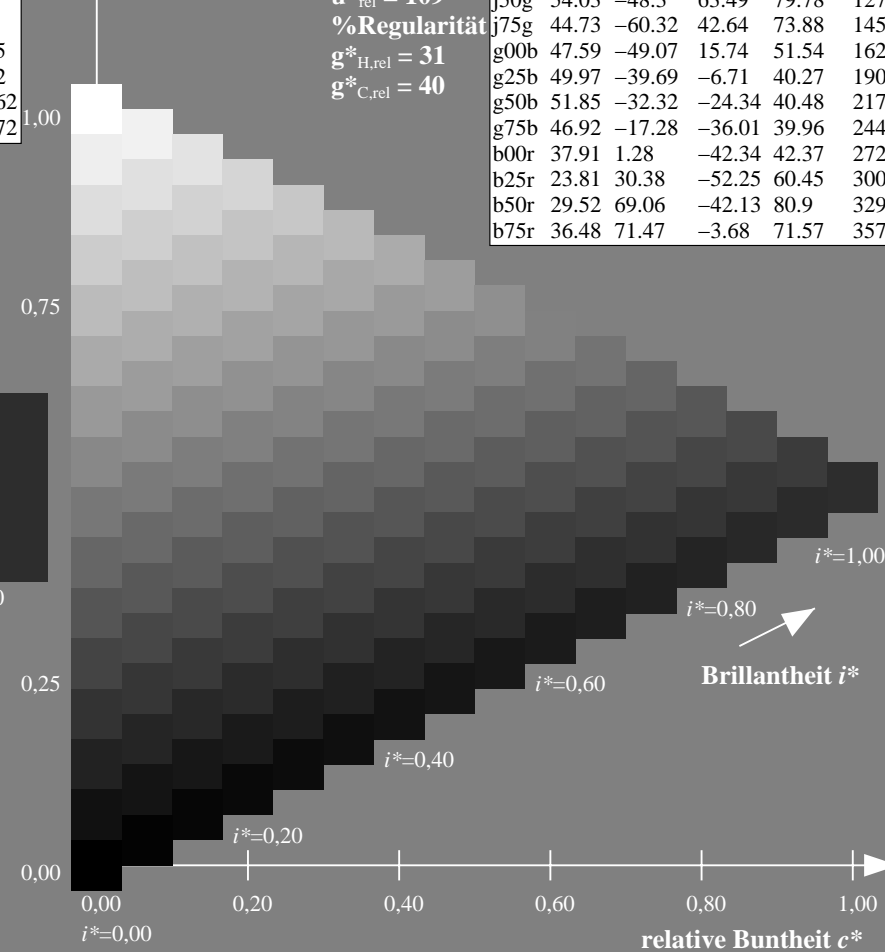
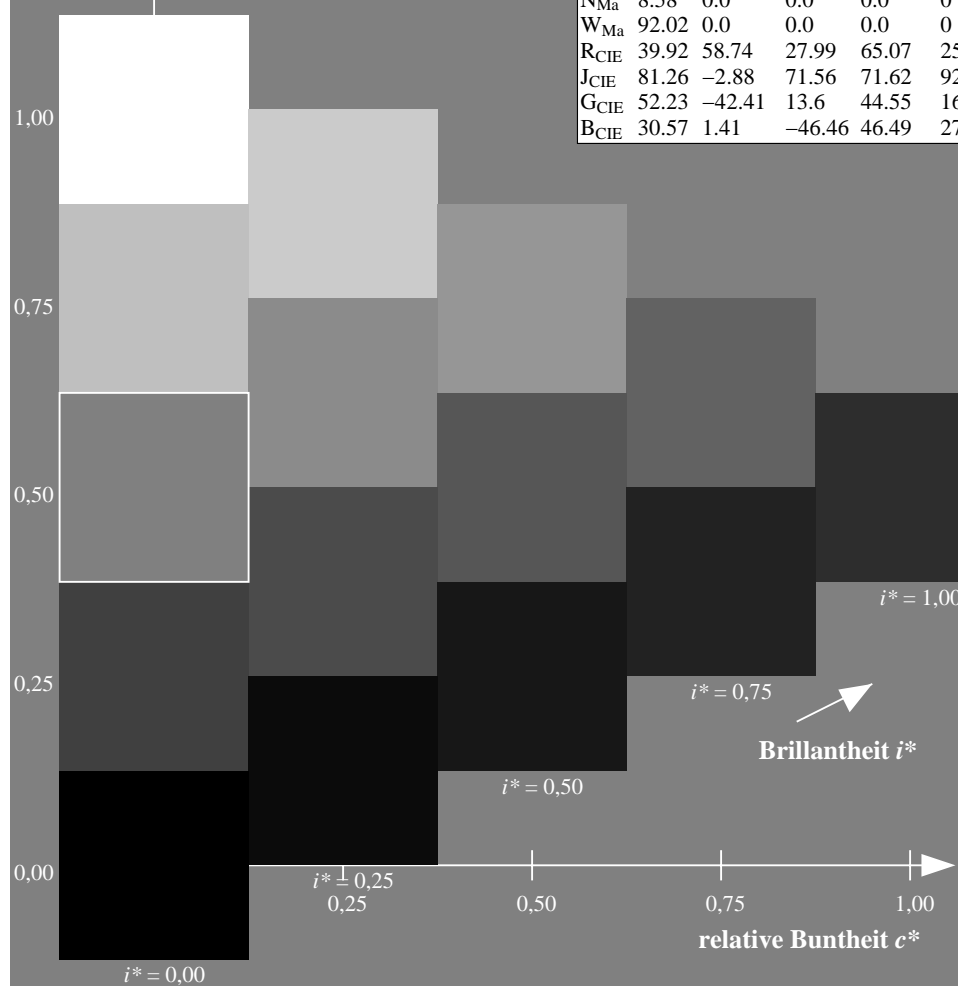
%Regularität

$g^*_{H,rel} = 31$

$g^*_{C,rel} = 40$

FRS09\_92a; adaptierte CIELAB-Daten

	$L^*=L_a^*$	$a_a^*$	$b_a^*$	$C_{ab,a}^*$	$h_{ab,a}^*$
r00j	35.47	63.32	30.17	70.15	25
r25j	39.12	54.56	49.45	73.64	42
r50j	50.64	39.15	64.89	75.79	59
r75j	64.01	21.26	82.83	85.52	76
j00g	83.18	-4.37	108.53	108.62	92
j25g	66.73	-29.88	83.06	88.28	110
j50g	54.03	-48.3	63.49	79.78	127
j75g	44.73	-60.32	42.64	73.88	145
g00b	47.59	-49.07	15.74	51.54	162
g25b	49.97	-39.69	-6.71	40.27	190
g50b	51.85	-32.32	-24.34	40.48	217
g75b	46.92	-17.28	-36.01	39.96	244
b00r	37.91	1.28	-42.34	42.37	272
b25r	23.81	30.38	-52.25	60.45	300
b50r	29.52	69.06	-42.13	80.9	329
b75r	36.48	71.47	-3.68	71.57	357





Ein und Ausgabe: Farbmetrisches Drucker-Reflektiv-System FRS09\_92a für relativen CIELAB-Buntton  $h^* = lab^*h^* = h_{ab}/360 = 42/360 = 0.117$

Daten für jede Farbe:

$lab^*ch^*$  und  $lab^*icu^*$

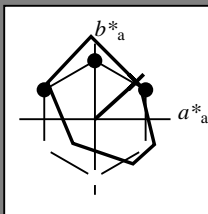
Elementar-Bunttontext:

$u^* = r25j$

Kontrastreduzierungsfaktor:

$c_R = 1.0$

Dreiecks-Helligkeit  $i^*$



FRS09\_92a; adaptierte CIELAB-Daten

	$L^*=L_a^*$	$a_a^*$	$b_a^*$	$C_{ab,a}^*$	$h_{ab,a}^*$
O <sub>Ma</sub>	35.06	60.0	44.0	74.4	36
Y <sub>Ma</sub>	83.77	-5.16	109.32	109.44	93
L <sub>Ma</sub>	44.13	-62.66	48.24	79.09	142
C <sub>Ma</sub>	52.66	-29.13	-31.98	43.27	228
V <sub>Ma</sub>	14.15	50.3	-59.03	77.57	310
M <sub>Ma</sub>	37.37	78.64	-33.49	85.48	337
N <sub>Ma</sub>	8.58	0.0	0.0	0.0	0
W <sub>Ma</sub>	92.02	0.0	0.0	0.0	0
R <sub>CIE</sub>	39.92	58.74	27.99	65.07	25
J <sub>CIE</sub>	81.26	-2.88	71.56	71.62	92
G <sub>CIE</sub>	52.23	-42.41	13.6	44.55	162
B <sub>CIE</sub>	30.57	1.41	-46.46	46.49	272

Daten für Maximalfarbe (Ma):

$LAB^*LAB^*Ma$ : 39 55 49

$LAB^*LCH^*Ma$ : 39 74 42

$lab^*rgb^*Ma$ : 1.0 0.25 0.0

$lab^*olv^*Ma$ : 1.0 0.08 0.0

Dreiecks-Helligkeit  $i^*$

%Umfang

$u^*_{rel} = 109$

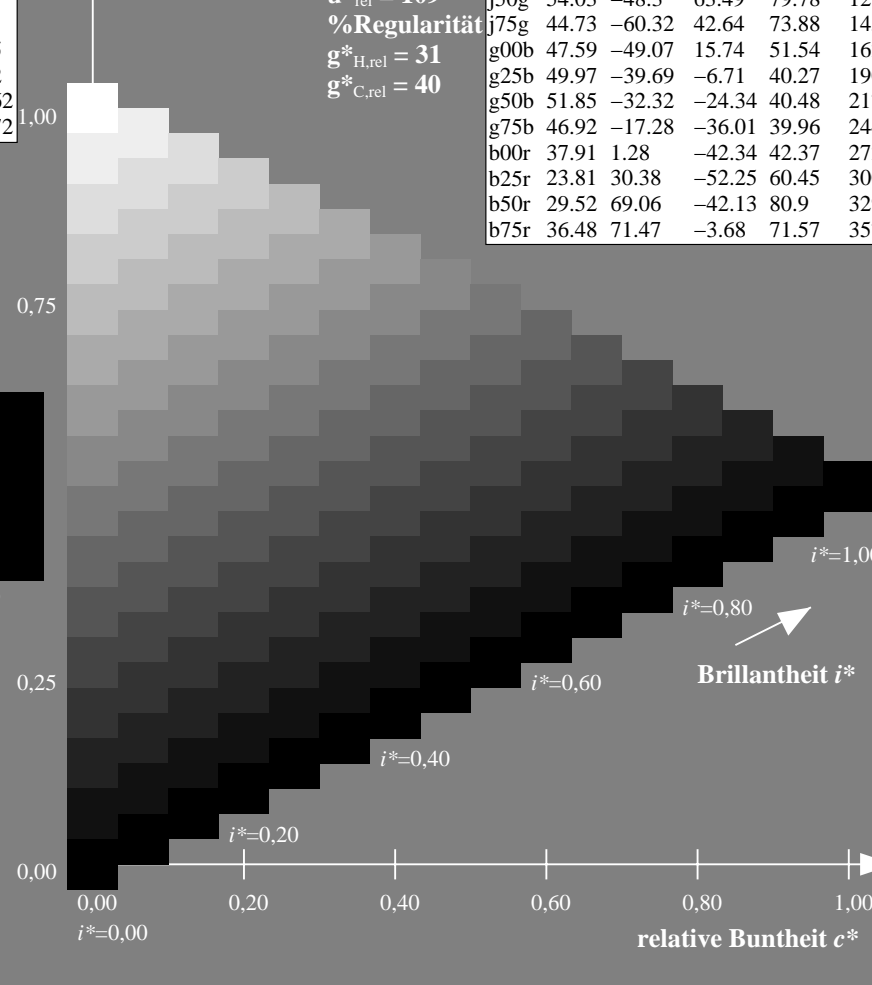
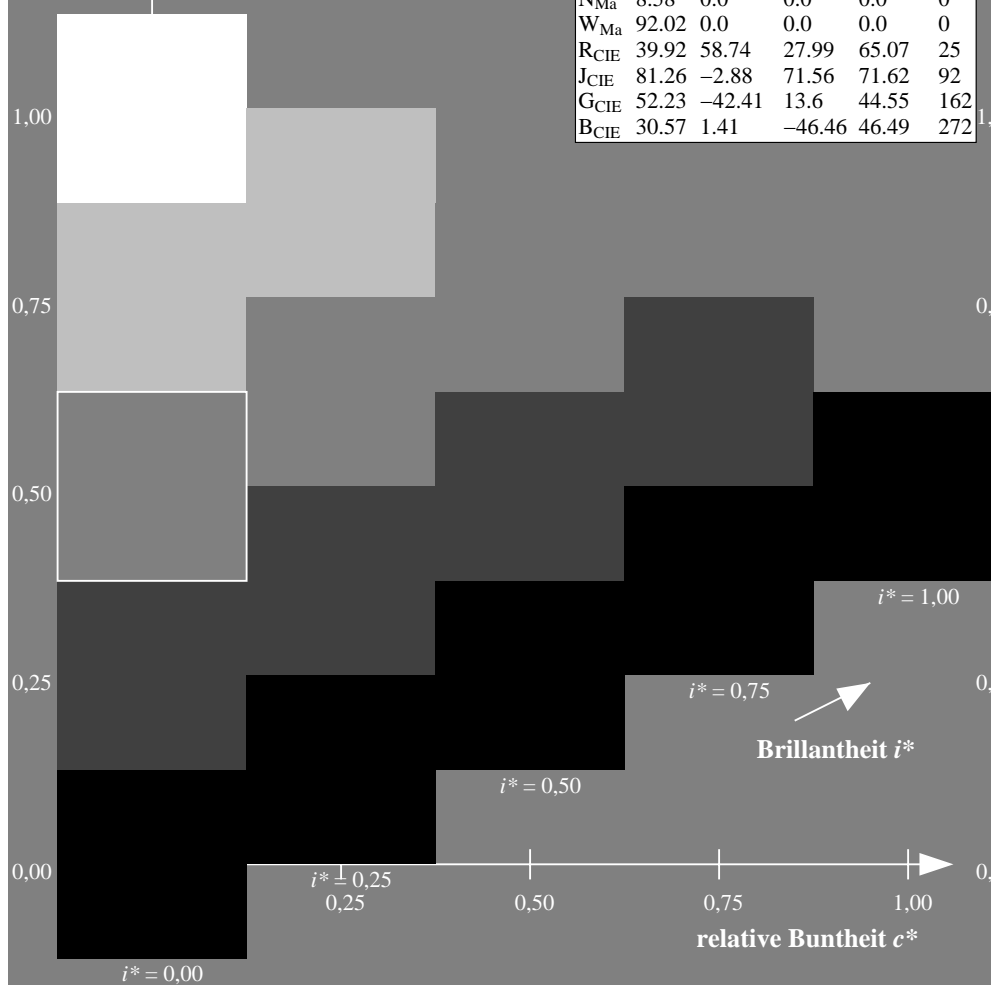
%Regularität

$g^*_{H,rel} = 31$

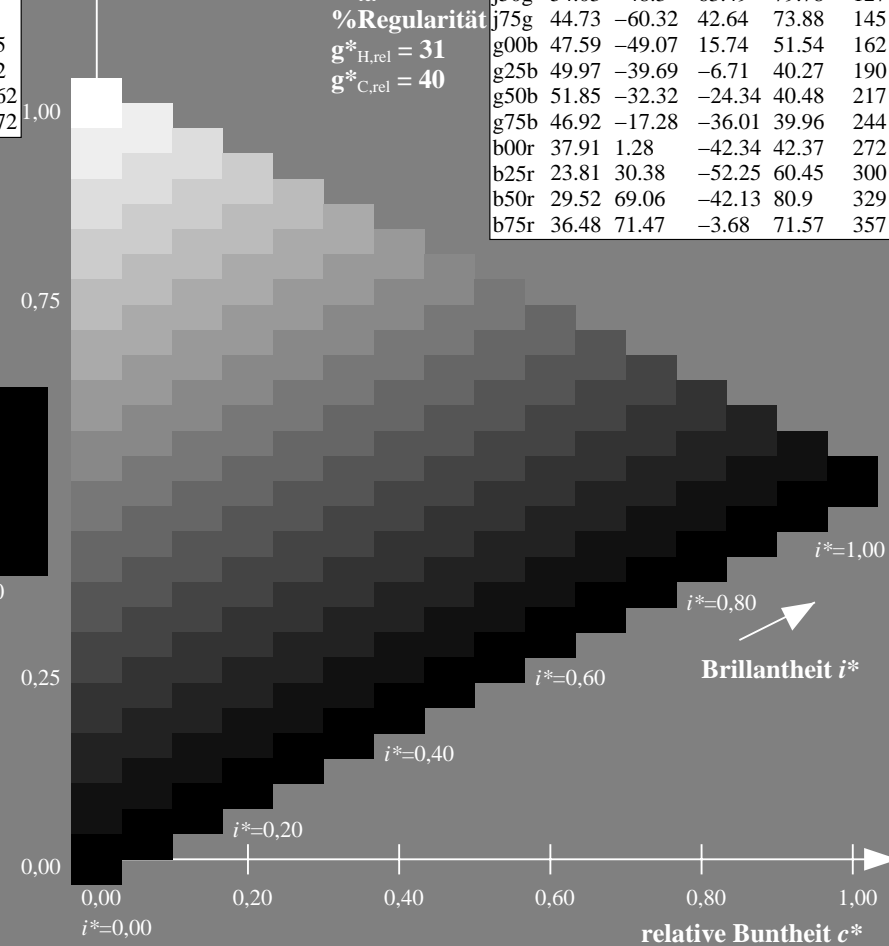
$g^*_{C,rel} = 40$

FRS09\_92a; adaptierte CIELAB-Daten

	$L^*=L_a^*$	$a_a^*$	$b_a^*$	$C_{ab,a}^*$	$h_{ab,a}^*$
r00j	35.47	63.32	30.17	70.15	25
r25j	39.12	54.56	49.45	73.64	42
r50j	50.64	39.15	64.89	75.79	59
r75j	64.01	21.26	82.83	85.52	76
j00g	83.18	-4.37	108.53	108.62	92
j25g	66.73	-29.88	83.06	88.28	110
j50g	54.03	-48.3	63.49	79.78	127
j75g	44.73	-60.32	42.64	73.88	145
g00b	47.59	-49.07	15.74	51.54	162
g25b	49.97	-39.69	-6.71	40.27	190
g50b	51.85	-32.32	-24.34	40.48	217
g75b	46.92	-17.28	-36.01	39.96	244
b00r	37.91	1.28	-42.34	42.37	272
b25r	23.81	30.38	-52.25	60.45	300
b50r	29.52	69.06	-42.13	80.9	329
b75r	36.48	71.47	-3.68	71.57	357



### Dreiecks-Helligkeit $t^*$


$$g^*_{C,rel} = 40$$


Farbreihen und 3 Separationen für 16 Bunttöne *r00j* bis *b75r*

Ausgabe:  $\rightarrow cmy\mathbf{n}5^* setcmykcolor$

BAM-Registrierung: 20080701-Dg70/10L/L70G00NA.PS/.TXTBAM-Material: Code=rhata  
Anwendung für Beurteilung und Messung von Drucker- oder Monitorsystemen

Ein und Ausgabe: Farbmetrisches Drucker-Reflektiv-System FRS09\_92a für relativen CIELAB-Buntton  $h^* = lab^*h^* = h_{ab}/360 = 76/360 = 0.21$

Daten für jede Farbe:

$lab^*ch^*$  und  $lab^*icu^*$

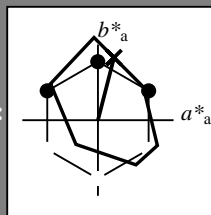
Elementar-Bunttontext:

$u^* = r75j$

Kontrastreduzierungsfaktor:

$c_R = 1.0$

Dreiecks-Helligkeit  $i^*$



FRS09\_92a; adaptierte CIELAB-Daten

	$L^*=L_a^*$	$a_a^*$	$b_a^*$	$C_{ab,a}^*$	$h_{ab,a}^*$
O <sub>Ma</sub>	35.06	60.0	44.0	74.4	36
Y <sub>Ma</sub>	83.77	-5.16	109.32	109.44	93
L <sub>Ma</sub>	44.13	-62.66	48.24	79.09	142
C <sub>Ma</sub>	52.66	-29.13	-31.98	43.27	228
V <sub>Ma</sub>	14.15	50.3	-59.03	77.57	310
M <sub>Ma</sub>	37.37	78.64	-33.49	85.48	337
N <sub>Ma</sub>	8.58	0.0	0.0	0.0	0
W <sub>Ma</sub>	92.02	0.0	0.0	0.0	0
R <sub>CIE</sub>	39.92	58.74	27.99	65.07	25
J <sub>CIE</sub>	81.26	-2.88	71.56	71.62	92
G <sub>CIE</sub>	52.23	-42.41	13.6	44.55	162
B <sub>CIE</sub>	30.57	1.41	-46.46	46.49	272

Daten für Maximalfarbe (Ma):

$LAB^*LAB^*Ma$ : 64 21 83

$LAB^*LCH^*Ma$ : 64 86 76

$lab^*rgb^*Ma$ : 1.0 0.75 0.0

$lab^*olv^*Ma$ : 1.0 0.59 0.0

Dreiecks-Helligkeit  $i^*$

%Umfang

$u^*_{rel} = 109$

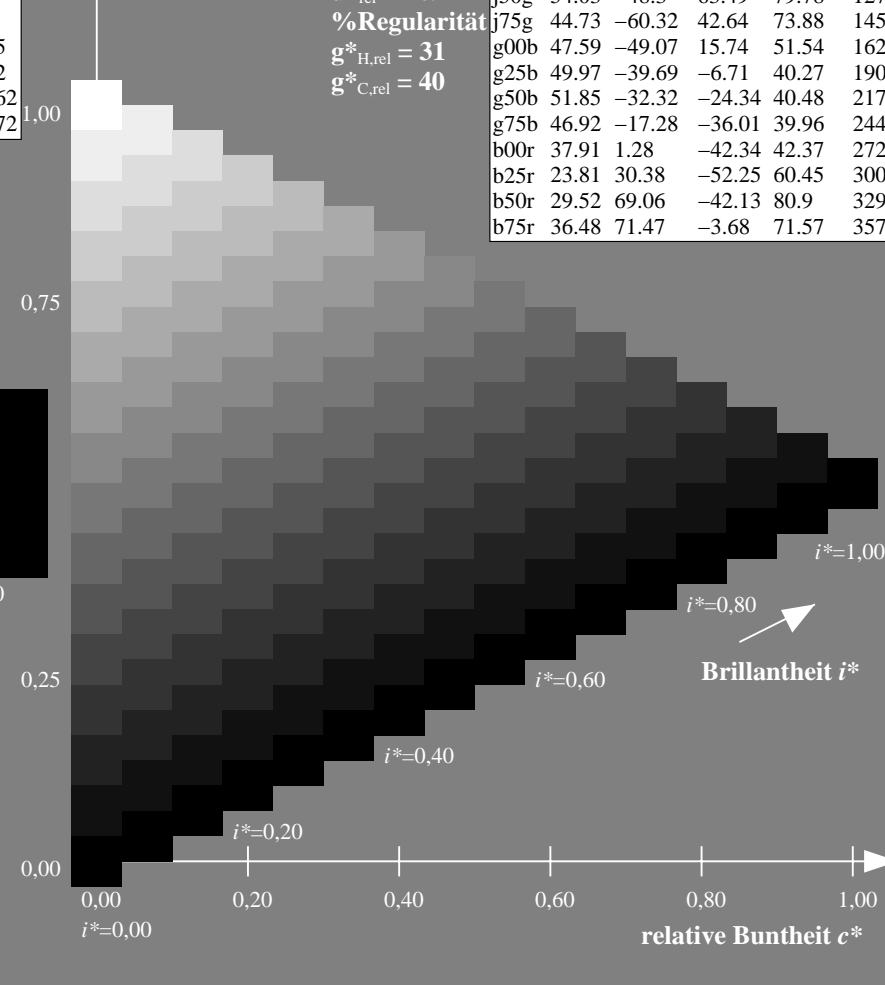
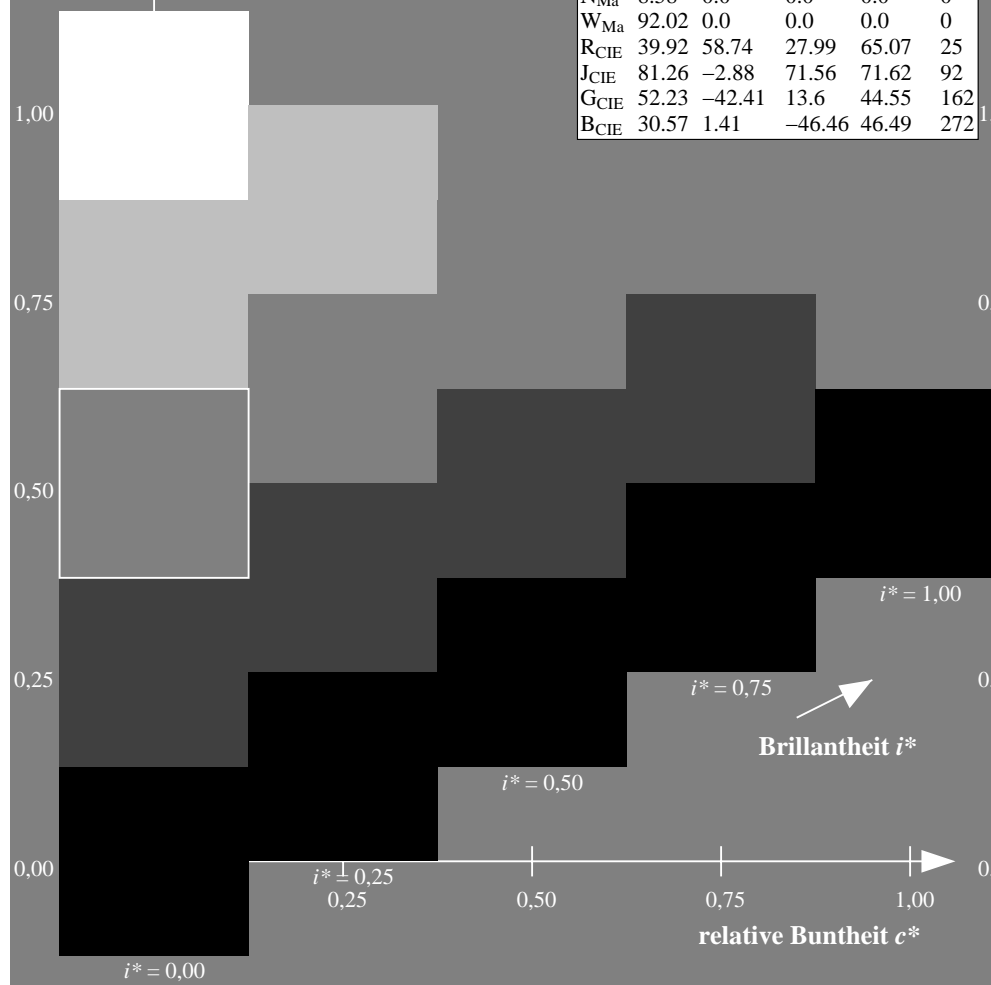
%Regularität

$g^*_{H,rel} = 31$

$g^*_{C,rel} = 40$

FRS09\_92a; adaptierte CIELAB-Daten

	$L^*=L_a^*$	$a_a^*$	$b_a^*$	$C_{ab,a}^*$	$h_{ab,a}^*$
r00j	35.47	63.32	30.17	70.15	25
r25j	39.12	54.56	49.45	73.64	42
r50j	50.64	39.15	64.89	75.79	59
r75j	64.01	21.26	82.83	85.52	76
j00g	83.18	-4.37	108.53	108.62	92
j25g	66.73	-29.88	83.06	88.28	110
j50g	54.03	-48.3	63.49	79.78	127
j75g	44.73	-60.32	42.64	73.88	145
g00b	47.59	-49.07	15.74	51.54	162
g25b	49.97	-39.69	-6.71	40.27	190
g50b	51.85	-32.32	-24.34	40.48	217
g75b	46.92	-17.28	-36.01	39.96	244
b00r	37.91	1.28	-42.34	42.37	272
b25r	23.81	30.38	-52.25	60.45	300
b50r	29.52	69.06	-42.13	80.9	329
b75r	36.48	71.47	-3.68	71.57	357



Ein und Ausgabe: Farbmetrisches Drucker-Reflektiv-System FRS09\_92a für relativen CIELAB-Buntton  $h^* = lab^*h^* = h_{ab}/360 = 92/360 = 0.256$

Daten für jede Farbe:

$lab^*tch^*$  und  $lab^*icu^*$

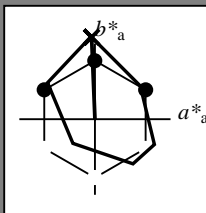
Elementar-Bunttoncontext:

$u^* = j00g$

Kontrastreduzierungsfaktor:

$c_R = 1.0$

Dreiecks-Helligkeit  $i^*$



FRS09\_92a; adaptierte CIELAB-Daten

	$L^*=L_a^*$	$a_a^*$	$b_a^*$	$C_{ab,a}^*$	$h_{ab,a}^*$
O <sub>Ma</sub>	35.06	60.0	44.0	74.4	36
Y <sub>Ma</sub>	83.77	-5.16	109.32	109.44	93
L <sub>Ma</sub>	44.13	-62.66	48.24	79.09	142
C <sub>Ma</sub>	52.66	-29.13	-31.98	43.27	228
V <sub>Ma</sub>	14.15	50.3	-59.03	77.57	310
M <sub>Ma</sub>	37.37	78.64	-33.49	85.48	337
N <sub>Ma</sub>	8.58	0.0	0.0	0.0	0
W <sub>Ma</sub>	92.02	0.0	0.0	0.0	0
R <sub>CIE</sub>	39.92	58.74	27.99	65.07	25
J <sub>CIE</sub>	81.26	-2.88	71.56	71.62	92
G <sub>CIE</sub>	52.23	-42.41	13.6	44.55	162
B <sub>CIE</sub>	30.57	1.41	-46.46	46.49	272

Daten für Maximalfarbe (Ma):

$LAB^*LAB^*_{Ma}$ : 83 -3 109

$LAB^*LCH^*_{Ma}$ : 83 109 92

$lab^*rgb^*_{Ma}$ : 1.0 1.0 0.0

$lab^*olv^*_{Ma}$ : 1.0 0.99 0.0

Dreiecks-Helligkeit  $i^*$

%Umfang

$u^*_{rel} = 109$

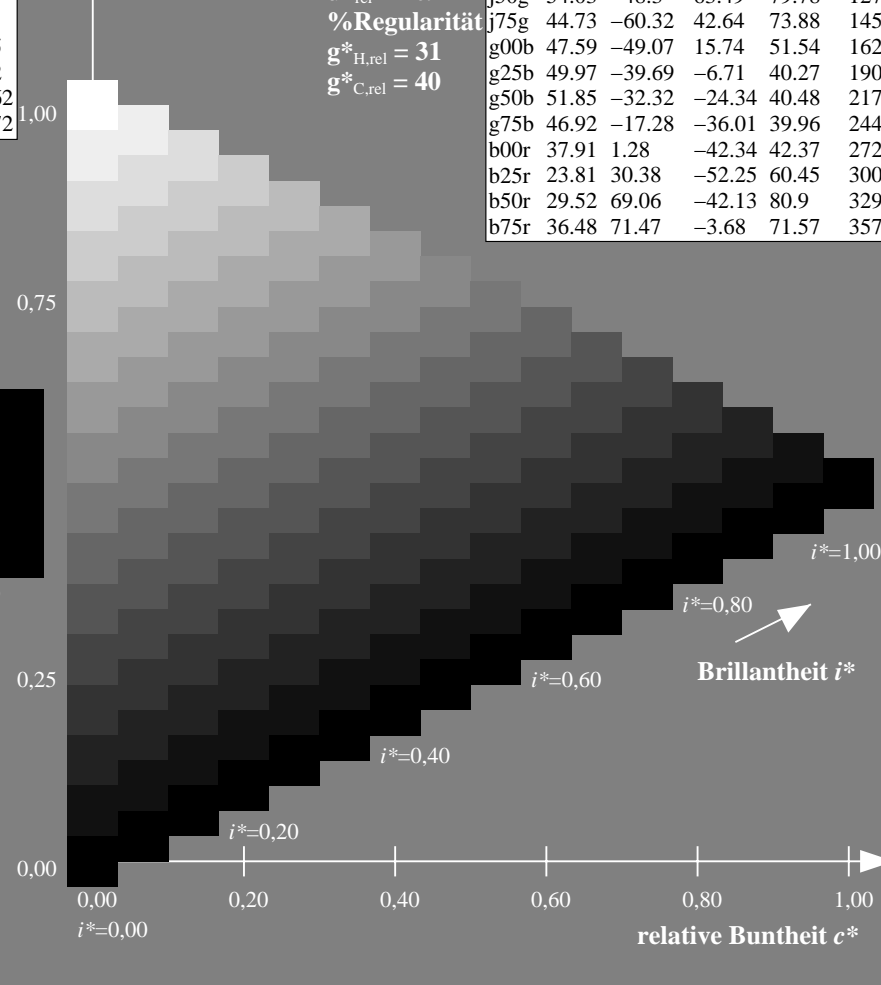
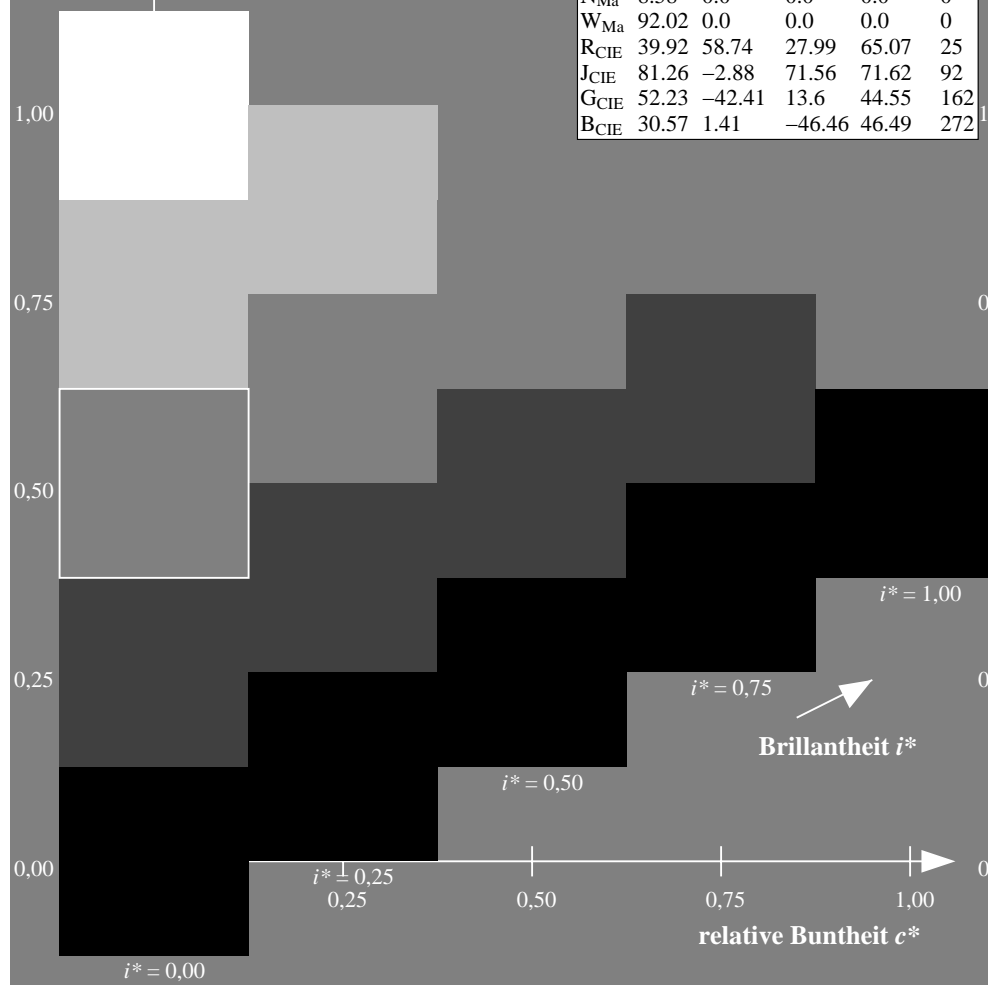
%Regularität

$g^*_{H,rel} = 31$

$g^*_{C,rel} = 40$

FRS09\_92a; adaptierte CIELAB-Daten

	$L^*=L_a^*$	$a_a^*$	$b_a^*$	$C_{ab,a}^*$	$h_{ab,a}^*$
r00j	35.47	63.32	30.17	70.15	25
r25j	39.12	54.56	49.45	73.64	42
r50j	50.64	39.15	64.89	75.79	59
r75j	64.01	21.26	82.83	85.52	76
j00g	83.18	-4.37	108.53	108.62	92
j25g	66.73	-29.88	83.06	88.28	110
j50g	54.03	-48.3	63.49	79.78	127
j75g	44.73	-60.32	42.64	73.88	145
g00b	47.59	-49.07	15.74	51.54	162
g25b	49.97	-39.69	-6.71	40.27	190
g50b	51.85	-32.32	-24.34	40.48	217
g75b	46.92	-17.28	-36.01	39.96	244
b00r	37.91	1.28	-42.34	42.37	272
b25r	23.81	30.38	-52.25	60.45	300
b50r	29.52	69.06	-42.13	80.9	329
b75r	36.48	71.47	-3.68	71.57	357



Ein und Ausgabe: Farbmetrisches Drucker-Reflektiv-System FRS09\_92a für relativen CIELAB-Buntton  $h^* = lab^*h^* = h_{ab}/360 = 110/360 = 0.305$

Daten für jede Farbe:

$lab^*ch^*$  und  $lab^*icu^*$

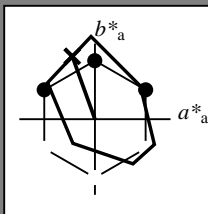
Elementar-Bunttontext:

$u^* = j25g$

Kontrastreduzierungsfaktor:

$c_R = 1.0$

Dreiecks-Helligkeit  $i^*$



FRS09\_92a; adaptierte CIELAB-Daten

	$L^*=L_a^*$	$a_a^*$	$b_a^*$	$C_{ab,a}^*$	$h_{ab,a}^*$
O <sub>Ma</sub>	35.06	60.0	44.0	74.4	36
Y <sub>Ma</sub>	83.77	-5.16	109.32	109.44	93
L <sub>Ma</sub>	44.13	-62.66	48.24	79.09	142
C <sub>Ma</sub>	52.66	-29.13	-31.98	43.27	228
V <sub>Ma</sub>	14.15	50.3	-59.03	77.57	310
M <sub>Ma</sub>	37.37	78.64	-33.49	85.48	337
N <sub>Ma</sub>	8.58	0.0	0.0	0.0	0
W <sub>Ma</sub>	92.02	0.0	0.0	0.0	0
R <sub>CIE</sub>	39.92	58.74	27.99	65.07	25
J <sub>CIE</sub>	81.26	-2.88	71.56	71.62	92
G <sub>CIE</sub>	52.23	-42.41	13.6	44.55	162
B <sub>CIE</sub>	30.57	1.41	-46.46	46.49	272

Daten für Maximalfarbe (Ma):

$LAB^*LAB^*Ma$ : 67 -29 83

$LAB^*LCH^*Ma$ : 67 88 110

$lab^*rgb^*Ma$ : 0.75 1.0 0.0

$lab^*olv^*Ma$ : 0.57 1.0 0.0

Dreiecks-Helligkeit  $i^*$

%Umfang

$u^*_{rel} = 109$

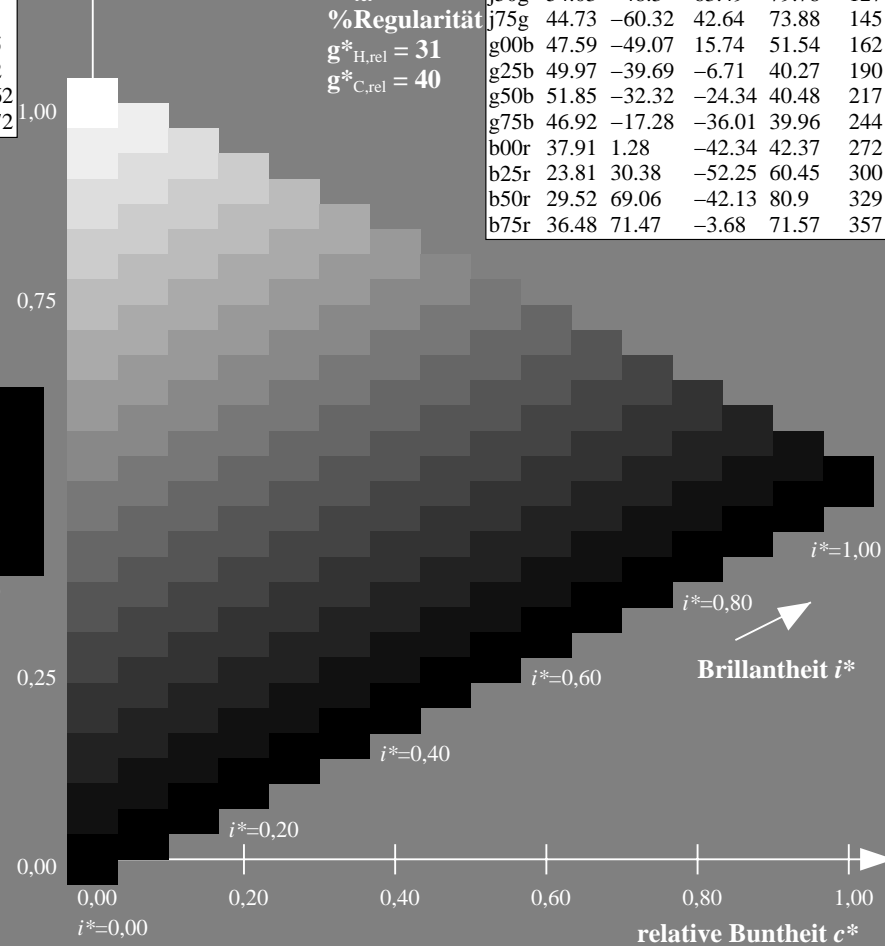
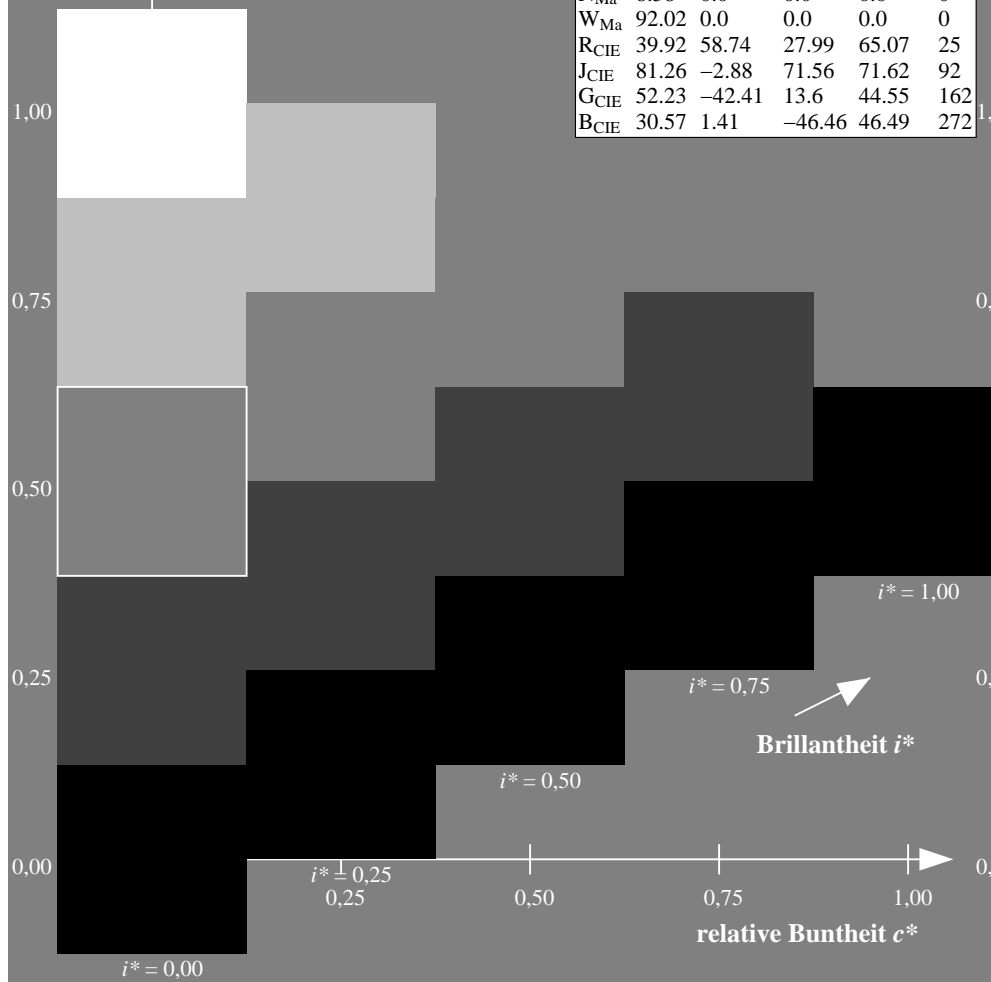
%Regularität

$g^*_{H,rel} = 31$

$g^*_{C,rel} = 40$

FRS09\_92a; adaptierte CIELAB-Daten

	$L^*=L_a^*$	$a_a^*$	$b_a^*$	$C_{ab,a}^*$	$h_{ab,a}^*$
r00j	35.47	63.32	30.17	70.15	25
r25j	39.12	54.56	49.45	73.64	42
r50j	50.64	39.15	64.89	75.79	59
r75j	64.01	21.26	82.83	85.52	76
j00g	83.18	-4.37	108.53	108.62	92
j25g	66.73	-29.88	83.06	88.28	110
j50g	54.03	-48.3	63.49	79.78	127
j75g	44.73	-60.32	42.64	73.88	145
g00b	47.59	-49.07	15.74	51.54	162
g25b	49.97	-39.69	-6.71	40.27	190
g50b	51.85	-32.32	-24.34	40.48	217
g75b	46.92	-17.28	-36.01	39.96	244
b00r	37.91	1.28	-42.34	42.37	272
b25r	23.81	30.38	-52.25	60.45	300
b50r	29.52	69.06	-42.13	80.9	329
b75r	36.48	71.47	-3.68	71.57	357



Ein und Ausgabe: Farbmetrisches Drucker-Reflektiv-System FRS09\_92a für relativen CIELAB-Buntton  $h^* = lab^*h^* = h_{ab}/360 = 127/360 = 0.354$

Daten für jede Farbe:

$lab^*ch^*$  und  $lab^*icu^*$

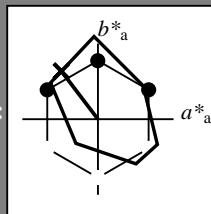
Elementar-Bunttontext:

$u^* = j50g$

Kontrastreduzierungsfaktor:

$c_R = 1.0$

Dreiecks-Helligkeit  $i^*$



FRS09\_92a; adaptierte CIELAB-Daten

	$L^*=L_a^*$	$a_a^*$	$b_a^*$	$C_{ab,a}^*$	$h_{ab,a}^*$
O <sub>Ma</sub>	35.06	60.0	44.0	74.4	36
Y <sub>Ma</sub>	83.77	-5.16	109.32	109.44	93
L <sub>Ma</sub>	44.13	-62.66	48.24	79.09	142
C <sub>Ma</sub>	52.66	-29.13	-31.98	43.27	228
V <sub>Ma</sub>	14.15	50.3	-59.03	77.57	310
M <sub>Ma</sub>	37.37	78.64	-33.49	85.48	337
N <sub>Ma</sub>	8.58	0.0	0.0	0.0	0
W <sub>Ma</sub>	92.02	0.0	0.0	0.0	0
R <sub>CIE</sub>	39.92	58.74	27.99	65.07	25
J <sub>CIE</sub>	81.26	-2.88	71.56	71.62	92
G <sub>CIE</sub>	52.23	-42.41	13.6	44.55	162
B <sub>CIE</sub>	30.57	1.41	-46.46	46.49	272

Daten für Maximalfarbe (Ma):

$LAB^*LAB^*Ma$ : 54 -47 63

$LAB^*LCH^*Ma$ : 54 80 127

$lab^*rgb^*Ma$ : 0.5 1.0 0.0

$lab^*olv^*Ma$ : 0.25 1.0 0.0

Dreiecks-Helligkeit  $i^*$

%Umfang

$u^*_{rel} = 109$

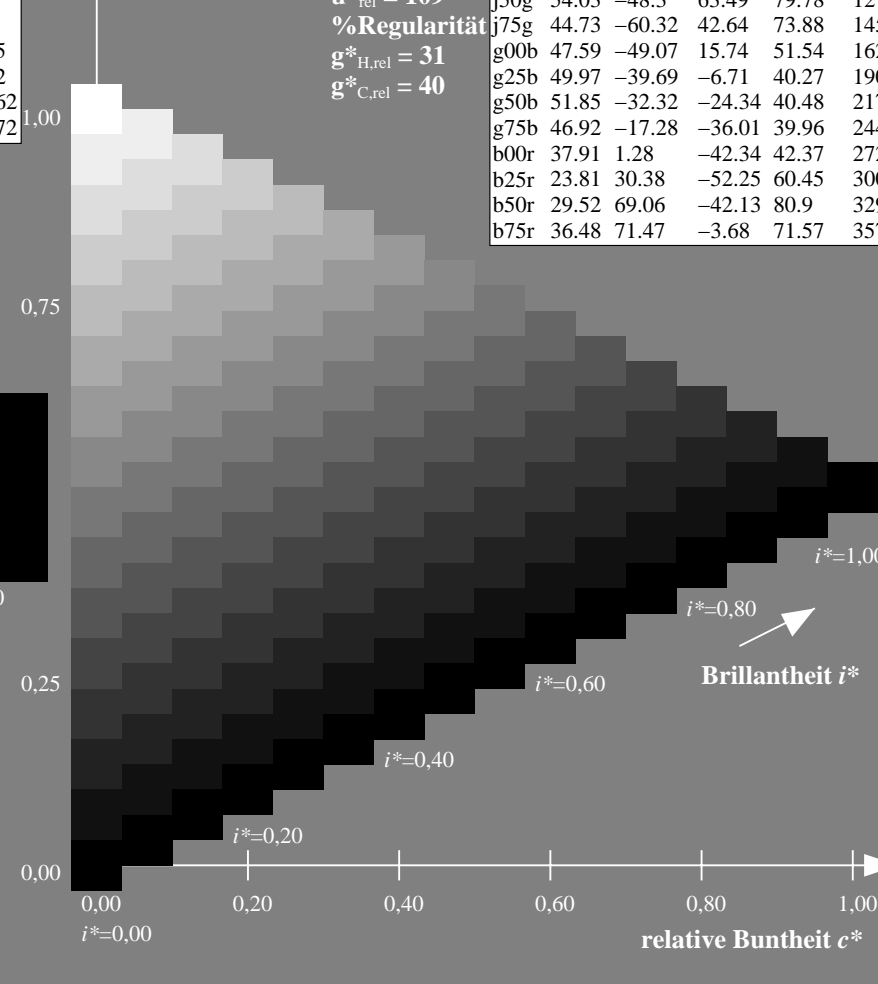
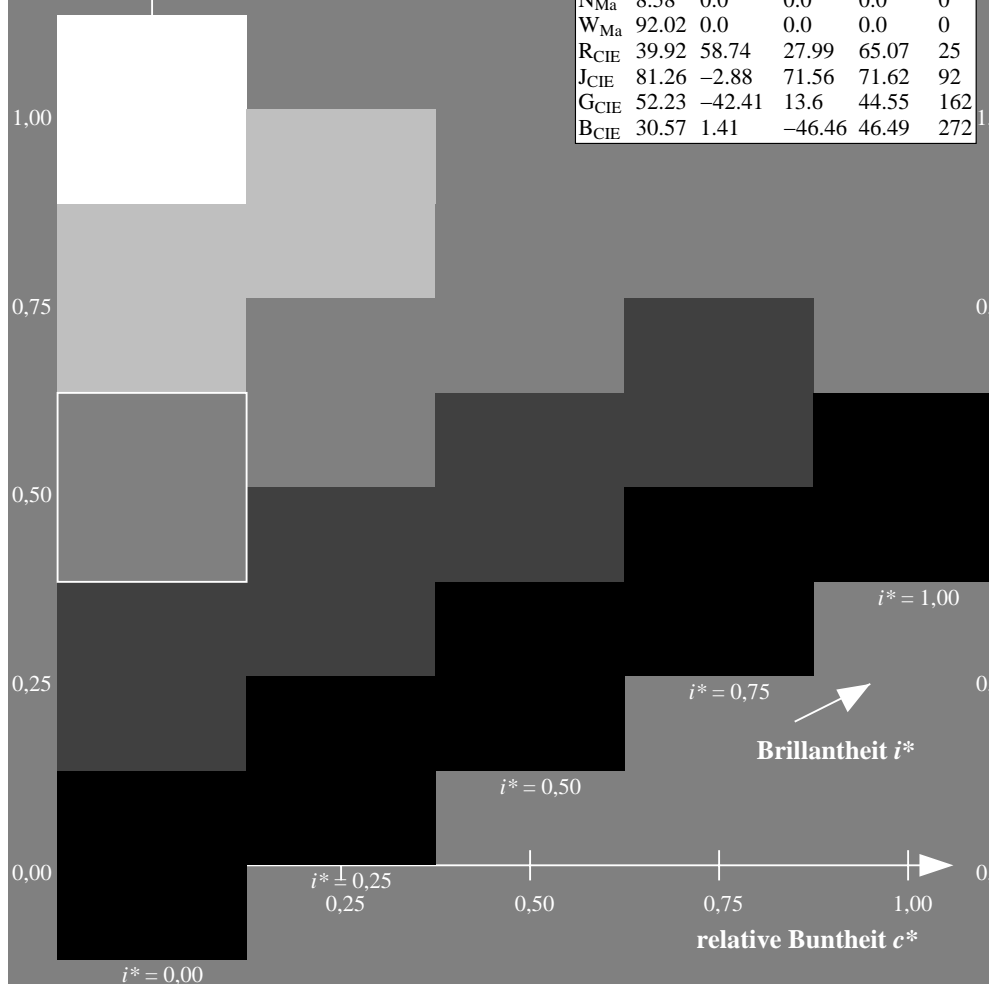
%Regularität

$g^*_{H,rel} = 31$

$g^*_{C,rel} = 40$

FRS09\_92a; adaptierte CIELAB-Daten

	$L^*=L_a^*$	$a_a^*$	$b_a^*$	$C_{ab,a}^*$	$h_{ab,a}^*$
r00j	35.47	63.32	30.17	70.15	25
r25j	39.12	54.56	49.45	73.64	42
r50j	50.64	39.15	64.89	75.79	59
r75j	64.01	21.26	82.83	85.52	76
j00g	83.18	-4.37	108.53	108.62	92
j25g	66.73	-29.88	83.06	88.28	110
j50g	54.03	-48.3	63.49	79.78	127
j75g	44.73	-60.32	42.64	73.88	145
g00b	47.59	-49.07	15.74	51.54	162
g25b	49.97	-39.69	-6.71	40.27	190
g50b	51.85	-32.32	-24.34	40.48	217
g75b	46.92	-17.28	-36.01	39.96	244
b00r	37.91	1.28	-42.34	42.37	272
b25r	23.81	30.38	-52.25	60.45	300
b50r	29.52	69.06	-42.13	80.9	329
b75r	36.48	71.47	-3.68	71.57	357





Ein und Ausgabe: Farbmetrisches Drucker-Reflektiv-System FRS09\_92a für relativen CIELAB-Buntton  $h^* = lab^*h^* = h_{ab}/360 = 145/360 = 0.402$

Daten für jede Farbe:

$lab^*ch^*$  und  $lab^*icu^*$

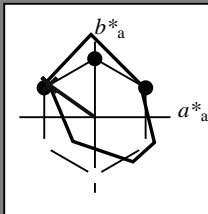
Elementar-Bunttoncontext:

$u^* = j75g$

Kontrastreduzierungsfaktor:

$c_R = 1.0$

Dreiecks-Helligkeit  $i^*$



FRS09\_92a; adaptierte CIELAB-Daten

	$L^*=L_a^*$	$a_a^*$	$b_a^*$	$C^*_{ab,a}$	$h^*_{ab,a}$
O <sub>Ma</sub>	35.06	60.0	44.0	74.4	36
Y <sub>Ma</sub>	83.77	-5.16	109.32	109.44	93
L <sub>Ma</sub>	44.13	-62.66	48.24	79.09	142
C <sub>Ma</sub>	52.66	-29.13	-31.98	43.27	228
V <sub>Ma</sub>	14.15	50.3	-59.03	77.57	310
M <sub>Ma</sub>	37.37	78.64	-33.49	85.48	337
N <sub>Ma</sub>	8.58	0.0	0.0	0.0	0
W <sub>Ma</sub>	92.02	0.0	0.0	0.0	0
R <sub>CIE</sub>	39.92	58.74	27.99	65.07	25
J <sub>CIE</sub>	81.26	-2.88	71.56	71.62	92
G <sub>CIE</sub>	52.23	-42.41	13.6	44.55	162
B <sub>CIE</sub>	30.57	1.41	-46.46	46.49	272

Daten für Maximalfarbe (Ma):

$LAB^*LAB^*_{Ma}$ : 45 -59 43

$LAB^*LCH^*_{Ma}$ : 45 74 145

$lab^*rgb^*_{Ma}$ : 0.25 1.0 0.0

$lab^*olv^*_{Ma}$ : 0.0 1.0 0.07

Dreiecks-Helligkeit  $i^*$

%Umfang

$u^*_{rel} = 109$

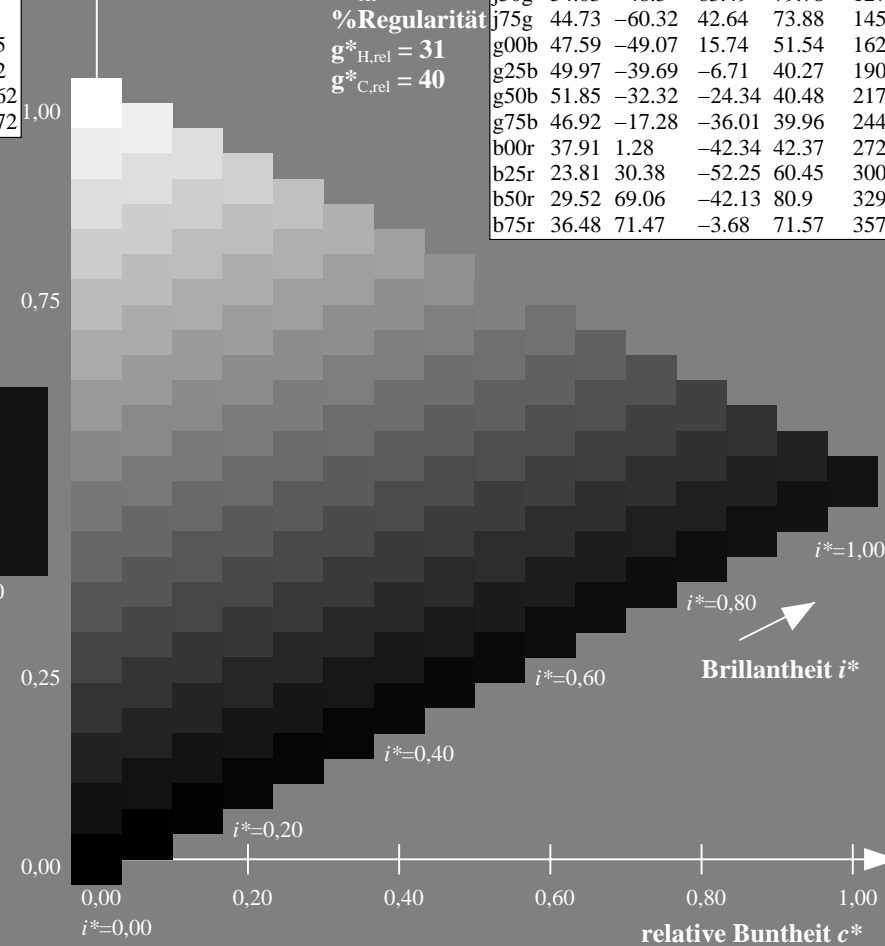
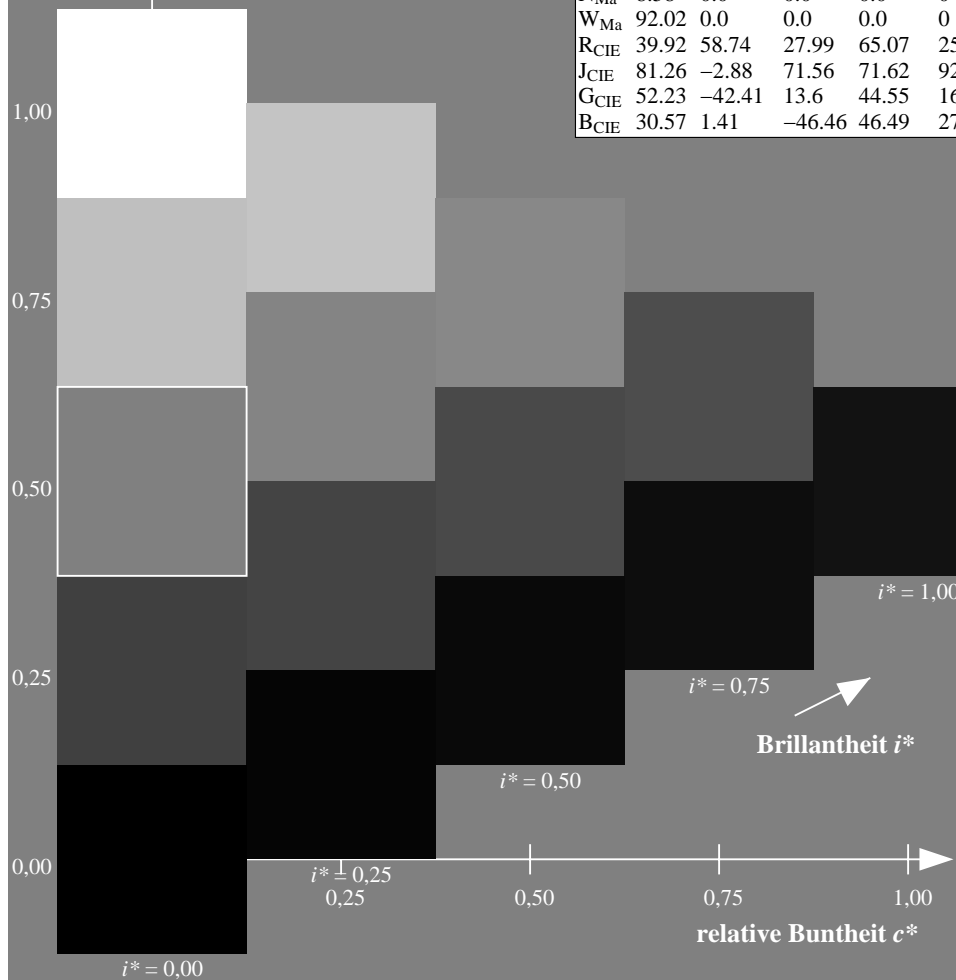
%Regularität

$g^*_{H,rel} = 31$

$g^*_{C,rel} = 40$

FRS09\_92a; adaptierte CIELAB-Daten

	$L^*=L_a^*$	$a_a^*$	$b_a^*$	$C^*_{ab,a}$	$h^*_{ab,a}$
r00j	35.47	63.32	30.17	70.15	25
r25j	39.12	54.56	49.45	73.64	42
r50j	50.64	39.15	64.89	75.79	59
r75j	64.01	21.26	82.83	85.52	76
j00g	83.18	-4.37	108.53	108.62	92
j25g	66.73	-29.88	83.06	88.28	110
j50g	54.03	-48.3	63.49	79.78	127
j75g	44.73	-60.32	42.64	73.88	145
g00b	47.59	-49.07	15.74	51.54	162
g25b	49.97	-39.69	-6.71	40.27	190
g50b	51.85	-32.32	-24.34	40.48	217
g75b	46.92	-17.28	-36.01	39.96	244
b00r	37.91	1.28	-42.34	42.37	272
b25r	23.81	30.38	-52.25	60.45	300
b50r	29.52	69.06	-42.13	80.9	329
b75r	36.48	71.47	-3.68	71.57	357

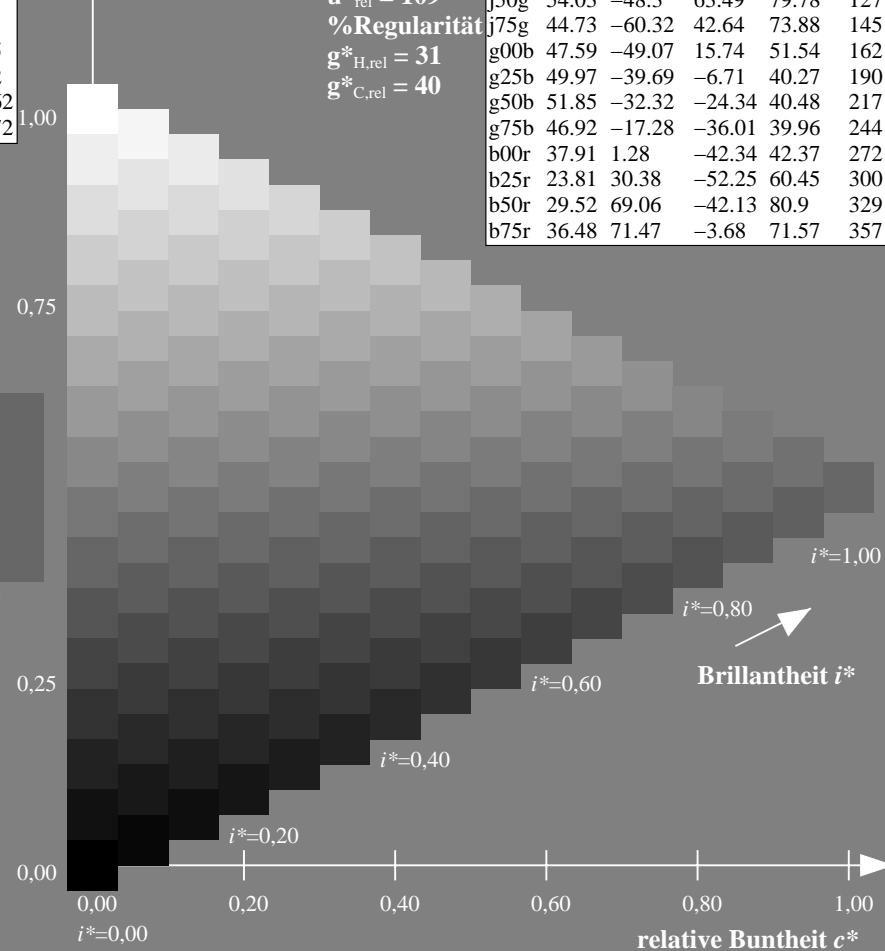


**Directs Strength:**



**Dickens Hemingway:**

j25g	66.73	-29.88	83.06	88.28	110
------	-------	--------	-------	-------	-----



Ausgabe:  $\rightarrow cmy\mathbf{n}5^* \text{ setcmykcolor}$

BAM-Registrierung: 20080701-Dg70/10L/L70G00NA.PS/.TXTBAM-Material: Code=rhata  
t Anwendung für Beurteilung und Messung von Drucker- oder Monitorsystemen

Ein und Ausgabe: Farbmetrisches Drucker-Reflektiv-System FRS09\_92a für relativen CIELAB-Buntton  $h^* = lab^*h^* = h_{ab}/360 = 190/360 = 0.527$

Daten für jede Farbe:

$lab^*ch^*$  und  $lab^*icu^*$

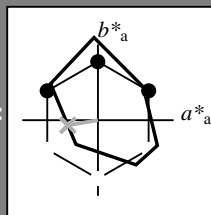
Elementar-Bunttontext:

$u^* = g25b$

Kontrastreduzierungsfaktor:

$c_R = 1.0$

Dreiecks-Helligkeit  $i^*$



FRS09\_92a; adaptierte CIELAB-Daten

	$L^*=L_a^*$	$a_a^*$	$b_a^*$	$C_{ab,a}^*$	$h_{ab,a}^*$
O <sub>Ma</sub>	35.06	60.0	44.0	74.4	36
Y <sub>Ma</sub>	83.77	-5.16	109.32	109.44	93
L <sub>Ma</sub>	44.13	-62.66	48.24	79.09	142
C <sub>Ma</sub>	52.66	-29.13	-31.98	43.27	228
V <sub>Ma</sub>	14.15	50.3	-59.03	77.57	310
M <sub>Ma</sub>	37.37	78.64	-33.49	85.48	337
N <sub>Ma</sub>	8.58	0.0	0.0	0.0	0
W <sub>Ma</sub>	92.02	0.0	0.0	0.0	0
R <sub>CIE</sub>	39.92	58.74	27.99	65.07	25
J <sub>CIE</sub>	81.26	-2.88	71.56	71.62	92
G <sub>CIE</sub>	52.23	-42.41	13.6	44.55	162
B <sub>CIE</sub>	30.57	1.41	-46.46	46.49	272

Daten für Maximalfarbe (Ma):

$LAB^*LAB^*Ma$ : 50 -39 -6

$LAB^*LCH^*Ma$ : 50 40 190

$lab^*rgb^*Ma$ : 0.0 1.0 0.5

$lab^*olv^*Ma$ : 0.0 1.0 0.69

Dreiecks-Helligkeit  $i^*$

%Umfang

$u^*_{rel} = 109$

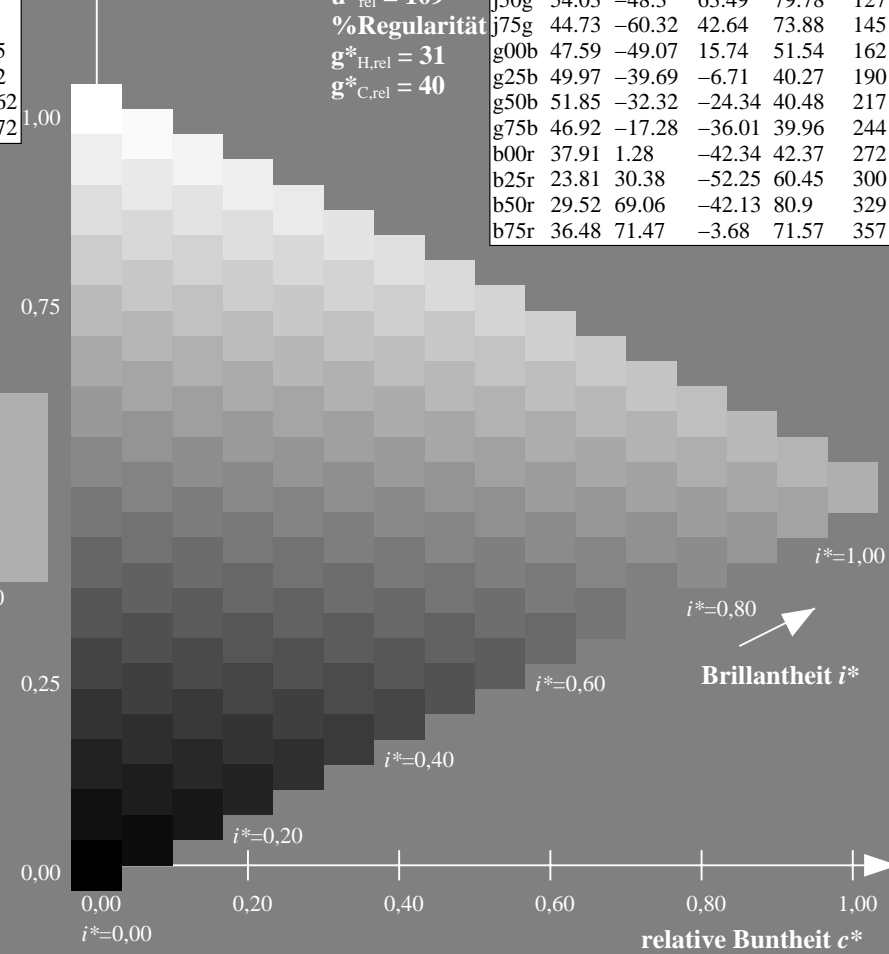
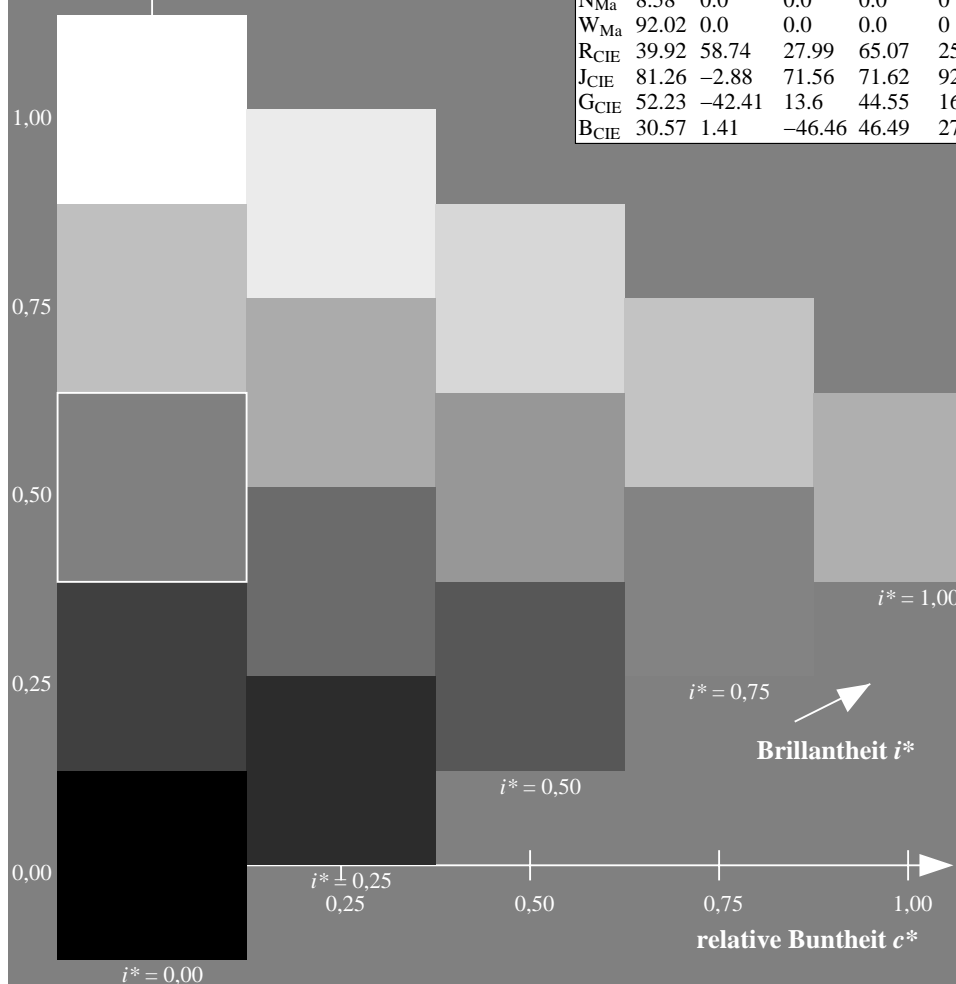
%Regularität

$g^*_{H,rel} = 31$

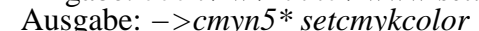
$g^*_{C,rel} = 40$

FRS09\_92a; adaptierte CIELAB-Daten

	$L^*=L_a^*$	$a_a^*$	$b_a^*$	$C_{ab,a}^*$	$h_{ab,a}^*$
r00j	35.47	63.32	30.17	70.15	25
r25j	39.12	54.56	49.45	73.64	42
r50j	50.64	39.15	64.89	75.79	59
r75j	64.01	21.26	82.83	85.52	76
j00g	83.18	-4.37	108.53	108.62	92
j25g	66.73	-29.88	83.06	88.28	110
j50g	54.03	-48.3	63.49	79.78	127
j75g	44.73	-60.32	42.64	73.88	145
g00b	47.59	-49.07	15.74	51.54	162
g25b	49.97	-39.69	-6.71	40.27	190
g50b	51.85	-32.32	-24.34	40.48	217
g75b	46.92	-17.28	-36.01	39.96	244
b00r	37.91	1.28	-42.34	42.37	272
b25r	23.81	30.38	-52.25	60.45	300
b50r	29.52	69.06	-42.13	80.9	329
b75r	36.48	71.47	-3.68	71.57	357



100



BAM-Registrierung: 20080701-Dg70/10L/L70G00NA.PS/ .TXTBAM-Material: Code=rhdata - Anwendung für Beurteilung und Messung von Drucker- oder Monitorsystemen

Ein und Ausgabe: Farbmetrisches Drucker-Reflektiv-System FRS09\_92a für relativen CIELAB-Buntton  $h^* = lab^*h^* = h_{ab}/360 = 244/360 = 0.679$

Daten für jede Farbe:

$lab^*ch^*$  und  $lab^*icu^*$

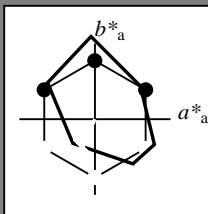
Elementar-Bunttonext:

$u^* = g75b$

Kontrastreduzierungsfaktor:

$c_R = 1.0$

Dreiecks-Helligkeit  $i^*$



FRS09\_92a; adaptierte CIELAB-Daten

	$L^*=L^*_a$	$a^*_a$	$b^*_a$	$C^*_{ab,a}$	$h^*_{ab,a}$
O <sub>Ma</sub>	35.06	60.0	44.0	74.4	36
Y <sub>Ma</sub>	83.77	-5.16	109.32	109.44	93
L <sub>Ma</sub>	44.13	-62.66	48.24	79.09	142
C <sub>Ma</sub>	52.66	-29.13	-31.98	43.27	228
V <sub>Ma</sub>	14.15	50.3	-59.03	77.57	310
M <sub>Ma</sub>	37.37	78.64	-33.49	85.48	337
N <sub>Ma</sub>	8.58	0.0	0.0	0.0	0
W <sub>Ma</sub>	92.02	0.0	0.0	0.0	0
R <sub>CIE</sub>	39.92	58.74	27.99	65.07	25
J <sub>CIE</sub>	81.26	-2.88	71.56	71.62	92
G <sub>CIE</sub>	52.23	-42.41	13.6	44.55	162
B <sub>CIE</sub>	30.57	1.41	-46.46	46.49	272

Daten für Maximalfarbe (Ma):

$LAB^*LAB^*_{Ma}$ : 47 -16 -35

$LAB^*LCH^*_{Ma}$ : 47 40 244

$lab^*rgb^*_{Ma}$ : 0.0 0.5 1.0

$lab^*olv^*_{Ma}$ : 0.0 0.85 1.0

Dreiecks-Helligkeit  $i^*$

%Umfang

$u^*_{rel} = 109$

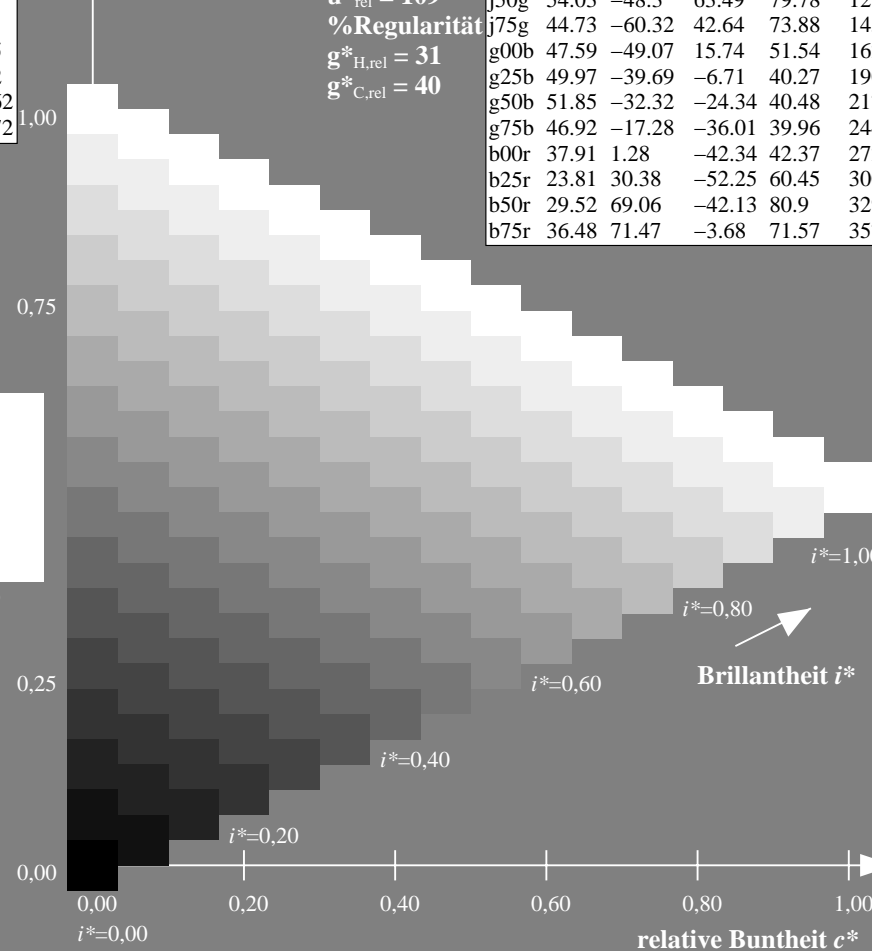
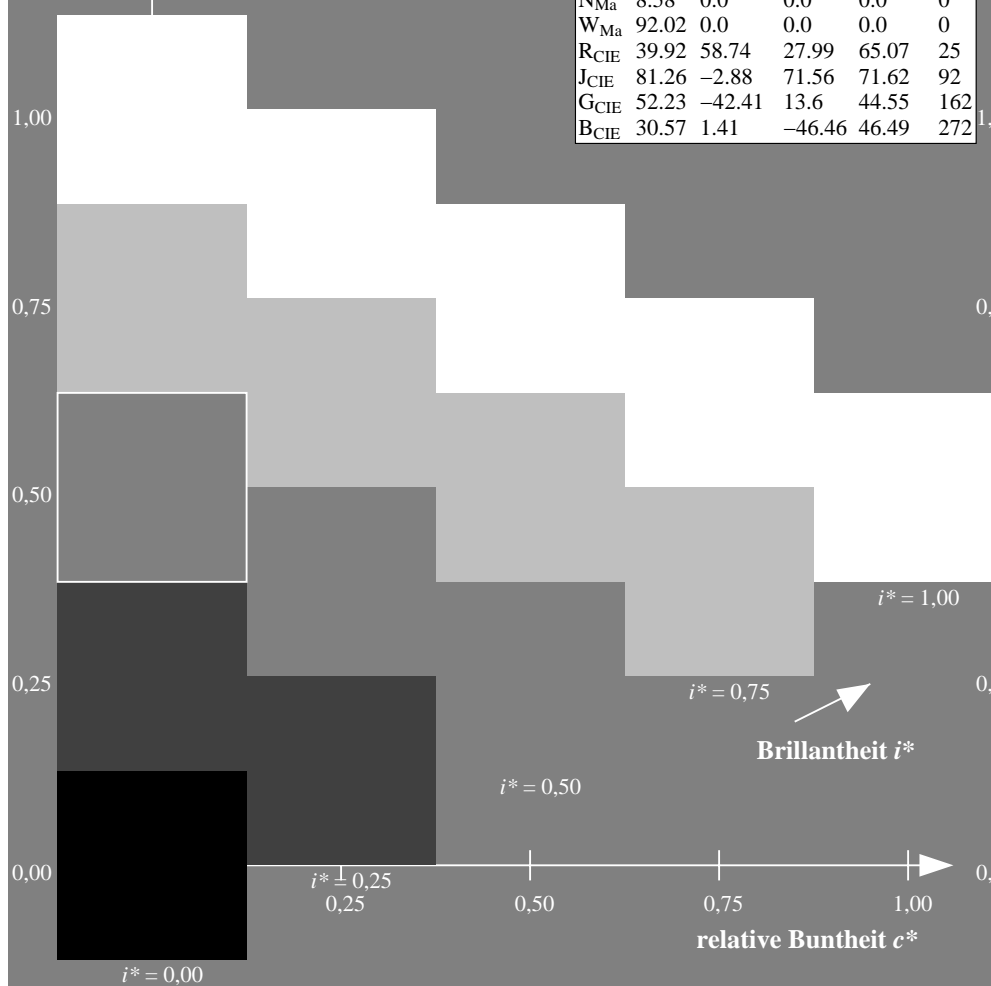
%Regularität

$g^*_{H,rel} = 31$

$g^*_{C,rel} = 40$

FRS09\_92a; adaptierte CIELAB-Daten

	$L^*=L^*_a$	$a^*_a$	$b^*_a$	$C^*_{ab,a}$	$h^*_{ab,a}$
r00j	35.47	63.32	30.17	70.15	25
r25j	39.12	54.56	49.45	73.64	42
r50j	50.64	39.15	64.89	75.79	59
r75j	64.01	21.26	82.83	85.52	76
j00g	83.18	-4.37	108.53	108.62	92
j25g	66.73	-29.88	83.06	88.28	110
j50g	54.03	-48.3	63.49	79.78	127
j75g	44.73	-60.32	42.64	73.88	145
g00b	47.59	-49.07	15.74	51.54	162
g25b	49.97	-39.69	-6.71	40.27	190
g50b	51.85	-32.32	-24.34	40.48	217
g75b	46.92	-17.28	-36.01	39.96	244
b00r	37.91	1.28	-42.34	42.37	272
b25r	23.81	30.38	-52.25	60.45	300
b50r	29.52	69.06	-42.13	80.9	329
b75r	36.48	71.47	-3.68	71.57	357







Ein und Ausgabe: Farbmetrisches Drucker-Reflektiv-System FRS09\_92a für relativen CIELAB-Buntton  $h^* = lab^*h^* = h_{ab}/360 = 300/360 = 0.834$

Daten für jede Farbe:

$lab^*ch^*$  und  $lab^*icu^*$

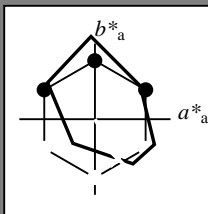
Elementar-Bunttontext:

$u^* = b25r$

Kontrastreduzierungsfaktor:

$c_R = 1.0$

Dreiecks-Helligkeit  $i^*$



FRS09\_92a; adaptierte CIELAB-Daten

	$L^*=L^*_a$	$a^*_a$	$b^*_a$	$C^*_{ab,a}$	$h^*_{ab,a}$
O <sub>Ma</sub>	35.06	60.0	44.0	74.4	36
Y <sub>Ma</sub>	83.77	-5.16	109.32	109.44	93
L <sub>Ma</sub>	44.13	-62.66	48.24	79.09	142
C <sub>Ma</sub>	52.66	-29.13	-31.98	43.27	228
V <sub>Ma</sub>	14.15	50.3	-59.03	77.57	310
M <sub>Ma</sub>	37.37	78.64	-33.49	85.48	337
N <sub>Ma</sub>	8.58	0.0	0.0	0.0	0
W <sub>Ma</sub>	92.02	0.0	0.0	0.0	0
R <sub>CIE</sub>	39.92	58.74	27.99	65.07	25
J <sub>CIE</sub>	81.26	-2.88	71.56	71.62	92
G <sub>CIE</sub>	52.23	-42.41	13.6	44.55	162
B <sub>CIE</sub>	30.57	1.41	-46.46	46.49	272

Daten für Maximalfarbe (Ma):

$LAB^*LAB^*_{Ma}$ : 24 30 -51

$LAB^*LCH^*_{Ma}$ : 24 60 300

$lab^*rgb^*_{Ma}$ : 0.5 0.0 1.0

$lab^*olv^*_{Ma}$ : 0.0 0.25 1.0

Dreiecks-Helligkeit  $i^*$

%Umfang

$u^*_{rel} = 109$

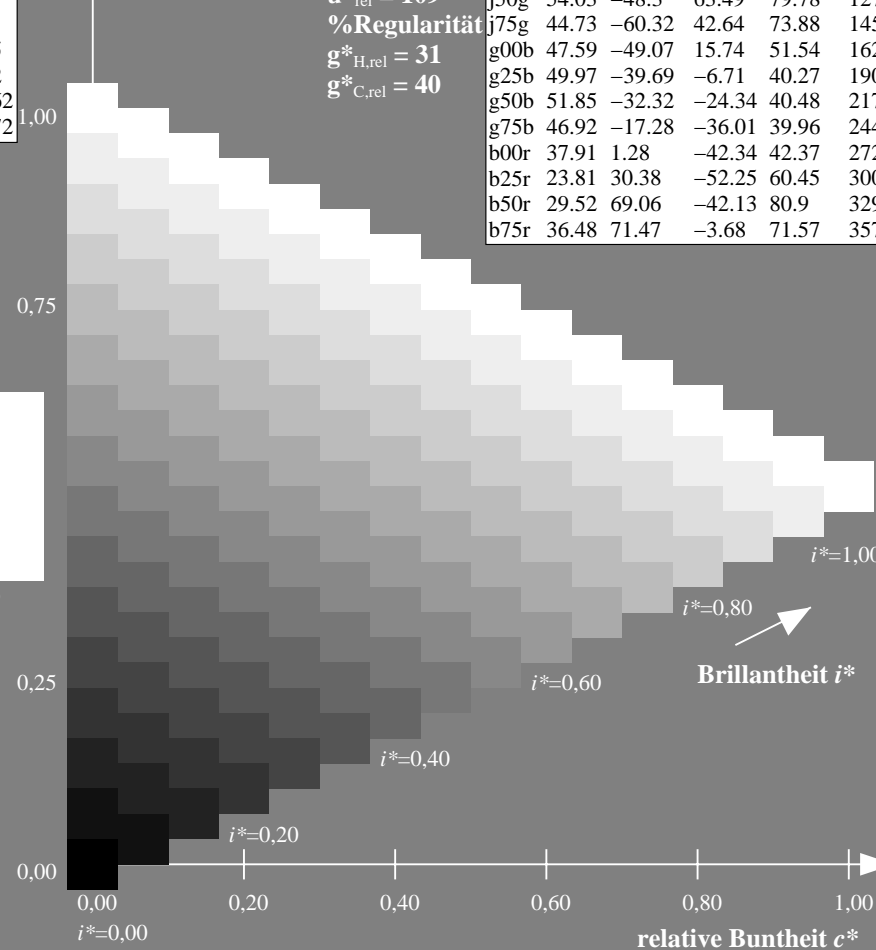
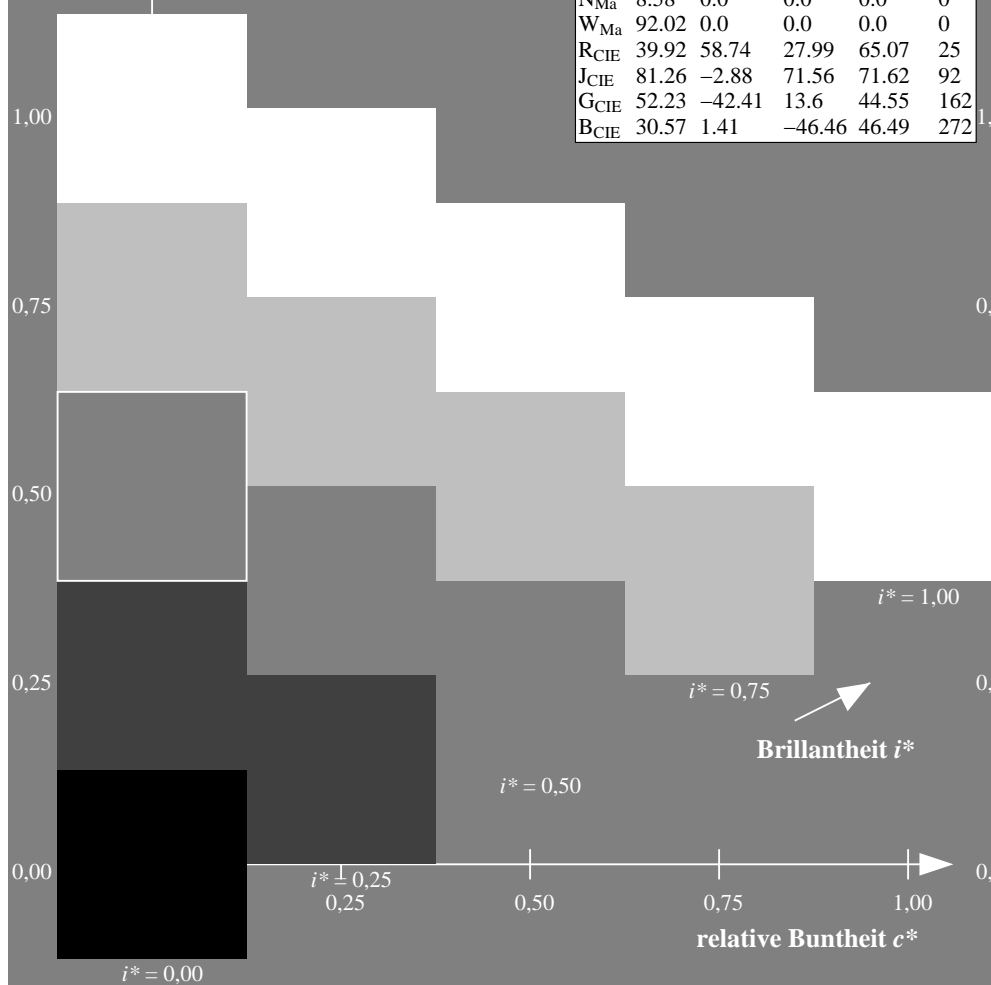
%Regularität

$g^*_{H,rel} = 31$

$g^*_{C,rel} = 40$

FRS09\_92a; adaptierte CIELAB-Daten

	$L^*=L^*_a$	$a^*_a$	$b^*_a$	$C^*_{ab,a}$	$h^*_{ab,a}$
r00j	35.47	63.32	30.17	70.15	25
r25j	39.12	54.56	49.45	73.64	42
r50j	50.64	39.15	64.89	75.79	59
r75j	64.01	21.26	82.83	85.52	76
j00g	83.18	-4.37	108.53	108.62	92
j25g	66.73	-29.88	83.06	88.28	110
j50g	54.03	-48.3	63.49	79.78	127
j75g	44.73	-60.32	42.64	73.88	145
g00b	47.59	-49.07	15.74	51.54	162
g25b	49.97	-39.69	-6.71	40.27	190
g50b	51.85	-32.32	-24.34	40.48	217
g75b	46.92	-17.28	-36.01	39.96	244
b00r	37.91	1.28	-42.34	42.37	272
b25r	23.81	30.38	-52.25	60.45	300
b50r	29.52	69.06	-42.13	80.9	329
b75r	36.48	71.47	-3.68	71.57	357



Ein und Ausgabe: Farbmetrisches Drucker-Reflektiv-System FRS09\_92a für relativen CIELAB-Buntton  $h^* = lab^*h^* = h_{ab}/360 = 329/360 = 0.913$

Daten für jede Farbe:

$lab^*ch^*$  und  $lab^*icu^*$

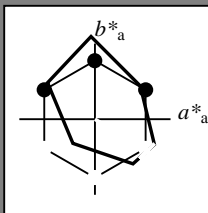
Elementar-Bunttontext:

$u^* = b50r$

Kontrastreduzierungsfaktor:

$c_R = 1.0$

Dreiecks-Helligkeit  $i^*$



FRS09\_92a; adaptierte CIELAB-Daten

	$L^*=L^*_a$	$a^*_a$	$b^*_a$	$C^*_{ab,a}$	$h^*_{ab,a}$
O <sub>Ma</sub>	35.06	60.0	44.0	74.4	36
Y <sub>Ma</sub>	83.77	-5.16	109.32	109.44	93
L <sub>Ma</sub>	44.13	-62.66	48.24	79.09	142
C <sub>Ma</sub>	52.66	-29.13	-31.98	43.27	228
V <sub>Ma</sub>	14.15	50.3	-59.03	77.57	310
M <sub>Ma</sub>	37.37	78.64	-33.49	85.48	337
N <sub>Ma</sub>	8.58	0.0	0.0	0.0	0
W <sub>Ma</sub>	92.02	0.0	0.0	0.0	0
R <sub>CIE</sub>	39.92	58.74	27.99	65.07	25
J <sub>CIE</sub>	81.26	-2.88	71.56	71.62	92
G <sub>CIE</sub>	52.23	-42.41	13.6	44.55	162
B <sub>CIE</sub>	30.57	1.41	-46.46	46.49	272

Daten für Maximalfarbe (Ma):

$LAB^*LAB^*_{Ma}$ : 30 69 -41

$LAB^*LCH^*_{Ma}$ : 30 81 329

$lab^*rgb^*_{Ma}$ : 1.0 0.0 1.0

$lab^*olv^*_{Ma}$ : 0.66 0.0 1.0

Dreiecks-Helligkeit  $i^*$

%Umfang

$u^*_{rel} = 109$

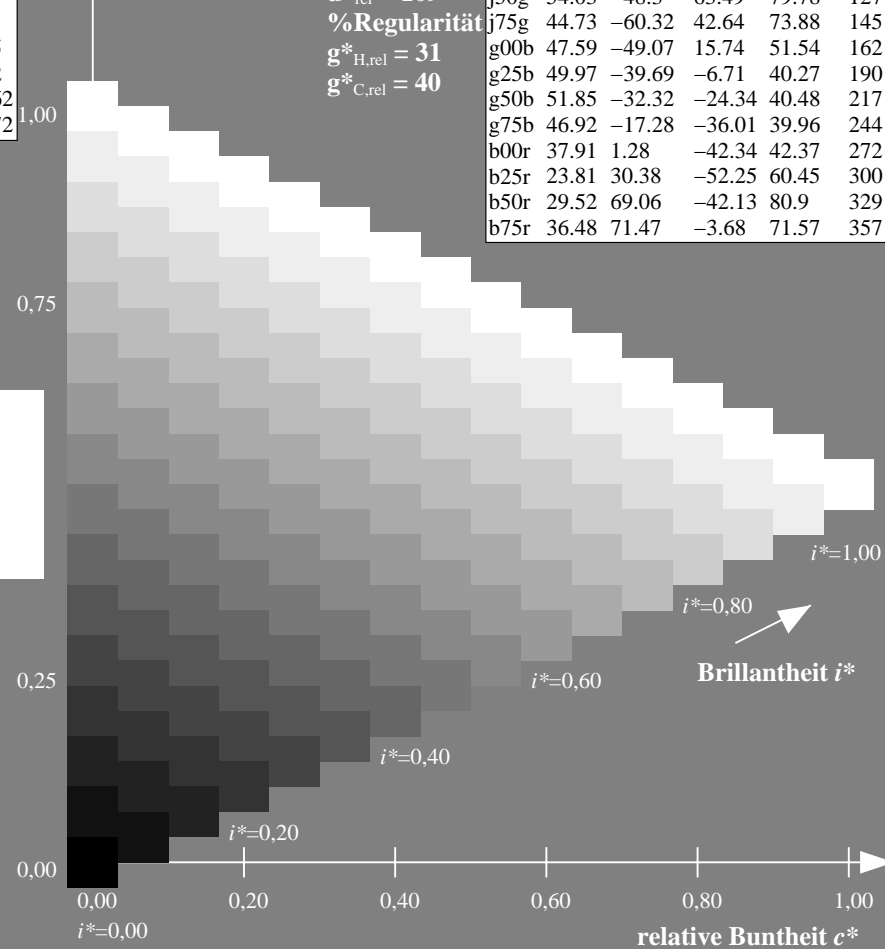
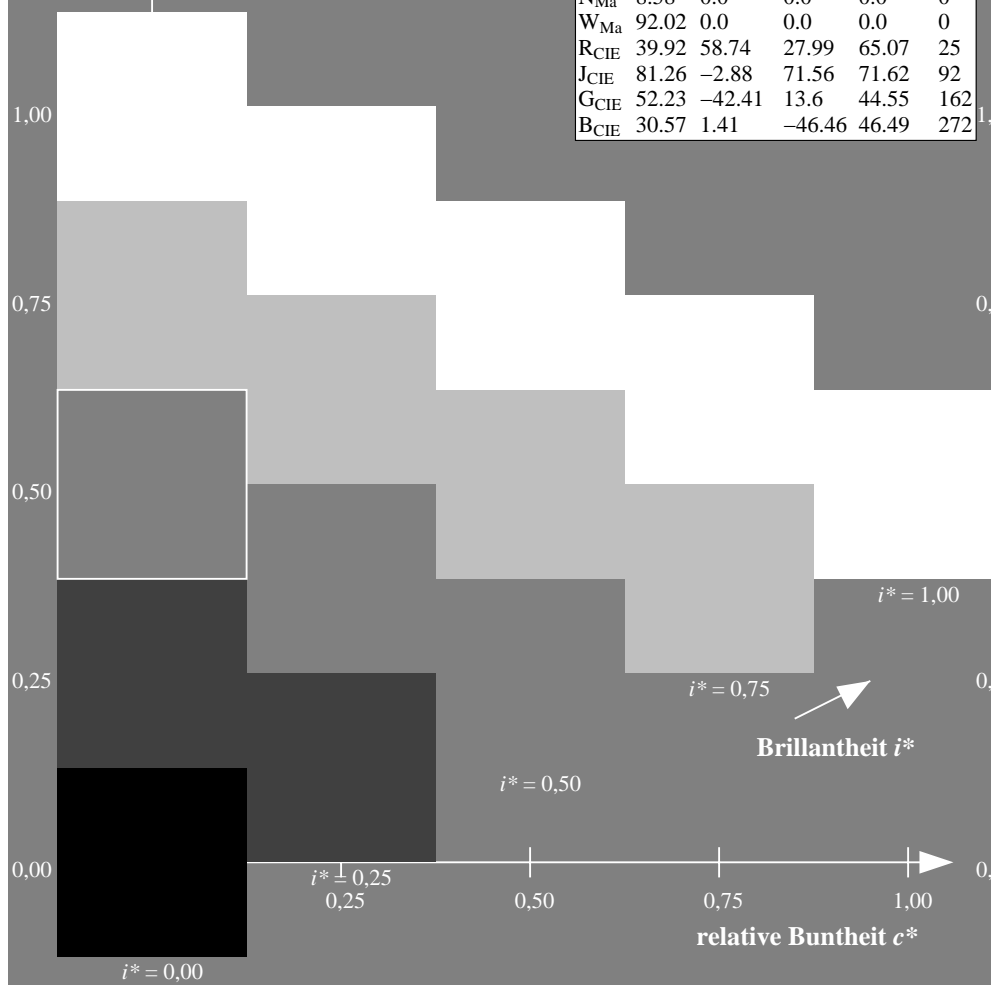
%Regularität

$g^*_{H,rel} = 31$

$g^*_{C,rel} = 40$

FRS09\_92a; adaptierte CIELAB-Daten

	$L^*=L^*_a$	$a^*_a$	$b^*_a$	$C^*_{ab,a}$	$h^*_{ab,a}$
r00j	35.47	63.32	30.17	70.15	25
r25j	39.12	54.56	49.45	73.64	42
r50j	50.64	39.15	64.89	75.79	59
r75j	64.01	21.26	82.83	85.52	76
j00g	83.18	-4.37	108.53	108.62	92
j25g	66.73	-29.88	83.06	88.28	110
j50g	54.03	-48.3	63.49	79.78	127
j75g	44.73	-60.32	42.64	73.88	145
g00b	47.59	-49.07	15.74	51.54	162
g25b	49.97	-39.69	-6.71	40.27	190
g50b	51.85	-32.32	-24.34	40.48	217
g75b	46.92	-17.28	-36.01	39.96	244
b00r	37.91	1.28	-42.34	42.37	272
b25r	23.81	30.38	-52.25	60.45	300
b50r	29.52	69.06	-42.13	80.9	329
b75r	36.48	71.47	-3.68	71.57	357



Ein und Ausgabe: Farbmetrisches Drucker-Reflektiv-System FRS09\_92a für relativen CIELAB-Buntton  $h^* = lab^*h^* = h_{ab}/360 = 357/360 = 0.992$

Daten für jede Farbe:

$lab^*tch^*$  und  $lab^*icu^*$

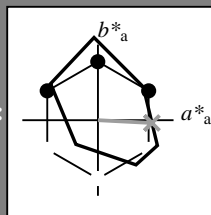
Elementar-Bunttontext:

$u^* = b75r$

Kontrastreduzierungsfaktor:

$c_R = 1.0$

Dreiecks-Helligkeit  $t^*$



FRS09\_92a; adaptierte CIELAB-Daten

	$L^*=L_a^*$	$a_a^*$	$b_a^*$	$C_{ab,a}^*$	$h_{ab,a}^*$
O <sub>Ma</sub>	35.06	60.0	44.0	74.4	36
Y <sub>Ma</sub>	83.77	-5.16	109.32	109.44	93
L <sub>Ma</sub>	44.13	-62.66	48.24	79.09	142
C <sub>Ma</sub>	52.66	-29.13	-31.98	43.27	228
V <sub>Ma</sub>	14.15	50.3	-59.03	77.57	310
M <sub>Ma</sub>	37.37	78.64	-33.49	85.48	337
N <sub>Ma</sub>	8.58	0.0	0.0	0.0	0
W <sub>Ma</sub>	92.02	0.0	0.0	0.0	0
R <sub>CIE</sub>	39.92	58.74	27.99	65.07	25
J <sub>CIE</sub>	81.26	-2.88	71.56	71.62	92
G <sub>CIE</sub>	52.23	-42.41	13.6	44.55	162
B <sub>CIE</sub>	30.57	1.41	-46.46	46.49	272

Daten für Maximalfarbe (Ma):

$LAB^*LAB^*Ma$ : 36 71 -3

$LAB^*LCH^*Ma$ : 36 72 357

$lab^*rgb^*Ma$ : 1.0 0.0 0.5

$lab^*olv^*Ma$ : 1.0 0.0 0.62

Dreiecks-Helligkeit  $t^*$

%Umfang

$u^*_{rel} = 109$

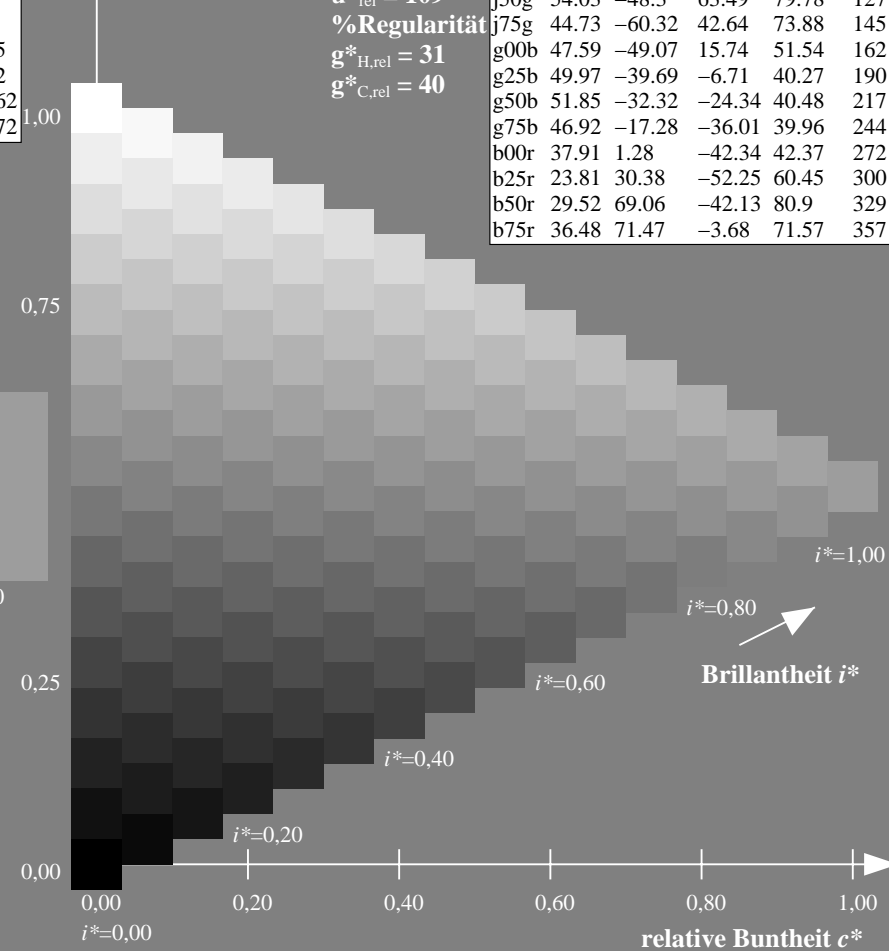
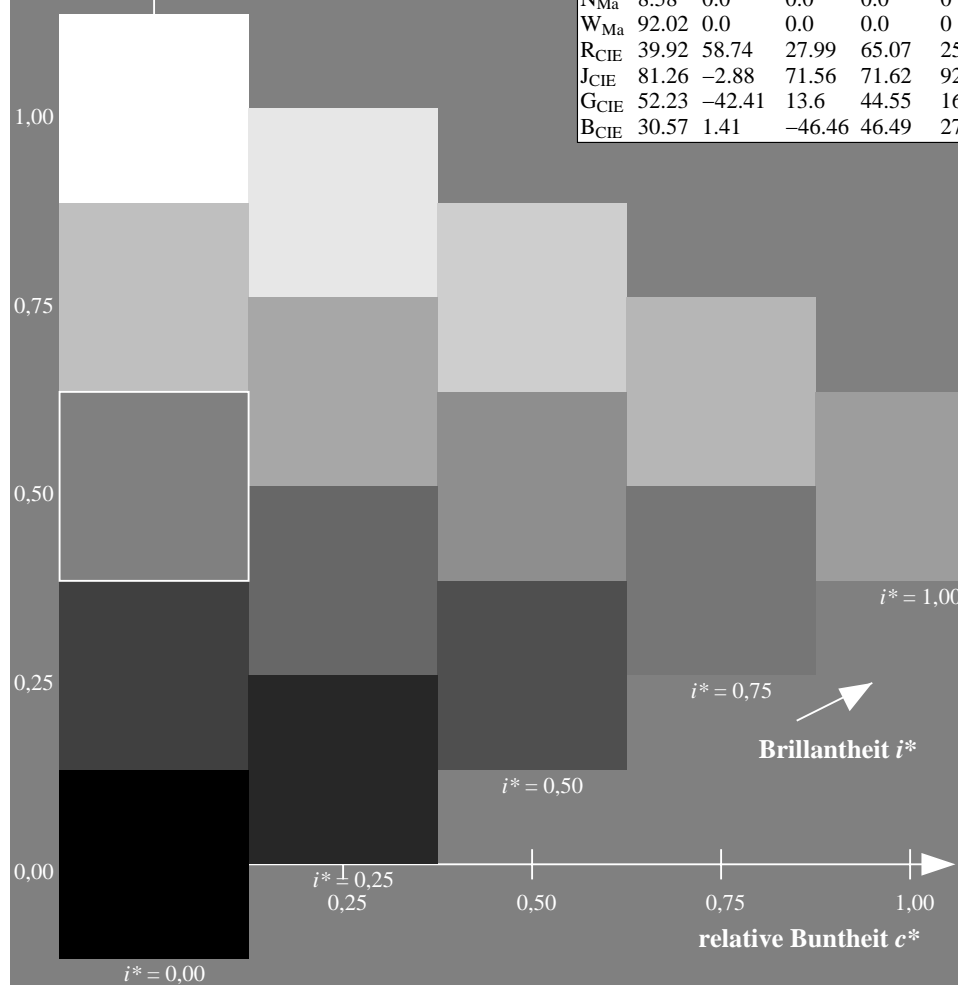
%Regularität

$g^*_{H,rel} = 31$

$g^*_{C,rel} = 40$

FRS09\_92a; adaptierte CIELAB-Daten

	$L^*=L_a^*$	$a_a^*$	$b_a^*$	$C_{ab,a}^*$	$h_{ab,a}^*$
r00j	35.47	63.32	30.17	70.15	25
r25j	39.12	54.56	49.45	73.64	42
r50j	50.64	39.15	64.89	75.79	59
r75j	64.01	21.26	82.83	85.52	76
j00g	83.18	-4.37	108.53	108.62	92
j25g	66.73	-29.88	83.06	88.28	110
j50g	54.03	-48.3	63.49	79.78	127
j75g	44.73	-60.32	42.64	73.88	145
g00b	47.59	-49.07	15.74	51.54	162
g25b	49.97	-39.69	-6.71	40.27	190
g50b	51.85	-32.32	-24.34	40.48	217
g75b	46.92	-17.28	-36.01	39.96	244
b00r	37.91	1.28	-42.34	42.37	272
b25r	23.81	30.38	-52.25	60.45	300
b50r	29.52	69.06	-42.13	80.9	329
b75r	36.48	71.47	-3.68	71.57	357



Siehe ähnliche Dateien: <http://www.ps.bam.de/Dg70/>; [www.ps.bam.de/Dg70/10L/L70G00NA.PS/.TXT](http://www.ps.bam.de/Dg70/10L/L70G00NA.PS/.TXT)  
Technische Information: <http://www.ps.bam.de> Version 2.1, io=1,1, ColSpx=0

